

Tragwerke aus Beton, Stahlbeton und Spannbeton  
Teil 1: Bemessung und Konstruktion

**DIN**  
**1045-1**

ICS 91.100.30

Concrete, reinforced and prestressed concrete structures —  
Part 1: Design

Structures en béton, béton armé et béton précontraint —  
Partie 1: Calcul

Mit DIN 1045-2:2001-07,  
DIN 1045-3:2001-07  
DIN 1045-4:2001-07 und  
DIN EN 206-1:2001-07,  
Ersatz für  
DIN 1045:1988-07.

Ersatz für  
DIN 4227-1:1988-07,  
DIN 4227-1/A1:1995-12,  
DIN 4227-2:1984-05,  
DIN 4227-4:1986-02,  
DIN 4219-2:1979-12.

**Inhalt**

	Seite		Seite
<b>Vorwort</b> .....	7	3.1.18 vorwiegend auf Biegung beanspruchtes Bauteil .....	12
<b>Einleitung</b> .....	8	3.1.19 Druckglied .....	12
<b>1 Anwendungsbereich</b> .....	8	3.1.20 Balken .....	12
<b>2 Normative Verweisungen</b> .....	9	3.1.21 Platte .....	12
<b>3 Begriffe und Formelzeichen</b> .....	10	3.1.22 Stütze .....	12
3.1 Begriffe .....	10	3.1.23 Scheibe .....	12
3.1.1 üblicher Hochbau .....	10	3.1.24 wandartiger Träger .....	12
3.1.2 vorwiegend ruhende Einwirkung .....	10	3.1.25 Betondeckung .....	12
3.1.3 nicht vorwiegend ruhende Einwirkung .....	10	3.1.26 Dekompression .....	12
3.1.4 Normalbeton .....	10	3.2 Formelzeichen .....	13
3.1.5 Leichtbeton .....	10	3.2.1 Große lateinische Buchstaben .....	13
3.1.6 Schwerbeton .....	10	3.2.2 Kleine lateinische Buchstaben .....	13
3.1.7 Spannglied im sofortigen Verbund .....	10	3.2.3 Griechische Buchstaben .....	14
3.1.8 Spannglied im nachträglichen Verbund .....	10	3.2.4 Indizes .....	14
3.1.9 internes Spannglied ohne Verbund .....	11	3.2.5 Große lateinische Buchstaben mit Indizes .....	16
3.1.10 externes Spannglied ohne Verbund .....	11	3.2.6 Kleine lateinische Buchstaben mit Indizes .....	17
3.1.11 Monolitze .....	11	3.2.7 Griechische Buchstaben mit Indizes .....	19
3.1.12 Umlenksattel .....	11	3.3 SI-Einheiten .....	20
3.1.13 Fertigteil .....	11	<b>4 Bautechnische Unterlagen</b> .....	20
3.1.14 Segmenttragwerk .....	11	4.1 Umfang der bautechnischen Unterlagen .....	20
3.1.15 Mehrschichttafel .....	11	4.2 Zeichnungen .....	20
3.1.16 Verbundbauteil .....	11	4.2.1 Allgemeine Anforderungen .....	20
3.1.17 unbewehrtes Bauteil .....	11		

Fortsetzung Seite 2 bis 148

Normenausschuss Bauwesen (NABau) im DIN Deutsches Institut für Normung e. V.

4.2.2	Verlegezeichnungen für die Fertigteile	21	8.6	Stabförmige Bauteile und Wände unter Längsdruck (Theorie II. Ordnung)	42
4.2.3	Zeichnungen für die Schalungs- und Traggerüste	21	8.6.1	Allgemeines	42
4.3	Statische Berechnungen	21	8.6.2	Einteilung der Tragwerke und Bauteile	42
4.4	Baubeschreibung	22	8.6.3	Nachweisverfahren	44
<b>5</b>	<b>Sicherheitskonzept</b>	22	8.6.4	Imperfektionen	45
5.1	Allgemeines	22	8.6.5	Modellstützenverfahren	45
5.2	Bemessungswert des Tragwiderstands	22	8.6.6	Druckglieder mit zweiachsiger Lastausmitte	47
5.3	Grenzzustände der Tragfähigkeit	23	8.6.7	Druckglieder aus unbewehrtem Beton	49
5.3.1	Allgemeines	23	8.6.8	Seitliches Ausweichen schlanker Träger	50
5.3.2	Sicherstellung eines duktilen Bauteilverhaltens	23	8.7	Vorgespannte Tragwerke	50
5.3.3	Teilsicherheitsbeiwerte für die Einwirkungen und den Tragwiderstand im Grenzzustand der Tragfähigkeit	23	8.7.1	Allgemeines	50
5.3.4	Kombination von Einwirkungen, Bemessungssituationen	25	8.7.2	Vorspannkraft	52
5.4	Grenzzustände der Gebrauchstauglichkeit	25	8.7.3	Spannkraftverluste	53
5.4.1	Allgemeines	25	8.7.4	Grenzzustand der Gebrauchstauglichkeit	54
5.4.2	Anforderungsklassen	25	8.7.5	Grenzzustand der Tragfähigkeit	55
<b>6</b>	<b>Sicherstellung der Dauerhaftigkeit</b>	25	8.7.6	Verankerungsbereiche bei Spanngliedern im sofortigen Verbund	55
6.1	Allgemeines	25	8.7.7	Verankerungsbereiche bei Spanngliedern mit nachträglichem oder ohne Verbund	58
6.2	Expositionsklassen, Mindestbetonfestigkeit	26	<b>9</b>	<b>Baustoffe</b>	58
6.3	Betondeckung	29	9.1	Beton	58
<b>7</b>	<b>Grundlagen zur Ermittlung der Schnittgrößen</b>	30	9.1.1	Allgemeines	58
7.1	Anforderungen	30	9.1.2	Festigkeiten	58
7.2	Imperfektionen	31	9.1.3	Elastische Verformungseigenschaften	59
7.3	Idealisierungen und Vereinfachungen	32	9.1.4	Kriechen und Schwinden	59
7.3.1	Mitwirkende Plattenbreite, Lastausbreitung und effektive Stützweite	32	9.1.5	Spannungs-Dehnungs-Linie für nicht-lineare Verfahren der Schnittgrößenermittlung und für Verformungsberechnungen	63
7.3.2	Sonstige Vereinfachungen	35	9.1.6	Spannungs-Dehnungs-Linie für die Querschnittsbemessung	63
<b>8</b>	<b>Verfahren zur Ermittlung der Schnittgrößen</b>	37	9.1.7	Zusammenstellung der Betonkennwerte	65
8.1	Allgemeines	37	9.2	Betonstahl	68
8.2	Linear-elastische Berechnung	37	9.2.1	Allgemeines	68
8.3	Linear-elastische Berechnung mit Umlagerung	37	9.2.2	Eigenschaften	68
8.4	Verfahren nach der Plastizitätstheorie	38	9.2.3	Spannungs-Dehnungs-Linie für die Schnittgrößenermittlung	70
8.4.1	Allgemeines	38	9.2.4	Spannungs-Dehnungs-Linie für die Querschnittsbemessung	70
8.4.2	Vereinfachter Nachweis der plastischen Rotation bei vorwiegend biegebeanspruchten Bauteilen	39	9.3	Spannstahl	71
8.5	Nichtlineare Verfahren	40	9.3.1	Allgemeines	71
8.5.1	Allgemeines	40	9.3.2	Eigenschaften	72
8.5.2	Berechnungsansatz für stabförmige Bauteile und einachsig gespannte Platten bei Biegung mit oder ohne Längskraft	41	9.3.3	Spannungs-Dehnungs-Linie für die Querschnittsbemessung	73

<b>10 Nachweise in den Grenzzuständen der Tragfähigkeit</b> .....	73	11.1.3 Begrenzung der Betonstahlspannungen .....	103
10.1 Allgemeines .....	73	11.1.4 Begrenzung der Spannstahlspannungen .....	103
10.2 Biegung mit oder ohne Längskraft und Längskraft allein .....	73	11.2 Begrenzung der Rissbreiten und Nachweis der Dekompression .....	103
10.3 Querkraft .....	74	11.2.1 Allgemeines .....	103
10.3.1 Nachweisverfahren .....	74	11.2.2 Mindestbewehrung für die Begrenzung der Rissbreite .....	105
10.3.2 Bemessungswert der einwirkenden Querkraft .....	75	11.2.3 Begrenzung der Rissbreite ohne direkte Berechnung .....	107
10.3.3 Bauteile ohne rechnerisch erforderliche Querkraftbewehrung .....	76	11.2.4 Berechnung der Rissbreite .....	110
10.3.4 Bauteile mit rechnerisch erforderlicher Querkraftbewehrung .....	77	11.3 Begrenzung der Verformungen .....	111
10.3.5 Schubkräfte zwischen Balkensteg und Gurten .....	79	11.3.1 Allgemeines .....	111
10.3.6 Schubkraftübertragung in Fugen .....	80	11.3.2 Nachweis der Begrenzung der Verformungen von Stahlbetonbauteilen ohne direkte Berechnung .....	112
10.3.7 Unbewehrte Bauteile .....	82	<b>12 Allgemeine Bewehrungsregeln</b> .....	113
10.4 Torsion .....	82	12.1 Allgemeines .....	113
10.4.1 Allgemeines .....	82	12.2 Stababstände von Betonstählen .....	113
10.4.2 Nachweisverfahren .....	83	12.3 Biegen von Betonstählen .....	113
10.4.3 Wölbkrafttorsion .....	85	12.3.1 Biegerollendurchmesser .....	113
10.4.4 Unbewehrte Bauteile .....	85	12.3.2 Hin- und Zurückbiegen .....	114
10.5 Durchstanzen .....	85	12.4 Verbundbedingungen .....	114
10.5.1 Allgemeines .....	85	12.5 Bemessungswert der Verbundspannung .....	115
10.5.2 Lasteinleitung und Nachweisschnitte .....	86	12.6 Verankerung der Längsbewehrung .....	116
10.5.3 Nachweisverfahren .....	89	12.6.1 Allgemeines zu den Verankerungsarten .....	116
10.5.4 Platten oder Fundamente ohne Durchstanzbewehrung .....	91	12.6.2 Verankerungslänge .....	116
10.5.5 Platten oder Fundamente mit Durchstanzbewehrung .....	91	12.6.3 Erforderliche Querbewehrung .....	117
10.5.6 Mindestmomente .....	93	12.7 Verankerung von Bügeln und Querkraftbewehrung .....	119
10.6 Stabwerkmodelle .....	94	12.8 Stöße .....	119
10.6.1 Allgemeines .....	94	12.8.1 Allgemeines .....	119
10.6.2 Bemessung der Zug- und Druckstreben .....	95	12.8.2 Übergreifungslänge .....	121
10.6.3 Bemessung der Knoten .....	96	12.8.3 Querbewehrung .....	122
10.7 Teilflächenbelastung .....	96	12.8.4 Stöße von Betonstahlmatten in zwei Ebenen .....	123
10.8 Nachweis gegen Ermüdung .....	98	12.9 Stabbündel .....	124
10.8.1 Allgemeines .....	98	12.10 Spannglieder .....	126
10.8.2 Innere Kräfte und Spannungen im Grenzzustand der Tragfähigkeit beim Nachweis gegen Ermüdung .....	98	12.10.1 Allgemeines .....	126
10.8.3 Nachweisverfahren .....	99	12.10.2 Spannglieder im sofortigen Verbund .....	126
10.8.4 Vereinfachte Nachweise .....	102	12.10.3 Spannglieder im nachträglichen Verbund .....	126
<b>11 Nachweise in den Grenzzuständen der Gebrauchstauglichkeit</b> .....	103	12.10.4 Spannglieder ohne Verbund .....	126
11.1 Begrenzung der Spannungen .....	103	12.10.5 Spanngliedkopplungen .....	127
11.1.1 Allgemeines .....	103	<b>13 Konstruktionsregeln</b> .....	127
11.1.2 Begrenzung der Betondruckspannungen .....	103	13.1 Überwiegend biegebeanspruchte Bauteile .....	127

13.1.1	Mindestbewehrung und Höchstbewehrung	127
13.1.2	Oberflächenbewehrung bei vorgespannten Bauteilen	128
13.2	Balken und Plattenbalken	128
13.2.1	Allgemeines	128
13.2.2	Zugkraftdeckung	129
13.2.3	Querkraftbewehrung	131
13.2.4	Torsionsbewehrung	133
13.2.5	Oberflächenbewehrung bei großen Stabdurchmessern	133
13.3	Vollplatten aus Ortbeton	133
13.3.1	Mindestdicke	133
13.3.2	Zugkraftdeckung	133
13.3.3	Durchstanz- und Querkraftbewehrung	135
13.4	Vorgefertigte Deckensysteme	135
13.4.1	Allgemeines	135
13.4.2	Querverteilung der Lasten	135
13.4.3	Nachträglich mit Ortbeton ergänzte Deckenplatten	137
13.4.4	Scheibenwirkung	139
13.5	Stützen	139
13.5.1	Allgemeines	139
13.5.2	Mindest- und Höchstwert des Längsbewehrungsquerschnitts	140
13.5.3	Querbewehrung	140
13.6	Wandartige Träger	140
13.7	Wände	140
13.7.1	Stahlbetonwände	140
13.7.2	Wand-Decken-Verbindungen bei Fertigteilen	141
13.7.3	Sandwichtafeln	143
13.7.4	Unbewehrte Wände	143
13.8	Verbindung und Auflagerung von Fertigteilen	143
13.8.1	Allgemeines	143
13.8.2	Druckfugen	143
13.8.3	Biegesteife und zugfeste Verbindungen	145
13.8.4	Lagerungsbereiche	145
13.9	Krafteinleitungsbereiche	145
13.9.1	Druckkräfte	145
13.9.2	Zugkräfte	145
13.10	Umlenkkräfte	145
13.11	Indirekte Auflager	145
13.12	Schadensbegrenzung bei außergewöhnlichen Ereignissen	146
13.12.1	Allgemeines	146
13.12.2	Ringanker	147

13.12.3	Innenliegende Zuganker	147
13.12.4	Horizontale Stützen- und Wandzuganker	147

### Bilder

Bild 1	Berücksichtigung der geometrischen Ersatzimperfektionen	32
Bild 2	Definition der mitwirkenden Breite $b_{\text{eff}}$	33
Bild 3	Angenäherte wirksame Stützweiten $l_0$ zur Berechnung der mitwirkenden Plattenbreite	33
Bild 4	Wirksame Stegbreite ( $b_w + b_v$ ) bei Platten mit veränderlicher Dicke	33
Bild 5	Ausbreitungswinkel konzentriert eingeleiteter Längskräfte	34
Bild 6	Ausbreitung von Vorspannkraften am Beispiel eines Plattenbalkens	34
Bild 7	Beispiele für die Bestimmung der effektiven Stützweite eines Bauteils (Balken, Platte)	35
Bild 8	Definition der direkten und indirekten Lagerung	35
Bild 9	Grundwerte der zulässigen plastischen Rotation für Festigkeitsklassen des Betons C12/16 bis C50/60 und C100/115	40
Bild 10	Vereinfachte Momenten-Krümmungs-Beziehung	42
Bild 11	Arten von Einzeldruckgliedern	43
Bild 12	Modellstütze	46
Bild 13	Bemessungsmodell zur Berechnung der wirksamen Lastausmitte	47
Bild 14	Grenzen für getrennte Nachweise in Richtung der beiden Hauptachsen	48
Bild 15	Reduzierte Querschnittsdicke $h_{\text{red}}$ für den getrennten Nachweis in $y$ -Richtung bei $e_{0z} > 0,2 h$	49
Bild 16	Vereinfachte Momenten-Krümmungs-Beziehung für Spannbetonquerschnitte	51
Bild 17	Verlauf der Spannstahlspannungen im Verankerungsbereich von Spanngliedern im sofortigen Verbund	57
Bild 18	Endkriechzahl $\varphi(\infty, t_0)$ für Normalbeton und trockene Umgebungsbedingungen (trockene Innenräume, relative Luftfeuchte = 50 %)	60
Bild 19	Endkriechzahl $\varphi(\infty, t_0)$ für Normalbeton und feuchte Umgebungsbedingungen (Außenluft, relative Luftfeuchte = 80 %)	61

Bild 20 Schumpfdrehung $\varepsilon_{\text{cas}\infty}$ zum Zeitpunkt $t = \infty$ für Normalbeton	62	Bild 43 — Platte mit Stützenkopfverstärkung mit $l_H > 1,5 h_H$	89
Bild 21 — Trocknungsschwinddehnung $\varepsilon_{\text{cds}\infty}$ zum Zeitpunkt $t = \infty$ für Normalbeton	62	Bild 44 — Näherungswerte für den Beiwert $\beta$	90
Bild 22 — Spannungs-Dehnungs-Linie für die Schnittgrößenermittlung mit nichtlinearen Verfahren und für Verformungsberechnungen	63	Bild 45 — Nachweisschnitte der Durchstanzbewehrung	93
Bild 23 — Parabel-Rechteck-Diagramm	64	Bild 46 — Bereiche für den Ansatz der Mindestbiegemomente $m_{\text{Ed},x}$ und $m_{\text{Ed},y}$	94
Bild 24 — Bilineare Spannungs-Dehnungs-Linie	64	Bild 47 — Querkzugkräfte in einem Druckfeld mit Einschnürung zu konzentrierten Knoten an beiden Enden	95
Bild 25 — Spannungsblock	65	Bild 48 — Knotenbereich für den Nachweis von Druckknoten	96
Bild 26 — Spannungs-Dehnungs-Linie des Betonstahls für die Schnittgrößenermittlung	71	Bild 49 — Knotenbereich für den Nachweis von Druck-Zug-Knoten	97
Bild 27 — Rechnerische Spannungs-Dehnungs-Linie des Betonstahls für die Bemessung	71	Bild 50 — Knoten mit Umlenkung von Bewehrung	97
Bild 28 — Spannungs-Dehnungs-Linie des Spannstahls für die Schnittgrößenermittlung	72	Bild 51 — Ermittlung der Flächen für Teilflächenbelastung	98
Bild 29 — Rechnerische Spannungs-Dehnungs-Linie des Spannstahls für die Querschnittsbemessung	73	Bild 52 — Form der Wöhlerlinien für Beton- und Spannstahl	101
Bild 30 — Mögliche Dehnungsverteilungen im Grenzzustand der Tragfähigkeit (bei im Verbund liegenden Betonstahl und Spannstahl)	74	Bild 53 — Wirkungsbereich $A_{c,\text{eff}}$ der Bewehrung	109
Bild 31 — Querkraftanteile bei veränderlicher Querschnittshöhe	75	Bild 54 — Verbundbedingungen	115
Bild 32 — Definition von $A_{sI}$ für die Ermittlung von $\rho_I$ in Gleichung (70)	76	Bild 55 — Zusatzbewehrung im Verankerungsbereich ohne Querdruck bei Stabdurchmessern $d_s > 32$ mm	117
Bild 33 — Fachwerkmodell und Benennungen für querkraftbewehrte Bauteile	78	Bild 56 — Verankerung und Schließen von Bügeln	120
Bild 34 — Anschluss zwischen Gurten und Steg	80	Bild 57 — Längsversatz und Querabstand der Bewehrungsstäbe im Stoßbereich	121
Bild 35 — Fugenausbildung	82	Bild 58 — Definition der Abstände $s$ und $s_0$ zur Ermittlung des Beiwertes $\alpha_1$	122
Bild 36 — Benennungen und Modellbildung bei Torsion	84	Bild 59 — Querbewehrung für Übergreifungsstöße	122
Bild 37 — Bemessungsmodell für den Nachweis der Sicherheit gegen Durchstanzen	86	Bild 60 — Beispiel für Übergreifungsstöße von geschweißten Betonstahlmatten	123
Bild 38 — Maßgebende Abschnitte für den kritischen Rundschnitt bei ausgedehnten Auflagerflächen	86	Bild 61 — Anordnung, Mindestabstände und Mindestbetondeckung bei Stabbündeln	124
Bild 39 — Kritischer Rundschnitt um Lasteinleitungsflächen, die sich nicht in der Nähe eines freien Randes befinden	87	Bild 62 — Verankerung von Stabbündeln bei auseinandergezogenen rechnerischen Endpunkten E	125
Bild 40 — Kritischer Rundschnitt in der Nähe von Öffnungen	87	Bild 63 — Verankerung von Stabbündeln bei dicht beieinander liegenden rechnerischen Endpunkten E	125
Bild 41 — Kritischer Rundschnitt nahe freien Rändern	88	Bild 64 — Zulage eines Stabes bei einem Bündel aus drei Stäben für einen zugbeanspruchten Übergreifungsstoß	125
Bild 42 — Platte mit einer Stützenkopfverstärkung mit $l_H \leq 1,5 h_H$	88	Bild 65 — Lichter Mindestabstand für Spannglieder im sofortigen Verbund	126

Bild 66 — Zugkraftdeckungslinie und Verankerungslängen bei biegebeanspruchten Bauteilen .....	130
Bild 67 — Beispiele für Kombinationen von Bügeln und Querkraftzulagen .....	131
Bild 68 — Zulässiges Einschneiden der Querkraftdeckungslinie bei Tragwerken des üblichen Hochbaus .....	132
Bild 69 — Oberflächenbewehrung .....	133
Bild 70 — Rechtwinklige Eckbewehrung auf der Oberseite und Unterseite .....	134
Bild 71 — Randbewehrung an freien Rändern von Platten .....	135
Bild 72 — Anordnung der Durchstanzbewehrung .....	136
Bild 73 — Deckenverbindungen zur Querkraftübertragung .....	137
Bild 74 — Möglicher Tragstoß bei zweiachsig gespannten Fertigteildecken mit Ortbetoner-gänzung (Beispiel) .....	138
Bild 75 — Fugenverzahnung .....	139
Bild 76 — Auflagerung von Deckenplatten auf Fertigteilwänden .....	142
Bild 77 — Zusätzliche Querbewehrung des Wandfußes .....	142
Bild 78 — Querspannungen in Druckfugen .....	144
Bild 79 — Anschluss von Nebenträgern .....	146
Bild 80 — Zuganker für außergewöhnliche Ereignisse, dargestellt im Deckengrundriss ..	148

## Tabellen

Tabelle 1 — Teilsicherheitsbeiwerte für die Einwirkungen auf Tragwerke im Grenzzu-stand der Tragfähigkeit .....	24
Tabelle 2 — Teilsicherheitsbeiwerte für die Bestimmung des Tragwiderstands im Grenz-zustand der Tragfähigkeit .....	24
Tabelle 3 — Expositionsklassen .....	26
Tabelle 4 — Mindestbetondeckung $c_{\min}$ zum Schutz gegen Korrosion und Vorhaltemaß $\Delta c$ in Abhängigkeit von der Expositionsklasse ..	29
Tabelle 5 — Größter Querrippenabstand $s_T$ bei Decken aus Rippen und Zwischenbau-teile ohne Aufbeton .....	36
Tabelle 6 — Mindestbetondruckfestigkeit $f_{cmj}$ beim Vorspannen mit Spanngliedern im nachträglichen Verbund oder ohne Verbund zum Zeitpunkt $t = t_j$ .....	53

Tabelle 7 — Verbundspannung $f_{bp}$ in der Übertragungslänge von Litzen und Drähten im sofortigen Verbund in Abhängigkeit von der Betondruckfestigkeit zum Zeitpunkt der Spannkraftübertragung .....	56
Tabelle 8 — Rohdichteklasse, Rechenwert $\rho$ der Trockenrohddichte und charakteristischer Wert der Wichte von Leichtbeton .....	58
Tabelle 9 — Festigkeits- und Formände-rungskennwerte von Normalbeton .....	66
Tabelle 10 — Festigkeits- und Formände-rungskennwerte von Leichtbeton .....	67
Tabelle 11 — Eigenschaften der Betonstähle ..	69
Tabelle 12 — Zulässige Schweißverfahren und Anwendungsfälle .....	70
Tabelle 13 — Beiwerte $\beta_{ct}$ , $\mu$ .....	81
Tabelle 14 — Momentenbeiwerte $\eta$ und Ver-teilungsbreiten der Momente .....	94
Tabelle 15 — Verhältnis $\xi$ der Verbundfestig-keit von Spannstahl zur Verbundfestigkeit von Betonrippenstahl .....	99
Tabelle 16 — Parameter der Wöhlerlinien für Betonstahl .....	100
Tabelle 17 — Parameter der Wöhlerlinien für Spannstahl .....	100
Tabelle 18 — Anforderungen an die Begren-zung der Rissbreite und die Dekompression ..	104
Tabelle 19 — Mindestanforderungsklassen in Abhängigkeit von der Expositionsklasse ...	105
Tabelle 20 — Grenzdurchmesser $d_s^*$ bei Betonstählen .....	108
Tabelle 21 — Höchstwerte der Stababstände von Betonstählen .....	108
Tabelle 22 — Beiwerte $\alpha$ zur Bestimmung der Ersatzstützweite .....	112
Tabelle 23 — Mindestwerte der Biegerollen-durchmesser $d_{br}$ .....	113
Tabelle 24 — Mindestwerte der Biegerollen-durchmesser $d_{br}$ für nach dem Schweißen gebogene Bewehrung .....	114
Tabelle 25 — Bemessungswerte der Ver-bundspannung $f_{bd}$ für Betonstahl bei guten Verbundbedingungen und $d_s \leq 32$ mm .....	115
Tabelle 26 — Zulässige Verankerungsarten von Betonstahl .....	118
Tabelle 27 — Beiwerte $\alpha_1$ für die Übergreifungslänge .....	121
Tabelle 28 — Mindestübergreifungslängen der Querstäbe .....	124

Tabelle 29 — Grundwerte $\rho$ für die Ermittlung der Mindestbewehrung .....	128
Tabelle 30 — Mindestoberflächenbewehrung für die verschiedenen Bereiche eines vorgespannten Bauteils .....	129

Tabelle 31 — Größte Längs- und Querabstände $s_{\max}$ von Bügelschenkeln und Querkraftzulagen .....	132
Tabelle 32 — Mindestwanddicken für tragende Wände .....	141

## Vorwort

Diese Norm wurde in Verantwortung des Fachbereichs 07 „Beton- und Stahlbeton/Deutscher Ausschuss für Stahlbeton“ des Normenausschusses Bauwesen (NABau) vom Arbeitsausschuss 07.01.00 „Bemessung und Konstruktion“ auf der Grundlage der europäischen Vornorm ENV 1992-1 erarbeitet. Die Norm stellt die Umsetzung der europäischen Vornorm in eine nationale Norm dar. Sofern zur Sicherstellung der Tragfähigkeit, Gebrauchstauglichkeit und Dauerhaftigkeit der nach dieser Norm bemessenen und konstruierten Bauteile erforderlich, wurden in dieser Norm von ENV 1992-1 abweichende Bemessungs- und Konstruktionsregeln und Regeln der mit dieser Norm ersetzten nationalen Vorgängernormen aufgenommen.

## Änderungen

Gegenüber DIN 1045:1988-07, DIN 1045/A1:1996-12, DIN 4227-1:1988-07, DIN 4227-1/A1:1995-12, DIN 4227-2:1984-05, DIN 4227-4:1986-02 und DIN 4219-2:1979-12 wurden folgende Änderungen vorgenommen:

- a) Der Inhalt wurde vollständig überarbeitet und umstrukturiert;
- b) Aufteilung der Norm in vier Teile mit jeweils einem beschränkten Sachgebiet;
- c) Anpassung an die technische Entwicklung hinsichtlich des Sicherheitskonzepts, der Schnittgrößenermittlung und der Bemessung von Beton-, Stahlbeton- und Spannbetontragwerken;
- d) Aufnahme von Bemessungsregeln für vorgespannte Bauteile und Bauteile aus Leichtbeton;
- e) Hervorhebung der Differenzierung zwischen Nachweisen der Tragfähigkeit und der Gebrauchstauglichkeit;
- f) Überarbeitung des Querkraftmodells und der Bemessung für Querkraft;
- g) Aufnahme des Nachweises gegen Ermüdung;
- h) Anpassung der Konstruktionsregeln an den Entwicklungsstand der Baustoffe.

## Frühere Ausgaben

DIN 1045:	1925-09, 1932-04, 1937-05, 1943xxx-04, 1959-11, 1972-01, 1978-12, 1988-07
DIN 4227:	1953xx-10
DIN 4227-1:	1979-12, 1988-07
DIN 4227-2:	1984-05
DIN 4227-4:	1986-02
DIN 4219-2:	1979-12

## Einleitung

DIN 1045 — Tragwerke aus Beton, Stahlbeton und Spannbeton besteht aus:

- Teil 1: Bemessung und Konstruktion,
- Teil 2: Beton — Festlegung, Eigenschaften, Herstellung und Konformität — Anwendungsregeln zu DIN EN 206-1,
- Teil 3: Bauausführung,
- Teil 4: Ergänzende Regeln für die Herstellung und die Konformität von Fertigteilen.

In dieser Norm wird in Abhängigkeit vom Verbindlichkeitsgrad der einzelnen Regelungen zwischen Prinzipien und Anwendungsregeln unterschieden.

Die Prinzipien enthalten:

- allgemeine Festlegungen, Definitionen und Angaben, die einzuhalten sind,
- Anforderungen und Rechenmodelle, für die keine Abweichungen erlaubt sind, sofern dies nicht ausdrücklich angegeben ist.

Die Anwendungsregeln sind allgemein anerkannte Regeln, die den Prinzipien folgen und deren Anforderungen erfüllen. Abweichungen hiervon sind zulässig, wenn sie mit den Prinzipien übereinstimmen und hinsichtlich der nach dieser Norm erzielten Tragfähigkeit, Gebrauchstauglichkeit und Dauerhaftigkeit gleichwertig sind.

In dieser Norm werden die Prinzipien von den Anwendungsregeln durch die Wortwahl und durch die Schreibweise unterschieden (Prinzipien — gerade Schreibweise; Anwendungsregeln — kursive Schreibweise).

## 1 Anwendungsbereich

(1) Diese Norm gilt für die Bemessung und Konstruktion von Tragwerken des Hoch- und Ingenieurbaus aus unbewehrtem Beton, Stahlbeton und Spannbeton mit Normal- und Leichtzuschlägen der Festigkeitsklassen

- C12/15 bis C100/115 bzw.
- LC12/13 bis LC60/66.

Für die Herstellung von Beton der Festigkeitsklassen C90/105 und C100/115 bedarf es nach DIN 1045-2 weiterer auf den Verwendungszweck abgestimmter Nachweise.

Sofern für Leichtbeton nicht ausdrücklich festgelegt, gelten die Angaben in dieser Norm für Normalbeton und für Leichtbeton gleicher Festigkeit.

(2) Diese Norm gilt ferner für die Bemessung und Konstruktion unbewehrter Wände in Wohngebäuden aus Leichtbeton der Festigkeitsklasse LC8/9. Die für die Bemessung erforderlichen Betonkennwerte sind für diesen Fall entsprechend den Angaben in 9.1 abzuleiten.

(3) In dieser Norm werden ausschließlich Anforderungen an die Tragfähigkeit, die Gebrauchstauglichkeit und die Dauerhaftigkeit der Tragwerke behandelt. Die Gebrauchstauglichkeitsnachweise sichern die Nutzung, zum Teil auch die Dauerhaftigkeit der Konstruktion. Rechnerische Grenzwerte zur Sicherung der Dauerhaftigkeit sind verbindlich formuliert, rechnerische Grenzwerte zur Sicherung der Nutzung sind als Richtwerte angegeben.

(4) Diese Norm gilt nicht für:

- Bauteile aus Beton mit haufwerksporigem Gefüge, Porenbeton, Schwerbeton sowie Bauteile, die mittragenden Baustahl enthalten,
- besondere Bauformen (z. B. Schächte im Bergbau),
- bauphysikalische Anforderungen (z. B. Wärme- und Schallschutz) sowie die Bemessung für den Brandfall.

(5) Für die Bemessung von bestimmten Ingenieurbauwerken (z. B. Brücken, Segmenttragwerke, Dämme, Druckbehälter, Offshore-Plattformen, Flüssigkeitsbehälter) sind gegebenenfalls zusätzliche Anforderungen zu berücksichtigen.



(6) Für die Bemessung und Konstruktion von Tragwerken in Erdbebengebieten sind zusätzliche Anforderungen und Nachweise erforderlich (z. B. bezüglich der Duktilität der Bauteile und des verwendeten Betonstahls).

(7) Diese Norm enthält keine Angaben über den Nachweis der Tragfähigkeit von Transportankern. Hinweise hierzu enthalten die „Sicherheitsregeln für Transportanker und -systeme von Betonfertigteilen“ (ZH 1/17) des Hauptverbandes der gewerblichen Berufsgenossenschaften.

## 2 Normative Verweisungen

Diese Norm enthält durch datierte oder undatierte Verweisungen Festlegungen aus anderen Publikationen. Diese normativen Verweisungen sind an den jeweiligen Stellen im Text zitiert, und die Publikationen sind nachstehend aufgeführt. Bei datierten Verweisungen gehören spätere Änderungen oder Überarbeitungen dieser Publikationen nur zu dieser Norm, falls sie durch Änderung oder Überarbeitung eingearbeitet sind. Bei undatierten Verweisungen gilt die letzte Ausgabe der in Bezug genommenen Publikation (einschließlich Änderungen).

Reihe DIN 488, *Betonstahl*.

DIN 1045-2, *Beton — Festlegung, Eigenschaften, Herstellung und Konformität; Deutsche Anwendungsregeln zu DIN EN 206-1*.

DIN 1045-3, *Tragwerke aus Beton, Stahlbeton und Spannbeton — Teil 3: Bauausführung*.

DIN 1045-4, *Tragwerke aus Beton, Stahlbeton und Spannbeton — Teil 4: Ergänzende Regeln für die Herstellung und die Konformität von Fertigteilen*.

DIN 1045-100, *Beton- und Stahlbeton: Ziegeldecken*.

Reihe DIN 1055, *Lastannahmen für Bauten*.

DIN 1055-100, *Einwirkungen auf Tragwerke — Teil 100: Grundlagen der Tragwerksplanung, Sicherheitskonzept und Bemessungsregeln*.

DIN 4099-1, *Schweißen von Betonstahl — Ausführung und Prüfung*.

DIN 4102-2:1977-09, *Brandverhalten von Baustoffen und Bauteilen — Bauteile, Begriffe, Anforderungen und Prüfungen*.

DIN 4102-4:1994-04, *Brandverhalten von Baustoffen und Bauteilen — Zusammenstellung und Anwendung klassifizierter Baustoffe, Bauteile und Sonderbauteile*.

Reihe DIN 4102, *Brandverhalten von Baustoffen und Bauteilen*.

DIN EN 206-1, *Beton — Teil 1: Festlegung, Eigenschaften, Herstellung und Konformität; Deutsche Fassung EN 206-1:2000*.

DIN EN ISO 4063:2000-04, *Schweißen und verwandte Prozesse — Liste der Prozesse und Ordnungsnummern (ISO 4063:1998); Deutsche Fassung EN ISO 4063:2000*.

DIN V ENV 1992-2:1997-10, *Eurocode 2: Planung von Stahlbeton- und Spannbetontragwerken — Teil 2: Betonbrücken*.

DIN ISO 8930, *Allgemeine Grundsätze für die Zuverlässigkeit von Tragwerken — Verzeichnis der gleichbedeutenden Begriffe*.

ISO 1000, *SI-Einheiten und Festlegungen für die Anwendung ihrer Vielfachen und einiger anderer Einheiten*.

ISO 6707-1, *Bau- und Bauingenieurwesen — Vokabular — Teil 1: Allgemeine Begriffe*.

DAfStb Heft 525, *Erläuterungen zur Reihe DIN 1045 — Tragwerke aus Beton, Stahlbeton und Spannbeton<sup>1)</sup>*.

[1] DAfStb-Richtlinie, *Belastungsversuche an Massivbauwerken*.

[2] DBV-Merkblätter, *Betondeckung und Bewehrung — Abstandhalter — Rückbiegen von Betonstahl und Anforderungen an Verwahrkästen*.

---

<sup>1)</sup> DAfStb Heft 525 ist zur Zeit in Vorbereitung.

## **3 Begriffe und Formelzeichen**

### **3.1 Begriffe**

Für die Anwendung dieser Norm gelten die in ISO 6707-1, DIN ISO 8930 und DIN 1055-100 angegebenen und die folgenden Begriffe.

#### **3.1.1**

##### **üblicher Hochbau**

Hochbau, der für vorwiegend ruhende, gleichmäßig verteilte Nutzlasten bis  $5,0 \text{ kN/m}^2$ , gegebenenfalls auch für Einzellasten bis  $7,0 \text{ kN}$  und für Personenkraftwagen bemessen ist

#### **3.1.2**

##### **vorwiegend ruhende Einwirkung**

statische Einwirkung oder nicht ruhende Einwirkung, die jedoch für die Tragwerksplanung als ruhende Einwirkung betrachtet werden darf (z. B. entsprechende normative Nutzlasten in Parkhäusern, Werkstätten, Fabriken)

#### **3.1.3**

##### **nicht vorwiegend ruhende Einwirkung**

stoßende Einwirkung oder sich häufig wiederholende Einwirkung, die eine vielfache Beanspruchungsänderung während der Nutzungsdauer des Tragwerks oder des Bauteils hervorruft und die für die Tragwerksplanung nicht als ruhende Einwirkung angesehen werden darf (z. B. Kran-, Kranbahn-, Gabelstaplerlasten, Verkehrslasten auf Brücken)

#### **3.1.4**

##### **Normalbeton**

Beton mit einer Trockenrohddichte von mehr als  $2\,000 \text{ kg/m}^3$ , höchstens aber  $2\,600 \text{ kg/m}^3$

#### **3.1.5**

##### **Leichtbeton**

gefügedichter Beton mit einer Trockenrohddichte von nicht weniger als  $800 \text{ kg/m}^3$  und nicht mehr als  $2\,000 \text{ kg/m}^3$ . Er wird unter Verwendung von grobem Leichtzuschlag hergestellt

#### **3.1.6**

##### **Schwerbeton**

Beton mit einer Trockenrohddichte von mehr als  $2\,600 \text{ kg/m}^3$

#### **3.1.7**

##### **Spannglied im sofortigen Verbund**

im Betonquerschnitt liegendes Zugglied aus Spannstahl, das vor dem Betonieren im Spannbett gespannt wird. Der wirksame Verbund zwischen Beton und Spannglied entsteht nach dem Betonieren mit dem Erhärten des Betons

#### **3.1.8**

##### **Spannglied im nachträglichen Verbund**

im Betonquerschnitt im Hüllrohr liegendes Zugglied aus Spannstahl, das beim Vorspannen gegen den bereits erhärteten Beton gespannt und durch Ankerkörper verankert wird. Der wirksame Verbund zwischen Beton und Spannglied entsteht nach dem Einpressen des Mörtels in das Hüllrohr mit dem Erhärten des Einpressmörtels

### **3.1.9**

#### **internes Spannglied ohne Verbund**

im Betonquerschnitt im Hüllrohr liegendes Zugglied aus Spannstahl, das beim Vorspannen gegen den bereits erhärteten Beton gespannt wird und nur an den Verankerungen mit dem Tragwerk verbunden ist und im Bereich von Spanngliedkrümmungen Umlenkkräfte auf den Beton ausübt

### **3.1.10**

#### **externes Spannglied ohne Verbund**

außerhalb des Betonquerschnitts, aber innerhalb der Umhüllenden des Betontragwerks liegendes Zugglied aus Spannstahl, das beim Vorspannen gegen den bereits erhärteten Beton gespannt wird und mit dem Tragwerk durch Verankerungen und Umlenksättel verbunden ist

### **3.1.11**

#### **Monolitze**

werksmäßig korrosionsgeschützte Stahllitze in einer fettverpressten Kunststoffhülle, in der sich jene in Längsrichtung frei bewegen kann

### **3.1.12**

#### **Umlenksattel**

Vorrichtung mit Ausrundung (z. B. Betonblock, Querbalken, Stahlbauteil), über die ein externes Spannglied umgelenkt wird

### **3.1.13**

#### **Fertigteil**

Bauteil, das nicht in seiner endgültigen Lage, sondern in einem Werk oder an anderer Stelle hergestellt wird. Werden spezielle Regelungen für Fertigteile angewendet, setzt dies die im jeweiligen Fall beschriebenen Maßnahmen voraus (z. B. Schutz vor Witterungseinflüssen, Qualitätssicherung)

### **3.1.14**

#### **Segmenttragwerk**

in Tragrichtung aus einzelnen Fertigteilen (Segmenten) zusammengesetztes und mit Spanngliedern zusammengespanntes Tragwerk

### **3.1.15**

#### **Mehrschichttafel**

Sandwichtafel

Fertigteil, das im Allgemeinen aus einer Trag- und einer Vorsatzschicht aus Stahlbeton mit einer dazwischenliegenden Wärmedämmschicht besteht

### **3.1.16**

#### **Verbundbauteil**

Bauteil aus einem Fertigteil und einer Ortbetoneergänzung mit Verbindungselementen oder ohne Verbindungselemente

### **3.1.17**

#### **unbewehrtes Bauteil**

Bauteil ohne Bewehrung oder mit einer Bewehrung, die unterhalb der jeweils erforderlichen Mindestbewehrung liegt

ANMERKUNG Siehe Abschnitt 13.

### **3.1.18**

#### **vorwiegend auf Biegung beanspruchtes Bauteil**

Bauteil mit einer bezogenen Lastausmitte im Grenzzustand der Tragfähigkeit von  $e_d/h > 3,5$

### **3.1.19**

#### **Druckglied**

vorwiegend auf Druck beanspruchtes, stab- oder flächenförmiges Bauteil mit einer bezogenen Lastausmitte im Grenzzustand der Tragfähigkeit von  $e_d/h \leq 3,5$

### **3.1.20**

#### **Balken**

Plattenbalken

stabförmiges, vorwiegend auf Biegung beanspruchtes Bauteil mit einer Stützweite von mindestens der zweifachen Querschnittshöhe und mit einer Querschnitts- bzw. Stegbreite von höchstens der vierfachen Querschnittshöhe

### **3.1.21**

#### **Platte**

ebenes, durch Kräfte rechtwinklig zur Mittelfläche vorwiegend auf Biegung beanspruchtes, flächenförmiges Bauteil, dessen kleinste Stützweite mindestens das Zweifache seiner Bauteildicke beträgt und mit einer Bauteilbreite von mindestens der vierfachen Bauteildicke

### **3.1.22**

#### **Stütze**

stabförmiges Druckglied, dessen größere Querschnittsabmessung das Vierfache der kleineren Abmessung nicht übersteigt

### **3.1.23**

#### **Scheibe**

Wand

ebenes, durch Kräfte parallel zur Mittelfläche beanspruchtes, flächenförmiges Bauteil, dessen größere Querschnittsabmessung das Vierfache der kleineren übersteigt

### **3.1.24**

#### **wandartiger Träger**

scheibenartiger Träger

ebenes, durch Kräfte parallel zur Mittelfläche vorwiegend auf Biegung beanspruchtes, scheibenartiges Bauteil, dessen Stützweite weniger als das Zweifache seiner Querschnittshöhe beträgt

### **3.1.25**

#### **Betondeckung**

Abstand zwischen der Oberfläche eines Bewehrungsstabes, eines Spannglieds im sofortigen Verbund oder des Hüllrohrs eines Spannglieds im nachträglichen Verbund und der nächstgelegenen Betonoberfläche

### **3.1.26**

#### **Dekompression**

Grenzzustand, bei dem der Betonquerschnitt unter der maßgebenden Einwirkungskombination gerade noch vollständig unter Druckspannungen steht

## 3.2 Formelzeichen

Die im Folgenden angegebenen Definitionen beziehen sich auf die allgemeine Verwendung der Formelzeichen in dieser Norm.

### 3.2.1 Große lateinische Buchstaben

<i>A</i>	Fläche
<i>C</i>	Symbol für die Festigkeitsklasse bei Normalbeton; Auflagerreaktion
<i>E</i>	Elastizitätsmodul
<i>D</i>	Symbol für die Rohdichteklasse bei Leichtbeton
<i>F</i>	Kraft
<i>G</i>	Schubmodul
<i>H</i>	Horizontalkraft
<i>I</i>	Flächenmoment 2. Grades (Trägheitsmoment)
<i>LC</i>	Symbol für die Festigkeitsklasse bei Leichtbeton
<i>M</i>	Moment
<i>N</i>	Längskraft
<i>P</i>	Vorspannkraft, Einwirkung aus Vorspannung
<i>Q</i>	veränderliche Einwirkung
<i>R</i>	Tragwiderstand
<i>S</i>	Flächenmoment 1. Grades (statisches Moment)
<i>T</i>	Torsionsmoment
<i>V</i>	Querkraft

### 3.2.2 Kleine lateinische Buchstaben

<i>a</i>	Abstand; Auflagerbreite
<i>b</i>	Breite
<i>c</i>	Betondeckung
<i>d</i>	statische Nutzhöhe; Durchmesser
<i>e</i>	Lastausmitte (Exzentrizität)
<i>f</i>	Festigkeit
<i>h</i>	Höhe, Bauteildicke
<i>i</i>	Trägheitsradius
<i>k</i>	ungewollter Umlenkwinkel der Spannglieder
<i>l</i>	Länge; Stützweite, Spannweite
<i>m</i>	Moment je Längeneinheit
<i>n</i>	Normalkraft je Längeneinheit; Anzahl
<i>p</i>	Querdruck
<i>r</i>	Radius
<i>s</i>	Abstand, Stababstand
<i>t</i>	Zeitpunkt; Wanddicke
<i>u</i>	Umfang

- $v$  Querkraft je Längeneinheit
- $x$  Höhe der Druckzone
- $z$  Hebelarm der inneren Kräfte

### 3.2.3 Griechische Buchstaben

- $\alpha$  Beiwert; Abminderungsbeiwert zur Berücksichtigung von Langzeitwirkungen auf die Betonfestigkeit und zur Umrechnung zwischen Zylinderdruckfestigkeit und einaxialer Druckfestigkeit des Betons; Winkel der Querkraftbewehrung zur Bauteilachse; Wärmedehnzahl
- $\beta$  Ausbreitungswinkel konzentriert einwirkender Normalkräfte; Abminderungsbeiwert für die einwirkende Querkraft bei auflagnahen Einzellasten; Beiwert zur Berücksichtigung der nichtrotationssymmetrischen Beanspruchung im kritischen Rundschnitt
- $\gamma$  Teilsicherheitsbeiwert
- $\delta$  Verhältnis der umgelagerten Schnittgröße zur Ausgangsschnittgröße
- $\varepsilon$  Dehnung
- $\eta$  Korrekturfaktor bei Leichtbeton
- $\theta$  Rotation; Summe der planmäßigen Umlenkwinkel der Spannglieder; Druckstrebenwinkel
- $\varphi$  Kriechbeiwert; Beiwert zur Berücksichtigung der Auswirkungen nach Theorie II. Ordnung bei unbewehrten Druckgliedern
- $\lambda$  Schlankheit
- $\mu$  bezogenes Moment; Reibungsbeiwert
- $\nu$  bezogene Normalkraft
- $\xi$  Verhältnis der Verbundfestigkeit von Spannstahl zu der von Betonstahl
- $\rho$  geometrisches Bewehrungsverhältnis; Dichte
- $\sigma$  Normalspannung
- $\tau$  Schubspannung
- $\Delta$  Differenz

### 3.2.4 Indizes

- b Verbund
- c Beton; Druck; Kriechen
- d Bemessungswert
- e Exzentrizität (Lastausmitte)
- f Flansch, Gurt
- g ständige Einwirkung
- h Bauteilhöhe
- i ideell; Laufvariable
- j Laufvariable
- k charakteristisch
- l längs
- lc Leichtbeton
- m Durchschnittswert, mittlerer Wert
- p Vorspannung, Spannstahl
- q veränderliche Einwirkung

r	Riss; Relaxation
s	Betonstahl; Schwinden
t	Zug; quer
u	Grenzwert
v	Verlegemaß; vertikal
w	Steg, Wand
y	Fließ-, Streckgrenze
cal	Rechenwert
col	Stütze
dir	direkt
eff	effektiv, wirksam
erf	erforderlich
fat	Ermüdungswert
ges	Gesamtwert
ind	indirekt
inf	unterer Wert
max	maximaler Wert
min	minimaler Wert
nom	Nennwert
pl	plastisch
red	reduzierter Wert
sup	oberer Wert
surf	Oberfläche
vorh	vorhanden
E	Beanspruchung
Ed	Bemessungswert einer Beanspruchung
F	Einwirkung (Kraft)
G	ständige Einwirkung
L	Längs-
P	Vorspannkraft, Einwirkung aus Vorspannung
Q	veränderliche Einwirkung
R	Systemwiderstand; rechnerisch
Rd	Bemessungswiderstand
T	Quer-, Torsion
$\delta$	Umlagerung
$\varphi$	Kriechen
$\mu$	Verlust
I	ungerissener Zustand des Querschnitts (Zustand I)
II	gerissener Zustand des Querschnitts (Zustand II)

### 3.2.5 Große lateinische Buchstaben mit Indizes

$A_c$	Gesamtfläche des Betonquerschnitts
$A_p$	Querschnittsfläche des Spannstahls
$A_s$	Querschnittsfläche des Betonstahls
$A_{sw}$	Querschnittsfläche der Querkraft- und Torsionsbewehrung
$C_{Ed}$	Bemessungswert der Auflagerreaktion
$E_c$	Elastizitätsmodul für Normalbeton
$E_{c0}$	Elastizitätsmodul des Betons als Tangente im Ursprung der Spannungs-Dehnungs-Linie nach 28 Tagen
$E_{cm}$	mittlerer Elastizitätsmodul für Normalbeton
$E_d$	Bemessungswert einer Beanspruchung, Schnittgröße, Spannung oder Verformung
$E_{lc}$	Elastizitätsmodul für Leichtbeton
$E_{lcm}$	mittlerer Elastizitätsmodul für Leichtbeton
$E_p$	Elastizitätsmodul für Spannstahl
$E_s$	Elastizitätsmodul für Betonstahl
$F_{cd}$	Bemessungswert der Betondruckkraft
$F_{pd}$	Bemessungswert der Spanngliedkraft
$F_{sd}$	Bemessungswert der Zugkraft des Betonstahls
$G_{cm}$	mittlerer Schubmodul des Betons
$I_c$	Trägheitsmoment des Betonquerschnitts
$I_T$	Torsionsträgheitsmoment des Betonquerschnitts
$I_\omega$	Wölbrträgheitsmoment des Betonquerschnitts
$M_{p,dir}$	statisch bestimmter Anteil der Vorspannung
$M_{p,ind}$	statisch unbestimmter Anteil der Vorspannung
$M_{Rd}$	Bemessungswert des aufnehmbaren Moments
$M_{Ed}$	Bemessungswert des einwirkenden Biegemoments
$N_{Rd}$	Bemessungswert der aufnehmbaren Normalkraft
$N_{Ed}$	Bemessungswert der einwirkenden Normalkraft
$N_{ud}$	Bemessungswert der Grenztragfähigkeit des Querschnitts, der durch zentrischen Druck beansprucht wird
$P_0$	aufgebrachte Höchstkraft am Spannanker während des Spannens
$P_d$	Bemessungswert der Vorspannkraft
$P_k$	charakteristischer Wert der Vorspannkraft
$P_{m0}$	Mittelwert der Vorspannkraft unmittelbar nach dem Spannen oder der Krafteinleitung in den Beton
$P_{mt}$	Mittelwert der Vorspannkraft zur Zeit $t$
$\Delta P_\mu$	Spannkraftverlust
$R_d$	Bemessungswert des Tragwiderstands
$T_{Ed}$	Bemessungswert des einwirkenden Torsionsmoments
$T_{Rd}$	Bemessungswert des aufnehmbaren Torsionsmoments
$V_{Rd}$	Querkrafttragwiderstand



$V_{Rd, ct}$	Bemessungswert der ohne Querkraftbewehrung aufnehmbaren Querkraft
$V_{Rd, max}$	Bemessungswert der durch die Druckstrebenfestigkeit begrenzten aufnehmbaren Querkraft
$V_{Rd, sy}$	Bemessungswert der durch die Tragfähigkeit der Querkraftbewehrung begrenzten aufnehmbaren Querkraft
$V_{Ed}$	Bemessungswert der einwirkenden Querkraft

### 3.2.6 Kleine lateinische Buchstaben mit Indizes

$a_1$	Versatzmaß der Zugkraftdeckungslinie
$b_{eff}$	mitwirkende Plattenbreite für einen Plattenbalken
$b_f$	Gurtplattenbreite
$b_w$	Stegbreite
$b_v$	anrechenbare Stegbreite bei Plattenbalkenquerschnitten mit veränderlicher Plattendicke
$c_{min}$	Mindestbetondeckung
$c_{nom}$	Nennmaß der Betondeckung
$c_v$	Verlegemaß der Bewehrung
$\Delta c$	Vorhaltemaß der Betondeckung für unplanmäßige Abweichungen
$d_{br}$	Biegerollendurchmesser
$d_g$	Größtkorndurchmesser der Gesteinskörnung
$d_p$	Nenn Durchmesser der Litze oder des Drahts bei Spanngliedern
$d_s$	Stabdurchmesser der Betonstahlbewehrung
$d_{sV}$	Vergleichsdurchmesser der Bewehrung bei Stabbündeln
$e_0$	planmäßige Lastausmitte
$e_1$	Summe aus planmäßiger und zusätzlicher ungewollter Lastausmitte
$e_2$	zusätzliche Lastausmitte aus Verformungen nach Theorie II. Ordnung
$e_a$	zusätzliche ungewollte Lastausmitte
$e_{\varphi}$	Kriechausmitte
$e_{tot}$	Gesamtlastausmitte
$f_{0,2k}$	charakteristischer Wert der 0,2%-Dehngrenze des Betonstahls
$f_{bp}$	Verbundspannung in der Übertragungslänge von Spanngliedern im sofortigen Verbund
$f_{cd}$	Bemessungswert der einaxialen Festigkeit des Betons
$f_{cd, fat}$	Bemessungswert der einaxialen Festigkeit des Betons beim Nachweis gegen Ermüdung
$f_{ck, zyl}$	charakteristische Zylinderdruckfestigkeit des Betons nach 28 Tagen; zur Vereinfachung in dieser Norm mit $f_{ck}$ bezeichnet
$f_{ck, cube}$	charakteristische Würfeldruckfestigkeit des Betons nach 28 Tagen
$f_{cm}$	Mittelwert der Zylinderdruckfestigkeit des Betons
$f_{cmj}$	Mindestzylinderdruckfestigkeit des Betons beim Vorspannen
$f_{ct}$	zentrische Zugfestigkeit des Betons
$f_{ctk; 0,05}$	charakteristischer Wert des 5 %-Quantils der zentrischen Betonzugfestigkeit
$f_{ctk; 0,95}$	charakteristischer Wert des 95 %-Quantils der zentrischen Betonzugfestigkeit
$f_{ct, sp}$	Spaltzugfestigkeit des Betons; in DIN EN 206-1 mit $f_{tk}$ bezeichnet
$f_{ctm}$	Mittelwert der zentrischen Zugfestigkeit des Betons

$f_{cR}$	rechnerischer Mittelwert der Zylinderdruckfestigkeit des Betons bei nichtlinearen Verfahren der Schnittgrößenermittlung
$f_{lck}$	charakteristische Zylinderdruckfestigkeit von Leichtbeton nach 28 Tagen
$f_{lck, cube}$	charakteristische Würfeldruckfestigkeit von Leichtbeton nach 28 Tagen
$f_{lcm}$	Mittelwert der Zylinderdruckfestigkeit von Leichtbeton
$f_{lctk; 0,05}$	charakteristischer Wert des 5 %-Quantils der zentrischen Betonzugfestigkeit von Leichtbeton
$f_{lctk; 0,95}$	charakteristischer Wert des 95 %-Quantils der zentrischen Betonzugfestigkeit von Leichtbeton
$f_{lctm}$	Mittelwert der zentrischen Zugfestigkeit von Leichtbeton
$f_{p0,1k}$	charakteristischer Wert der 0,1 %-Dehngrenze des Spannstahls
$f_{p0,1R}$	rechnerischer Mittelwert der 0,1 %-Dehngrenze des Spannstahls bei nichtlinearen Verfahren der Schnittgrößenermittlung
$f_{pk}$	charakteristischer Wert der Zugfestigkeit des Spannstahls
$f_{pR}$	rechnerischer Mittelwert der Zugfestigkeit des Spannstahls bei nichtlinearen Verfahren der Schnittgrößenermittlung
$f_{tk}$	charakteristischer Wert der Zugfestigkeit des Betonstahls
$f_{tk, cal}$	charakteristischer Wert der Zugfestigkeit des Betonstahls für die Bemessung
$f_{tR}$	rechnerischer Mittelwert der Zugfestigkeit des Betonstahls bei nichtlinearen Verfahren der Schnittgrößenermittlung
$f_{yd}$	Bemessungswert der Streckgrenze des Betonstahls
$f_{yk}$	charakteristischer Wert der Streckgrenze des Betonstahls
$f_{yR}$	rechnerischer Mittelwert der Streckgrenze des Betonstahls bei nichtlinearen Verfahren der Schnittgrößenermittlung
$h_f$	Gurtplattendicke
$h_{ges}$	Gesamthöhe
$h_{red}$	reduzierte Höhe
$l_0$	wirksame Stützweite; Ersatzlänge bei Druckgliedern
$l_b$	Grundmaß der Verankerungslänge des Betonstahls
$l_{b, net}$	Verankerungslänge des Betonstahls
$l_{ba}$	Verankerungslänge eines Spannglieds im sofortigen Verbund
$l_{bp}$	Übertragungslänge eines Spannglieds im sofortigen Verbund
$l_{bpd}$	Bemessungswert der Übertragungslänge eines Spannglieds im sofortigen Verbund
$l_{col}$	Länge eines Einzeldruckglieds zwischen den idealisierten Einspannstellen
$l_{eff}$	effektive Stützweite
$l_n$	lichte Stützweite
$l_{p, eff}$	Eintragungslänge eines im sofortigen Verbund liegenden Spannglieds
$l_s$	erforderliche Übergreifungslänge
$(1/r)$	Krümmung
$r_{sup}$	oberer Beiwert zur Berücksichtigung der Streuung der Vorspannkraft
$r_{inf}$	unterer Beiwert zur Berücksichtigung der Streuung der Vorspannkraft
$s_0$	Randabstand der Bewehrung
$s_w$	Abstand der Querkraft- oder Torsionsbewehrung in Bauteillängsrichtung gemessen

$t_0$	Zeitpunkt des Belastungsbeginns
$t_j$	Zeitpunkt des Vorspannens
$V_{Rd,ct}$	Bemessungswert der Querkrafttragfähigkeit längs des kritischen Rundschnitts einer Platte ohne Durchstanzbewehrung
$V_{Rd,ct,a}$	Bemessungswert der Querkrafttragfähigkeit längs des äußeren Rundschnitts außerhalb des durchstanzbewehrten Bereichs
$w_k$	Rechenwert der Rissbreite
$x_d$	Druckzonenhöhe nach der Umlagerung der Schnittgrößen

### 3.2.7 Griechische Buchstaben mit Indizes

$\alpha_1$	Beiwert für die Übergreifungslänge des Betonstahls
$\alpha_a$	Winkel der Schiefstellung; Wirksamkeit der Verankerung des Betonstahls
$\alpha_c$	Abminderungsbeiwert für die Betondruckfestigkeit infolge Querkzugbeanspruchung
$\alpha_e$	Verhältnis der Elastizitätsmoduln von Betonstahl und Beton
$\alpha_l$	Beiwert für die Übertragungslänge eines Spannglieds im sofortigen Verbund
$\alpha_n$	Abminderungsbeiwert für die Schiefstellung zur Berücksichtigung nebeneinander wirkender Druckglieder
$\alpha_p$	Verhältnis der Elastizitätsmoduln von Spannstahl und Beton
$\gamma_c$	Teilsicherheitsbeiwert für Beton
$\gamma_c'$	zusätzlicher Teilsicherheitsbeiwert für Beton ab Festigkeitsklasse C55/67 bzw. LC55/60
$\gamma_F$	Teilsicherheitsbeiwert für die Einwirkungen $F$
$\gamma_G$	Teilsicherheitsbeiwert für eine ständige Einwirkung
$\gamma_P$	Teilsicherheitsbeiwert für die Einwirkung infolge Vorspannung, sofern diese auf der Einwirkungsseite berücksichtigt wird
$\gamma_Q$	Teilsicherheitsbeiwert für eine veränderliche Einwirkung
$\gamma_R$	Teilsicherheitsbeiwert für den Systemwiderstand bei nichtlinearen Verfahren der Schnittgrößenermittlung
$\gamma_s$	Teilsicherheitsbeiwert für Betonstahl und Spannstahl
$\varepsilon_c$	Dehnung des Betons
$\varepsilon_{cas}$	Schrumpfdehnung des Betons
$\varepsilon_{cc}$	Kriechdehnung des Betons
$\varepsilon_{cds}$	Trocknungsschwinddehnung des Betons
$\varepsilon_{cs}$	Schwinddehnung des Betons
$\varepsilon_{cu}$	rechnerische Bruchdehnung des Betons
$\varepsilon_{lc}$	Dehnung des Leichtbetons
$\varepsilon_{lcu}$	rechnerische Bruchdehnung des Leichtbetons
$\varepsilon_p$	Dehnung des Spannstahls
$\varepsilon_p^{(0)}$	Vordehnung des Spannstahls gegenüber dem Beton (Spannbettdehnung)
$\varepsilon_s$	Dehnung der Betonstahls
$\varepsilon_{su}$	rechnerische Bruchdehnung des Betonstahls
$\varepsilon_{yd}$	Bemessungswert der Dehnung des Betonstahls an der Streckgrenze
$\theta_E$	vorhandene plastische Rotation

$\theta_{pl, d}$	Bemessungswert der zulässigen plastischen Rotation
$\lambda_{max}$	Grenzwert der Schlankheit, ab dem ein Druckglied als schlank gilt
$\lambda_{crit}$	Grenzwert der Schlankheit, ab dem für ein Druckglied die Einflüsse nach Theorie II. Ordnung zu berücksichtigen sind
$\varrho_l$	geometrisches Bewehrungsverhältnis der Längsbewehrung
$\varrho_w$	geometrisches Bewehrungsverhältnis der Querkraft- und Torsionsbewehrung
$\sigma_c$	Spannung im Beton
$\sigma_{cg}$	Spannung im Beton infolge der quasi-ständigen Einwirkungskombination
$\sigma_{cp0}$	Anfangswert der Spannung im Beton infolge Vorspannung
$\sigma_p$	Spannung im Spannstahl
$\sigma_{p0}$	maximal in den Spannstahl eingetragene Spannung während des Spannens
$\sigma_{pm0}$	Spannung im Spannstahl unmittelbar nach dem Spannen oder der Kraffteinleitung in den Beton
$\Delta\sigma_{p, c+s+r}$	Spannkraftverlust infolge Kriechen und Schwinden des Betons und Spannstahlrelaxation
$\Delta\sigma_{pr}$	Spannungsänderung im Spannstahl infolge Relaxation
$\sigma_s$	Spannung im Betonstahl

### 3.3 SI-Einheiten

- (1) SI-Einheiten sind in Übereinstimmung mit ISO 1000 anzuwenden.
- (2) Für Berechnungen sollten die folgenden Einheiten angewendet werden:
  - Längen m; mm
  - Querschnittsflächen (Beton-, Spannstahl) cm<sup>2</sup>; mm<sup>2</sup>
  - Kräfte und Einwirkungen kN, kN/m, kN/m<sup>2</sup>
  - Wichte kN/m<sup>3</sup>
  - Spannungen und Festigkeiten N/mm<sup>2</sup> (= MN/m<sup>2</sup> oder MPa)
  - Momente kNm

## 4 Bautechnische Unterlagen

### 4.1 Umfang der bautechnischen Unterlagen

- (1) Zu den bautechnischen Unterlagen gehören die für die Ausführung des Bauwerks notwendigen Zeichnungen, die statische Berechnung und — wenn für die Bauausführung erforderlich — eine ergänzende Projektbeschreibung sowie etwaige allgemeine bauaufsichtliche Zulassungen und Prüfbescheide.
- (2) Zu den bautechnischen Unterlagen gehören auch Angaben über den Zeitpunkt und die Art des Vorspannens, das Herstellungsverfahren sowie das Spannprogramm.

### 4.2 Zeichnungen

#### 4.2.1 Allgemeine Anforderungen

- (1) Die Bauteile, die einzubauende Betonstahlbewehrung und die Spannglieder sowie alle Einbauteile sind auf den Zeichnungen eindeutig und übersichtlich darzustellen und zu bemaßen. Die Darstellungen müssen mit den Angaben in der statischen Berechnung übereinstimmen und alle für die Ausführung der Bauteile und für die Prüfung der Berechnungen erforderlichen Maße enthalten.
- (2) Auf zugehörige Zeichnungen ist hinzuweisen. Bei nachträglicher Änderung einer Zeichnung sind alle von der Änderung ebenfalls betroffenen Zeichnungen entsprechend zu berichtigen.

(3) Auf den Bewehrungszeichnungen sind insbesondere anzugeben:

- die erforderliche Festigkeitsklasse des Betons, die Expositionsclassen und weitere Anforderungen an den Beton in Übereinstimmung mit den Festlegungen nach 6.2 und DIN 1045-2,
- die Betonstahlsorte nach 9.2 und die Spannstahlsorte nach 9.3,
- Anzahl, Durchmesser, Form und Lage der Bewehrungsstäbe; gegenseitiger Abstand und Übergreifungslängen an Stößen und Verankerungslängen; Anordnung, Maße und Ausbildung von Schweißstellen mit Angabe der Schweißzusatzwerkstoffe; Typ und Lage der mechanischen Verbindungsmittel; Rüttelgassen, Lage von Betonieröffnungen,
- das Herstellungsverfahren der Vorspannung; Anzahl, Typ und Lage der Spannglieder; Anzahl, Typ und Lage der Spanngliederankerungen und Spanngliedkopplungen sowie Anzahl, Durchmesser, Form und Lage der zugehörigen Betonstahlbewehrung; Typ und Durchmesser der Hüllrohre; Angaben zum Einpressmörtel,
- bei gebogenen Bewehrungsstäben die erforderlichen Biegerollendurchmesser,
- Maßnahmen zur Lagesicherung der Betonstahlbewehrung und der Spannglieder (z. B. Art und Anordnung der Abstandhalter) sowie Anordnung, Maße und Ausführung der Unterstützungen der oberen Betonstahlbewehrungslage und der Spannglieder,
- das Verlegemaß  $c_v$  der Bewehrung, das sich aus dem Nennmaß der Betondeckung  $c_{nom}$  ableitet, sowie das Vorhaltemaß  $\Delta c$  der Betondeckung nach 6.3,
- die Fugenausbildung,
- gegebenenfalls besondere Maßnahmen zur Qualitätssicherung.<sup>2)</sup>

(4) Bei Verwendung von Fertigteilen sind ferner anzugeben:

- die Art der Fertigteile,
- Typ- oder Positionsnummer und Eigenlast der Fertigteile,
- die Mindestdruckfestigkeitsklasse des Betons beim Transport und bei der Montage,
- Art, Lage und zulässige Einwirkungsrichtung der für den Transport und die Montage erforderlichen Anschlagmittel (z. B. Transportanker), Abstützpunkte und Lagerungen,
- gegebenenfalls zusätzliche konstruktive Maßnahmen zur Sicherung gegen Stoßbeanspruchung,
- die auf der Baustelle zusätzlich zu verlegende Bewehrung in gesonderter Darstellung.

#### 4.2.2 Verlegezeichnungen für die Fertigteile

Bei Bauwerken mit Fertigteilen sind für die Baustelle Verlegezeichnungen der Fertigteile mit den Positionsnummern der einzelnen Teile und eine Positionsliste anzufertigen. In den Verlegezeichnungen sind auch die für den Zusammenbau erforderlichen Auflagertiefen, die Art und die Abmessungen der Lager und die erforderlichen Abstützungen der Fertigteile anzugeben.

#### 4.2.3 Zeichnungen für die Schalungs- und Traggerüste

Für Schalungs- und Traggerüste, für die eine statische Berechnung erforderlich ist, sind Zeichnungen für die Baustelle anzufertigen; ebenso für Schalungen, die hohen seitlichen Druck des Frischbetons aufnehmen müssen.

### 4.3 Statische Berechnungen

(1) Das Tragwerk und die Lastabtragung sind zu beschreiben. Die Tragfähigkeit und die Gebrauchstauglichkeit der baulichen Anlage und ihrer Bauteile sind in der statischen Berechnung übersichtlich und leicht prüfbar nachzuweisen. Mit numerischen Methoden erzielte Rechenergebnisse (z. B. Schnittgrößen, Verformungen) sollten grafisch dargestellt werden.

<sup>2)</sup> siehe z. B. DBV-Merkblatt „Betondeckung“

(2) Das Verfahren zur Ermittlung der Schnittgrößen nach Abschnitt 8 ist freigestellt. Die Bemessung ist nach den in dieser Norm angegebenen Grundlagen durchzuführen. Für Regeln, die von den in dieser Norm angegebenen Anwendungsregeln abweichen, und für abweichende außergewöhnliche Gleichungen ist die Fundstelle anzugeben, sofern diese allgemein zugänglich ist, sonst sind die Ableitungen so weit zu entwickeln, dass ihre Richtigkeit geprüft werden kann.

(3) Bei Bauwerken mit Fertigteilen sind auch die Transport- und Montagevorgänge der Fertigteile nachzuweisen.

#### 4.4 Baubeschreibung

(1) Angaben, die für die Bauausführung oder für die Prüfung der Zeichnungen oder der statischen Berechnung notwendig sind, aber aus den Unterlagen nach 4.2 und 4.3 nicht ohne weiteres entnommen werden können, müssen in einer Baubeschreibung enthalten und erläutert sein. Dazu gehören auch die erforderlichen Angaben für Beton mit gestalteten Ansichtsflächen.

(2) Bei Bauwerken mit Fertigteilen sind Angaben über den Montagevorgang einschließlich zeitweiliger Stützungen und Aufhängungen sowie über das Ausrichten und über die während der Montage auftretenden, für die Tragfähigkeit und Gebrauchstauglichkeit wichtigen Zwischenzustände erforderlich. Besondere Anforderungen an die Lagerung der Fertigteile sind in den Zeichnungen und der Montageanleitung anzugeben.

### 5 Sicherheitskonzept

#### 5.1 Allgemeines

(1) Für die Anwendung dieser Norm gilt das in DIN 1055-100 festgelegte Sicherheitskonzept. In 5.2 bis 5.4 werden zusätzliche bauartspezifische Festlegungen getroffen. Angaben zu den Einwirkungen enthalten die Normen der Reihe DIN 1055.

(2) Zur Sicherstellung einer ausreichenden Zuverlässigkeit ist das Tragwerk in den nach 5.3 und 5.4 definierten Grenzzuständen der Tragfähigkeit und Gebrauchstauglichkeit nachzuweisen und nach den in den Abschnitten 12 und 13 angegebenen konstruktiven Regeln unter Beachtung der Angaben zur Sicherstellung der Dauerhaftigkeit in Abschnitt 6 auszubilden.

(3) Bei den Nachweisen in den Grenzzuständen der Tragfähigkeit und der Gebrauchstauglichkeit sind sowohl die Lastfälle des Endzustandes als auch die Lastfälle des Bauzustandes zu berücksichtigen, bei Fertigteilen darüber hinaus auch die Lastfälle aus der Lagerung, dem Transport und der Montage.

#### 5.2 Bemessungswert des Tragwiderstands

(1) Die dieser Norm zugrunde liegenden charakteristischen Werte der Baustoffeigenschaften sind in Abschnitt 9 angegeben.

(2) Der Bemessungswert des Tragwiderstands  $R_d$  ist in Abhängigkeit vom Verfahren der Schnittgrößenermittlung nach Gleichung (1) oder Gleichung (2) zu ermitteln.

a) Bei linear-elastischer Berechnung der Schnittgrößen nach 8.2 und 8.3 oder Verfahren nach der Plastizitätstheorie nach 8.4:

$$R_d = R \left( \alpha \frac{f_{ck}}{\gamma_c}; \frac{f_{yk}}{\gamma_s}; \frac{f_{tk,cal}}{\gamma_s}; \frac{f_{p0,1k}}{\gamma_s}; \frac{f_{pk}}{\gamma_s} \right) \quad (1)$$

Dabei ist

$f_{ck}$	die charakteristische Betonfestigkeit
$f_{yk}$	der charakteristische Wert der Streckgrenze des Betonstahls
$f_{p0,1k}$	der charakteristische Wert der 0,1 %-Dehngrenze des Spannstahls
$f_{pk}$	charakteristischer Wert der Zugfestigkeit des Spannstahls
$f_{tk,cal}$	charakteristischer Wert der Zugfestigkeit des Betonstahls für die Bemessung
$\alpha$	der Abminderungsbeiwert nach 9.1.6
$\gamma_c, \gamma_s$	der jeweilige Teilsicherheitsbeiwert für den Beton bzw. den Beton- oder Spannstahl nach 5.3.3

b) Bei nichtlinearen Verfahren der Schnittgrößenermittlung nach 8.5:

$$R_d = \frac{1}{\gamma_R} R (f_{cR}; f_{yR}; f_{tR}; f_{p0,1R}; f_{pR}) \quad (2)$$

Dabei ist

$f_{cR}, f_{yR}, f_{pR}, f_{tR}, f_{p0,1R}$  der jeweilige rechnerische Mittelwert der Festigkeiten des Betons, des Betonstahls bzw. des Spannstahls

$\gamma_R$  der Teilsicherheitsbeiwert für den Systemwiderstand

(3) Bei nichtlinearen Verfahren der Schnittgrößenermittlung dürfen die Festigkeitswerte  $f_{cR}$ ,  $f_{yR}$ ,  $f_{pR}$  und der Teilsicherheitsbeiwert für den Systemwiderstand  $\gamma_R$  entsprechend den Angaben in 8.5.1 angenommen werden.

(4) Für den Nachweis bestehender Tragwerke darf der Bemessungswert des Tragwiderstands auch aus Versuchen abgeleitet werden.<sup>3)</sup>

### 5.3 Grenzzustände der Tragfähigkeit

#### 5.3.1 Allgemeines

(1) Grenzzustände der Tragfähigkeit sind diejenigen Zustände, bei deren Überschreitung rechnerisch der Einsturz oder andere Formen des Tragwerksversagens eintreten.

(2) Die Regeln dieser Norm gelten für den Nachweis des Tragwerks gegen Versagen durch Bruch oder Überschreitung der festgelegten Grenzdehnungen in einem Bauteilquerschnitt oder in einer Verbindung oder durch Systemversagen.

(3) Für den Nachweis der Lagesicherheit des Tragwerks (z. B. Abheben, Umkippen, Aufschwimmen) gilt DIN 1055-100.

#### 5.3.2 Sicherstellung eines duktilen Bauteilverhaltens

(1) Ein Versagen des Bauteils bei Erstrissbildung ohne Vorankündigung muss vermieden werden (Duktilitätskriterium).

(2) Für Stahlbeton- und Spannbetonbauteile gilt Absatz (1) als erfüllt, wenn eine Mindestbewehrung nach 13.1.1 eingebaut ist.

(3) Alternativ gilt bei Spannbetonbauteilen in Bauwerken, die einer geregelten Überwachung unterliegen, die Anforderung nach Absatz (1) auch als erfüllt, wenn eine Zugänglichkeit der Spannglieder sichergestellt ist, so dass deren Unversehrtheit mit geeigneten zerstörungsfreien Prüfverfahren oder durch laufende Überwachung (Monitoring) überprüft werden kann.

(4) Für stabförmige unbewehrte Bauteile mit Rechteckquerschnitt gilt Absatz (1) als erfüllt, wenn die Ausmitte der Längskraft in der maßgebenden Einwirkungskombination des Grenzzustandes der Tragfähigkeit auf  $e_d/h < 0,4$  beschränkt wird.

#### 5.3.3 Teilsicherheitsbeiwerte für die Einwirkungen und den Tragwiderstand im Grenzzustand der Tragfähigkeit

(1) Die in DIN 1055-100 angegebenen Teilsicherheitsbeiwerte für Einwirkungen bei Hochbauten sind für den Anwendungsbereich dieser Norm erweitert und Tabelle 1 zu entnehmen.

(2) Für den Nachweis gegen Ermüdung nach 10.8 ist für den Teilsicherheitsbeiwert der Einwirkungen  $\gamma_{F, \text{fat}} = 1,0$  anzusetzen; der Teilsicherheitsbeiwert für die Modellunsicherheit darf mit  $\gamma_{Ed, \text{fat}} = 1,0$  angesetzt werden.

(3) Bei linear-elastischer Schnittgrößenermittlung mit den Steifigkeiten der ungerissenen Querschnitte und dem mittleren Elastizitätsmodul  $E_{cm}$  darf für Zwang der Teilsicherheitsbeiwert  $\gamma_Q = 1,0$  angesetzt werden.

<sup>3)</sup> siehe z. B. DAfStb-Richtlinie für Belastungsversuche an Massivbauwerken

**Tabelle 1 — Teilsicherheitsbeiwerte für die Einwirkungen auf Tragwerke im Grenzzustand der Tragfähigkeit**

Zeile	Spalte	1	2	3
	Auswirkung	Ständige Einwirkungen $\gamma_G$	Veränderliche Einwirkungen $\gamma_Q$	Vorspannung <sup>a b</sup> $\gamma_P$
1	günstig	1,0	0	1,0
2	ungünstig	1,35	1,5	1,0

<sup>a</sup> Sofern die Vorspannung als Einwirkung aus Anker und Umlenkräften oder als einwirkende Schnittgröße berücksichtigt wird (siehe auch 8.7.1).

<sup>b</sup> Bezüglich des Teilsicherheitsbeiwerts für den Spannungszuwachs im Spannstahl bei Spanngliedern ohne Verbund siehe 8.7.5.

(4) Bei Fertigteilen dürfen für Bauzustände im Grenzzustand der Tragfähigkeit für Biegung und Längskraft die Teilsicherheitsbeiwerte für die ständigen und die veränderlichen Einwirkungen mit  $\gamma_G = 1,15$  bzw.  $\gamma_Q = 1,15$  angesetzt werden. Einwirkungen aus Krantransport und Schalungshaftung sind dabei zu berücksichtigen.

(5) Bei durchlaufenden Platten und Balken darf für ein und dieselbe unabhängige ständige Einwirkung (z. B. Eigengewicht) entweder der obere oder der untere Wert  $\gamma_G$  in allen Feldern gleich angesetzt werden. Dies gilt nicht für den Nachweis der Lagesicherheit nach DIN 1055-100.

(6) Teilsicherheitsbeiwerte für die Bestimmung des Tragwiderstands sind Tabelle 2 zu entnehmen.

(7) Bei Fertigteilen mit einer werksmäßigen und ständig überwachten Herstellung darf der Teilsicherheitsbeiwert für den Beton auf  $\gamma_c = 1,35$  verringert werden, wenn durch eine Überprüfung der Betonfestigkeit am fertigen Bauteil sichergestellt wird, dass Fertigteile mit zu geringer Betonfestigkeit ausgesondert werden. Die in diesem Fall notwendigen Maßnahmen sind durch die zuständigen Überwachungsstellen festzulegen.

(8) Bei unbewehrten Bauteilen ist wegen der geringen Verformungsfähigkeit des unbewehrten Betons für ständige und vorübergehende Bemessungssituationen  $\gamma_c = 1,8$  und für außergewöhnliche Bemessungssituationen  $\gamma_c = 1,55$  anzusetzen. Diese Werte gelten für Druck- und Zugbeanspruchung.

**Tabelle 2 — Teilsicherheitsbeiwerte für die Bestimmung des Tragwiderstands im Grenzzustand der Tragfähigkeit**

Zeile	Spalte	1	2	3
	Bemessungssituation	Beton $\gamma_c$ <sup>a b</sup>	Betonstahl oder Spannstahl $\gamma_s; \gamma_{s, fat}$	Systemwiderstand bei nichtlinearen Verfahren der Schnittgrößenermittlung $\gamma_R$
1	Ständige und vorübergehende Bemessungssituation	1,5	1,15	siehe 8.5.1
2	Außergewöhnliche Bemessungssituation	1,3	1,0	
3	Nachweis gegen Ermüdung nach 10.8	1,5	1,15	

<sup>a</sup> Für Beton ab der Festigkeitsklasse C55/67 und LC55/60 siehe Absatz (9).



(9) Bei Beton ab den Festigkeitsklassen C55/67 und LC55/60 ist der Teilsicherheitsbeiwert  $\gamma_c$  zur Berücksichtigung der größeren Streuungen der Materialeigenschaften stets mit dem Faktor  $\gamma_c'$  zu vergrößern:

$$\gamma_c' = \frac{1}{1,1 - \frac{f_{ck}}{500}} \geq 1,0 \quad (3)$$

Dabei ist  $f_{ck}$  in  $\text{N}/\text{mm}^2$  einzusetzen.

### 5.3.4 Kombination von Einwirkungen, Bemessungssituationen

(1) Die bei den Nachweisen in den Grenzzuständen der Tragfähigkeit in Betracht zu ziehenden Bemessungssituationen sind in DIN 1055-100 angegeben. Die unabhängigen Einwirkungen auf das Tragwerk sind je nach Bemessungssituation miteinander zu kombinieren. Für die Einwirkungskombinationen gilt DIN 1055-100.

(2) Für die Einwirkungskombination beim Nachweis gegen Ermüdung gilt 10.8.3.

## 5.4 Grenzzustände der Gebrauchstauglichkeit

### 5.4.1 Allgemeines

(1) Grenzzustände der Gebrauchstauglichkeit entsprechen Bedingungen, bei deren Überschreitung die festgelegten Nutzungsanforderungen eines Tragwerks oder eines Tragwerksteils nicht mehr erfüllt sind oder eine dauerhafte Tragfähigkeit im Sinne dieser Norm nicht mehr sichergestellt ist.

(2) Die Nachweise in den Grenzzuständen der Gebrauchstauglichkeit umfassen die

- Begrenzung der Spannungen nach 11.1,
- Begrenzung der Rissbreiten nach 11.2,
- Begrenzung der Verformungen nach 11.3.

(3) Andere Grenzzustände (z. B. für Erschütterungen, Schwingungen) können bei bestimmten Tragwerken von Bedeutung sein, sind aber in dieser Norm nicht geregelt.

(4) Für das Nachweiskonzept, die Bemessungssituationen und die Einwirkungskombinationen bei den Nachweisen in den Grenzzuständen der Gebrauchstauglichkeit gilt DIN 1055-100.

(5) *Für Nachweise im Grenzzustand der Gebrauchstauglichkeit darf im Allgemeinen  $\gamma_F = 1,0$  angesetzt werden, d. h. der repräsentative Wert einer Einwirkung oder deren Auswirkung (Schnittgröße) wird als unmittelbarer Bemessungswert verwendet.*

### 5.4.2 Anforderungsklassen

(1) Für die Nachweise in den Grenzzuständen der Gebrauchstauglichkeit sind für die einzelnen Teile des Tragwerks Anforderungsklassen in Abhängigkeit von den in Tabelle 3 klassifizierten Umgebungsbedingungen der Bauteile durch den Bauherrn oder die zuständige Bauaufsichtsbehörde festzulegen. Die Mindestanforderungsklassen, die sich aus Tabelle 19 ergeben, sind dabei einzuhalten.

(2) *Für Bauzustände dürfen gegenüber dem Endzustand abweichende Anforderungsklassen festgelegt werden, sofern die Dauerhaftigkeit des Bauteils dadurch nicht beeinträchtigt wird.*

## 6 Sicherstellung der Dauerhaftigkeit

### 6.1 Allgemeines

(1) Die Anforderung nach einem angemessen dauerhaften Tragwerk ist erfüllt, wenn dieses während der vorgesehenen Nutzungsdauer seine Funktion hinsichtlich der Tragfähigkeit und der Gebrauchstauglichkeit ohne wesentlichen Verlust der Nutzungseigenschaften bei einem angemessenen Instandhaltungsaufwand erfüllt.

(2) Eine angemessene Dauerhaftigkeit des Tragwerks gilt als sichergestellt, wenn neben den Anforderungen aus den Nachweisen in den Grenzzuständen der Tragfähigkeit und Gebrauchstauglichkeit und den konstruktiven Regeln der Abschnitte 12 und 13 die Anforderungen dieses Abschnittes sowie die Anforderungen an die Zusammensetzung und die Eigenschaften des Betons nach DIN EN 206-1 und DIN 1045-2 und an die Bauausführung nach DIN 1045-3 erfüllt sind.

## 6.2 Expositionsklassen, Mindestbetonfestigkeit

(1) Die Umgebungsbedingungen im Sinne dieser Norm sind durch chemische und physikalische Einflüsse gekennzeichnet, denen ein Tragwerk als Ganzes, einzelne Bauteile, der Spann- und Betonstahl und der Beton selbst ausgesetzt sind und die bei den Nachweisen in den Grenzzuständen der Tragfähigkeit und der Gebrauchstauglichkeit nicht direkt berücksichtigt werden.

(2) Jedes Bauteil ist in Abhängigkeit von den Umgebungsbedingungen, denen es direkt ausgesetzt ist, nach Tabelle 3 zu klassifizieren. Ein Bauteil kann mehr als einer der in Tabelle 3 genannten Umgebungsbedingungen ausgesetzt sein. Die Umgebungsbedingungen, denen es ausgesetzt ist, sind dann als Kombination der zugeordneten Expositionsklassen anzugeben.

(3) Jeder Expositionsklasse ist nach Tabelle 3 eine Mindestbetonfestigkeitsklasse zugeordnet. Die jeweils höchste sich in Abhängigkeit von den nach Absatz (2) bestimmten Expositionsklassen ergebende Mindestbetonfestigkeitsklasse ist dem Entwurf und der Bemessung der Bauteile zugrunde zu legen. Für Bauteile mit Vorspannung im nachträglichen Verbund oder ohne Verbund darf jedoch keine kleinere Festigkeitsklasse als C25/30 für Normalbeton und LC25/28 für Leichtbeton, für Bauteile mit Vorspannung im sofortigen Verbund keine kleinere Festigkeitsklasse als C30/37 bzw. LC30/33 verwendet werden.

Zur Sicherstellung der Dauerhaftigkeit sind zusätzliche Anforderungen an die Zusammensetzung und die Eigenschaften des Betons nach DIN EN 206-1 und DIN 1045-2 zu berücksichtigen.

(4) Weitere nutzungsbedingte aggressive Einflüsse sind gegebenenfalls durch zusätzliche Schutzmaßnahmen zu berücksichtigen (siehe DIN EN 206-1 und DIN 1045-2).

**Tabelle 3 — Expositionsklassen**

1	2	3	4
Klasse	Beschreibung der Umgebung	Beispiele für die Zuordnung von Expositionsklassen	Mindestbetonfestigkeitsklasse
<b>1 Kein Korrosions- oder Angriffsrisiko</b>			
X0	Kein Angriffsrisiko	Bauteil ohne Bewehrung in nicht betonangreifender Umgebung, z. B. Fundamente ohne Bewehrung ohne Frost, Innenbauteile ohne Bewehrung	C12/15 LC12/13
<b>2 Bewehrungskorrosion, ausgelöst durch Karbonatisierung<sup>a</sup></b>			
XC1	Trocken oder ständig nass	Bauteile in Innenräumen mit normaler Luftfeuchte (einschließlich Küche, Bad und Waschküche in Wohngebäuden); Bauteile, die sich ständig unter Wasser befinden	C16/20 LC16/18
XC2	Nass, selten trocken	Teile von Wasserbehältern; Gründungsbauteile	C16/20 LC16/18
XC3	Mäßige Feuchte	Bauteile, zu denen die Außenluft häufig oder ständig Zugang hat, z. B. offene Hallen; Innenräume mit hoher Luftfeuchte, z. B. in gewerblichen Küchen, Bädern, Wäschereien, in Feuchträumen von Hallenbädern und in Viehställen	C20/25 LC20/22

**Tabelle 3 (fortgesetzt)**

1	2	3	4
Klasse	Beschreibung der Umgebung	Beispiele für die Zuordnung von Expositionsklassen	Mindestbetonfestigkeitsklasse
XC4	Wechselnd nass und trocken	Außenbauteile mit direkter Beregnung; Bauteile in Wasserwechselzonen	C25/30 LC25/28
<b>3 Bewehrungskorrosion, ausgelöst durch Chloride, ausgenommen Meerwasser</b>			
XD1	Mäßige Feuchte	Bauteile im Sprühnebelbereich von Verkehrsflächen; Einzelgaragen	C30/37 <sup>c</sup> LC30/33
XD2	Nass, selten trocken	Schwimmbecken und Solebäder; Bauteile, die chloridhaltigen Industrierwässern ausgesetzt sind	C35/45 <sup>c</sup> LC35/38
XD3	Wechselnd nass und trocken	Bauteile im Spritzwasserbereich von taumittelbehandelten Straßen; direkt befahrene Parkdecks <sup>b</sup>	C35/45 <sup>c</sup> LC35/38
<b>4 Bewehrungskorrosion, ausgelöst durch Chloride aus Meerwasser</b>			
XS1	Salzhaltige Luft, kein unmittelbarer Kontakt mit Meerwasser	Außenbauteile in Küstennähe	C30/37 <sup>c</sup> LC30/33
XS2	Unter Wasser	Bauteile in Hafenanlagen, die ständig unter Wasser liegen	C35/45 <sup>c</sup> LC35/38
XS3	Tidebereiche, Spritzwasser- und Sprühnebelbereiche	Kaimauern in Hafenanlagen	C35/45 <sup>c</sup> LC35/38
<b>5 Betonangriff durch Frost mit und ohne Taumittel</b>			
XF1	Mäßige Wassersättigung ohne Taumittel	Außenbauteile	C25/30 LC25/28
XF2	Mäßige Wassersättigung mit Taumittel oder Meerwasser	Bauteile im Sprühnebel- oder Spritzwasserbereich von taumittelbehandelten Verkehrsflächen, soweit nicht XF 4; Bauteile im Sprühnebelbereich von Meerwasser	C25/30 LC25/28
XF3	Hohe Wassersättigung ohne Taumittel	Offene Wasserbehälter; Bauteile in der Wasserwechselzone von Süßwasser	C25/30 LC25/28
XF4	Hohe Wassersättigung mit Taumittel oder Meerwasser	Bauteile, die mit Taumitteln behandelt werden; Bauteile im Spritzwasserbereich von taumittelbehandelten Verkehrsflächen mit überwiegend horizontalen Flächen, direkt befahrene Parkdecks <sup>b</sup> ; Bauteile in der Wasserwechselzone von Meerwasser; Räumlerlaufbahnen von Kläranlagen	C30/37 LC30/33

**Tabelle 3 (fortgesetzt)**

1	2	3	4
Klasse	Beschreibung der Umgebung	Beispiele für die Zuordnung von Expositionsklassen	Mindestbetonfestigkeitsklasse
<b>6 Betonangriff durch chemischen Angriff der Umgebung<sup>d</sup></b>			
XA1	Chemisch schwach angreifende Umgebung	Behälter von Kläranlagen; Güllebehälter	C25/30 LC25/28
XA2	Chemisch mäßig angreifende Umgebung und Meeresbauwerke	Bauteile, die mit Meerwasser in Berührung kommen; Bauteile in betonangreifenden Böden	C35/45 <sup>c</sup> LC35/38
XA3	Chemisch stark angreifende Umgebung	Industrieabwasseranlagen mit chemisch angreifenden Abwässern; Gärfuttersilos und Futtertische der Landwirtschaft; Kühltürme mit Rauchgasableitung	C35/45 <sup>c</sup> LC35/38
<b>7 Betonangriff durch Verschleißbeanspruchung</b>			
XM1	Mäßige Verschleißbeanspruchung	Bauteile von Industrieanlagen mit Beanspruchung durch luftbereifte Fahrzeuge	C30/37 <sup>c</sup> LC30/33
XM2	Schwere Verschleißbeanspruchung	Bauteile von Industrieanlagen mit Beanspruchung durch luft- oder vollgummibereifte Gabelstapler	C30/37 <sup>c</sup> LC30/33
XM3	Extreme Verschleißbeanspruchung	Bauteile von Industrieanlagen mit Beanspruchung durch elastomerbereifte oder stahlrollenbereifte Gabelstapler; Wasserbauwerke in geschiebelasteten Gewässern, z. B. Tosbecken; Bauteile, die häufig mit Kettenfahrzeugen befahren werden	C35/45 <sup>c</sup> LC35/38
<p><sup>a</sup> Die Feuchteangaben beziehen sich auf den Zustand innerhalb der Betondeckung der Bewehrung. Im Allgemeinen kann angenommen werden, dass die Bedingungen in der Betondeckung den Umgebungsbedingungen des Bauteils entsprechen. Dies braucht nicht der Fall zu sein, wenn sich zwischen dem Beton und seiner Umgebung eine Sperrschicht befindet.</p> <p><sup>b</sup> Ausführung direkt befahrener Parkdecks nur mit zusätzlichem Oberflächenschutzsystem für den Beton.</p> <p><sup>c</sup> Eine Betonfestigkeitsklasse niedriger, sofern aufgrund der zusätzlich zutreffenden Expositionsklasse XF Luftporenbeton verwendet wird.</p> <p><sup>d</sup> Grenzwerte für die Expositionsklassen bei chemischem Angriff siehe DIN 206-1 und DIN 1045-2.</p>			

### 6.3 Betondeckung

(1) Eine Mindestbetondeckung  $c_{\min}$  der Bewehrung muss vorhanden sein, um Folgendes sicherzustellen:

- Schutz der Bewehrung gegen Korrosion,
- sichere Übertragung von Verbundkräften.

Besondere Anforderungen zur Sicherstellung eines ausreichenden Feuerwiderstands der Bauteile sind den Normen DIN 4102-2 und DIN 4102-4 zu entnehmen.

(2) Bewehrung in ansonsten als unbewehrt anzusehenden Bauteilen und die Oberflächenbewehrung nach 13.2.5 müssen den Anforderungen an die Betondeckung genügen, auch wenn die Bewehrung für die Nachweise in den Grenzzuständen der Tragfähigkeit und Gebrauchstauglichkeit nicht in Anspruch genommen wird.

(3) Die Mindestbetondeckung  $c_{\min}$  darf zum Schutz gegen Korrosion in Abhängigkeit von der maßgebenden Expositionsklasse nach Tabelle 3 nicht kleiner als der entsprechende Wert nach Tabelle 4 sein. Für Bauteiloberflächen mit mehreren zutreffenden Umgebungsbedingungen ist die Expositions-kategorie mit den höchsten Anforderungen maßgebend.

**Tabelle 4 — Mindestbetondeckung  $c_{\min}$  zum Schutz gegen Korrosion und Vorhaltemaß  $\Delta c$  in Abhängigkeit von der Expositions-kategorie**

Zeile	Spalte	1	2	3
		Mindestbetondeckung $c_{\min}$ mm <sup>a b</sup>		Vorhaltemaß $\Delta c$ mm
	Klasse	Betonstahl	Spannglieder im sofortigen Verbund und im nachträg- lichen Verbund <sup>c</sup>	
1	XC1	10	20	10
2	XC2	20	30	15
	XC3	20	30	
	XC4	25	35	
3	XD1	40	50	
	XD2			
	XD3 <sup>d</sup>			
4	XS1	40	50	
	XS2			
	XS3			

<sup>a</sup> Die Werte dürfen für Bauteile, deren Betonfestigkeit um 2 Festigkeitsklassen höher liegt, als nach Tabelle 3 mindestens erforderlich ist, um 5 mm vermindert werden. Für Bauteile der Expositions-kategorie XC1 ist diese Abminderung nicht zulässig.

<sup>b</sup> Wird Ortbeton kraftschlüssig mit einem Fertigteil verbunden, dürfen die Werte an den der Fuge zugewandten Rändern auf 5 mm im Fertigteil und auf 10 mm im Ortbeton verringert werden. Die Bedingungen zur Sicherstellung des Verbundes nach Absatz (4) müssen jedoch eingehalten werden, sofern die Bewehrung im Bauzustand ausgenutzt wird.

<sup>c</sup> Die Mindestbetondeckung bezieht sich bei Spanngliedern im nachträglichen Verbund auf die Oberfläche des Hüllrohrs.

<sup>d</sup> Im Einzelfall können besondere Maßnahmen zum Korrosionsschutz der Bewehrung nötig sein.

- (4) Zur Sicherstellung des Verbundes darf aber die Mindestbetondeckung  $c_{\min}$  nicht kleiner sein als:
- der Stabdurchmesser  $d_s$  der Betonstahlbewehrung oder der Vergleichsdurchmesser eines Stab-  
bündels  $d_{sV}$ ,
  - der 2,5fache Nenndurchmesser  $d_p$  einer Litze oder der 3fache Nenndurchmesser  $d_p$  eines gerippten  
Drahts im sofortigen Verbund,
  - der äußere Hüllrohrdurchmesser eines Spanngliedes im nachträglichen Verbund.
- (5) Bei Spannbetonbauteilen mit internen Spanngliedern ohne Verbund ist die Mindestbetondeckung  $c_{\min}$  in den Verankerungsbereichen und im Bereich der freien Länge des ummantelten Spanngliedes der allgemeinen bauaufsichtlichen Zulassung zu entnehmen.
- (6) Bei Bauteilen aus Leichtbeton muss die Mindestbetondeckung  $c_{\min}$  außer für die Expositionsklasse XC1 mindestens 5 mm größer sein als der Durchmesser des Größtkorns der leichten Gesteinskörnung. Die Mindestwerte für  $c_{\min}$  zum Schutz gegen Korrosion nach Tabelle 4 und zur Sicherstellung des Verbundes nach Absatz (4) sind einzuhalten.
- (7) *Bei Verschleißbeanspruchung des Betons sind zusätzliche Anforderungen an die Betonzuschläge nach DIN 1045-2 zu berücksichtigen. Alternativ kann die Verschleißbeanspruchung auch durch eine Vergrößerung der Betondeckung (Opferbeton) berücksichtigt werden. In diesem Fall sollte die Mindestbetondeckung  $c_{\min}$  als Richtwert für die Expositionsklasse XM1 um 5 mm, für XM2 um 10 mm und für XM3 um 15 mm erhöht werden.*
- (8) Zur Berücksichtigung von unplanmäßigen Abweichungen ist die erforderliche Mindestbetondeckung  $c_{\min}$  durch Addition eines Vorhaltemaßes  $\Delta c$  zu vergrößern. Daraus ergibt sich das Nennmaß der Betondeckung  $c_{\text{nom}}$ . Werte für  $\Delta c$  sind in Abhängigkeit von der Expositionsklasse in Tabelle 4 angegeben.
- (9) *Die Werte für das Vorhaltemaß  $\Delta c$  nach Tabelle 4 dürfen um 5 mm abgemindert werden, wenn dies durch eine entsprechende Qualitätskontrolle bei Planung, Entwurf, Herstellung und Bauausführung gerechtfertigt werden kann.<sup>4)</sup>*
- (10) *Für ein bewehrtes Bauteil, bei dem der Beton gegen unebene Flächen geschüttet wird, sollte das Vorhaltemaß  $\Delta c$  grundsätzlich erhöht werden. Die Erhöhung sollte generell um das Differenzmaß der Unebenheit erfolgen, mindestens jedoch um 20 mm und bei Herstellung unmittelbar auf den Baugrund um 50 mm. Oberflächen mit architektonischer Gestaltung, wie strukturierte Oberflächen oder grober Waschbeton, erfordern ebenfalls ein erhöhtes Vorhaltemaß.*
- (11) Das im Bewehrungsplan festzulegende Verlegemaß der Bewehrung  $c_v$  ergibt sich aus der Bedingung, dass die Nennmaße der Betondeckung  $c_{\text{nom}}$  für jedes einzelne Bewehrungselement eingehalten sind. Für die Festlegung der statischen Nutzhöhe ist das Verlegemaß  $c_v$  zu verwenden.

## 7 Grundlagen zur Ermittlung der Schnittgrößen

### 7.1 Anforderungen

- (1) Alle Berechnungsverfahren der Schnittgrößenermittlung müssen sicherstellen, dass die Gleichgewichtsbedingungen erfüllt sind.
- (2) Wenn die Verträglichkeitsbedingungen nicht unmittelbar für die jeweiligen Grenzzustände nachgewiesen werden, muss sichergestellt werden, dass das Tragwerk bis zum Erreichen des Grenzzustandes der Tragfähigkeit ausreichend verformungsfähig ist und ein unzulässiges Verhalten im Grenzzustand der Gebrauchstauglichkeit ausgeschlossen ist.
- (3) Der Gleichgewichtszustand wird im Allgemeinen am nichtverformten Tragwerk nachgewiesen (Theorie I. Ordnung). Wenn jedoch die Auslenkungen zu einem wesentlichen Anstieg der Schnittgrößen führen, muss der Gleichgewichtszustand am verformten Tragwerk nachgewiesen werden (Theorie II. Ordnung).
- (4) Die Auswirkungen zeitlicher Einflüsse (z. B. Kriechen, Schwinden des Betons) auf die Schnittgrößen sind zu berücksichtigen, wenn sie von Bedeutung sind.

<sup>4)</sup> DBV-Merkblätter „Betondeckung und Bewehrung“ und „Abstandhalter“.

- (5) Bei Bauteilen des üblichen Hochbaus dürfen die folgenden Vereinfachungen getroffen werden:
- Auswirkungen nach Theorie II. Ordnung dürfen vernachlässigt werden, wenn sie die Tragfähigkeit um weniger als 10% verringern.
  - Der Einfluss der durch Quer- und Längskräfte entstehenden Verformungen auf die Schnittgrößen darf vernachlässigt werden, sofern der Einfluss voraussichtlich weniger als 10% beträgt.
- (6) Für Tragwerke mit vorwiegend ruhender Belastung dürfen die Auswirkungen der Belastungsgeschichte im Allgemeinen vernachlässigt werden, und es darf von einer gleichmäßigen Steigerung der Belastung ausgegangen werden.

## 7.2 Imperfektionen

- (1) Für die Nachweise im Grenzzustand der Tragfähigkeit sind mit Ausnahme der außergewöhnlichen Bemessungssituationen ungünstige Auswirkungen möglicher Imperfektionen des unbelasteten Tragwerks zu berücksichtigen.
- (2) Die einzelnen aussteifenden Bauteile sind für Schnittgrößen zu bemessen, die sich aus der Berechnung am Gesamttragwerk ergeben, wobei die Auswirkungen der Einwirkungen und Imperfektionen am Tragwerk als Ganzem einzubeziehen sind.
- (3) Der Einfluss der Tragwerksimperfektionen darf durch den Ansatz geometrischer Ersatzimperfektionen erfasst werden.
- (4) Bei der Schnittgrößenermittlung am Tragwerk als Ganzem dürfen die Auswirkungen der Imperfektionen über eine Schiefstellung des Tragwerks gegen die Sollachse um den Winkel  $\alpha_{a1}$  berücksichtigt werden:

$$\alpha_{a1} = \frac{1}{100 \sqrt{h_{\text{ges}}}} \leq 1/200 \quad (4)$$

Dabei ist

$\alpha_{a1}$  der Winkel der Schiefstellung, in Bogenmaß

$h_{\text{ges}}$  die Gesamthöhe des Tragwerks, in m

- (5) Sind mehrere lastabtragende Bauteile nebeneinander vorhanden, darf  $\alpha_{a1}$  nach Gleichung (4) mit dem Faktor  $\alpha_n$  abgemindert werden:

$$\alpha_n = \sqrt{\frac{1 + 1/n}{2}} \quad (5)$$

Dabei ist

$n$  die Anzahl der lotrechten, lastabtragenden, in einem Geschoss nebeneinander liegenden Bauteile

Als lastabtragend gelten die lotrechten Bauteile dann, wenn sie mindestens 70% des Bemessungswerts der mittleren Längskraft  $N_{\text{Ed},m} = F_{\text{Ed}}/n$  aufnehmen, worin  $F_{\text{Ed}}$  die Summe der Bemessungswerte der Längskräfte aller nebeneinander liegenden lotrechten Bauteile im betrachteten Geschoss bezeichnet.

- (6) Alternativ zu Absatz (4) dürfen die Abweichungen von der Sollachse für die Bemessung des Gesamttragwerks sowie der aussteifenden Bauteile, Auflager und etwaig vorhandener Ringanker durch die Wirkung äquivalenter Horizontalkräfte ersetzt werden (siehe Bild 1 b) und d)).

- (7) Bauteile, die Stabilisierungskräfte von den aussteifenden Tragwerksteilen zu den aussteifenden Bauteilen übertragen, sollten für die Aufnahme einer zusätzlichen Horizontalkraft  $H_{\text{fd}}$  (siehe Bild 1e)) bemessen werden.

$$H_{\text{fd}} = (N_{\text{bc}} + N_{\text{ba}}) \cdot \alpha_{a2} \quad (6)$$

mit

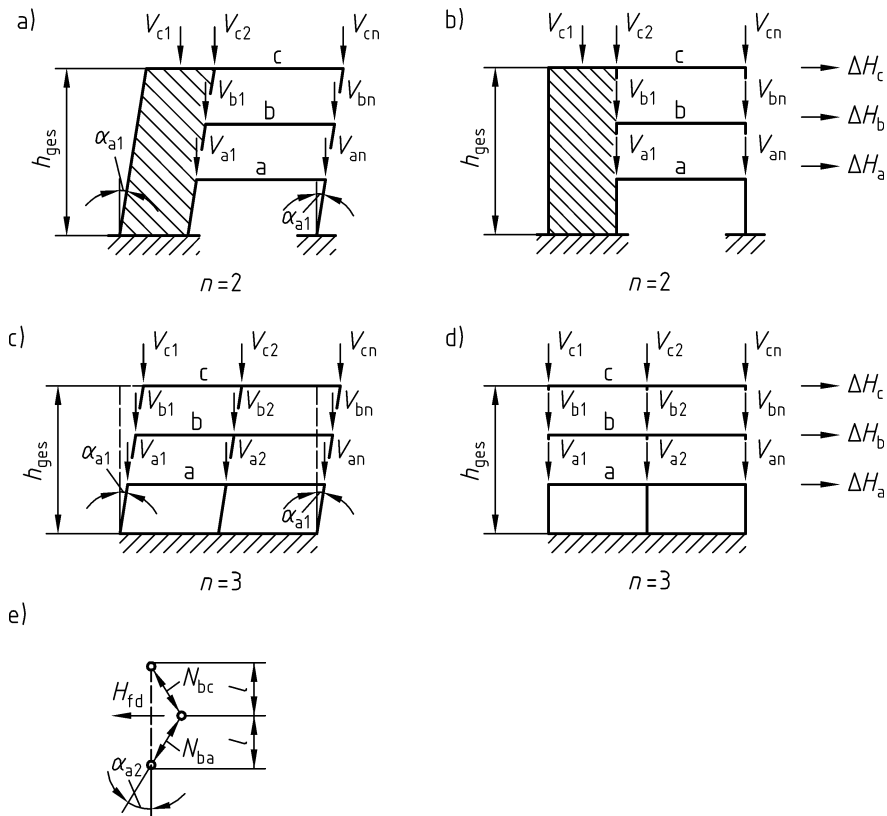
$$\alpha_{a2} = 0,008/\sqrt{2k} \quad \text{in Bogenmaß} \quad (7)$$

Dabei ist

$k$  die Anzahl der auszusteienden Tragwerksteile im betrachteten Geschoss

$N_{bc}, N_{ba}$  der jeweils unter Berücksichtigung der Imperfektionen ermittelte Bemessungswert der Längskraft in Stützen oder Wänden, die an das horizontale lastübertragende Bauteil grenzen (siehe Bild 1e))

Die Horizontalkräfte  $H_{fd}$  sind als eigenständige Einwirkungen zu betrachten und dürfen nicht zusätzlich durch Kombinationsbeiwerte abgemindert werden, da diese bereits in den vertikalen Längskräften berücksichtigt sind. Die Horizontalkräfte  $H_{fd}$  brauchen für die Bemessung der vertikalen aussteifenden Bauteile nicht in Rechnung gestellt zu werden.



## Legende

- a), c) Berücksichtigung von Imperfektionen über Schiefstellung des Tragwerks
- b), d) Berücksichtigung von Imperfektionen über äquivalente Horizontalkräfte
- e) Berücksichtigung zusätzlicher Horizontalkräfte in Bauteilen nach Absatz (7)

$$\Delta H_j = \sum_{i=1}^n V_{ji} \cdot \alpha_{a1}$$

**Bild 1 — Berücksichtigung der geometrischen Ersatzimperfektionen**

## 7.3 Idealisierungen und Vereinfachungen

### 7.3.1 Mitwirkende Plattenbreite, Lastausbreitung und effektive Stützweite

(1) Bei Plattenbalken ist die mitwirkende Plattenbreite von den Gurt- und Stegabmessungen, von der Art der Belastung, der Stützweite, den Auflagerbedingungen und der Querbewehrung abhängig. Die folgenden Regeln sind für alle Nachweise im Grenzzustand der Gebrauchstauglichkeit anwendbar und stellen für die Nachweise im Grenzzustand der Tragfähigkeit im Allgemeinen eine genügend genaue Abschätzung dar.

(2) Die mitwirkende Plattenbreite  $b_{eff}$  für Plattenbalken darf für Biegebeanspruchung infolge annähernd gleichmäßig verteilter Einwirkungen angenommen werden zu:



$$b_{\text{eff}} = \sum b_{\text{eff},i} + b_w \quad (8)$$

mit

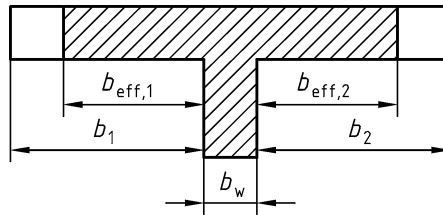
$$b_{\text{eff},i} = 0,2b_i + 0,1l_0 \leq 0,2l_0; \\ \leq b_i$$

Dabei ist

$l_0$  die wirksame Stützweite

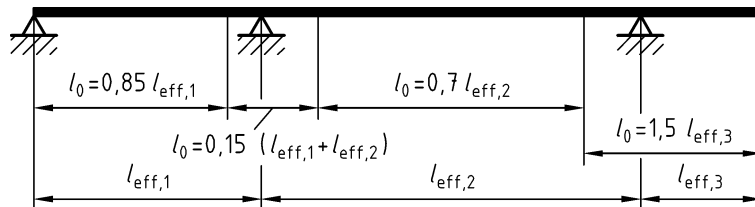
$b_i$  die tatsächlich vorhandene Gurtbreite

$b_w$  die Stegbreite



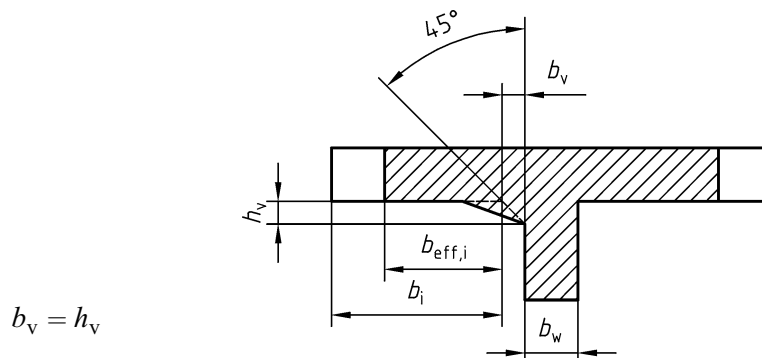
**Bild 2 — Definition der mitwirkenden Breite  $b_{\text{eff}}$**

(3) Für annähernd gleichmäßig verteilte Einwirkungen darf die wirksame Stützweite  $l_0$  (entspricht dem Abstand der Momentennullpunkte) bei etwa gleichen Steifigkeitsverhältnissen der Einzelfelder vereinfachend Bild 3 entnommen werden.



**Bild 3 — Angenäherte wirksame Stützweiten  $l_0$  zur Berechnung der mitwirkenden Plattenbreite**

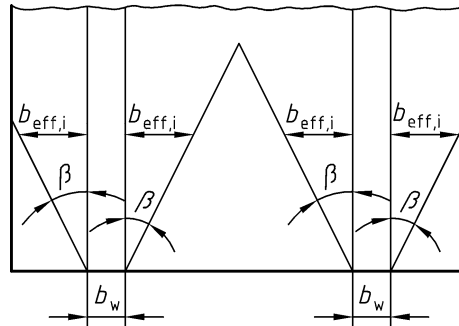
(4) Bei Platten mit veränderlicher Dicke darf die Stegbreite  $b_w$  in Gleichung (8) um die Breite  $b_v$  nach Bild 4 erhöht werden.



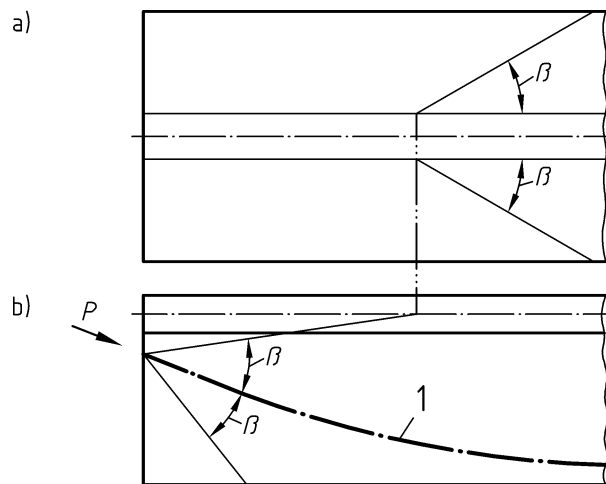
$$b_v = h_v$$

**Bild 4 — Wirksame Stegbreite ( $b_w + b_v$ ) bei Platten mit veränderlicher Dicke**

(5) In der Lastausbreitungszone konzentriert eingeleiteter Längskräfte darf die wirksame Breite auf der Grundlage der Elastizitätstheorie bestimmt werden. Alternativ dazu darf ein Ausbreitungswinkel der Kräfte von  $\beta = 35^\circ$  angenommen werden (siehe Bild 5). Dieser Winkel darf auch für die Lastausbreitung der Verankerungskräfte bei Vorspannung im nachträglichen oder ohne Verbund angesetzt werden (siehe Bild 6).



**Bild 5 — Ausbreitungswinkel konzentriert eingeleiteter Längskräfte**



**Legende**

- a) Draufsicht
- b) Ansicht
- 1 Spanngliedachse

**Bild 6 — Ausbreitung von Vorspannkraften am Beispiel eines Plattenbalkens**

(6) Die effektive Stützweite  $l_{\text{eff}}$  eines Bauteils (Balken, Platte) darf wie folgt bestimmt werden:

$$l_{\text{eff}} = l_n + a_1 + a_2 \quad (10)$$

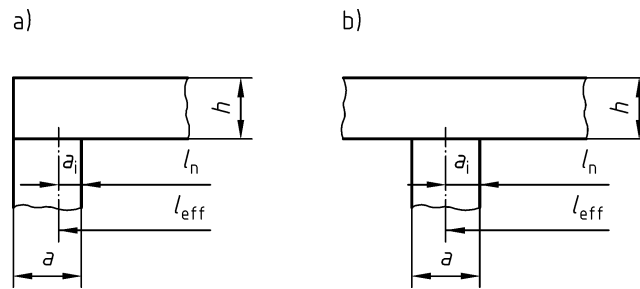
Dabei ist

$l_n$  der lichte Abstand zwischen den Auflagervorderkanten

$a_1, a_2$  der jeweilige Abstand zwischen den Auflagervorderkanten und den rechnerischen Auflagerlinien des betrachteten Feldes

Die Werte für  $a_1$  und  $a_2$  sind von den Auflager- und Einspannbedingungen des Bauteils abhängig und sind in geeigneter Weise festzulegen (siehe z. B. Bild 7).<sup>5)</sup>

<sup>5)</sup> weitere Fälle siehe DAfStb-Heft 525

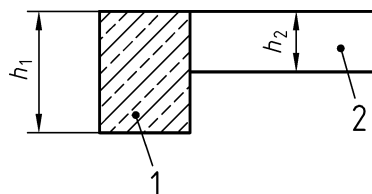


**Legende**

- a) nicht durchlaufende Bauteile  $\left(\frac{a}{3} \leq a_i \leq \frac{a}{2}\right)$   
 b) durchlaufende Bauteile  $\left(a_i = \frac{a}{2}\right)$

**Bild 7 — Beispiele für die Bestimmung der effektiven Stützweite eines Bauteils (Balken, Platte)**

(7) Im Fall einer direkten Lagerung wird die Auflagerkraft des gestützten Bauteils durch Druckspannungen am unteren Querschnittsrand des Bauteils aufgenommen. Bei monolithischer Verbindung darf dies angenommen werden, wenn der Abstand der Unterkante des gestützten Bauteils zur Unterkante des stützenden Bauteils größer ist als die Höhe des gestützten Bauteils. Andernfalls ist von einer indirekten Lagerung auszugehen (siehe Bild 8).



**Legende**

- 1 stützendes Bauteil  
 2 gestütztes Bauteil  
 $(h_1 - h_2) \geq h_2$  direkte Lagerung  
 $(h_1 - h_2) < h_2$  indirekte Lagerung

**Bild 8 — Definition der direkten und indirekten Lagerung**

**7.3.2 Sonstige Vereinfachungen**

(1) Durchlaufende Platten und Balken dürfen im üblichen Hochbau unter der Annahme frei drehbarer Lagerung berechnet werden.

(2) Der Bemessungswert des Stützmoments durchlaufender Balken oder Platten, deren Auflager als frei drehbar angesehen werden können, darf unabhängig vom angewendeten Rechenverfahren um einen Betrag  $\Delta M_{Ed}$  reduziert werden, wenn bei der Berechnung der Stützmomente als effektive Stützweite der Abstand zwischen den Auflagermitten angenommen wird:

$$\Delta M_{Ed} = C_{Ed} \cdot a/8 \quad (11)$$

Dabei ist

$C_{Ed}$  der Bemessungswert der Auflagerreaktion

$a$  die Auflagerbreite

(3) Wenn ein Balken oder eine Platte über einem Auflager durchläuft und mit diesem monolithisch verbunden ist, darf als Bemessungsmoment das Moment am Auflagerrand zugrunde gelegt werden, wobei jedoch der Mindestwert nach 8.2 (5) nicht unterschritten werden sollte.

(4) Die Stützkräfte aus den Auflagerreaktionen von einachsig gespannten Platten, Rippendecken und Balken (einschließlich Plattenbalken) dürfen unter der Annahme ermittelt werden, dass die Bauteile (unter Vernachlässigung der Durchlaufwirkung) frei drehbar gelagert sind. Die Durchlaufwirkung sollte jedoch stets für das erste Innenauflager sowie solche Innenauflager berücksichtigt werden, bei denen das Stützweitenverhältnis benachbarter Felder mit annähernd gleicher Steifigkeit außerhalb des Bereichs  $0,5 < l_{\text{eff},1}/l_{\text{eff},2} < 2,0$  liegt.

(5) Die maßgebenden Querkräfte dürfen bei üblichen Hochbauten für Vollbelastung aller Felder ermittelt werden, wenn das Stützweitenverhältnis benachbarter Felder mit annähernd gleicher Steifigkeit  $0,5 < l_{\text{eff},1}/l_{\text{eff},2} < 2,0$  beträgt.

(6) In rahmenartigen Tragwerken des üblichen Hochbaus, bei denen alle horizontalen Kräfte von aussteifenden Scheiben aufgenommen werden, dürfen bei Innenstützen, die mit Balken oder Platten biegefest verbunden sind, die Biegemomente aus Rahmenwirkung vernachlässigt werden, wenn das Stützweitenverhältnis benachbarter Felder mit annähernd gleicher Steifigkeit  $0,5 < l_{\text{eff},1}/l_{\text{eff},2} < 2,0$  beträgt.

(7) Randstützen von rahmenartigen Tragwerken sind stets als Rahmenstiele in biegefesten Verbindung mit Balken oder Platten zu berechnen. Dies gilt auch für Stahlbetonwände in Verbindung mit Platten.

(8) Rippen- oder Kassettendecken dürfen für die Schnittgrößenermittlung bei einem Verfahren nach 8.2 oder 8.3 als Vollplatten betrachtet werden, wenn die Gurtplatte zusammen mit den Rippen eine ausreichende Torsionssteifigkeit besitzt. Dies darf vorausgesetzt werden, wenn gleichzeitig

- der Rippenabstand 1 500 mm nicht übersteigt,
- die Rippenhöhe unter der Gurtplatte die 4fache Rippenbreite nicht übersteigt,
- die Dicke der Gurtplatte mindestens 1/10 des lichten Abstands zwischen den Rippen oder 50 mm beträgt, wobei der größere Wert maßgebend ist, und
- Querrippen vorgesehen sind, deren lichter Abstand nicht größer als die 10fache Deckendicke ist.

(9) Decken aus Rippen und Zwischenbauteilen ohne Aufbeton dürfen für die Schnittgrößenermittlung bei einem Verfahren nach 8.2 oder 8.3 als Vollplatten angesehen werden, wenn Querrippen in einem Abstand  $s_T$  angeordnet werden, der die Werte der Tabelle 5 nicht überschreitet.

**Tabelle 5 — Größter Querrippenabstand  $s_T$  bei Decken aus Rippen und Zwischenbauteilen ohne Aufbeton**

Zeile	Spalte		1	2
			Achsabstand der Längsrippen $s_L$	
			$s_L \leq l_{\text{eff}}/8$	$s_L > l_{\text{eff}}/8$
1	Gebäudeart	Wohngebäude	—	12 h
2		andere Gebäude	10 h	8 h
$l_{\text{eff}}$	effektive Stützweite der Längsrippen			
$h$	Gesamtdicke der Rippendecke			

## 8 Verfahren zur Ermittlung der Schnittgrößen

### 8.1 Allgemeines

- (1) Jedes Berechnungsverfahren muss im angegebenen Anwendungsbereich das geforderte Zuverlässigkeitsniveau dieser Norm sicherstellen. Diese Anforderung gilt bei Einhaltung der in 8.1 bis 8.7 aufgeführten Regeln als erfüllt.
- (2) Sofern relevant, ist der Einfluss der Torsionssteifigkeit bei der Schnittgrößenermittlung angemessen zu berücksichtigen.
- (3) Das linear-elastische Verfahren verwendet eine lineare Schnittgrößen-Verformungs-Beziehung.
- (4) Verfahren der Plastizitätstheorie verwenden im Allgemeinen eine ideal-elastisch-plastische oder eine ideal-starr-plastische Schnittgrößen-Verformungs-Beziehung.
- (5) Der Ausdruck „nichtlineare Berechnung“ bezieht sich auf Berechnungsverfahren, die nichtlineare Schnittgrößen-Verformungs-Beziehungen berücksichtigen (physikalisch nichtlinear). Verfahren, bei denen das Gleichgewicht unter Berücksichtigung der Tragwerksverformungen nachgewiesen wird, werden als „Berechnung nach Theorie II. Ordnung“ bezeichnet (geometrisch nichtlinear).

### 8.2 Linear-elastische Berechnung

- (1) Grundlage der linear-elastischen Berechnung sind die Steifigkeiten der ungerissenen Querschnitte (Zustand I). Es dürfen jedoch auch die Steifigkeiten der gerissenen Querschnitte (Zustand II) verwendet werden.
- (2) Die Anwendung des linear-elastischen Berechnungsverfahrens erfordert im Allgemeinen keine besonderen Maßnahmen zur Sicherstellung angemessener Verformungsfähigkeit, sofern sehr hohe Bewehrungsgrade in den kritischen Abschnitten der Bauteile vermieden und die Anforderungen dieser Norm bezüglich einer Mindestbewehrung erfüllt werden.
- (3) *Für Durchlaufträger, bei denen das Stützweitenverhältnis benachbarter Felder mit annähernd gleichen Steifigkeiten  $0,5 < I_{\text{eff},1}/I_{\text{eff},2} < 2,0$  beträgt, in Riegeln von Rahmen und in sonstigen Bauteilen, die vorwiegend auf Biegung beansprucht sind, einschließlich durchlaufender, in Querrichtung kontinuierlich gestützter Platten, sollte das Verhältnis  $x/d$  den Wert 0,45 für Beton bis zur Festigkeitsklasse C50/60 und den Wert 0,35 für Beton ab der Festigkeitsklasse C55/67 und für Leichtbeton nicht übersteigen, sofern keine geeigneten konstruktiven Maßnahmen zur Sicherstellung ausreichender Duktilität getroffen werden (siehe 13.1.1 (5)). Die Druckzonenhöhe  $x$  ist dabei mit den Bemessungswerten der Einwirkungen und der Baustofffestigkeiten zu ermitteln.*
- (4) *Bei nicht vorgespannten Durchlaufträgern und -platten des üblichen Hochbaus brauchen — mit Ausnahme des Nachweises der Lagesicherheit nach DIN 1055-100 — Bemessungssituationen mit günstigen ständigen Einwirkungen nicht berücksichtigt zu werden, wenn die Konstruktionsregeln für die Mindestbewehrung eingehalten werden.*
- (5) *Zur Berücksichtigung einer vorgenommenen Idealisierung des Tragwerks und möglicher unbeabsichtigter Abweichungen des Tragsystems während der Bauzeit sollte das Bemessungsmoment in den Anschnitten vertikaler Auflager von Durchlaufträgern nicht geringer sein als 65% des Moments bei Annahme voller Einspannung am Auflagerend.*
- (6) Übliche Berechnungsverfahren für Plattenschnittgrößen mit Ansatz gleicher Steifigkeiten in beiden Richtungen gelten nur, wenn der Abstand der Längsbewehrung zur zugehörigen Querbewehrung in der Höhe 50 mm oder  $d/10$  nicht überschreitet (der größere Wert ist maßgebend).

### 8.3 Linear-elastische Berechnung mit Umlagerung

- (1) Die unter Verwendung des linear-elastischen Verfahrens nach 8.2 ermittelten Momente dürfen für die Nachweise in den Grenzzuständen der Tragfähigkeit umgelagert werden, wobei die sich daraus ergebenden Schnittgrößen mit den einwirkenden Lasten im Gleichgewicht stehen müssen.
- (2) Die Auswirkungen einer Momentenumlagerung müssen bei der Bemessung durchgängig berücksichtigt werden. Dies gilt für die Bemessung für Biegung mit oder ohne Längskraft, für die Bemessung für Querkraft, für die Verankerungsregeln und für die Abstufung der Bewehrung.

(3) Für Durchlaufträger, bei denen das Stützweitenverhältnis benachbarter Felder mit annähernd gleicher Steifigkeit  $0,5 < l_{\text{eff},1}/l_{\text{eff},2} < 2,0$  beträgt, in Riegeln von unverschieblichen Rahmen und in sonstigen Bauteilen, die vorwiegend auf Biegung beansprucht sind, einschließlich durchlaufender, in Querrichtung kontinuierlich gestützter Platten, gelten für mögliche Momentenumlagerungen die folgenden Grenzen:

a) Hochduktiler Stahl:

$$\delta \geq 0,64 + 0,8x_d/d \geq 0,7 \quad \text{bis C50/60} \quad (12)$$

$$\delta \geq 0,72 + 0,8x_d/d \geq 0,8 \quad \text{ab C55/67 und Leichtbeton} \quad (13)$$

b) Stahl mit normaler Duktilität:

$$\delta \geq 0,64 + 0,8x_d/d \geq 0,85 \quad \text{bis C50/60} \quad (14)$$

$$\delta = 1,0 \text{ (keine Umlagerung)} \quad \text{ab C55/67 und Leichtbeton}$$

Dabei ist

$\delta$  das Verhältnis des umgelagerten Moments zum Ausgangsmoment vor der Umlagerung

$x_d/d$  die bezogene Druckzonenhöhe im Grenzzustand der Tragfähigkeit nach Umlagerung, berechnet mit den Bemessungswerten der Einwirkungen und der Baustofffestigkeiten

Für die Eckknoten unverschieblicher Rahmen ist die Umlagerung auf  $\delta = 0,9$  begrenzt.

(4) Bei verschieblichen Rahmen ist keine Umlagerung zugelassen.

(5) Bei Tragwerken aus unbewehrtem Beton und solchen, die aus vorgefertigten Segmenten mit unbewehrten Kontaktfugen bestehen, ist keine Umlagerung zugelassen.

(6) Für die Ermittlung von Querkraft, Drillmoment und Auflagerreaktion bei Platten darf entsprechend dem Momentenverlauf nach Umlagerung eine lineare Interpolation zwischen den Beanspruchungen bei voll eingespanntem Rand und denen bei gelenkig gelagertem Rand vorgenommen werden.

## 8.4 Verfahren nach der Plastizitätstheorie

### 8.4.1 Allgemeines

(1) Verfahren der Schnittgrößenermittlung nach der Plastizitätstheorie sind bei vorwiegend biegebeanspruchten Bauteilen für die Nachweise im Grenzzustand der Tragfähigkeit anwendbar. Bei Bauteilen aus Leichtbeton sollten diese Verfahren nicht angewendet werden.

(2) Werden die Verträglichkeitsbedingungen nicht direkt überprüft, sind Verfahren auf der Grundlage der Plastizitätstheorie nur für Tragwerke mit gut verformungsfähigen Bauwerksteilen zulässig.

(3) Bei zweiachsig gespannten Platten sind Verfahren der Schnittgrößenermittlung, die plastische Gelenke ohne eine direkte Kontrolle ihrer Rotationsfähigkeit einschließen, nur dann zulässig, wenn die bezogene Druckzonenhöhe im Gelenkbereich an keiner Stelle und in keiner Richtung den Wert  $x/d = 0,25$  für Beton bis zu einer Festigkeitsklasse C50/60 und den Wert  $x/d = 0,15$  für Beton ab der Festigkeitsklasse C55/67 überschreitet und bei durchlaufenden Platten das Verhältnis von Stützmomenten zu Feldmomenten dabei zwischen 0,5 und 2,0 liegt. Die Druckzonenhöhe  $x$  ist dabei mit den Bemessungswerten der Einwirkungen und der Baustofffestigkeiten zu ermitteln. Werden diese Grenzen nicht eingehalten, ist die Rotationsfähigkeit nach 8.4.2 nachzuweisen.

(4) Stahl mit normaler Duktilität (siehe Tabelle 11) darf bei Anwendung der Plastizitätstheorie für stabförmige Bauteile und Platten nicht verwendet werden.

(5) Bei Scheiben dürfen Verfahren nach der Plastizitätstheorie stets (also auch bei Verwendung von Stahl mit normaler Duktilität) ohne direkten Nachweis des Rotationsvermögens angewendet werden.

(6) Verfahren nach der Plastizitätstheorie bilden auch die Grundlage für die Bemessung mit Stabwerkmodellen. Diese lassen sich sowohl für die Bemessung der ungestörten Bereiche von Balken und Platten im gerissenen Zustand (siehe 10.2 bis 10.4) als auch für die Bemessung und konstruktive Durchbildung von Diskontinuitätsbereichen (siehe 10.6) anwenden.

#### 8.4.2 Vereinfachter Nachweis der plastischen Rotation bei vorwiegend biegebeanspruchten Bauteilen

(1) Das vereinfachte Verfahren für stabförmige Bauteile einschließlich einachsiger gespannter Platten basiert auf dem Nachweis der Rotationsfähigkeit ausgezeichneter Stababschnitte mit einer Länge von etwa  $1,2h$ , wobei vorausgesetzt wird, dass diese sich als erste unter der jeweils maßgebenden Einwirkungskombination plastisch verformen (Ausbildung plastischer Gelenke), so dass sie wie ein Querschnitt behandelt werden dürfen. Der Nachweis der plastischen Rotation im Grenzzustand der Tragfähigkeit gilt als erbracht, wenn nachgewiesen wird, dass die vorhandene Rotation  $\theta_E$  den Bemessungswert der zulässigen Rotation  $\theta_{pl,d}$  nicht überschreitet:

$$\theta_E \leq \theta_{pl,d} \quad (15)$$

(2) Für die Bereiche der plastischen Gelenke darf das Verhältnis  $x/d$  die Werte 0,45 für Beton bis zur Festigkeitsklasse C50/60 und 0,35 für Beton ab der Festigkeitsklasse C55/67 nicht überschreiten.

(3) Die vorhandene Rotation  $\theta_E$  ist auf der Grundlage der Bemessungswerte der Einwirkungen und der Mittelwerte der Baustofffestigkeiten (siehe 8.5.1) sowie der mittleren Werte der Vorspannung zum maßgeblichen Zeitpunkt zu ermitteln.

(4) Wird die vorhandene Rotation  $\theta_E$  eines plastischen Gelenks durch Integration der Krümmungen zwischen den Gelenken berechnet, ist im Allgemeinen die Anwendung einer vereinfachten trilinearen Momenten-Krümmungs-Beziehung nach 8.5.2 (3) ausreichend. Die Momente aus Vorspannung dürfen dabei als Einwirkung betrachtet werden.

(5) Die zulässige plastische Rotation darf vereinfachend durch Multiplikation des Grundwerts der zulässigen Rotation mit einem Korrekturfaktor  $k_\lambda$  zur Berücksichtigung der Schubschlankheit ermittelt werden. Der Grundwert der zulässigen Rotation darf für Betonstahl mit hoher Duktilität und Betonfestigkeitsklassen bis C50/60 sowie C100/115 Bild 9 entnommen werden. Für Betonfestigkeitsklassen C55/67 bis C90/105 darf entsprechend interpoliert werden. Die abgelesenen Werte gelten für eine Schubschlankheit  $\lambda = 3,0$  und sind für andere Werte von  $\lambda$  mit  $k_\lambda$  zu multiplizieren.

$$k_\lambda = \sqrt{\lambda/3} \quad (16)$$

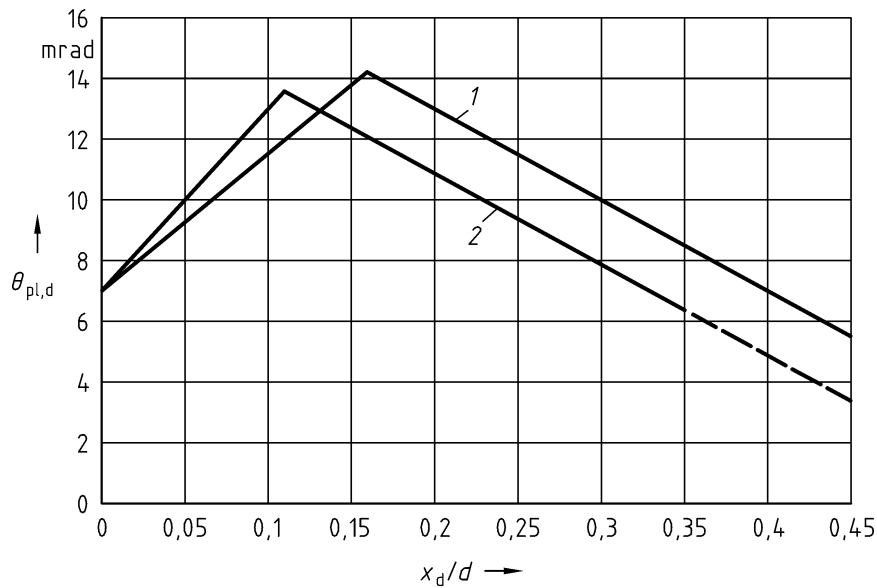
Dabei ist

$\lambda$  das Verhältnis aus dem Abstand zwischen Momentennullpunkt und -maximum nach Umlagerung und der statischen Nutzhöhe  $d$

Vereinfacht darf  $\lambda$  dabei aus den Bemessungswerten des Biegemoments und der zugehörigen Querkraft berechnet werden:

$$\lambda = M_{Ed}/(V_{Ed} \cdot d) \quad (17)$$

Angaben für eine genauere Ermittlung der zulässigen plastischen Rotation können DAfStb-Heft 525 entnommen werden.



**Legende**

- 1 für C12/16 bis C50/60
- 2 für C100/115

**Bild 9 — Grundwerte der zulässigen plastischen Rotation für Festigkeitsklassen des Betons C12/16 bis C50/60 und C100/115. (Die dargestellten Werte gelten unmittelbar für eine Schubschlankheit  $\lambda = 3,0$ .)**

**8.5 Nichtlineare Verfahren**

**8.5.1 Allgemeines**

- (1) Nichtlineare Verfahren der Schnittgrößenermittlung dürfen sowohl für die Nachweise in den Grenzzuständen der Gebrauchstauglichkeit als auch der Tragfähigkeit angewendet werden, wobei die Gleichgewichts- und Verträglichkeitsbedingungen zu erfüllen sind.
- (2) Durch die Festlegung der Bewehrung nach Größe und Lage schließen nichtlineare Verfahren die Bemessung für Biegung mit oder ohne Längskraft nach 10.2 ein.
- (3) Die Formänderungen und Schnittgrößen des Tragwerks sind auf der Grundlage der Spannungs-Dehnungs-Linien für Beton (siehe Bild 22), Betonstahl (siehe Bild 26) und Spannstahl (siehe Bild 28) zu berechnen, wobei die Mittelwerte der Baustofffestigkeiten zugrunde zu legen sind.
- (4) Die Mittelwerte der Baustofffestigkeiten dürfen rechnerisch wie folgt angenommen werden:

$$f_{yR} = 1,1f_{yk} \tag{18}$$

$$f_{tR} = 1,08f_{yR} \quad (\text{für Betonstahl mit hoher Duktilität}) \tag{19}$$

$$f_{tR} = 1,05f_{yR} \quad (\text{für Betonstahl mit normaler Duktilität}) \tag{20}$$

$$f_{p0,1R} = 1,1f_{pk} \tag{21}$$

$$f_{pR} = 1,1f_{pk} \tag{22}$$

$$f_{cR} = 0,85 \alpha f_{ck} \quad (\text{bis C50/60}) \tag{23}$$

$$f_{cR} = 0,85 \alpha f_{ck} / \gamma_c' \quad (\text{ab C55/67}) \tag{24}$$

mit  $\alpha$  nach 9.1.6 (2) und  $\gamma_c'$  nach 5.3.3 (9).

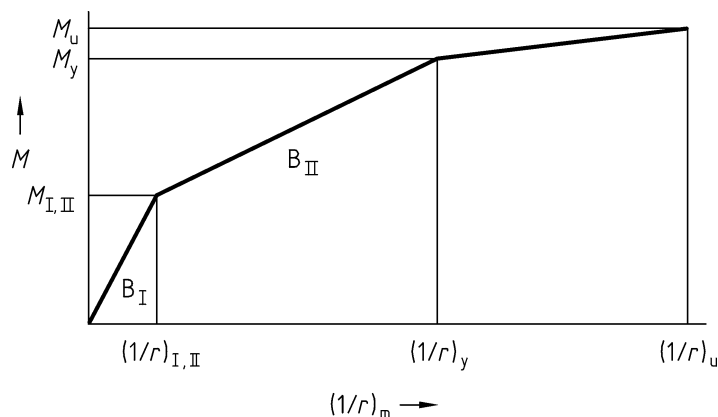


Hierbei sollte ein einheitlicher Teilsicherheitsbeiwert  $\gamma_R = 1,3$  (für ständige und vorübergehende Bemessungssituationen und Nachweis gegen Ermüdung) oder  $\gamma_R = 1,1$  (für außergewöhnliche Bemessungssituationen für den Bemessungswert des Tragwiderstands) berücksichtigt werden.

- (5) Der Bemessungswert des Tragwiderstands darf nicht kleiner sein als der Bemessungswert der maßgebenden Einwirkungskombination.
- (6) Der Grenzzustand der Tragfähigkeit gilt als erreicht, wenn in einem beliebigen Querschnitt des Tragwerks
  - die kritische Stahldehnung oder
  - die kritische Betondehnung oder
  - am Gesamtsystem oder Teilen davon der kritische Zustand des indifferenten Gleichgewichts erreicht ist.
- (7) Die kritische Stahldehnung sollte auf den Wert  $\varepsilon_{su} = 0,025$  festgelegt werden. Die kritische Betondehnung  $\varepsilon_{c1u}$  ist Tabelle 9 und Tabelle 10 zu entnehmen.
- (8) Die Mitwirkung des Betons auf Zug zwischen den Rissen (tension stiffening) ist zu berücksichtigen. Sie darf unberücksichtigt bleiben, wenn dies auf der sicheren Seite liegt.
- (9) Die Auswahl eines geeigneten Verfahrens zur Berücksichtigung der Mitwirkung des Betons auf Zug sollte in Abhängigkeit von der jeweiligen Bemessungsaufgabe getroffen werden.<sup>6)</sup>

### 8.5.2 Berechnungsansatz für stabförmige Bauteile und einachsig gespannte Platten bei Biegung mit oder ohne Längskraft

- (1) Die Schnittgrößen stabförmiger Bauteile sowie einachsig gespannter Platten dürfen unter Ansatz von rechnerischen Momenten-Krümmungs-Beziehungen berechnet werden, denen das Ebenbleiben der Querschnitte zugrunde liegt.
- (2) Auf dieser Grundlage können die Schnittgrößen für die Nachweise in den Grenzzuständen der Gebrauchstauglichkeit und der Tragfähigkeit ermittelt werden. Für den Nachweis in den Grenzzuständen der Tragfähigkeit gilt 8.5.1.
- (3) Zur Vereinfachung darf die in Bild 10 angegebene trilineare Momenten-Krümmungs-Beziehung verwendet werden. Die Krümmungen  $(1/r)_y$  und  $(1/r)_u$  sind dabei unter Berücksichtigung der Mitwirkung des Betons auf Zug zwischen den Rissen zu ermitteln.



#### Legende

- $B_I, B_{II}$  Biegesteifigkeit im ungerissenen Zustand I bzw. gerissenen Zustand II =  $dM/d(1/r)$   
 $M_{I,II}$  Moment beim Übergang von Zustand I zu Zustand II  
 $M_y$  Fließmoment  
 $M_u$  Bruchmoment  
 $(1/r)_{I,II}$  zu  $M_{I,II}$  gehörende Krümmung =  $M_{I,II}/B_I$

**Bild 10 — Vereinfachte Momenten-Krümmungs-Beziehung**

<sup>6)</sup> siehe DAfStb-Heft 525

(4) Für Bauteile mit Längskrafteinwirkung gilt die vereinfachte Momenten-Krümmungs-Beziehung in Bild 10 in der dargestellten Weise nur dann, wenn die Bezugslinie für die Momentenermittlung mit der Wirkungslinie der Längskraft zusammenfällt. Unterscheiden sich diese, z. B. dann, wenn eine Vorspannung nicht in der Schwerachse wirkt, ist die Wirkung der daraus resultierenden Vorkrümmung zu berücksichtigen.

## 8.6 Stabförmige Bauteile und Wände unter Längsdruck (Theorie II. Ordnung)

### 8.6.1 Allgemeines

(1) Der Gleichgewichtszustand von Tragwerken mit stabförmigen Bauteilen oder Wänden unter Längsdruck und insbesondere der Gleichgewichtszustand dieser Bauteile selbst muss unter Berücksichtigung der Auswirkung von Bauteilverformungen nachgewiesen werden, wenn diese die Tragfähigkeit um mehr als 10 % verringern. Dies gilt für jede Richtung, in der ein Versagen nach Theorie II. Ordnung auftreten kann.

(2) Im Grenzzustand der Tragfähigkeit ist für die jeweils ungünstigste Einwirkungskombination nachzuweisen, dass in kritischen Querschnitten der Bemessungswert der Einwirkungen nach Theorie II. Ordnung den Bemessungswert des Tragwiderstands nicht überschreitet und das statische Gleichgewicht (örtlich und für das Gesamttragwerk) gesichert ist.

(3) Diese Grundsätze gelten auch für andere Tragwerke (z. B. Schalen) und Bauteile, bei denen Verformungen (gegebenenfalls örtliche, z. B. in Auflagerbereichen von wandartigen Trägern) die Tragfähigkeit wesentlich beeinflussen oder ein Verlust des stabilen Gleichgewichts zu befürchten ist (z. B. seitliches Ausweichen schlanker Träger, siehe 8.6.8).

(4) Die Bemessungswerte der einwirkenden Schnittgrößen sind unter Berücksichtigung von Maßungenauigkeiten und Unsicherheiten bezüglich Lage und Richtung von Längskräften zu ermitteln. Sofern keine anderen geeigneten Annahmen getroffen werden, sind diese Einflüsse durch Ansatz geometrischer Imperfektionen zu berücksichtigen (siehe 8.6.4).

(5) Nichtlineare Verfahren für das Gesamttragwerk nach 8.5 dürfen unter Berücksichtigung plastischer Gelenke nach 8.4 angewendet werden. Dabei sind aber plastische Gelenke (Krümmungen  $(1/r)_m > (1/r)_y$  nach Bild 10) für Bauteile unter Längsdruck im Sinne von Absatz (1) nicht zulässig.

(6) Werden die Schnittgrößen nach Theorie I. Ordnung mit einem Verfahren nach 8.2, 8.3 oder 8.4 ermittelt, sind die einwirkenden Schnittgrößen nach Theorie II. Ordnung oder die zusätzlich infolge Verformungen nach Theorie II. Ordnung zu berücksichtigenden Schnittgrößen mit dem Verfahren nach 8.5 zu ermitteln.

(7) Abweichend von Absatz (6) dürfen die Formänderungen auf der Grundlage von Bemessungswerten, die auf den Mittelwerten der Baustoffkennwerte beruhen (z. B.  $f_{cm}/\gamma_c$ ,  $E_{cm}/\gamma_c$ ), ermittelt werden. Für die Ermittlung der Grenztragfähigkeit im kritischen Querschnitt sind dann jedoch die Bemessungswerte der Baustofffestigkeiten (z. B.  $\alpha \cdot f_{ck}/\gamma_c$ ) anzusetzen.

(8) Die Mitwirkung des Betons auf Zug zwischen den Rissen darf auf der sicheren Seite liegend vernachlässigt werden.

### 8.6.2 Einteilung der Tragwerke und Bauteile

(1) Zur Nachweisführung werden Tragwerke oder Bauteile in ausgesteifte oder unausgesteifte eingeteilt, je nachdem, ob aussteifende Bauteile vorgesehen sind oder nicht, oder sie werden als verschieblich oder unverschieblich betrachtet, je nachdem, ob bei Tragwerken die Auswirkungen nach Theorie II. Ordnung entsprechend 8.6.1 (1) zu berücksichtigen sind bzw. bei Einzelbauteilen die gegenseitige Verschiebung der Stabenden von Bedeutung ist oder nicht.

(2) Ein aussteifendes Bauteil oder ein System aussteifender Bauteile muss eine ausreichende Steifigkeit haben, um alle horizontalen Lasten, die auf das Tragwerk wirken, aufzunehmen und in die Fundamente weiterzuleiten und um die Tragfähigkeit der auszusteienden Tragwerksteile sicherzustellen.

(3) Zu Bauteilen im Sinne von Absatz (1) gehören Einzeldruckglieder mit der Ersatzlänge  $l_0$ . Sie können sein:

- einzelne Druckglieder (siehe Bild 11 a) und b)),
- Druckglieder als Teile eines Tragwerks, die jedoch für den Nachweis nach 8.6.1 (1), (2) und (3) als Einzeldruckglieder betrachtet werden können (siehe Bild 11 c) und d)).

(4) Die Ersatzlänge  $l_0 = \beta \times l_{\text{col}}$  von Einzeldruckgliedern (mit der Stützenlänge  $l_{\text{col}}$  zwischen den idealisierten Einspannstellen) ist von den Steifigkeiten der Einspannungen an den Enden des Einzeldruckglieds und von der Verschieblichkeit der Enden des Druckglieds abhängig. Hinweise zur Berechnung der Ersatzlänge  $l_0$  von Einzeldruckgliedern können dem DAfStb-Heft 525 entnommen werden. Die Schlankheit der Einzeldruckglieder errechnet sich aus  $\lambda = l_0/i$ , wobei  $i$  der Trägheitsradius des Querschnitts ist.

(5) Sofern keine genaueren Nachweise geführt werden, dürfen Tragwerke, die durch lotrechte Bauteile wie z. B. massive Wandscheiben oder Bauwerkskerne ausgesteift sind, als unverschieblich im Sinne von Absatz (1) angesehen werden, wenn folgende Bedingungen erfüllt sind:

a) Wenn die lotrechten aussteifenden Bauteile annähernd symmetrisch angeordnet sind und nur kleine vernachlässigbare Verdrehungen um die Bauwerksachse zulassen, müssen die Seitensteifigkeiten in beiden Richtungen der Gleichung (25) genügen:

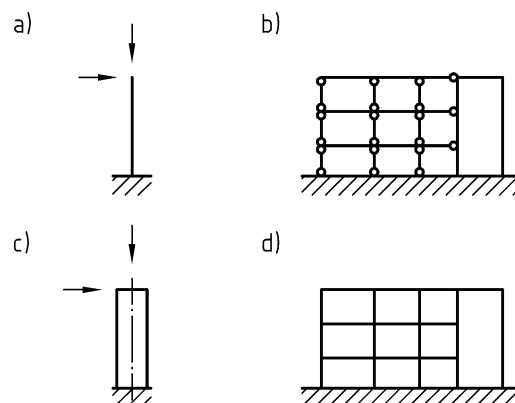
$$\frac{1}{h_{\text{ges}}} \sqrt{\frac{E_{\text{cm}} I_{\text{c}}}{F_{\text{Ed}}}} \geq 1/(0,2 + 0,1 m) \text{ für } m \leq 3; \quad (25)$$

$$\geq 1/0,6 \quad \text{für } m \geq 4$$

b) Wenn die lotrechten aussteifenden Bauteile nicht annähernd symmetrisch angeordnet sind oder nicht vernachlässigbare Verdrehungen zulassen, muss zusätzlich die Verdrehsteifigkeit aus der Kopplung der Wölbsteifigkeit  $E_{\text{cm}} I_{\omega}$  und der Torsionssteifigkeit  $G_{\text{cm}} I_{\text{T}}$  der Gleichung (26) genügen:

$$\frac{1}{h_{\text{ges}}} \sqrt{\frac{E_{\text{cm}} I_{\omega}}{\sum_j F_{\text{Ed},j} \cdot r_j^2}} + \frac{1}{2,28} \sqrt{\frac{G_{\text{cm}} I_{\text{T}}}{\sum_j F_{\text{Ed},j} \cdot r_j^2}} \geq 1/(0,2 + 0,1 m) \text{ für } m \leq 3; \quad (26)$$

$$\geq 1/0,6 \quad \text{für } m \geq 4$$



**Legende**

- a) einzeln stehende Stütze
- b) gelenkig angeschlossene Druckglieder in einem verschieblichen oder unverschieblich ausgesteiften Tragwerk
- c) schlankes aussteifendes Bauteil eines verschieblichen Tragwerks, das als Einzeldruckglied betrachtet werden kann
- d) biegesteif angeschlossene Druckglieder in einem verschieblichen oder unverschieblich ausgesteiften Tragwerk, die als Einzeldruckglieder betrachtet werden können

**Bild 11 — Arten von Einzeldruckgliedern**

*Dabei ist*

$m$	die Anzahl der Geschosse
$h_{\text{ges}}$	die Gesamthöhe des Tragwerkes von der Fundamentoberkante oder einer nicht verformbaren Bezugsebene
$r_j$	der Abstand der Stütze $j$ vom Schubmittelpunkt des Gesamtsystems
$F_{\text{Ed}}$	die Summe der Bemessungswerte der Vertikallasten mit $\gamma_F = 1,0$
$F_{\text{Ed},j}$	der Bemessungswert der Vertikallast der Stütze $j$ mit $\gamma_F = 1,0$
$E_{\text{cm}}I_c$	die Summe der Nennbiegesteifigkeiten aller vertikalen aussteifenden Bauteile, die in der betrachteten Richtung wirken und den Anforderungen nach 8.6.2 (2) genügen. In den aussteifenden Bauteilen sollte die Betonzugspannung unter der maßgebenden Einwirkungskombination nicht den Wert $f_{\text{ctm}}$ nach Tabelle 9 oder Tabelle 10 überschreiten. Wenn die Steifigkeit der aussteifenden Bauteile über ihre Höhe veränderlich ist, sollte eine Ersatzsteifigkeit eingeführt werden
$E_{\text{cm}}I_\omega$	die Summe der Nennwölbsteifigkeiten aller gegen Verdrehung aussteifenden Bauteile
$G_{\text{cm}}I_T$	die Summe der Torsionssteifigkeiten aller gegen Verdrehung aussteifenden Bauteile (St. Venant'sche Torsionssteifigkeit)

### 8.6.3 Nachweisverfahren

(1) Bei Einzeldruckgliedern darf durch Vergleich der Schlankheit mit Grenzwerten entschieden werden, ob Auswirkungen nach Theorie II. Ordnung zu berücksichtigen sind.

(2) Unverschiebliche und verschiebliche Einzeldruckglieder gelten als schlank, wenn folgende Grenzwerte der Schlankheit überschritten werden:

$$\lambda_{\text{max}} = 25 \quad \text{für } |v_{\text{Ed}}| \geq 0,41 \quad (27)$$

$$\lambda_{\text{max}} = 16/\sqrt{|v_{\text{Ed}}|} \quad \text{für } |v_{\text{Ed}}| < 0,41 \quad (28)$$

mit

$$v_{\text{Ed}} = \frac{N_{\text{Ed}}}{A_c \cdot f_{\text{cd}}} \quad (29)$$

Dabei ist

$N_{\text{Ed}}$  der Bemessungswert der mittleren Längskraft des Einzeldruckglieds

$A_c$  die Querschnittsfläche des Druckglieds

$f_{\text{cd}}$  der Bemessungswert der Betondruckfestigkeit nach 9.1.6 (2)

(3) Unverschiebliche Tragwerke oder Einzeldruckglieder, die als nicht schlank gelten, brauchen nicht nach Theorie II. Ordnung bemessen zu werden.

(4) *Einzeldruckglieder in unverschieblich ausgesteiften Tragwerken brauchen, selbst wenn sie als schlank gelten, nicht nach Theorie II. Ordnung untersucht zu werden, wenn ihre Schlankheit  $\lambda$  kleiner oder gleich dem Wert nach Gleichung (30) ist. Dies gilt nur dann, wenn die Stütze zwischen ihren Enden nicht durch Querlasten oder Lastmomente beansprucht wird und die Längskraft über die Stützenlänge als konstant angenommen werden kann.*

$$\lambda_{\text{crit}} = 25 (2 - e_{01}/e_{02}) \quad (30)$$

*Dabei ist*

$e_{01}/e_{02}$  das Verhältnis der jeweiligen Lastausmitteln der Längskraft an den Stützenenden (siehe Bild 13) mit  $|e_{01}| \leq |e_{02}|$

Für den Sonderfall der beidseitig gelenkig gelagerten Stütze gilt  $\lambda_{\text{crit}} = 25$ .

Für die Bemessung der Stabenden gilt Absatz (9).

(5) Kriechauswirkungen dürfen in der Regel vernachlässigt werden, wenn die Stützen an beiden Enden monolithisch mit lastabtragenden Bauteilen verbunden sind oder wenn bei verschieblichen Tragwerken die Schlankheit des Druckgliedes  $\lambda < 50$  und gleichzeitig die bezogene Lastausmitte  $e_0/h > 2$  ist.

(6) Für schlanke Einzeldruckglieder dürfen die Auswirkungen nach Theorie II. Ordnung vereinfachend nach dem Modellstützenverfahren nach 8.6.5 ermittelt werden.

(7) Für Nachweise am Gesamttragwerk nach Theorie II. Ordnung wird auf DAfStb-Heft 525 verwiesen.

(8) Wird bei verschieblichen Tragwerken eine Einspannung der Stabenden des Druckgliedes durch anschließende Bauteile angenommen (z. B. durch einen Rahmenriegel), sind diese anschließenden einspannenden Bauteile auch für diese Zusatzbeanspruchung zu bemessen.

(9) Einzeldruckglieder sollten bei Anwendung der Regelung nach Absatz (4) an beiden Enden mindestens so bemessen werden, dass die folgende Bedingungen eingehalten werden:

$$M_{Rd} \geq |N_{Ed}| \cdot h/20 \quad (31)$$

$$N_{Rd} \geq |N_{Ed}| \quad (32)$$

Dabei ist

$h$  die Abmessung des Querschnitts der Stütze in der betrachteten Richtung

#### 8.6.4 Imperfektionen

(1) Für Einzeldruckglieder dürfen die geometrischen Ersatzimperfektionen durch eine Erhöhung der Lastausmitte der Längskräfte um eine zusätzliche ungewollte Lastausmitte  $e_a$ , die in ungünstigster Richtung wirkt, erfasst werden:

$$e_a = \alpha_{a1} \cdot l_0/2 \quad (33)$$

Dabei ist

$l_0$  die Ersatzlänge des Einzeldruckgliedes nach 8.6.2 (4)

$\alpha_{a1}$  die Schiefstellung gegen die Sollachse nach Gleichung (4) mit  $h_{ges} = l_{col}$

Ist das Einzeldruckglied aussteifendes Bauteil in einem Tragwerk nach Bild 11 b), ist zu untersuchen, ob sich bei Ansatz der Schiefstellung  $\alpha_{a1}$  des gesamten Tragwerks (aussteifende und auszusteiende Bauteile) gegen die Sollachse nach 7.2 eine größere Ausmitte  $e_a$  des aussteifenden Einzeldruckgliedes als nach Gleichung (33) ergibt. Der ungünstigere Wert ist anzusetzen.

(2) Imperfektionen nach Absatz (1) brauchen nur bei Nachweisen nach Theorie II. Ordnung angesetzt zu werden.

#### 8.6.5 Modellstützenverfahren

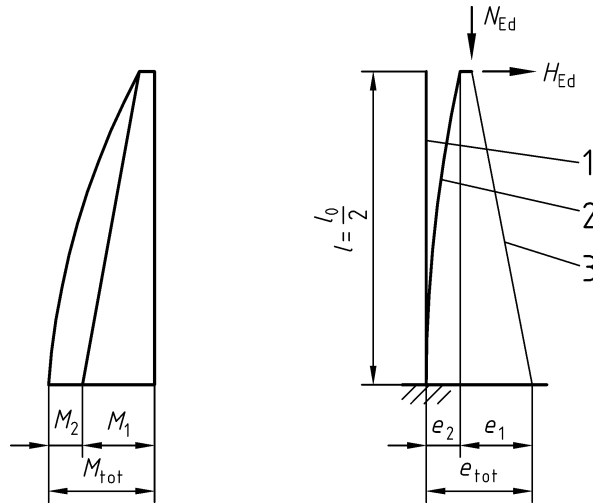
(1) Das im Folgenden beschriebene Modellstützenverfahren gilt für Druckglieder mit rechteckigem oder rundem Querschnitt, bei denen die Lastausmitte nach Theorie I. Ordnung die Bedingung  $e_0 \geq 0,1h$  (mit der Dicke des Querschnitts  $h$  in der betrachteten Ebene) erfüllt.

(2) Für andere Querschnittsformen und für Lastausmitten  $e_0 < 0,1h$  ist das Modellstützenverfahren auch anwendbar, jedoch sind andere Näherungen geeigneter.<sup>7)</sup>

(3) Eine Modellstütze ist eine Kragstütze mit der Länge  $l = l_0/2$ , die

- am Stützenfuß eingespannt und am Stützenkopf frei verschieblich ist (siehe Bild 12) und
- unter der Wirkung von Längskräften und Momenten eine einfach gekrümmte Verformungsfigur aufweist, wobei am Stützenfuß das maximale Moment auftritt.

<sup>7)</sup> siehe DAfStb-Heft 525



**Legende**

- 1 planmäßig gerade Stabachse
- 2 Biegelinie nach Theorie II. Ordnung
- 3 Wirkungslinie der Resultierenden von  $N_{Ed}$  und  $H_{Ed}$

**Bild 12 — Modellstütze**

(4) Der Nachweis des Gleichgewichts wird durch die Bemessung im kritischen Querschnitt am Fuß der Modellstütze (siehe Bild 12) auf der Grundlage der Krümmung ( $1/r$ ) des Querschnitts unter der maximalen Auslenkung der Stütze nach Theorie II. Ordnung erbracht.

(5) Die Gesamtausmitte für die Modellstütze ergibt sich bei Einzeldruckgliedern mit konstantem Querschnitt (bezüglich Beton und Bewehrungsquerschnitt, wobei Stoßbereiche vernachlässigt werden) im am stärksten beanspruchten (kritischen) Querschnitt zu:

$$e_{tot} = e_1 + e_2 \quad (34)$$

mit

$$e_1 = e_0 + e_a \quad (35)$$

Dabei ist

$e_0$  die planmäßige Lastausmitte nach Theorie I. Ordnung =  $M_{Ed0}/N_{Ed}$

$M_{Ed0}$  der Bemessungswert des aufzunehmenden Biegemoments nach Theorie I. Ordnung

$N_{Ed}$  der Bemessungswert der aufzunehmenden Längskraft

$e_a$  die zusätzliche ungewollte Lastausmitte nach Gleichung (33)

$e_2$  die zusätzliche Lastausmitte infolge Auswirkungen nach Theorie II. Ordnung

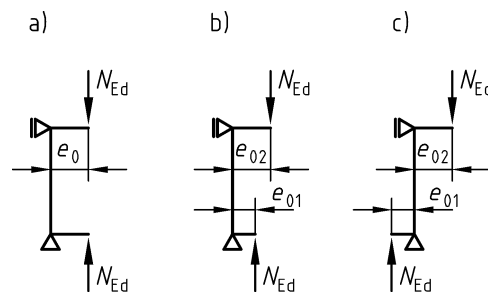
(6) Für Druckglieder in unverschieblichen Rahmentragwerken, die einen konstanten Querschnitt aufweisen und durch Momente beansprucht werden, deren Verlauf über die Stützenlänge linear veränderlich ist, mit gleichen (siehe Bild 13 a)) oder mit unterschiedlichen Werten der Lastausmitten an beiden Enden (siehe Bild 13 b) und c)), darf vereinfachend die wirksame Lastausmitte  $e_0$  im kritischen Querschnitt nach den Gleichungen (36) oder (37) angesetzt werden; der größere Wert ist maßgebend.

$$e_0 = 0,6 e_{02} + 0,4 e_{01} \quad (36)$$

$$e_0 = 0,4 e_{02} \quad (37)$$

Dabei ist

$e_{01}, e_{02}$  die jeweilige planmäßige Ausmitte der Längskraft nach Theorie I. Ordnung an den beiden Stützenenden mit  $|e_{02}| \geq |e_{01}|$



### Legende

- a) Druckglied mit gleicher Lastausmitte an beiden Enden
- b) Druckglied mit unterschiedlicher Lastausmitte gleichen Vorzeichens an beiden Enden
- c) Druckglied mit unterschiedlicher Lastausmitte unterschiedlichen Vorzeichens an beiden Enden

**Bild 13 — Bemessungsmodell zur Berechnung der wirksamen Lastausmitte**

(7) Die zusätzliche Lastausmitte  $e_2$  infolge Auswirkungen nach Theorie II. Ordnung ist auf der Grundlage von 8.6.1 zu ermitteln.

(8) Vereinfachend darf die maximale Auslenkung, die der zusätzlichen Lastausmitte  $e_2$  nach Theorie II. Ordnung entspricht, wie folgt angenommen werden:

$$e_2 = K_1 \cdot (1/r) \cdot l_0^2 / 10 \quad (38)$$

Dabei ist

$l_0$  die Ersatzlänge der Stütze nach 8.6.2 (4)

$(1/r)$  die Krümmung im kritischen Querschnitt

$$K_1 = \lambda / 10 - 2,5 \quad \text{für } 25 \leq \lambda \leq 35$$

$$= 1 \quad \text{für } \lambda > 35$$

(9) Näherungsweise darf die Krümmung  $1/r$  im kritischen Querschnitt ermittelt werden aus:

$$(1/r) = 2 K_2 \cdot \varepsilon_{yd} / (0,9 d) \quad (39)$$

mit

$$K_2 = (N_{ud} - N_{Ed}) / (N_{ud} - N_{bal}) \leq 1 \quad (40)$$

Dabei ist

$\varepsilon_{yd}$  der Bemessungswert der Dehnung der Bewehrung an der Streckgrenze  $= f_{yd} / E_s$

$d$  die Nutzhöhe des Querschnitts in der zu erwartenden Richtung des Stabilitätsversagens

$N_{Ed}$  der Bemessungswert der aufzunehmenden Längskraft (für Druck negativ)

$N_{ud}$  der Bemessungswert der Grenztragfähigkeit des Querschnitts, der nur durch zentrischen Druck beansprucht wird. Er darf angenommen werden zu  $N_{ud} = -(f_{cd} \cdot A_c + f_{yd} \cdot A_s)$

$N_{bal}$  die aufnehmbare Längsdruckkraft bei größter Momententragfähigkeit des Querschnitts. Bei symmetrisch bewehrten rechteckigen Querschnitten darf sie näherungsweise zu  $N_{bal} = -(0,4 f_{cd} \cdot A_c)$  angenommen werden.

Die Annahme  $K_2 = 1$  liegt stets auf der sicheren Seite.

### 8.6.6 Druckglieder mit zweiachsiger Lastausmitte

(1) Ist es erforderlich, das Tragverhalten in jeder der beiden Hauptachsenrichtungen zu betrachten, muss der kritische Querschnitt für beide Fälle nachgewiesen werden. Für beide Richtungen können an den Enden des Bauteils unterschiedliche Randbedingungen vorliegen. Diese Bedingungen müssen in einer geeigneten Weise erfasst werden.

(2) Für Druckglieder mit rechteckigem Querschnitt dürfen getrennte Nachweise in den Richtungen der beiden Hauptachsen  $y$  und  $z$  (siehe Bild 14) geführt werden, wenn das Verhältnis der bezogenen Lastausmitten  $e_{0y}/b$  und  $e_{0z}/h$  eine der folgenden Bedingungen erfüllt:

$$(e_{0z}/h)/(e_{0y}/b) \leq 0,2 \quad (41)$$

oder

$$(e_{0y}/b)/(e_{0z}/h) \leq 0,2 \quad (42)$$

Dabei ist

$e_{0y}, e_{0z}$  die jeweilige Lastausmitte nach Theorie I. Ordnung in Richtung der Querschnittsseiten  $b$  bzw.  $h$

Dies bedeutet, dass der Lastangriffspunkt von  $N_{Ed}$  innerhalb der schraffierten Bereiche in Bild 14 liegt. Ein genauerer Nachweis wird erforderlich, wenn die beiden Bedingungen nach Gleichung (41) und Gleichung (42) nicht erfüllt sind.

(3) Für Druckglieder mit rechteckigem Querschnitt und mit  $e_{0z} > 0,2h$  dürfen getrennte Nachweise nur dann geführt werden, wenn der Nachweis der Biegung über die schwächere Hauptachse  $z$  des Querschnitts auf der Grundlage der reduzierten Querschnittsdicke  $h_{red}$  nach Bild 15 geführt wird. Der Wert  $h_{red}$  darf unter der Annahme einer linearen Spannungsverteilung nach folgender Gleichung ermittelt werden:

$$h_{red} = \frac{h}{2} \left( 1 + \frac{h}{6(e_{0z} + e_{az})} \right) \leq h \quad (43)$$

Dabei ist

$h$  die größere der beiden Querschnittsseiten

$e_{az}$  die Zusatzausmitte zur Berücksichtigung geometrischer Ersatzimperfectionen in  $z$ -Richtung nach Gleichung (33)

$e_{0z}$  die Lastausmitte nach Theorie I. Ordnung in Richtung der Querschnittsseite  $h$

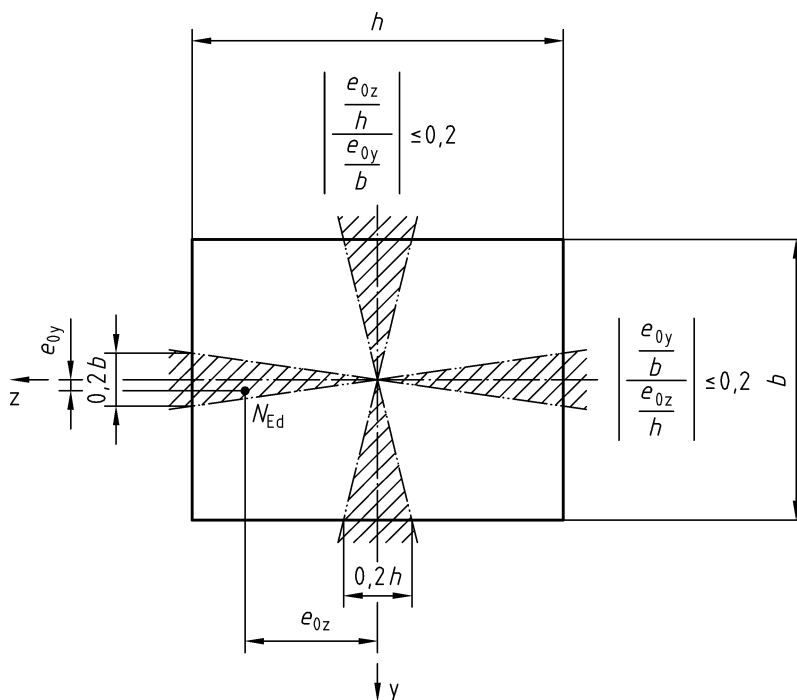
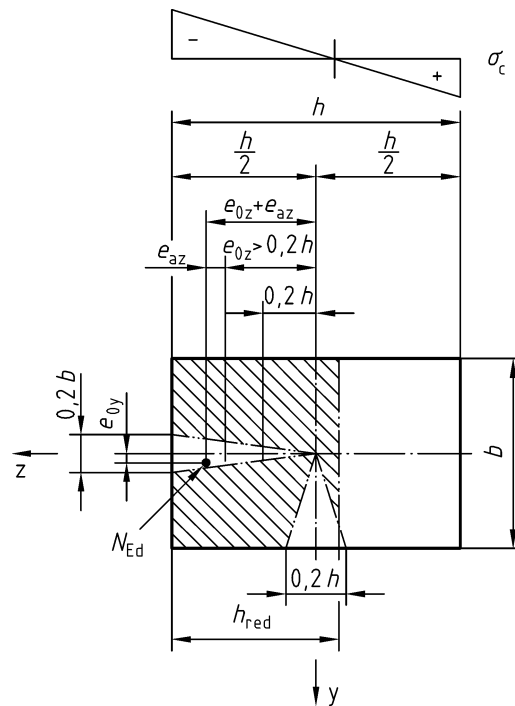


Bild 14 — Grenzen für getrennte Nachweise in Richtung der beiden Hauptachsen





**Bild 15 — Reduzierte Querschnittsdicke  $h_{\text{red}}$  für den getrennten Nachweis in  $y$ -Richtung bei  $e_{0z} > 0,2h$**

### 8.6.7 Druckglieder aus unbewehrtem Beton

(1) Unabhängig vom Schlankheitsgrad  $\lambda$  sind Druckglieder aus unbewehrtem Beton als schlanke Bauteile zu betrachten. Jedoch ist für Druckglieder aus unbewehrtem Beton mit  $l_{\text{col}}/h < 2,5$  eine Schnittgrößenermittlung nach Theorie II. Ordnung nicht erforderlich.

(2) Die Schlankheit am Einbauort betonierter unbewehrter Wände oder Stützen sollte im Allgemeinen den Wert  $\lambda = 85$  nicht überschreiten.

(3) Die von einer schlanken Stütze oder Wand aus unbewehrtem Beton in unverschieblich ausgesteiften Tragwerken aufnehmbare Längsdruckkraft darf näherungsweise wie folgt berechnet werden:

$$N_{\text{Rd}} = -(b \cdot h \cdot f_{\text{cd}} \cdot \varphi) \quad (44)$$

mit

$$\varphi = 1,14(1 - 2e_{\text{tot}}/h) - 0,02l_0/h \quad \text{und} \quad 0 \leq \varphi \leq 1 - 2e_{\text{tot}}/h \quad (45)$$

Dabei ist

$N_{\text{Rd}}$  der Bemessungswert der aufnehmbaren Längsdruckkraft

$b$  die Breite des Querschnitts

$h$  die Dicke des Querschnitts

$\varphi$  der Beiwert zur Berücksichtigung der Auswirkungen nach Theorie II. Ordnung auf die Tragfähigkeit von Druckgliedern aus unbewehrtem Beton in unverschieblich ausgesteiften Tragwerken

$e_{\text{tot}}$  die Gesamtausmitte =  $e_0 + e_a + e_\varphi$

$e_0$  die Lastausmitte nach Theorie I. Ordnung, nach Erfordernis unter Berücksichtigung der Einwirkungen aus anschließenden Decken (z. B. Biegemomente infolge einer Einspannung, die von einer Platte auf die Wand übertragen werden) sowie aus horizontalen Windeinwirkungen

$e_a$  die ungewollte zusätzliche Lastausmitte infolge geometrischer Imperfektionen. Fehlen genauere Angaben, darf  $e_a = 0,5 l_0/200$  angenommen werden

$e_\varphi$  die Ausmitte infolge Kriechen; im Allgemeinen kann der Anteil  $e_\varphi$  vernachlässigt werden

Weitere Angaben können DAfStb-Heft 525 entnommen werden.

### 8.6.8 Seitliches Ausweichen schlanker Träger

(1) Die Sicherheit schlanker Träger gegen seitliches Ausweichen ist nachzuweisen.

(2) Sie darf als ausreichend angenommen werden, wenn die Anforderung nach Gleichung (46) erfüllt ist. Anderenfalls sollte ein genauerer Nachweis geführt werden.

$$b \geq \sqrt[4]{\left(\frac{l_{0t}}{50}\right)^3 \cdot h} \quad (46)$$

Dabei ist

$b$  die Breite des Druckgurts

$h$  die Höhe des Trägers

$l_{0t}$  die Länge des Druckgurts zwischen seitlichen Abstützungen

(3) Schlanke Fertigteilträger müssen während des Anhebens, des Transports und der Montage gegen seitliches Ausweichen ausreichend gesichert sein.

(4) Die Nachweisführung schlanker Träger im Endzustand einschließlich ihrer Auflager muss eine unbeabsichtigte ausmittige Auflagerung berücksichtigen.

(5) Sofern keine genaueren Angaben vorliegen, ist die Auflagerkonstruktion so zu bemessen, dass sie mindestens ein Torsionsmoment  $T_{Ed}$  aus dem Träger nach Gleichung (47) aufnehmen kann.

$$T_{Ed} = V_{Ed} \cdot l_{eff}/300 \quad (47)$$

Dabei ist

$l_{eff}$  die effektive Stützweite des Trägers

$V_{Ed}$  der Bemessungswert der Auflagerkraft rechtwinklig zur Trägerachse

(6) Bei genaueren Nachweisen der Kippsicherheit sollten die Schnittgrößen am verformten Träger nach 8.6.1 (7) ermittelt werden.

Imperfektionen sind dabei in geeigneter Weise, z. B. durch den Ansatz geometrischer Ersatzimperfektionen, zu berücksichtigen. Sofern keine genauen Angaben vorliegen, darf  $e_a = l_{eff}/300$  angesetzt werden.

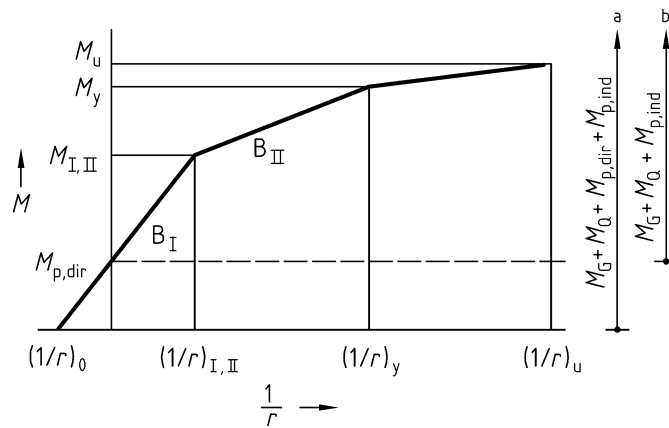
## 8.7 Vorgespannte Tragwerke

### 8.7.1 Allgemeines

(1) Vorspannung mittels Spanngliedern kann als eine Einwirkung aus Anker- und Umlenkräften oder als einwirkende Schnittgröße betrachtet werden.

(2) Alternativ dazu ist auch eine Berücksichtigung der Vorspannung als Dehnungszustand mit entsprechender Vorkrümmung möglich. Dann wird die Vordehnung beim Widerstand des Bauteilquerschnitts berücksichtigt.

(3) Die Verfahren nach Absatz (1) und Absatz (2) führen zum gleichen Bemessungsergebnis (siehe Bild 16), wenn jeweils Spannungen und Dehnungen im Spannbettzustand als Vorspannung bzw. Vordehnung bezeichnet werden und im Grenzzustand der Tragfähigkeit der Spannstahl nicht plastiziert. Als Spannbettzustand wird der Spannungs- und Dehnungszustand im Spannstahl zu einem beliebigen Zeitpunkt  $t$  bezeichnet, der dem spannungsfreien Betonquerschnitt unter Berücksichtigung zeitabhängiger Verformungen des Spannstahls und des Betons entspricht.



### Legende

- $B_I, B_{II}$  Biegesteifigkeit im ungerissenen (Zustand I) bzw. gerissenen Zustand (Zustand II) =  $dM/d(1/r)$
- $(1/r)_0$  Vorkrümmung infolge Vorspannung
- $M_{p,dir}$  statisch bestimmter Anteil des Moments aus Vorspannung
- $M_{p,ind}$  statisch unbestimmter Anteil des Moments aus Vorspannung
- $M_{I,II}$  Moment beim Übergang von Zustand I zu Zustand II
- $M_y$  Fließmoment
- $M_u$  Bruchmoment
- $(1/r)_{I,II}$  zu  $M_{I,II}$  gehörende Krümmung =  $M_{I,II}/B_I$
- a Einwirkende Momente bei Anwendung von Absatz (1)
- b Einwirkende Momente bei Anwendung von Absatz (2)

**Bild 16 — Vereinfachte Momenten-Krümmungs-Beziehung für Spannbetonquerschnitte**

- (4) Für die Schnittgrößenermittlung von vorgespannten Tragwerken dürfen alle in 8.1 aufgeführten Verfahren angewendet werden.
- (5) Bei Anwendung linear-elastischer Verfahren der Schnittgrößenermittlung sollte die statisch unbestimmte Auswirkung der Vorspannung als Einwirkung berücksichtigt werden. Bei Anwendung nicht-linearer Verfahren sowie bei der Ermittlung der erforderlichen Rotation bei Verfahren nach der Plastizitätstheorie sollte die Vorspannung als Vordehnung mit entsprechender Vorkrümmung berücksichtigt werden. Die Ermittlung des statisch unbestimmten Moments aus Vorspannung entfällt dann, da bei diesen Verfahren die Schnittgrößen infolge Vorspannung nicht getrennt von den Lastschnittgrößen ausgewiesen werden können.
- (6) Wird ein Verfahren nach der Plastizitätstheorie für die Schnittgrößenermittlung von vorgespannten stabförmigen Bauteilen im Grenzzustand der Tragfähigkeit verwendet, ist stets das Rotationsvermögen nach 8.4.2 nachzuweisen.
- (7) Bei Spanngliedern ohne Verbund sollte die Schnittgrößenermittlung im Allgemeinen nach Absatz (1) durchgeführt werden. Dabei sollte bei im Betonquerschnitt geführten Spanngliedern der Anstieg der Spanngliedkraft über den Spannbettzustand hinaus infolge der Verformung des Tragwerks berücksichtigt werden.
- (8) Bei Spanngliedern mit Verbund sollte bei der Schnittgrößenermittlung der Spannstahl als in starrem Verbund mit dem Beton liegend angenommen werden. Der Anstieg der Spanngliedkraft infolge Tragwerksverformung vor Herstellung des Verbundes darf vernachlässigt werden (z. B. bei Bauteilen im Bauzustand).
- (9) Externe Spannglieder dürfen auf der freien Länge zwischen Umlenkelementen als gerade angenommen werden.

(10) Bei extern angeordneten Spanngliedern ist die Dehnung zwischen zwei aufeinander folgenden Kontaktpunkten mit dem Tragwerk konstant. Die Dehnung ist unter Berücksichtigung der Verformung des Tragwerks zu bestimmen.

(11) *Wenn bei Tragwerken mit externen Spanngliedern die Schnittgrößenermittlung für das gesamte Tragwerk vereinfachend linear-elastisch erfolgt, darf der Spannungszuwachs im Spannstahl infolge Tragwerksverformungen unberücksichtigt bleiben.*

### 8.7.2 Vorspannkraft

(1) Die am Spannglied aufgebrachte Höchstkraft  $P_0$ , d. h. die Kraft am Spannende während des Spannvorgangs, darf den kleineren der folgenden Werte nicht überschreiten:

$$P_{0, \max} = A_P \cdot \begin{cases} 0,80f_{pk} \\ 0,90f_{p0,1k} \end{cases} \quad (48)$$

(2) *Ein Überspannen ist unter der Voraussetzung zulässig, dass die Spannpresse eine Messunsicherheit der aufgebrachten Spannkraft von  $\pm 5\%$ , bezogen auf den Endwert der Vorspannkraft, sicherstellt; unter dieser Voraussetzung darf während des Spannvorgangs die höchste Pressenkraft  $P_{0, \max}$  auf  $0,95f_{p0,1k} \cdot A_P$  gesteigert werden.<sup>8)</sup>*

(3) Der Mittelwert der Vorspannkraft  $P_{m0}$  zum Zeitpunkt  $t = t_0$  unmittelbar nach Absetzen der Pressenkraft auf den Anker (Vorspannung im nachträglichen oder ohne Verbund) oder nach dem Lösen der Verankerung (Vorspannung im sofortigen Verbund) darf den kleineren der folgenden Werte an keiner Stelle überschreiten:

$$P_{m0, \max} = A_P \cdot \begin{cases} 0,75f_{pk} \\ 0,85f_{p0,1k} \end{cases} \quad (49)$$

(4) In Abhängigkeit von der Art der Vorspannung sind bei der Berechnung von  $P_{m0}$  folgende Einflüsse zu berücksichtigen:

- die elastische Verformung,
- die Kurzzeitrelaxation des Spannstahls,
- der Reibungsverlust,
- der Verankerungsschlupf.

(5) *Bei internen Spanngliedern ohne Verbund braucht ein Temperaturunterschied zwischen dem Spannglied und dem benachbarten Beton in der Regel nicht berücksichtigt zu werden.*

(6) Der Mittelwert der Vorspannkraft  $P_{mt}$  zum Zeitpunkt  $t > t_0$  ist in Abhängigkeit von der Vorspannart zu bestimmen. Zusätzlich zu den in Absatz (4) genannten Einflüssen sind dabei die Spannkraftverluste infolge Kriechens und Schwindens des Betons und der Langzeitrelaxation des Spannstahls mit den Erwartungswerten zu berücksichtigen.

(7) Beim Vorspannen mit Spanngliedern im nachträglichen oder ohne Verbund muss der Beton zum Zeitpunkt  $t_j$  des Vorspannens eine Mindestdruckfestigkeit  $f_{cmj}$  aufweisen. Die Mindestdruckfestigkeiten für Teilvorspannen und endgültiges Vorspannen sind in Tabelle 6 in Abhängigkeit von der für das Spanverfahren nach der allgemeinen bauaufsichtlichen Zulassung erforderlichen Mindestfestigkeitsklasse des Betons angegeben. Beim Teilvorspannen gelten die Werte der Tabelle 6, Spalte 1, wobei die Spannkraft in jedem einzelnen Spannglied 30 % des in der allgemeinen bauaufsichtlichen Zulassung angegebenen zulässigen Wertes nicht übersteigen darf. Liegt die durch Erhärtungsprüfungen nachzuweisende Betondruckfestigkeit zum Vorspannzeitpunkt zwischen den Werten nach Tabelle 6, Spalten 1 und 2, darf die Spannkraft entsprechend linear zwischen 30 % und 100 % interpoliert werden.

(8) Die tatsächlichen Werte der Spannkraftverluste während des Spannens sind durch Messung der Spannkraft und des zugehörigen Dehnwegs zu überprüfen.

<sup>8)</sup> Diese Überspannreserve kann bei unerwartet hohem Reibungsbeiwert nicht ausreichend sein.

**Tabelle 6 — Mindestbetondruckfestigkeit  $f_{cmj}$  beim Vorspannen mit Spanngliedern im nachträglichen oder ohne Verbund zum Zeitpunkt  $t = t_j$**

Zeile	Spalte	1	2
	Festigkeitsklasse <sup>a</sup>	Festigkeiten $f_{cmj}$ in N/mm <sup>2</sup> <sup>b</sup>	
		Teilverspannen	endgültiges Vorspannen
1	C25/30	13	26
2	C30/37	15	30
3	C35/45	17	34
4	C40/50	19	38
5	C45/55	21	42
6	C50/60	23	46
7	C55/67	25	50
8	C60/75	27	54
9	C70/85	31	62
10	C80/95	35	70
11	C90/105	39	78
12	C100/115	43	86

<sup>a</sup> Gilt sinngemäß auch für Leichtbeton der Festigkeitsklassen LC25/28 bis LC60/66.

<sup>b</sup> Es gilt der Mittelwert der Zylinderdruckfestigkeit (bei Verwendung von Würfeln ist im Verhältnis der Festigkeitsklassen umzurechnen).

### 8.7.3 Spannkraftverluste

(1) Für die Berechnung der Spannkraftverluste nach 8.7.2 (4) und (6) gelten die in diesem Abschnitt angegebenen Festlegungen.

(2) Die Regelungen der allgemeinen bauaufsichtlichen Zulassung für das jeweilige Spannverfahren sind einzuhalten.

(3) Der Spannkraftverlust aus Reibung  $\Delta P_\mu(x)$  in Spanngliedern darf abgeschätzt werden aus:

$$\Delta P_\mu(x) = P_0 \cdot \left( 1 - e^{-\mu \cdot (\Theta + k \cdot x)} \right) \quad (50)$$

Dabei ist

$\Theta$  die Summe der planmäßigen, horizontalen und vertikalen Umlenkwinkel über die Länge  $x$  (unabhängig von Richtung und Vorzeichen)

$k$  der ungewollte Umlenkwinkel (je Längeneinheit); abhängig von der Art des Spannglieds

$\mu$  Reibungsbeiwert zwischen Spannglied und Hüllrohr, hängt von der Oberflächenbeschaffenheit der Spannglieder und der Hüllrohre, der Längenänderung des Spannglieds und der Spannstahtoberfläche ab

(4) Bei extern geführten Spanngliedern, die aus parallelen Drähten oder Litzen bestehen, darf der Spannkraftverlust infolge ungewollter Umlenkwinkel vernachlässigt werden.

(5) Bei Spanngliedern ohne Verbund braucht die Reibung nur bei der Ermittlung der wirksamen mittleren Vorspannkraft  $P_{mt}$  und der Ermittlung der daraus resultierenden Momente infolge der Eintragung der Vorspannkraft berücksichtigt zu werden.

(6) Zeitabhängige Verluste zum Zeitpunkt  $t = \infty$  dürfen für einsträngige Vorspannung im Verbund berechnet werden aus:

$$\Delta\sigma_{p, c+s+r} = \frac{\varepsilon_{cs\infty} \cdot E_p + \Delta\sigma_{pr} + \alpha_p \cdot \varphi(\infty, t_0) \cdot (\sigma_{cg} + \sigma_{cp0})}{1 + \alpha_p \cdot \frac{A_p}{A_c} \left(1 + \frac{A_c}{I_c} \cdot z_{cp}^2\right) [1 + 0,8 \varphi(\infty, t_0)]} \quad (51)$$

Dabei ist

$\Delta\sigma_{p, c+s+r}$  die Spannungsänderung im Spannstahl aus Kriechen und Schwinden des Betons und Relaxation des Spannstahls an der Stelle  $x$  bis zum Zeitpunkt  $t = t_\infty$

$\varepsilon_{cs\infty}$  das Endschwindmaß nach 9.1.4

$\alpha_p$  das Verhältnis ( $E_p/E_{cm}$ ) der Elastizitätsmoduln des Spannstahls und des Betons

$E_p$  der Elastizitätsmodul des Spannstahls nach 9.3

$E_{cm}$  der mittlere Elastizitätsmodul des Betons nach Tabelle 9 oder Tabelle 10

$\Delta\sigma_{pr}$  die Spannungsänderung im Spannstahl an der Stelle  $x$  infolge Relaxation ( $\Delta\sigma_{pr} < 0$ ). Diese darf mit den Angaben der allgemeinen bauaufsichtlichen Zulassung des Spannstahls für das Verhältnis der Ausgangsspannung zur charakteristischen Zugfestigkeit ( $\sigma_{p0}/f_{pk}$ ) bestimmt werden; mit einer Ausgangsspannung von  $\sigma_{p0} = \sigma_{pg0} - 0,3 \Delta\sigma_{p, c+s+r}$ , wobei  $\sigma_{pg0}$  die anfängliche Spannstahlspannung aus der Vorspannung und den ständigen Einwirkungen ist. Zur Vereinfachung darf auf der sicheren Seite liegend  $\sigma_{p0} = \sigma_{pg0}$  gesetzt werden; für übliche Hochbauten darf  $\sigma_{p0}$  zu  $0,95 \sigma_{pg0}$  angenommen werden. Ansonsten ist  $\Delta\sigma_{pr}$  in Gleichung (51) iterativ zu ermitteln.

$\varphi(\infty, t_0)$  die Endkriechzahl des Betons nach 9.1.4

$\sigma_{cg}$  die Betonspannung in Höhe der Spannglieder unter der quasi-ständigen Einwirkungskombination

$\sigma_{cp0}$  der Anfangswert der Betonspannung in Höhe der Spannglieder infolge Vorspannung

$I_c$  das Flächenmoment 2. Grades des Betonquerschnitts

$z_{cp}$  der Abstand zwischen dem Schwerpunkt des Betonquerschnitts und den Spanngliedern

Druckspannungen sind in Gleichung (51) negativ einzusetzen.

(7) Für die Ermittlung des zeitabhängigen Spannkraftverlustes in einem Spannglied ohne Verbund darf Gleichung (51) angewendet werden, wenn für Schwinden und Kriechen die über die Spanngliedlänge gemittelten Betondehnungen

– bei externen Spanngliedern im Bereich gerader Abschnitte zwischen den idealisierten Knickpunkten oder Verankerungsstellen und

– bei internen Spanngliedern entlang der Gesamtlänge des Spannglieds

angesetzt werden.

#### 8.7.4 Grenzzustand der Gebrauchstauglichkeit

(1) Mögliche Streuungen der Vorspannkraft sind zu berücksichtigen. Dazu sind zwei charakteristische Werte der Vorspannkraft anzusetzen:

$$P_{k, \text{sup}} = r_{\text{sup}} \cdot P_{\text{mt}} \quad (52)$$

$$P_{k, \text{inf}} = r_{\text{inf}} \cdot P_{\text{mt}} \quad (53)$$

Dabei ist

$P_{k, \text{sup}}$  der obere charakteristische Wert der Vorspannkraft

$P_{k, \text{inf}}$  der untere charakteristische Wert der Vorspannkraft

$P_{\text{mt}}$  der Mittelwert der Vorspannkraft

(2) Für die Beiwerte  $r_{\text{sup}}$  und  $r_{\text{inf}}$  dürfen im Allgemeinen die folgenden Werte angenommen werden:

$r_{\text{sup}} = 1,05$  und  $r_{\text{inf}} = 0,95$  bei Vorspannung im sofortigem oder ohne Verbund

$r_{\text{sup}} = 1,10$  und  $r_{\text{inf}} = 0,90$  bei Vorspannung im nachträglichem Verbund

### 8.7.5 Grenzzustand der Tragfähigkeit

(1) Der Bemessungswert der Vorspannkraft  $P_d = \gamma_P \times P_{\text{mt}}$  darf im Allgemeinen mit  $\gamma_P = 1,0$  ermittelt werden.

(2) Mögliche Streuungen der Vorspannkraft dürfen bei den Nachweisen im Grenzzustand der Tragfähigkeit im Allgemeinen vernachlässigt werden.

(3) Wird bei Spanngliedern ohne Verbund der Spannungszuwachs im Spann Stahl berücksichtigt, ist der charakteristische Wert  $\Delta\sigma_{\text{pk}}$  des Spannungszuwachses im Spann Stahl mit den Mittelwerten der Baustoffeigenschaften zu bestimmen. Zur Ermittlung des Bemessungswertes  $\Delta\sigma_{\text{pd}} = \gamma_P \times \Delta\sigma_{\text{pk}}$  gilt bei linear-elastischer Schnittgrößenermittlung:

$$\gamma_P = 1,0$$

Bei einem nichtlinearen Verfahren der Schnittgrößenermittlung ist ein oberer oder ein unterer Grenzwert für  $\gamma_P$  anzusetzen, wobei die Rissbildung oder die Fugenöffnung (Segmentbauweise) zu berücksichtigen ist:

$$\gamma_{P,\text{sup}} = 1,2 \text{ und}$$

$$\gamma_{P,\text{inf}} = 0,83$$

(der jeweils ungünstigere Wert ist anzusetzen)

### 8.7.6 Verankerungsbereiche bei Spanngliedern im sofortigen Verbund

(1) Für Vorspannung im sofortigen Verbund ist die Verwendung von glatten Drähten nicht zulässig.

(2) Bei Spanngliedern im sofortigen Verbund ist zu unterscheiden zwischen:

- der Übertragungslänge  $l_{\text{bp}}$ , über die die Spannkraft  $P_0$  eines Spanngliedes im sofortigen Verbund voll auf den Beton übertragen wird,
- der Eintragungslänge  $l_{\text{p,eff}}$ , innerhalb der die Betonspannung in eine lineare Verteilung über den Betonquerschnitt übergeht,
- der Verankerungslänge  $l_{\text{ba}}$ , innerhalb der die maximale Spanngliedkraft im Grenzzustand der Tragfähigkeit vollständig verankert ist.

(3) Es darf angenommen werden, dass die Vorspannung durch eine konstante Verbundspannung  $f_{\text{bp}}$  in den Beton eingetragen wird. Die Übertragungslänge  $l_{\text{bp}}$  darf wie folgt ermittelt werden:

$$l_{\text{bp}} = \alpha_1 \cdot \frac{A_p}{\pi \cdot d_p} \cdot \frac{\sigma_{\text{pm0}}}{f_{\text{bp}} \cdot \eta_1} \quad (54)$$

Dabei ist

$\alpha_1 = 1,0$  bei stufenweisem Eintragen der Vorspannung

$= 1,25$  bei schlagartigem Eintragen der Vorspannung

$A_p$  der Nennquerschnitt der Litze oder des Drahts

$d_p$  der Nenndurchmesser der Litze oder des Drahts

$\sigma_{\text{pm0}}$  die Spannung im Spann Stahl nach der Spannkraftübertragung auf den Beton

$\eta_1 = 1,0$  für Normalbeton; für Leichtbeton nach Tabelle 10

(4) Für normale (nicht verdichtete) Litzen mit einer Querschnittsfläche  $A_p \leq 150 \text{ mm}^2$  und für profilierte Drähte mit einem Durchmesser  $\leq 8 \text{ mm}$ , die nach den Angaben in 8.7.2 vorgespannt sind, dürfen die in Tabelle 7 angegebenen Werte für die Verbundspannung  $f_{bp}$  angenommen werden. Maßgebend ist die Betondruckfestigkeit zum Zeitpunkt der Spannkraftübertragung auf den Beton. Bei Verwendung von gerippten Drähten mit Durchmessern  $\leq 12 \text{ mm}$  sollten die Werte für die Verbundspannung  $f_{bp}$  aus Versuchsergebnissen abgeleitet werden. Als Näherung dürfen die Werte der Tabelle 7 herangezogen werden.

Bei mäßigen Verbundbedingungen (siehe 12.4) sind die Werte der Verbundspannung in Tabelle 7 mit dem Faktor 0,7 abzumindern.

(5) Es darf angenommen werden, dass die auf den Beton übertragene Vorspannkraft innerhalb der Übertragungslänge  $l_{bp}$  linear vom Bauteilende her zunimmt.

(6) Der Bemessungswert der Übertragungslänge  $l_{bpd}$  ist mit  $0,8 l_{bp}$  oder  $1,2 l_{bp}$  anzunehmen; es gilt der ungünstigere Wert für die betrachtete Wirkung.

(7) Für die Spannungsermittlung im Eintragungsbereich darf am Ende der Eintragungslänge  $l_{p, \text{eff}}$  eine lineare Verteilung der Betonspannungen über den Querschnitt angenommen werden.

(8) Die Eintragungslänge  $l_{p, \text{eff}}$  darf für Rechteckquerschnitte mit Spanngliedern nahe der Unterseite des Querschnitts wie folgt bestimmt werden:

$$l_{p, \text{eff}} = \sqrt{l_{bpd}^2 + d^2} \quad (55)$$

Für andere Querschnittsformen sollten die Eintragungslänge und die jeweilige örtliche Spannungsverteilung in Anlehnung an die Elastizitätstheorie festgelegt werden.

(9) In biegebeanspruchten Bauteilen wird die Verankerung der Vorspannung durch Rissbildung entscheidend beeinflusst. Der Verankerungsbereich darf als ungerissen angesehen werden, wenn im Grenzzustand der Tragfähigkeit die Betonzugspannungen unter Berücksichtigung der maßgebenden Vorspannkraft die Betonzugfestigkeit  $f_{ctk; 0,05}$  nicht überschreiten. In diesem Fall darf die Verankerung innerhalb der Länge  $l_{bpd}$  ohne weiteren Nachweis als gegeben angesehen werden.

**Tabelle 7 — Verbundspannung  $f_{bp}$  in der Übertragungslänge von Litzen und Drähten im sofortigen Verbund in Abhängigkeit von der Betondruckfestigkeit zum Zeitpunkt der Spannkraftübertragung**

Zeile	Spalte	1	2
	Tatsächliche Betondruckfestigkeit bei der Spannkraftübertragung $f_{cmj}$ in $\text{N/mm}^2$ a b	Verbundspannung $f_{bp}$ in $\text{N/mm}^2$	
		Litzen und profilierte Drähte	gerippte Drähte
1	25	2,9	3,8
2	30	3,3	4,3
3	35	3,7	4,8
4	40	4,0	5,2
5	45	4,3	5,6
6	50	4,6	6,0
7	60	5,0	6,5
8	70	5,3	6,9
9	80	5,5	7,2
10	$\geq 90$	5,7	7,4

a Zwischenwerte sind linear zu interpolieren.

b Es gilt der Mittelwert der Zylinderdruckfestigkeit (bei Verwendung von Würfeln ist im Verhältnis der Festigkeitsklassen umzurechnen).



(10) Überschreiten die Betonzugspannungen den Wert  $f_{ctk;0,05}$ , ist nachzuweisen, dass die vorhandene Zugkraftlinie die Zugkraftdeckungsline aus der Zugkraft von Spannstahl und Betonstahl nicht überschreitet (vgl. Bild 66). Die Zugkraft im Spannstahl ist nach Bild 17 zu ermitteln. Außerhalb der Übertragungslänge  $l_{bpd}$  bzw. nach dem ersten Riss ( $x \geq l_r$ ) sind dabei wegen der schlechteren Verbundbedingungen die Werte der Verbundspannungen nach Tabelle 7 abzumindern. Die Länge  $l_{ba}$  darf wie folgt ermittelt werden.

a) bei Rissbildung außerhalb  $l_{bpd}$  (siehe Bild 17a):

$$l_{ba} = l_{bpd} + \frac{A_p}{\pi \cdot d_p} \cdot \frac{\sigma_{pd} - \sigma_{pmt}}{f_{bp} \cdot \eta_1 \cdot \eta_p} \quad (56)$$

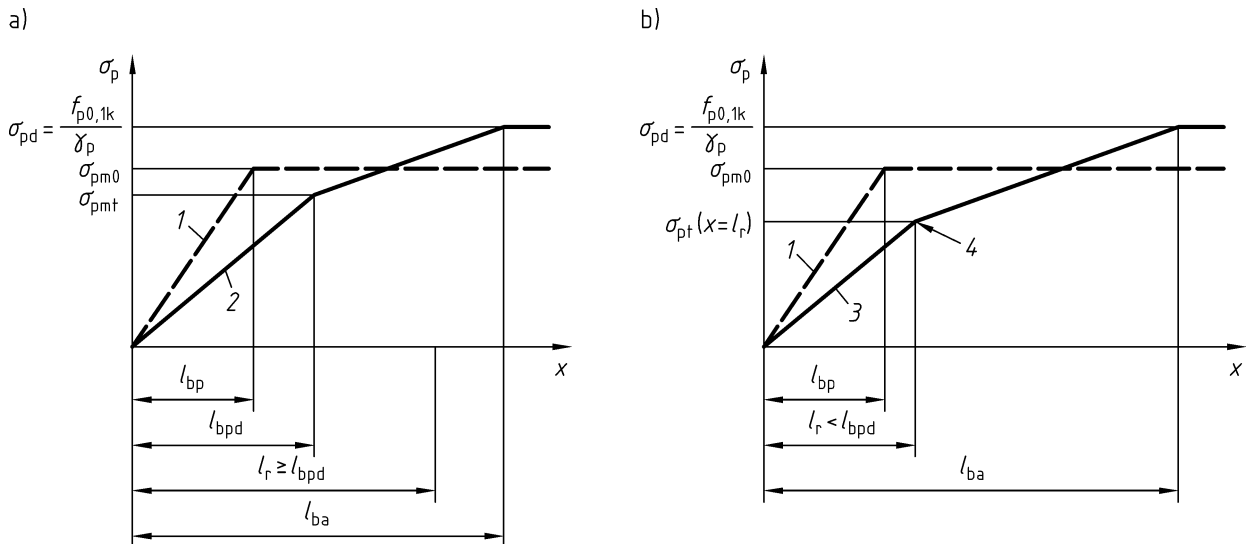
b) bei Rissbildung innerhalb  $l_{bpd}$  (siehe Bild 17b):

$$l_{ba} = l_r + \frac{A_p}{\pi \cdot d_p} \cdot \frac{\sigma_{pd} - \sigma_{pt}(x = l_r)}{f_{bp} \cdot \eta_1 \cdot \eta_p} \quad (57)$$

mit

$\eta_p = 0,5$  für Litzen und profilierte Drähte bzw.

$\eta_p = 0,7$  für gerippte Drähte



### Legende

a) bei der Spannkrafteinleitung (1), im Grenzzustand der Tragfähigkeit ohne Rissbildung in der Übertragungslänge (2)

b) mit Rissbildung in der Übertragungslänge (3), (4) Stelle des ersten Biegerisses

**Bild 17 — Verlauf der Spannstahlspannungen im Verankerungsbereich von Spanngliedern im sofortigen Verbund**

(11) Die in der Entfernung  $x$  vom Bauteilende zu verankernde Kraft  $F_{Ed}(x)$  beträgt:

$$F_{Ed}(x) = \frac{M_{Ed}(x)}{z} + \frac{1}{2} V_{Ed}(x) \cdot (\cot \theta - \cot \alpha) \quad (58)$$

Dabei ist

$M_{Ed}(x)$  der Bemessungswert des aufzunehmenden Biegemoments an der Stelle  $x$

$z$  der innere Hebelarm nach 10.3.4

$V_{Ed}(x)$  der Bemessungswert der zugehörigen aufzunehmenden Querkraft an der Stelle  $x$

$\theta$  der Winkel zwischen den Betondruckstreben und der Bauteillängsachse nach 10.3.4; für Bauteile ohne Querkraftbewehrung gilt  $\cot \theta = 3,0$  und  $\cot \alpha = 0$

$\alpha$  der Winkel zwischen der Querkraftbewehrung und der Bauteilachse nach 10.3.4

Bei der Ermittlung der vom Spannstahl aufzunehmenden Verankerungskraft ist die Rissbildung zu berücksichtigen (siehe Bild 17).

### 8.7.7 Verankerungsbereiche bei Spanngliedern mit nachträglichem oder ohne Verbund

Die im Verankerungsbereich erforderliche Spaltzug- und Zusatzbewehrung ist der allgemeinen bauaufsichtlichen Zulassung für das Spannverfahren zu entnehmen. Der Nachweis der Kraftaufnahme und -weiterleitung im Tragwerk ist mit einem geeigneten Verfahren (z. B. mit einem Stabwerkmodell nach 10.6) zu führen.

## 9 Baustoffe

### 9.1 Beton

#### 9.1.1 Allgemeines

- (1) Dieser Abschnitt gilt für Beton (Normal- und Leichtbeton) nach DIN EN 206-1 und DIN 1045-2.
- (2) Die in diesem Abschnitt angegebenen Festigkeits- und Formänderungskennwerte gelten, sofern für Leichtbeton nicht ausdrücklich festgelegt, für Normalbeton und Leichtbeton.
- (3) Die Festigkeitsklassen für Normalbeton werden durch das vorangestellte Symbol C, für Leichtbeton durch das vorangestellte Symbol LC gekennzeichnet. Die erste Zahl bezeichnet die Zylinderdruckfestigkeit und die zweite Zahl die Würfeldruckfestigkeit (z. B. C20/25).
- (4) Leichtbeton wird entsprechend seiner Trockenrohddichte in Rohdichteklassen nach DIN 1045-2 sowie DIN EN 206-1 eingeteilt. Der Rechenwert  $\rho$  der Trockenrohddichte und der charakteristische Wert der Wichte des Betons sind Tabelle 8 zu entnehmen.

#### 9.1.2 Festigkeiten

- (1) Den Festigkeitsklassen dieser Norm liegt die charakteristische Zylinderdruckfestigkeit  $f_{ck}$  nach 28 Tagen zugrunde (siehe Tabelle 9 und Tabelle 10). Für ihre Definition gelten DIN 1045-2 und DIN EN 206-1.
- (2) In bestimmten Fällen (z. B. beim Vorspannen) kann es erforderlich sein, die Druckfestigkeit zu einem früheren oder späteren Zeitpunkt als nach 28 Tagen oder für besondere Lagerungsbedingungen (z. B. Wärmebehandlung) zu bestimmen.
- (3) Die Zugfestigkeit  $f_{ct}$  bezieht sich im Rahmen dieser Norm auf die erreichbare Höchstspannung unter einachsiger zentrischer Zugbeanspruchung.

**Tabelle 8 — Rohdichteklasse, Rechenwert  $\rho$  der Trockenrohddichte und charakteristischer Wert der Wichte von Leichtbeton**

Zeile	Spalte		1	2	3	4	5	6
			Rohdichteklasse					
			D1,0	D1,2	D1,4	D1,6	D1,8	D2,0
1	Rechenwert $\rho$ der Trockenrohddichte zur Bestimmung der Baustoffeigenschaften in $\text{kg/m}^3$		801– 1 000	1 001– 1 200	1 201– 1 400	1 401– 1 600	1 601– 1 800	1 801– 2 000
2	charakteristischer Wert der Wichte zur Lastermittlung in $\text{kg/m}^3$	unbewehrter Leichtbeton	1 050	1 250	1 450	1 650	1 850	2 050
		bewehrter Leichtbeton	1 150	1 350	1 550	1 750	1 950	2 150

(4) Die zentrische Zugfestigkeit  $f_{ct}$  darf aus der Spaltzugfestigkeit  $f_{ct,sp}$  näherungsweise berechnet werden zu:

$$f_{ct} = 0,9f_{ct,sp} \quad (59)$$

### 9.1.3 Elastische Verformungseigenschaften

(1) Die elastischen Verformungen des Betons hängen in hohem Maße von seiner Zusammensetzung (vor allem von der Gesteinskörnung) ab. Die im Folgenden gegebenen Angaben stellen deshalb lediglich Richtwerte dar. Sie sind dann gesondert zu ermitteln, wenn das Tragwerk empfindlich auf entsprechende Abweichungen reagiert.

(2) Richtwerte für die Elastizitätsmoduln (Sekantenmoduln)  $E_{cm}$  und  $E_{lcm}$  dürfen Tabelle 9 und Tabelle 10 entnommen werden.

(3) Die Querdehnzahl für die elastische Dehnung darf näherungsweise zu Null angenommen werden.

(4) Die lineare Wärmedehnzahl darf für Normalbeton im Allgemeinen gleich  $10 \cdot 10^{-6} \text{K}^{-1}$  und für Leichtbeton im Allgemeinen gleich  $8 \cdot 10^{-6} \text{K}^{-1}$  gesetzt werden.

(5) Der Unterschied zwischen den Wärmedehnzahlen von Stahl und Leichtbeton darf bei der Bemessung vernachlässigt werden.

### 9.1.4 Kriechen und Schwinden

(1) Kriechen und Schwinden des Betons hängen im Wesentlichen von der Feuchte der Umgebung, den Abmessungen des Bauteils und der Zusammensetzung des Betons ab. Das Kriechen wird des Weiteren deutlich vom Reifegrad des Betons beim erstmaligen Aufbringen der Last sowie von Dauer und Größe der Belastung beeinflusst. Bei der Ermittlung der Kriechzahl  $\varphi(t, t_0)$  und der Schwinddehnung  $\varepsilon_{cs}$  sind diese Einflüsse zu berücksichtigen.

(2) Die nach diesem Abschnitt ermittelten Endkriechzahlen  $\varphi(\infty, t_0)$  und Schwinddehnungen  $\varepsilon_{cs\infty}$  dürfen als zu erwartende Mittelwerte angesehen werden. Die mittleren Variationskoeffizienten für die Vorhersage der Endkriechzahl  $\varphi(\infty, t_0)$  und der Schwinddehnung  $\varepsilon_{cs\infty}$  liegen bei etwa 30%. Für gegenüber Kriechen und Schwinden empfindliche Tragwerke sollte die mögliche Streuung dieser Werte berücksichtigt werden. Die angegebenen Werte gelten für kriecherzeugende Betondruckspannungen von nicht mehr als  $0,45f_{ckj}$ ; dabei ist  $f_{ckj}$  die Zylinderdruckfestigkeit des Betons zum Zeitpunkt des Aufbringens der kriecherzeugenden Spannung.

(3) Wenn die kriecherzeugende Betondruckspannung den Wert  $0,45f_{ckj}$  überschreitet, muss die nicht-lineare Abhängigkeit des Kriechens von der kriecherzeugenden Spannung berücksichtigt werden. Dies gilt insbesondere bei Vorspannung mit sofortigem Verbund.

(4) In den Fällen nach Absatz (3) und für genauere Berechnungen dürfen die Kriechzahlen mit anderen geeigneten Berechnungsverfahren ermittelt werden.

(5) Die nach diesem Abschnitt ermittelten Endkriechzahlen  $\varphi(\infty, t_0)$  und Schwinddehnungen  $\varepsilon_{cs\infty}$  gelten für Konstruktionsbetone, die nicht länger als 14 Tage feucht nachbehandelt werden und die üblichen Umgebungsbedingungen mit einer mittleren relativen Luftfeuchte zwischen 40 % und 100 % und mittleren Temperaturen zwischen 10 °C und 30 °C ausgesetzt sind.

(6) Die Kriechdehnung des Betons  $\varepsilon_{cc}(\infty, t_0)$  zum Zeitpunkt  $t = \infty$  darf bei zeitlich konstanter kriecherzeugender Spannung wie folgt berechnet werden:

$$\varepsilon_{cc}(\infty, t_0) = \varphi(\infty, t_0) \cdot \frac{\sigma_c}{E_{c0}} \quad (60)$$

Dabei ist

$\varphi(\infty, t_0)$  die Endkriechzahl; diese darf in Abhängigkeit von der relativen Luftfeuchte vereinfachend Bild 18 oder Bild 19 entnommen werden; für mittlere relative Luftfeuchten unter 50 % und zwischen 50 % und 80 % darf linear extrapoliert bzw. linear interpoliert werden.

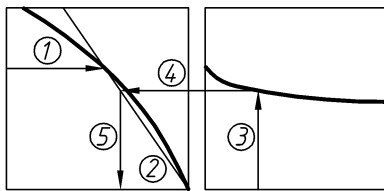
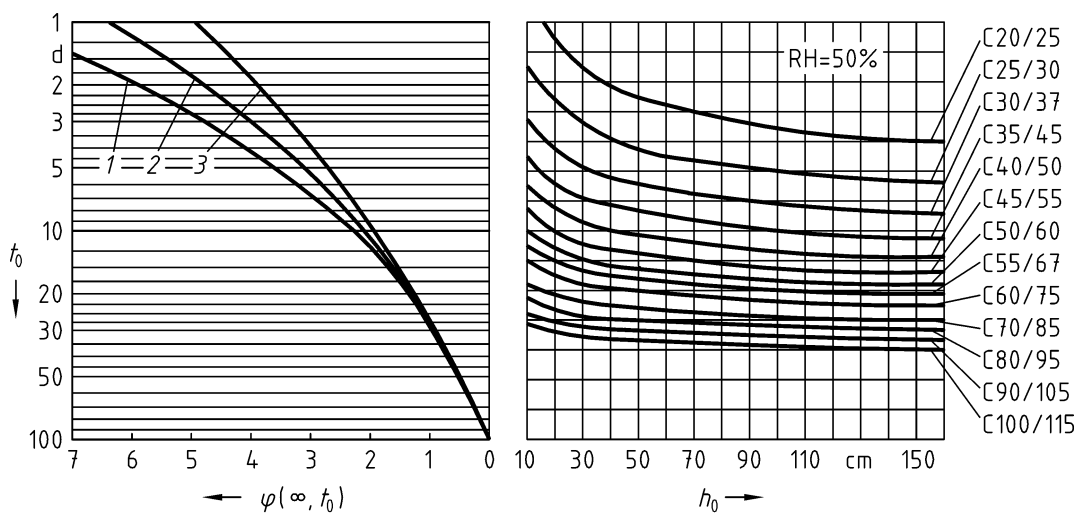
$E_{c0}$  der Elastizitätsmodul des Betons als Tangente im Ursprung der Spannungs-Dehnungs-Linie nach 28 Tagen. Vereinfachend kann  $E_{c0} = 1,1 E_{cm}$  angenommen werden; dabei ist  $E_{cm}$  der mittlere Sekantenmodul des Betons aus Tabelle 9 oder Tabelle 10

$\sigma_c$  die zeitlich konstante kriecherzeugende Betonspannung

$t_0$  das Betonalter bei Belastungsbeginn in Tagen

(7) Für Leichtbeton dürfen, sofern keine Versuchsergebnisse vorliegen, die Werte der Endkriechzahl  $\varphi(\infty, t_0)$  nach Bild 18 oder Bild 19 zugrunde gelegt werden, wenn Sie mit dem Faktor  $\eta_E$  nach Tabelle 10 abgemindert werden. Die so ermittelte Endkriechzahl ist für Betone der Festigkeitsklassen LC12/13 und LC16/18 zusätzlich mit dem Faktor  $\eta_2 = 1,3$  zu multiplizieren.

(8) Zur Berechnung der Kriechzahl zu einem beliebigen Zeitpunkt und bei zeitlich nicht konstanter Betonspannung siehe DAfStb-Heft 525.



### Legende

- 1 Festigkeitsklasse des Zements 32,5
- 2 Festigkeitsklasse des Zements 32,5R; 42,5
- 3 Festigkeitsklasse des Zements 42,5R; 52,5

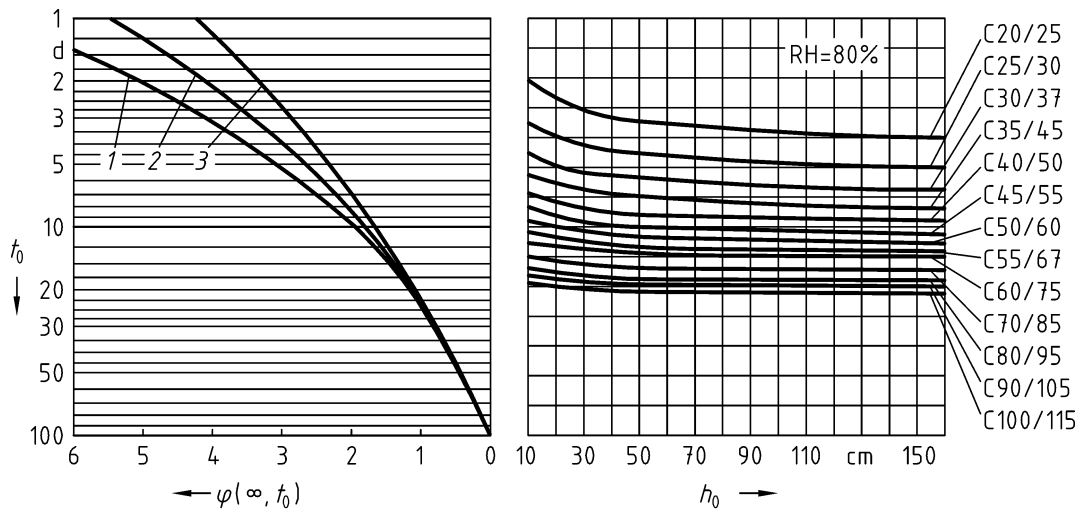
$$h_0 = 2A_c/u$$

Dabei ist

$u$  der Umfang des Querschnitts

$A_c$  die Querschnittsfläche

**Bild 18 — Endkriechzahl  $\varphi(\infty, t_0)$  für Normalbeton und trockene Umgebungsbedingungen (trockene Innenräume, relative Luftfeuchte = 50 %)**



### Legende

- 1 Festigkeitsklasse des Zements 32,5
- 2 Festigkeitsklasse des Zements 32,5R; 42,5
- 3 Festigkeitsklasse des Zements 42,5R; 52,5

$$h_0 = 2A_c/u$$

Dabei ist

$u$  der Umfang des Querschnitts

$A_c$  die Querschnittsfläche

**Bild 19 — Endkriechzahl  $\varphi(\infty, t_0)$  für Normalbeton und feuchte Umgebungsbedingungen (Außenluft, relative Luftfeuchte = 80 %)**

(9) Die Schwinddehnung des Betons setzt sich aus den Anteilen Schrumpfdehnung und Trocknungsschwinddehnung zusammen und darf für den Zeitpunkt  $t = \infty$  wie folgt berechnet werden:

$$\varepsilon_{cs\infty} = \varepsilon_{cas\infty} + \varepsilon_{cds\infty} \quad (61)$$

Dabei ist

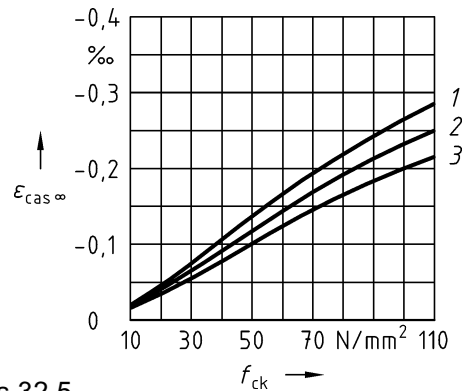
$\varepsilon_{cs\infty}$  die Schwinddehnung des Betons zum Zeitpunkt  $t = \infty$

$\varepsilon_{cas\infty}$  die Schrumpfdehnung zum Zeitpunkt  $t = \infty$  nach Bild 20

$\varepsilon_{cds\infty}$  die Trocknungsschwinddehnung zum Zeitpunkt  $t = \infty$  nach Bild 21

(10) Für Leichtbeton darf, sofern keine Versuchsergebnisse vorliegen, die Schwinddehnung  $\varepsilon_{cds\infty}$  nach Gleichung (61) zugrunde gelegt werden. Die Werte sind dabei für Betone der Festigkeitsklassen LC12/13 und LC16/18 mit dem Faktor  $\eta_3 = 1,5$  und für Betone der Festigkeitsklassen ab LC20/22 mit dem Faktor  $\eta_3 = 1,2$  zu multiplizieren.

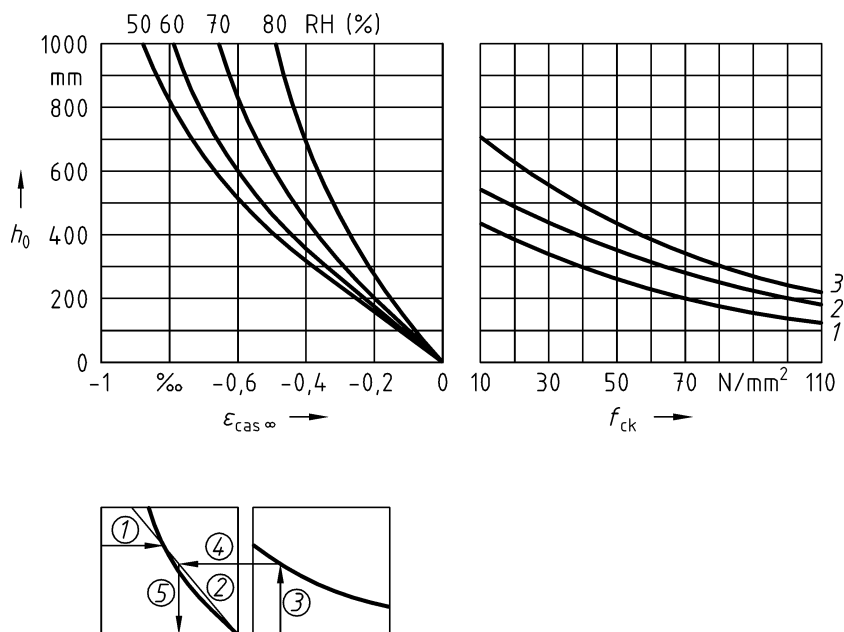
(11) Zur Berechnung der Schwinddehnung zu einem beliebigen Zeitpunkt siehe DAfStb-Heft 525.



**Legende**

- 1 Festigkeitsklasse des Zements 32,5
- 2 Festigkeitsklasse des Zements 32,5R; 42,5
- 3 Festigkeitsklasse des Zements 42,5R; 52,5

**Bild 20 — Schrumpfdehnung  $\varepsilon_{cas\infty}$  zum Zeitpunkt  $t = \infty$  für Normalbeton**



- 1 Festigkeitsklasse des Zements 32,5
- 2 Festigkeitsklasse des Zements 32,5R; 42,5
- 3 Festigkeitsklasse des Zements 42,5R; 52,5

**Bild 21 — Trocknungsschwinddehnung  $\varepsilon_{cds\infty}$  zum Zeitpunkt  $t = \infty$  für Normalbeton**

### 9.1.5 Spannungs-Dehnungs-Linie für nichtlineare Verfahren der Schnittgrößenermittlung und für Verformungsberechnungen

(1) Für nichtlineare Verfahren der Schnittgrößenermittlung und für Verformungsberechnungen ist die Spannungs-Dehnungs-Linie nach Bild 22 zu verwenden. Die Spannungs-Dehnungs-Linie wird für kurzzeitig wirkende Beanspruchungen und einaxiale Spannungszustände durch Gleichung (62) beschrieben:

$$\frac{\sigma_c}{f_c} = - \left( \frac{k \cdot \eta - \eta^2}{1 + (k-2)\eta} \right) \quad (62)$$

mit

$$\eta = \varepsilon_c / \varepsilon_{c1} \quad (63)$$

$$k = -1,1 E_{cm} \cdot \varepsilon_{c1} / f_c \quad (64)$$

Dabei ist

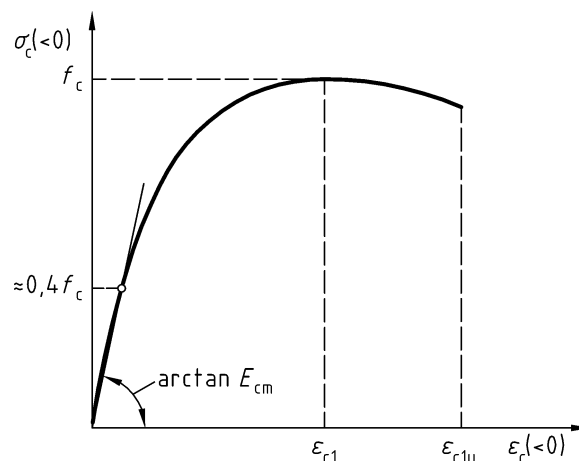
$\varepsilon_{c1}$  die Dehnung bei Erreichen des Höchstwerts der Betondruckspannung nach Tabelle 9 oder Tabelle 10

$E_{cm}$  der mittlere Elastizitätsmodul nach Tabelle 9 oder Tabelle 10

$f_c$  der Höchstwert der ertragenen Betondruckspannung; bei nichtlinearen Verfahren der Schnittgrößenermittlung darf für  $f_c$  der Rechenwert  $f_{cR}$  nach 8.5.1 angenommen werden; bei Verformungsberechnungen  $f_{cm}$

Gleichung (62) ist für  $0 \geq \varepsilon_c \geq \varepsilon_{c1u}$  gültig, wobei  $\varepsilon_{c1u}$  die Bruchdehnung bei Erreichen der Festigkeitsgrenze nach Tabelle 9 oder Tabelle 10 ist.

(2) Andere idealisierte Spannungs-Dehnungs-Linien dürfen angewendet werden, wenn sie dem in Absatz (1) beschriebenen Ansatz gleichwertig sind.



**Bild 22 — Spannungs-Dehnungs-Linie für die Schnittgrößenermittlung mit nichtlinearen Verfahren und für Verformungsberechnungen**

### 9.1.6 Spannungs-Dehnungs-Linie für die Querschnittsbemessung

(1) Für die Querschnittsbemessung ist die Spannungs-Dehnungs-Linie nach Bild 23 zu verwenden. Die Spannungs-Dehnungs-Linie wird durch die Gleichungen (65) und (66) beschrieben:

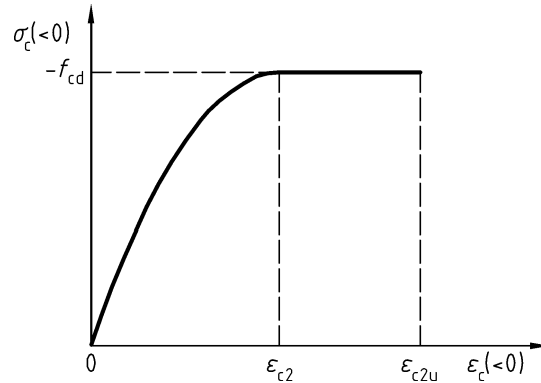
$$\sigma_c = -f_{cd} \cdot \left[ 1 - \left( 1 - \frac{\varepsilon_c}{\varepsilon_{c2}} \right)^n \right] \quad \text{für } 0 \geq \varepsilon_c \geq \varepsilon_{c2} \quad (65)$$

$$\sigma_c = -f_{cd} \quad \text{für } \varepsilon_{c2} \geq \varepsilon_c \geq \varepsilon_{c2u} \quad (66)$$

Dabei ist

- $n$  der Exponent der Parabel
- $\varepsilon_{c2}$  die Dehnung beim Erreichen der Festigkeitsgrenze
- $\varepsilon_{c2u}$  die maximale Dehnung

Die Werte sind Tabelle 9 oder Tabelle 10 zu entnehmen.



**Bild 23 — Parabel-Rechteck-Diagramm**

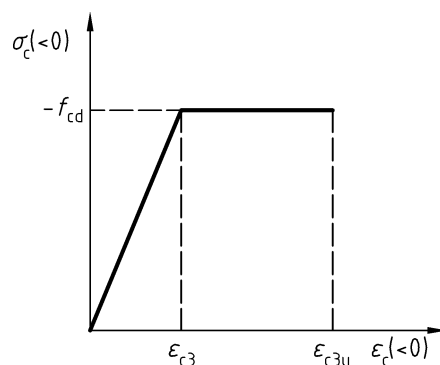
(2) Der Bemessung im Grenzzustand der Tragfähigkeit ist der Wert  $f_{cd}$  zugrunde zu legen:

$$f_{cd} = \alpha \cdot f_{ck} / \gamma_c \quad (67)$$

Dabei ist

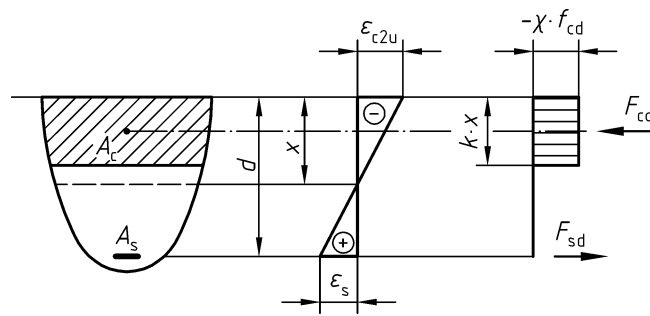
- $\gamma_c$  der Teilsicherheitsbeiwert für Beton nach Tabelle 2 bzw. bei unbewehrten Bauteilen nach 5.3.3 (8); ab den Festigkeitsklassen C55/67 und LC55/60 ist  $\gamma_c$  mit  $\gamma_c'$  zu multiplizieren (siehe 5.3.3 (9)).
- $\alpha$  der Abminderungsbeiwert zur Berücksichtigung von Langzeitwirkungen auf die Druckfestigkeit sowie zur Umrechnung zwischen Zylinderdruckfestigkeit und einaxialer Druckfestigkeit des Betons. Der Beiwert  $\alpha$  ist für Normalbeton mit 0,85 anzunehmen. In begründeten Fällen (z. B. Kurzzeitbelastung) dürfen auch höhere Werte für  $\alpha$  (mit  $\alpha \leq 1$ ) angesetzt werden. Für Leichtbeton ist der Wert  $\alpha$  nach 9.1.6 (4) zu wählen.

(3) Andere idealisierte Spannungs-Dehnungs-Linien sind zulässig, sofern sie dem Parabel-Rechteck-Diagramm im Hinblick auf die Verteilung der Druckspannungen gleichwertig sind (z. B. das bilineare Diagramm nach Bild 24 mit den Werten nach Tabelle 9 oder Tabelle 10). Wenn die Dehnungsnulllinie im Querschnitt liegt, darf unter den angegebenen Bedingungen auch der Spannungsblock nach Bild 25 als Betonspannungsverteilung angesetzt werden.



**Bild 24 — Bilineare Spannungs-Dehnungs-Linie**





### Legende

$\chi \approx 0,95$	für $f_{ck} \leq 50 \text{ N/mm}^2$
$\chi = 1,05 - f_{ck}/500$	für $f_{ck} > 50 \text{ N/mm}^2$
$k = 0,80$	für $f_{ck} \leq 50 \text{ N/mm}^2$
$k = 1,0 - f_{ck}/250$	für $f_{ck} > 50 \text{ N/mm}^2$

ANMERKUNG Sofern die Querschnittsbreite zum gedrückten Rand hin abnimmt, ist  $f_{cd}$  zusätzlich mit dem Faktor 0,9 abzumindern.

**Bild 25 — Spannungsblock**

(4) Für Leichtbeton ist bei Verwendung des Parabel-Rechteck-Diagramms und des bilinearen Diagramms nach Bild 24,  $\alpha = 0,80$ , bei Verwendung des Spannungsblocks nach Bild 25,  $\alpha = 0,70$  zu setzen.

### 9.1.7 Zusammenstellung der Betonkennwerte

- (1) Die Betonkennwerte sind in Tabelle 9 und Tabelle 10 zusammengestellt.
- (2) Der nach 9.1.6 (2) ermittelte Wert  $f_{cd}$  ist der Bemessungswert der einaxialen Druckfestigkeit des ungerissenen Betons. Bei Querkzugspannungen oder Querrissbildung muss die Verminderung der Druckfestigkeit berücksichtigt werden.
- (3) Die Verminderung der Festigkeiten darf vereinfachend mit  $\alpha_c \cdot f_{cd}$  ( $\alpha_c$  nach 10.3.4) angenommen werden.
- (4) Bei mehraxialen Druckbeanspruchungen dürfen höhere Festigkeiten angesetzt werden.

**Tabelle 9 — Festigkeits- und Formänderungskennwerte von Normalbeton**

Zeile	Spalte	1	2	3	4	5	6	7	8	9	10	11	12	13	14	15	16
	Kenngröße	Festigkeitsklassen															analytische Beziehung; Erläuterung
1	$f_{ck}$	12 <sup>a</sup>	16	20	25	30	35	40	45	50	55	60	70	80	90	100	$N/mm^2$
2	$f_{ck, cube}$	15	20	25	30	37	45	50	55	60	67	75	85	95	105	115	$N/mm^2$
3	$f_{cm}$	20	24	28	33	38	43	48	53	58	63	68	78	88	98	108	$f_{cm} = f_{ck} + 8$ $N/mm^2$
4	$f_{ctm}$	1,6	1,9	2,2	2,6	2,9	3,2	3,5	3,8	4,1	4,2	4,4	4,6	4,8	5	5,2	$f_{ctm} = 0,30 f_{ck}^{(2/3)}$ bis C50/60 $f_{ctm} = 2,12 \ln(1 + f_{cm}/10)$ ab C55/67
5	$f_{ctk; 0,05}$	1,1	1,3	1,5	1,8	2	2,2	2,5	2,7	2,9	3	3,1	3,2	3,4	3,5	3,7	$f_{ctk; 0,05} = 0,7 f_{ctm}$ 5%-Quantil
6	$f_{ctk; 0,95}$	2	2,5	2,9	3,3	3,8	4,2	4,6	4,9	5,3	5,5	5,7	6	6,3	6,6	6,8	$f_{ctk; 0,95} = 1,3 f_{ctm}$ 95%-Quantil
7	$E_{cm}^b$	25 800	27 400	28 800	30 500	31 900	33 300	34 500	35 700	36 800	37 800	38 800	40 600	42 300	43 800	45 200	$E_{cm} = 9500 (f_{ck} + 8)^{1/3}$ $N/mm^2$
8	$\epsilon_{c1}$	-1,8	-1,9	-2,1	-2,2	-2,3	-2,4	-2,5	-2,55	-2,6	-2,65	-2,7	-2,8	-2,9	-2,95	-3,0	in %; gilt nur für Bild 22
9	$\epsilon_{c1u}$	-3,5									-3,4	-3,3	-3,2	-3,1	-3,0	-3,0	in %; gilt nur für Bild 22
10	$n$	2,0									2,0	1,9	1,8	1,7	1,6	1,55	
11	$\epsilon_{c2}$	-2,0									-2,03	-2,06	-2,1	-2,14	-2,17	-2,2	in %; gilt nur für Bild 23
12	$\epsilon_{c2u}$	-3,5									-3,1	-2,7	-2,5	-2,4	-2,3	-2,2	in %; gilt nur für Bild 23
13	$\epsilon_{c3}$	-1,35									-1,35	-1,4	-1,5	-1,6	-1,65	-1,7	in %; gilt nur für Bild 24
14	$\epsilon_{c3u}$	-3,5									-3,1	-2,7	-2,5	-2,4	-2,3	-2,2	in %; gilt nur für Bild 24

<sup>a</sup> Die Festigkeitsklasse C12/15 darf nur bei vorwiegend ruhenden Einwirkungen verwendet werden.  
<sup>b</sup> Diese Werte stellen den mittleren Elastizitätsmodul als Sekante bei  $|\sigma_c| \approx 0,4 f_{cm}$  dar.

**Tabelle 10 — Festigkeits- und Formänderungskennwerte von Leichtbeton**

Zeile	Spalte	1	2	3	4	5	6	7	8	9	10	11	12	
	Kenngröße	Festigkeitsklassen											analytische Beziehung; Erläuterung	
1	$f_{lck}$	12 <sup>a</sup>	16	20	25	30	35	40	45	50	55	60	N/mm <sup>2</sup>	
2	$f_{lck, cube}$	13	18	22	28	33	38	44	50	55	60	66	N/mm <sup>2</sup>	
3	$f_{lcm}$	20	24	28	33	38	43	48	53	58	63	68	$f_{lcm} = f_{lck} + 8$	N/mm <sup>2</sup>
4	$f_{lctm}$	$\eta_1 \cdot f_{ctm}$											$f_{ctm}$ nach Tabelle 9 $\eta_1 = 0,40 + 0,60 \varrho / 2\,200^c$	N/mm <sup>2</sup>
5	$f_{ctk; 0,05}$	$\eta_1 \cdot f_{ctk; 0,05}$											$f_{ctk; 0,05}$ nach Tabelle 9	5%-Quantil
6	$f_{ctk; 0,95}$	$\eta_1 \cdot f_{ctk; 0,95}$											$f_{ctk; 0,95}$ nach Tabelle 9	95%-Quantil
7	$E_{lcm}^b$	$\eta_E \cdot E_{lcm}$											$E_{cm}$ nach Tabelle 9 $\eta_E = (\varrho / 2\,200)^2^c$	
8	$\varepsilon_{lc1}$	$-k \cdot f_{lcm} / E_{lcm}$											$k = 1,1$ für Leichtbeton mit Leichtsand $k = 1,3$ für Leichtbeton mit Natursand	in %; gilt nur für Bild 22
9	$\varepsilon_{lc1u}$	$\varepsilon_{lc1}$												in %; gilt nur für Bild 22
10	$n$	2,0										1,9		
11	$\varepsilon_{lc2}$	-2,0									-2,03	-2,06		in %; gilt nur für Bild 23
12	$\varepsilon_{lc2u}$	$-3,5 \eta_1 \geq \varepsilon_{c2u}$											$\varepsilon_{c2u}$ nach Tabelle 9	in %; gilt nur für Bild 23
13	$\varepsilon_{lc3}$	-1,8												in %; gilt nur für Bild 24
14	$\varepsilon_{lc3u}$	$-3,5 \eta_1 \geq \varepsilon_{c3u}$											$\varepsilon_{c3u}$ nach Tabelle 9	in %; gilt nur für Bild 24

<sup>a</sup> Die Festigkeitsklasse LC12/13 darf nur bei vorwiegend ruhenden Lasten verwendet werden.  
<sup>b</sup> Diese Werte stellen den mittleren Elastizitätsmodul als Sekante bei  $|\sigma_c| \approx 0,4 f_{lcm}$  dar.  
<sup>c</sup> mit  $\varrho$  in kg/m<sup>3</sup>

## 9.2 Betonstahl

### 9.2.1 Allgemeines

(1) Dieser Abschnitt gilt für Betonstabstahl und Betonstahlmatten im Lieferzustand nach den Normen der Reihe DIN 488 und nach allgemeinen bauaufsichtlichen Zulassungen. Für Betonstahl, der in Ringen produziert wurde, gelten die Anforderungen für den Zustand nach dem Richten.

(2) Betonstähle nach allgemeiner bauaufsichtlicher Zulassung dürfen für Betone ab der Fertigungs-klasse C70/85 nur verwendet werden, sofern dies in der Zulassung geregelt ist.

### 9.2.2 Eigenschaften

(1) Die Festlegungen und konstruktiven Regeln in dieser Norm beziehen sich auf schweißgeeignete, gerippte Betonstähle mit einer charakteristischen Streckgrenze von  $f_{yk} = 500 \text{ N/mm}^2$  und den sonstigen in Tabelle 11 angegebenen Eigenschaften. Sofern relevant, gelten diese Eigenschaften gleichermaßen für Zug- und Druckbeanspruchung. Für Stähle mit Eigenschaften, die von den in Tabelle 11 angegebenen abweichen, können andere als die in dieser Norm angegebenen Festlegungen und konstruktiven Regeln notwendig sein.

(2) Für Betonstähle nach allgemeinen bauaufsichtlichen Zulassungen sind die Duktilitätsmerkmale (normalduktil oder hochduktil) darin geregelt. Falls dort keine entsprechenden Festlegungen getroffen sind, sind die Betonstähle als normalduktil einzustufen.

(3) Die Streckgrenze  $f_{yk}$  ( $R_e$  nach den Normen der Reihe DIN 488) und die Zugfestigkeit  $f_{tk}$  ( $R_m$  nach den Normen der Reihe DIN 488) werden jeweils als charakteristische Werte definiert; sie ergeben sich aus der Last bei Erreichen der Streckgrenze bzw. der Höchstlast, geteilt durch den Nennquerschnitt.

(4) *Für Erzeugnisse ohne ausgeprägte Streckgrenze  $f_{yk}$  darf dafür der Wert  $f_{0,2k}$  eingesetzt werden (siehe Bild 26).*

(5) Betonstähle aller Lieferformen weisen die für die Bemessung erforderlichen Eigenschaften im Temperaturbereich zwischen  $-60^\circ\text{C}$  und  $200^\circ\text{C}$  auf. Bei einer einmaligen Über- oder Unterschreitung dieses Temperaturbereiches ist mit deutlich veränderten Baustoffeigenschaften zu rechnen (siehe auch 12.3.2 (3)).

(6) Die Eignung zum Biegen ist durch das Verhalten der Betonstähle beim Rückbiegeversuch gekennzeichnet. Die in Tabelle 11 angegebenen Werte gelten für Temperaturen über  $-10^\circ\text{C}$ .

(7) Betonstähle müssen eine Schweißeignung aufweisen, die für die vorgesehene Verbindung und die in Tabelle 12 genannten Schweißverfahren ausreicht. Für die Ausführung der Schweißarbeiten gilt DIN 4099-1.

**Tabelle 11 — Eigenschaften der Betonstähle**

Zeile	Spalte	1	2	3	4	5
	Benennung <sup>a</sup>	BSt 500 S(A)	BSt 500 M(A)	BSt 500 S(B)	BSt 500 M(B)	Art der Anforderung bzw. Quantilwert $p$ in %
1	Erzeugnisform	Betonstahl	Betonstahlmatten	Betonstahl	Betonstahlmatten	
2	Duktilität	normal		hoch		
3	Streckgrenze $f_{yk}$ in N/mm <sup>2</sup>	500				5
4	Verhältnis $(f_t/f_y)_k$	$\geq 1,05$		$\geq 1,08$		min. 10
5	Verhältnis $f_y/f_{yk}$ ( $f_y$ = tatsächliche Streckgrenze)	—		$\leq 1,3$		max. 10
6	Stahldehnung unter Höchstlast $\epsilon_{uk}$ in ‰	25		50		10
7	Kennwert für die Ermüdungsfestigkeit $N = 2 \cdot 10^6$ <sup>b</sup> in N/mm <sup>2</sup> (mit einer oberen Spannung von nicht mehr als $0,6f_y$ )	215	100	215	100	10
8	Bezogene Rippenfläche $f_R$ für Nenndurchmesser $d_s$ (in mm) 5,0 bis 6,0 6,5 bis 8,5 9,0 bis 10,5 11,0 bis 40,0	0,039 0,045 0,052 0,056				min. 5
9	Unterschreitung des Nennquerschnitts in %	4				max. 5
10	Biegerollendurchmesser beim Rückbiegeversuch für Nenndurchmesser $d_s$ (in mm) 6 bis 12 14 bis 16 20 bis 25 28 bis 40	5 $d_s$ 6 $d_s$ 8 $d_s$ 10 $d_s$				min. 1

<sup>a</sup> S: Betonstahl; M: Betonstahlmatten; A: normale Duktilität; B: hohe Duktilität

<sup>b</sup> Falls höhere Werte im Versuch nachgewiesen werden, dürfen die Bemessungswerte nach Tabelle 16 entsprechend abgeleitet werden.

**Tabelle 12 — Zulässige Schweißverfahren und Anwendungsfälle**

Zeile	Spalte	1		2	3
	Belastungsart	Schweißverfahren mit Kurzbezeichnung und Ordnungsnummer des Schweißprozesses nach DIN EN ISO 4063		Zugstäbe <sup>a</sup>	Druckstäbe <sup>a</sup>
1	Vorwiegend ruhend	Abbrennstumpfschweißen (RA)	24	Stumpfstoß	
2		Lichtbogenhandschweißen (E) und Metall-Lichtbogen-schweißen (MF)	111	Stumpfstoß mit $d_s \geq 20$ mm, Laschenstoß, Überlappstoß, Kreuzungsstoß <sup>c</sup> , Verbindung mit anderen Stahlteilen	
			114		
3		Metall-Aktivgasschweißen (MAG) <sup>b</sup>	135	Laschenstoß, Überlappstoß, Kreuzungsstoß <sup>c</sup> , Verbindung mit anderen Stahlteilen	
4			136	—	Stumpfstoß mit $d_s \geq 20$ mm
5		Reibschweißen (FR)	42	Stumpfstoß, Verbindung mit anderen Stahlteilen	
6	Widerstandspunktschweißen (RP) (mit Einpunktschweißmaschine)	21	Überlappstoß <sup>d</sup> Kreuzungsstoß <sup>b d</sup>		
7	Nicht vorwiegend ruhend	Abbrennstumpfschweißen (RA)	24	Stumpfstoß	
8		Lichtbogenhandschweißen (E)	111	—	Stumpfstoß mit $d_s \geq 16$ mm
9		Metall-Aktivgasschweißen (MAG)	135 136	—	Stumpfstoß mit $d_s \geq 20$ mm

<sup>a</sup> Es dürfen gleiche Stabnennendurchmesser sowie benachbarte Stabdurchmesser verbunden werden.  
<sup>b</sup> Zulässiges Verhältnis der Stabnennendurchmesser sich kreuzender Stäbe  $\geq 0,57$ .  
<sup>c</sup> Für tragende Verbindungen  $d_s \leq 16$  mm  
<sup>d</sup> Für tragende Verbindungen  $d_s \leq 28$  mm

### 9.2.3 Spannungs-Dehnungs-Linie für die Schnittgrößenermittlung

(1) Bei nichtlinearen Verfahren der Schnittgrößenermittlung ist eine wirklichkeitsnahe Spannungs-Dehnungs-Linie nach Bild 26 mit  $\epsilon_s \leq \epsilon_{uk}$  anzusetzen.

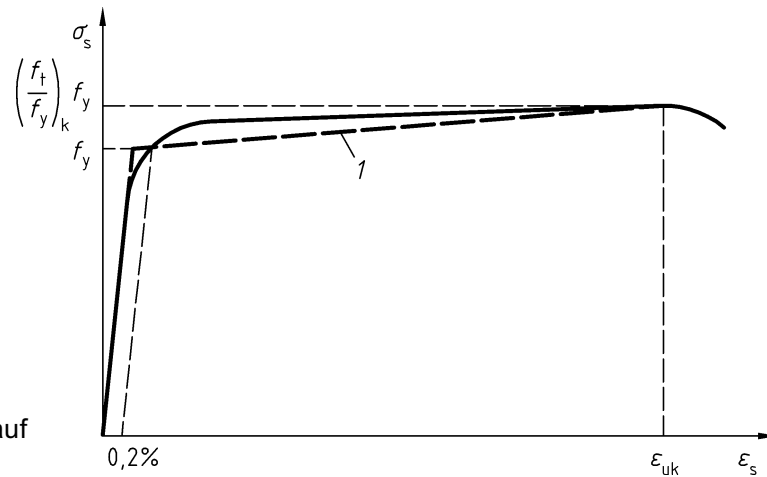
(2) Vereinfachend darf auch ein bilinear idealisierter Verlauf der Spannungs-Dehnungs-Linie (siehe Bild 26) angenommen werden. Dabei darf für  $f_y$  der Rechenwert  $f_{yR}$  nach 8.5.1 angenommen werden.

### 9.2.4 Spannungs-Dehnungs-Linie für die Querschnittsbemessung

(1) Die Bemessung ist auf der Grundlage der Nennquerschnittsfläche und des Nenndurchmessers unter Ansatz der idealisierten Spannungs-Dehnungs-Linie nach Bild 27 durchzuführen.

(2) Vereinfachend darf auch ein horizontaler oberer Ast der Spannungs-Dehnungs-Linie nach Bild 27 angenommen werden.

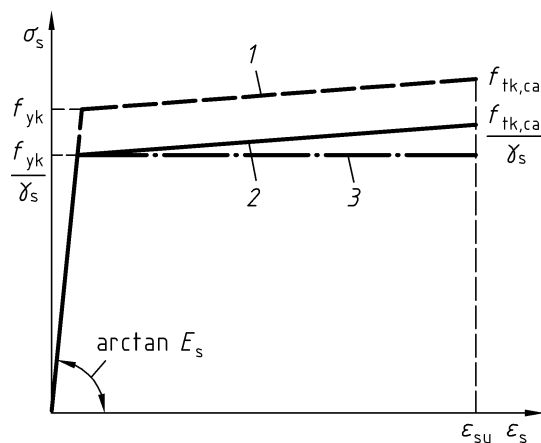
(3) Für die Querschnittsbemessung ist  $f_{tk, cal}$  mit  $525 \text{ N/mm}^2$  anzusetzen und die Stahldehnung  $\epsilon_s$  auf den Wert  $\epsilon_{su} = 0,025$  zu begrenzen.



**Legende**

- 1 idealisierter Verlauf

**Bild 26 — Spannungs-Dehnungs-Linie des Betonstahls für die Schnittgrößenermittlung**



**Legende**

- 1 idealisierter Verlauf  
2 Verlauf für die Bemessung  
3 vereinfachte Annahme für die Bemessung

**Bild 27 — Rechnerische Spannungs-Dehnungs-Linie des Betonstahls für die Bemessung**

(4) Soweit in den Normen der Reihe DIN 488 oder in den allgemeinen bauaufsichtlichen Zulassungen nicht abweichend festgelegt, dürfen für die Bemessung folgende physikalische Eigenschaften des Betonstahls angenommen werden:

- Wärmedehnzahl:  $\alpha = 10 \cdot 10^{-6} \text{ K}^{-1}$
- Elastizitätsmodul:  $E_s = 200\,000 \text{ N/mm}^2$

## 9.3 Spannstahl

### 9.3.1 Allgemeines

- (1) Dieser Abschnitt gilt für Drähte, Litzen und Stäbe, die als Spannstahl in Betontragwerken verwendet werden.
- (2) Die Anforderungen gelten für das Erzeugnis im Lieferzustand.
- (3) Für die Produktgruppen, das Herstellungsverfahren, die Eigenschaften, die Prüfverfahren und das Verfahren zum Übereinstimmungsnachweis gelten die Festlegungen der allgemeinen bauaufsichtlichen Zulassungen.

### 9.3.2 Eigenschaften

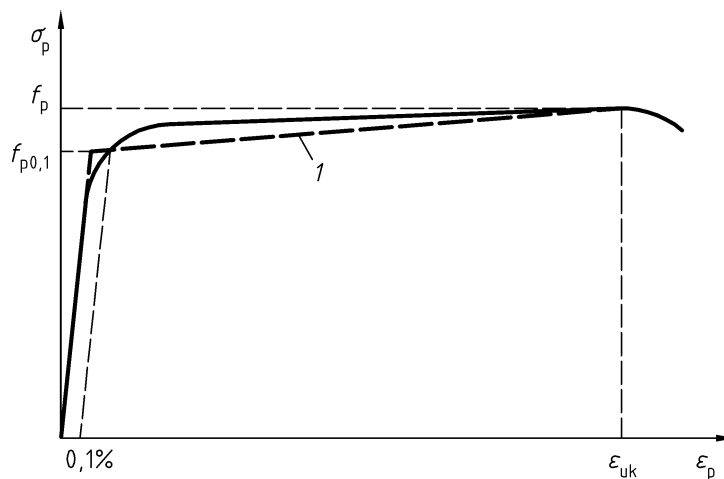
(1) Das Verhalten des Spannstahls ist durch folgende Eigenschaften bestimmt:

- Streckgrenze (0,1%-Dehngrenze)  $f_{p0,1k}$ ;
- Zugfestigkeit  $f_{pk}$ ;
- Duktilität;
- Gesamtdehnung bei Höchstzugkraft  $\varepsilon_{uk}$ ;
- Querschnittstoleranzen;
- Ermüdungsfestigkeit;
- Elastizitätsmodul  $E_p$ ;
- Relaxation;
- Oberflächengestalt (Verbundeigenschaften).

Die 0,1%-Dehngrenze  $f_{p0,1k}$  und die Zugfestigkeit  $f_{pk}$  werden jeweils als charakteristische Werte definiert.

(2) Die Spannstähle müssen die in dieser Norm vorausgesetzten Eigenschaften erfüllen.

(3) Die Toleranzen und Angaben zur Oberflächengestalt der Spannstähle sind den allgemeinen bauaufsichtlichen Zulassungen zu entnehmen.



#### Legende

1 idealisierter Verlauf

**Bild 28 — Spannungs-Dehnungs-Linie des Spannstahls  
für die Schnittgrößenermittlung**

(4) Bei nichtlinearen Verfahren der Schnittgrößenermittlung ist eine wirklichkeitsnahe Spannungs-Dehnungs-Linie nach Bild 28 anzunehmen.

(5) Vereinfachend darf der Verlauf der Spannungs-Dehnungs-Linie bilinear idealisiert angesetzt werden (siehe Bild 28). Hierbei dürfen für  $f_{p0,1}$  und  $f_p$  die Rechenwerte  $f_{p0,1R}$  bzw.  $f_{pR}$  nach 8.5.1 angenommen werden.

(6) Es darf im Allgemeinen angenommen werden, dass Spannglieder im nachträglichem Verbund und Spannglieder ohne Verbund eine hohe Duktilität und Spannglieder im sofortigem Verbund eine normale Duktilität aufweisen.



### 9.3.3 Spannungs-Dehnungs-Linie für die Querschnittsbemessung

(1) Die Bemessung ist auf der Grundlage der Nennquerschnittsfläche des Spannstahls unter Ansatz der rechnerischen Spannungs-Dehnungs-Linie in Bild 29 durchzuführen.

(2) Vereinfachend darf ein horizontaler oberer Ast der Spannungs-Dehnungs-Linie nach Bild 29 angenommen werden.

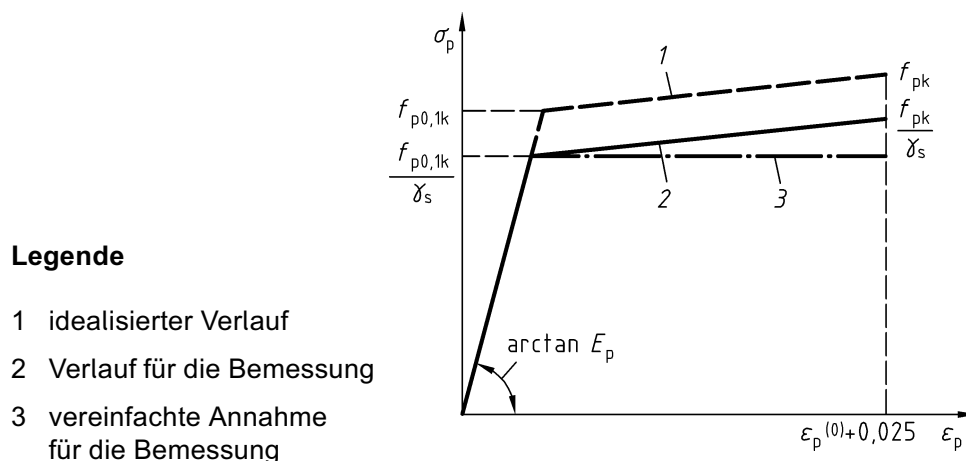
(3) Für die Querschnittsbemessung ist die Stahldehnung  $\varepsilon_p$  auf den Wert  $(\varepsilon_p^{(0)} + 0,025)$  zu begrenzen. Dabei ist  $\varepsilon_p^{(0)}$  die Vordehnung des Spannstahls.

(4) Die Spannungs-Dehnungs-Linie in Bild 29 ist für Temperaturen von  $-20^\circ\text{C}$  bis  $+200^\circ\text{C}$  gültig.

(5) Soweit in den allgemeinen bauaufsichtlichen Zulassungen nicht abweichend festgelegt, dürfen für die Bemessung folgende physikalische Eigenschaften des Spannstahls angenommen werden:

- Wärmedehnzahl:  $\alpha = 10 \cdot 10^{-6} \text{ K}^{-1}$
- Elastizitätsmodul:  $E_s = 195\,000 \text{ N/mm}^2$  (Litzen)  
=  $205\,000 \text{ N/mm}^2$  (Stäbe und Drähte)

Im Temperaturbereich zwischen  $-20^\circ\text{C}$  und  $+200^\circ\text{C}$  dürfen die vorgenannten Werte als charakteristische Werte verwendet werden.



**Bild 29 — Rechnerische Spannungs-Dehnungs-Linie des Spannstahls für die Querschnittsbemessung**

## 10 Nachweise in den Grenzzuständen der Tragfähigkeit

### 10.1 Allgemeines

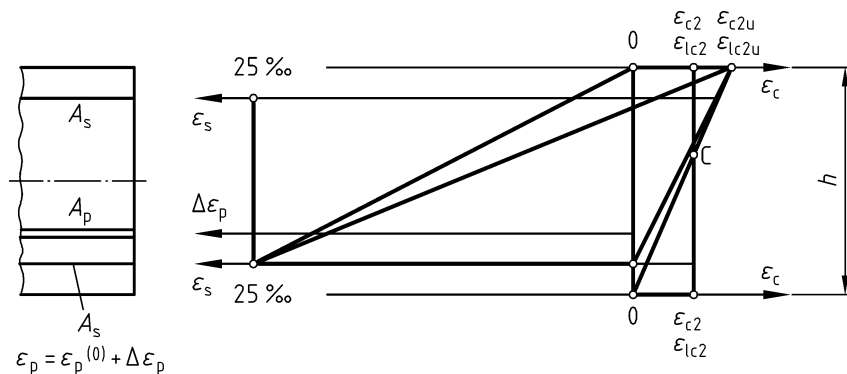
In 10.2 bis 10.4 werden Festlegungen für die ungestörten Bereiche von Balken, Platten und ähnlichen Bauteilen getroffen, in denen ein Ebenbleiben der Querschnitte angenommen werden darf. Die Störbereiche dieser Bauteile sowie wandartige Träger und andere Bauteile mit nicht eben bleibenden Querschnitten dürfen nach 10.6 bemessen und konstruktiv durchgebildet werden.

### 10.2 Biegung mit oder ohne Längskraft und Längskraft allein

(1) Bei der Bestimmung der Grenztragfähigkeit von bewehrten Querschnitten gelten folgende Annahmen:

- Ebenbleiben der Querschnitte,
- starrer Verbund zwischen Beton und im Verbund liegender Bewehrung,
- Nichtberücksichtigung der Zugfestigkeit des Betons,
- Verteilung der Betondruckspannungen entsprechend den rechnerischen Spannungs-Dehnungs-Linien nach 9.1.6,

- Spannungs-Dehnungs-Linien für Betonstahl nach 9.2.4 und für Spannstahl nach 9.3.3,
  - Berücksichtigung der Vordehnung  $\varepsilon_p^{(0)}$  bei der Festlegung der Spannung in den Spanngliedern.
- (2) Bei unbewehrten Querschnitten gelten die folgende Annahmen und Grundsätze:
- Ebenbleiben der Querschnitte.
  - Die Betonzugspannungen dürfen im Allgemeinen nicht angesetzt werden.<sup>9)</sup>
  - Die Betondruckspannungen können wahlweise aus den für die Bemessung maßgebenden Spannungs-Dehnungs-Linien in 9.1.6 abgeleitet werden.
  - Rechnerisch darf keine höhere Festigkeitsklasse des Betons als C35/45 oder LC20/22 ausgenutzt werden.
- (3) Die Dehnungen des Betons sind auf  $\varepsilon_{c2u}$  oder  $\varepsilon_{1c2u}$  nach Tabelle 9 bzw. Tabelle 10 und die Dehnungen des Betonstahls und des Spannstahls auf  $\varepsilon_{su} = +0,025$  bzw.  $(\varepsilon_p^{(0)} + 0,025)$  zu begrenzen (siehe Bild 30).
- (4) Bei vollständig überdrückten Querschnitten darf die Dehnung im Punkt C höchstens  $\varepsilon_{c2}$  oder  $\varepsilon_{1c2}$  nach Tabelle 9 bzw. Tabelle 10 betragen.



**Bild 30 — Mögliche Dehnungsverteilungen im Grenzzustand der Tragfähigkeit (bei im Verbund liegenden Betonstahl und Spannstahl)**

- (5) Bei geringen Ausmitten bis  $e_d/h \leq 0,1$  darf für Normalbeton die günstige Wirkung des Kriechens des Betons vereinfachend durch die Wahl von  $\varepsilon_{c2} = -0,0022$  berücksichtigt werden.
- (6) In vollständig überdrückten Platten von Plattenbalken, Kastenträgern oder ähnlichen gegliederten Querschnitten ist die Dehnung in der Plattenmitte auf  $\varepsilon_{c2}$  oder  $\varepsilon_{1c2}$  nach Tabelle 9 bzw. Tabelle 10 zu begrenzen. Die Tragfähigkeit des Gesamtquerschnitts braucht nicht kleiner angesetzt zu werden als diejenige der Stege mit der Höhe  $h$  und der Dehnungsverteilung nach Bild 30.
- (7) Bei Tragwerken mit exzentrisch geführten internen Spanngliedern ohne Verbund darf der Spannungszuwachs  $\Delta\sigma_p$  in diesen Spanngliedern vereinfacht mit  $100 \text{ N/mm}^2$  angesetzt werden.
- (8) Die Biegezugbewehrung ist unter Beachtung von 10.3.4 (9) zu ermitteln.

## 10.3 Querkraft

### 10.3.1 Nachweisverfahren

- (1) Die Tragfähigkeit für Querkraft wird durch verschiedene Versagensmechanismen begrenzt. Deshalb gelten folgende Bemessungswerte der aufnehmbaren Querkraft:

$V_{Rd,ct}$  Bemessungswert der aufnehmbaren Querkraft eines Bauteils ohne Querkraftbewehrung

<sup>9)</sup> Ausnahmen wie z. B. Fundamente sind mit  $f_{ctk;0,05}/\gamma_c$  (mit  $\gamma_c$  für unbewehrten Beton nach 5.3.3 (8)) zu bemessen (siehe auch 10.3.3 (2)).

- $V_{Rd, sy}$  Bemessungswert der durch die Tragfähigkeit der Querkraftbewehrung begrenzten aufnehmbaren Querkraft
- $V_{Rd, max}$  Bemessungswert der durch die Druckstrebenfestigkeit begrenzten maximal aufnehmbaren Querkraft

(2) Jeder Querschnitt, in dem der Bemessungswert der Querkraft  $V_{Ed} \leq V_{Rd, ct}$  ist, erfordert rechnerisch keine Querkraftbewehrung (siehe 10.3.3). Bei Balken und einachsig gespannten Platten mit  $b/h < 5$  ist jedoch stets eine Mindestquerkraftbewehrung nach 13.2.3 bzw. 13.3.3 erforderlich.

(3) In Querschnitten, in denen  $V_{Ed}$  den Wert  $V_{Rd, ct}$  überschreitet, ist eine Querkraftbewehrung derart vorzusehen, dass  $V_{Ed} \leq V_{Rd, sy}$  ist (siehe 10.3.4) und die Regeln für die erforderliche Mindestquerkraftbewehrung nach 13.2.3 und 13.3.3 eingehalten sind.

(4) Der Bemessungswert der einwirkenden Querkraft darf in keinem Querschnitt des Bauteils den Wert  $V_{Rd, max}$  überschreiten (siehe 10.3.4).

### 10.3.2 Bemessungswert der einwirkenden Querkraft

(1) Bei gleichmäßig verteilter Last und direkter Auflagerung (vgl. 7.3.1 (7)) darf für die Ermittlung der Querkraftbewehrung der Bemessungswert  $V_{Ed}$  aufgrund der direkten Einleitung auflagenaher Lastanteile in das Auflager in einer Entfernung  $d$  vom Auflagerrand ermittelt werden.

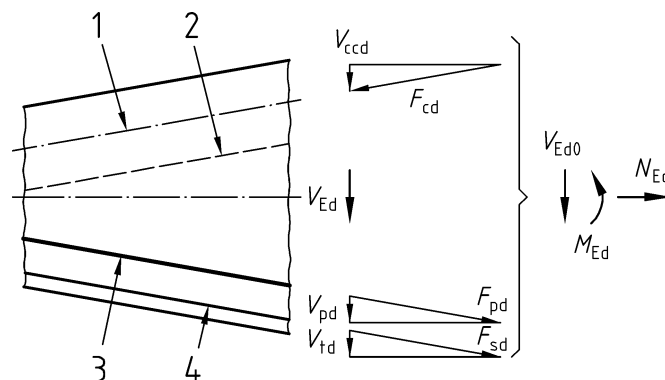
(2) Der Anteil der Querkraft einer im Abstand  $x \leq 2,5d$  vom Auflagerrand wirkenden Einzellast darf bei direkter Auflagerung mit dem Beiwert  $\beta$  abgemindert werden:

$$\beta = \frac{x}{2,5d} \quad (68)$$

(3) Beim Nachweis von  $V_{Rd, max}$  dürfen die Abminderungen nach den Absätzen (1) und (2) nicht vorgenommen werden.

(4) In Bauteilen mit veränderlicher Nutzhöhe oder mit geneigter Spanngliederführung ergibt sich der Bemessungswert der Querkraft  $V_{Sd}$  unter Berücksichtigung der Kraftkomponenten des Druck- und Zuggurtens rechtwinklig zur Bauteilachse aus Gleichung (69) und Bild 31:

$$V_{Ed} = V_{Ed0} - V_{ccd} - V_{td} - V_{pd} \quad (69)$$



#### Legende

- |                                     |                                       |
|-------------------------------------|---------------------------------------|
| 1 Wirkungslinie der Betondruckkraft | 3 Schwerachse der Spannglieder        |
| 2 Nulllinie                         | 4 Schwerachse der Betonstahlbewehrung |

$V_{Ed}$  Bemessungswert der einwirkenden Querkraft

$V_{Ed0}$  Grundbemessungswert der auf den Querschnitt einwirkenden Querkraft

$V_{ccd}$  Bemessungswert der Querkraftkomponente in der Druckzone

$V_{td}$  Bemessungswert der Querkraftkomponente der Betonstahlzugkraft

$V_{pd}$  Querkraftkomponente der Spannstahlkraft im Grenzzustand der Tragfähigkeit (siehe 8.7.5, aber  $P_{mt} \leq A_p \cdot f_{p0,1k}/\gamma_s$ )

**Bild 31 — Querkraftanteile bei veränderlicher Querschnittshöhe**

### 10.3.3 Bauteile ohne rechnerisch erforderliche Querkraftbewehrung

(1) Der Bemessungswert der Querkrafttragfähigkeit  $V_{Rd,ct}$  biegebewehrter Bauteile ohne Querkraftbewehrung ist im Allgemeinen nach Gleichung (70) zu ermitteln.

$$V_{Rd,ct} = \left[ 0,10 \kappa \cdot \eta_1 \cdot (100 \rho_1 \cdot f_{ck})^{1/3} - 0,12 \sigma_{cd} \right] \cdot b_w \cdot d \quad (70)$$

mit

$$\kappa = 1 + \sqrt{\frac{200}{d}} \leq 2,0 \quad (71)$$

Dabei ist

$\eta_1$  = 1,0 für Normalbeton; für Leichtbeton nach Tabelle 10

$\rho_1$  der Längsbewehrungsgrad mit

$$\rho_1 = \frac{A_{sl}}{b_w \cdot d} \leq 0,02$$

$A_{sl}$  die Fläche der Zugbewehrung, die mindestens um das Maß  $d$  über den betrachteten Querschnitt hinaus geführt und dort wirksam verankert wird (siehe Bild 32). Bei Vorspannung mit sofortigem Verbund darf die Spannstahlfläche voll auf  $A_{sl}$  angerechnet werden

$b_w$  die kleinste Querschnittsbreite innerhalb der Zugzone des Querschnitts in mm

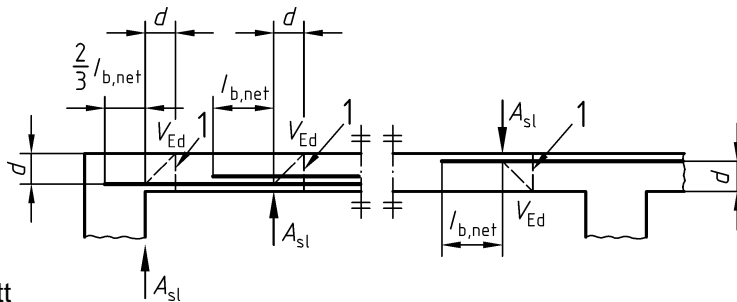
$d$  die statische Nutzhöhe der Biegebewehrung im betrachteten Querschnitt in mm

$f_{ck}$  der charakteristische Werte der Betondruckfestigkeit in  $N/mm^2$

$\sigma_{cd}$  der Bemessungswert der Betonlängsspannung in Höhe des Schwerpunkts des Querschnitts mit

$$\sigma_{cd} = \frac{N_{Ed}}{A_c} \quad \text{in } N/mm^2$$

$N_{Ed}$  der Bemessungswert der Längskraft im Querschnitt infolge äußerer Einwirkungen oder Vorspannung ( $N_{Ed} < 0$  als Längsdruckkraft)



**Legende**

1 betrachteter Schnitt

**Bild 32 — Definition von  $A_{sl}$  für die Ermittlung von  $\rho_1$  in Gleichung (70)**

(2) Wenn nachgewiesen wird, dass die Betonzugspannungen im Grenzzustand der Tragfähigkeit stets kleiner sind als  $f_{ctk;0,05}/\gamma_c$  (mit  $\gamma_c$  für unbewehrten Beton nach 5.3.3 (8)), darf die Querkrafttragfähigkeit in den auflagennahen Bereichen von Stahlbeton- und Spannbetonbauteilen unter vorwiegend ruhenden Beanspruchungen nach Gleichung (72) berechnet werden:

$$V_{Rd,ct} = \frac{I \cdot b_w}{S} \cdot \sqrt{\left( \frac{f_{ctk;0,05}}{\gamma_c} \right)^2 - \alpha_1 \cdot \sigma_{cd} \cdot \frac{f_{ctk;0,05}}{\gamma_c}} \quad (72)$$

Dabei ist

- $I$  das Flächenmoment 2. Grades des Querschnitts
- $S$  das Flächenmoment 1. Grades des Querschnitts bezogen auf dessen Schwerpunkt (Statisches Moment)
- $\alpha_1 = l_x/l_{bpd} \leq 1,0$  bei Vorspannung im sofortigem Verbund  
 $= 1$  in den übrigen Fällen
- $l_x$  der Abstand des betrachteten Querschnitts vom Beginn der Verankerungslänge des Spannglieds nach 8.7.6
- $l_{bpd}$  der obere Bemessungswert der Übertragungslänge des Spanngliedes nach 8.7.6 (6)
- $f_{ctk;0,05}$  der untere Quantilwert der Betonzugfestigkeit nach Tabelle 9 oder Tabelle 10, jedoch  $f_{ctk;0,05} \leq 2,7 \text{ N/mm}^2$
- $\gamma_c$  der Sicherheitsbeiwert für unbewehrten Beton nach 5.3.3 (8)
- $b_w$  die kleinste Querschnittsbreite
- $\sigma_{cd}$  der Bemessungswert der Betonlängsspannung in Höhe des Schwerpunkts des Querschnitts mit
- $$\sigma_{cd} = \frac{N_{Ed}}{A_c} \text{ in N/mm}^2$$

Dieser Nachweis darf für Querschnitte, die näher als  $h/2$  zur Auflagervorderkante liegen, entfallen.

### 10.3.4 Bauteile mit rechnerisch erforderlicher Querkraftbewehrung

(1) Die Querkraftbemessung biegebewehrter Bauteile mit Querkraftbewehrung erfolgt auf der Grundlage eines Fachwerkmodells (siehe Bild 33). Die Neigung  $\theta$  der Druckstreben des Fachwerks ist nach Absatz (3) zu begrenzen.

(2) Beim Nachweis der Querkrafttragfähigkeit darf im Allgemeinen näherungsweise der Wert  $z = 0,9d$  angenommen werden. Dabei wird vorausgesetzt, dass bei Bauteilen mit geneigten Spanngliedern in der vorgedrückten Zugzone Längsbewehrung aus Betonstahl vorhanden ist, die zur Aufnahme der Längszugkräfte infolge Querkraft ausreichend ist, und dass die Bügel nach 12.7 (2) in der Druckzone verankert sind. Es darf für  $z$  aber kein größerer Wert angesetzt werden, als sich aus  $z = d - 2c_{nom}$  (mit  $c_{nom}$  der Längsbewehrung in der Betondruckzone) ergibt.

(3) Die Neigung  $\theta$  der Druckstreben des Fachwerks ist wie folgt zu begrenzen:

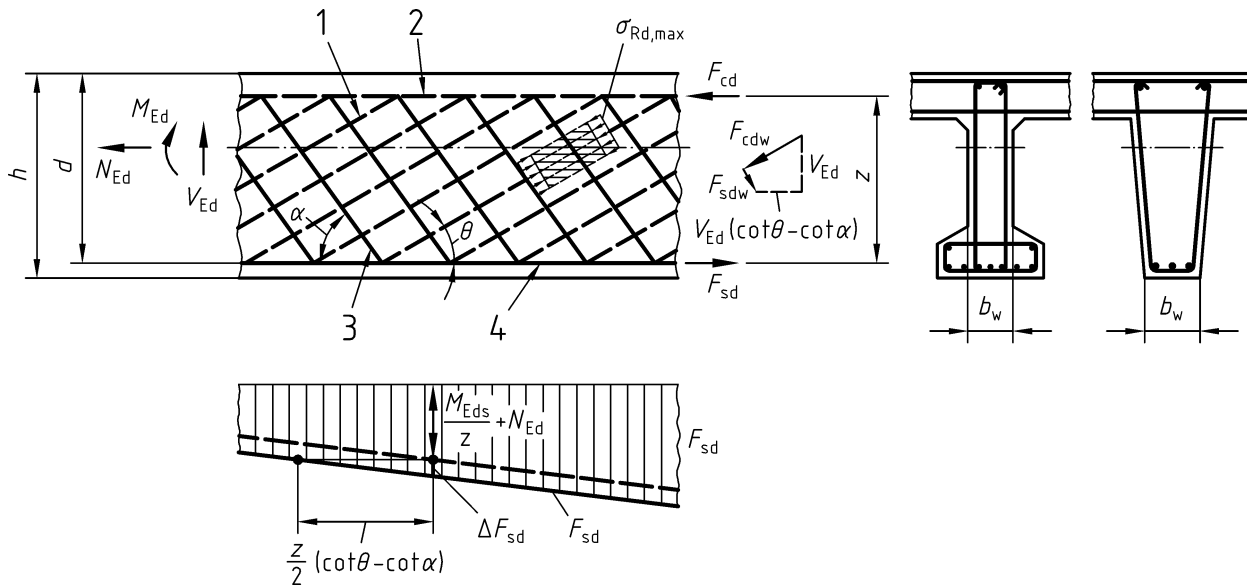
$$0,58 \leq \cot \theta \leq \frac{1,2 - 1,4 \sigma_{cd}/f_{cd}}{1 - V_{Rd,c}/V_{Ed}} \begin{cases} \leq 3,0 & \text{für Normalbeton} \\ \leq 2,0 & \text{für Leichtbeton} \end{cases} \quad (73)$$

mit

$$V_{Rd,c} = \beta_{ct} \cdot 0,10 \cdot \eta_1 \cdot f_{ck}^{1/3} \left( 1 + 1,2 \frac{\sigma_{cd}}{f_{cd}} \right) \cdot b_w \cdot z \quad (74)$$

Dabei ist

- $\beta_{ct} = 2,4$
- $\eta_1 = 1,0$  für Normalbeton; für Leichtbeton nach Tabelle 10
- $\sigma_{cd}$  der Bemessungswert der Betonlängsspannung in Höhe des Schwerpunkts des Querschnitts mit
- $$\sigma_{cd} = \frac{N_{sd}}{A_c} \text{ in N/mm}^2$$
- $N_{Ed}$  der Bemessungswert der Längskraft im Querschnitt infolge äußerer Einwirkungen oder Vorspannung ( $N_{Ed} < 0$  als Längsdruckkraft)



### Legende

- 1 Druckstrebe                    3 Zugstrebe; Querkraftbewehrung  
2 Druckgurt                    4 Zuggurt; Längsbewehrung

$\alpha$       Winkel zwischen Querkraftbewehrung und Bauteilachse

$\theta$       Winkel zwischen den Betondruckstreben und der Bauteilachse

$F_{sd}$       Bemessungswert der Zugkraft in der Längsbewehrung

$F_{cd}$       Bemessungswert der Betondruckkraft in Richtung der Bauteilachse

$b_w$       kleinste Querschnittsbreite

$z$       innerer Hebelarm im betrachteten Bauteilabschnitt

$\Delta F_{sd}$       Zugkraftanteil in der Längsbewehrung infolge Querkraft mit

$$\Delta F_{sd} = 0,5 |V_{Ed}| (\cot \theta - \cot \alpha)$$

**Bild 33 — Fachwerkmodell und Benennungen für querkraftbewehrte Bauteile**

(4) Der Bemessungswert  $V_{Rd, sy}$  ist bei Bauteilen mit Querkraftbewehrung rechtwinklig zur Bauteilachse nach Gleichung (75) zu ermitteln:

$$V_{Rd, sy} = \frac{A_{sw}}{s_w} \cdot f_{yd} \cdot z \cdot \cot \theta \quad (75)$$

Dabei ist

$s_w$       der Abstand der zur Bauteilachse rechtwinkligen Bewehrung in Richtung der Bauteilachse gemessen

(5) Vereinfachend dürfen für  $\cot \theta$  in Gleichung (75) die folgenden Werte angesetzt werden:

- reine Biegung:                     $\cot \theta = 1,2$
- Biegung und Längsdruckkraft:  $\cot \theta = 1,2$
- Biegung und Längszugkraft:  $\cot \theta = 1,0$

(6) Der Bemessungswert der maximalen Querkrafttragfähigkeit  $V_{Rd, max}$  ist bei Bauteilen mit Querkraftbewehrung rechtwinklig zur Bauteilachse nach Gleichung (76) zu ermitteln:

$$V_{Rd, max} = \frac{b_w \cdot z \cdot \alpha_c \cdot f_{cd}}{\cot \theta + \tan \theta} \quad (76)$$

Dabei ist

$\alpha_c$  der Abminderungsbeiwert für die Druckstrebenfestigkeit  
 $\alpha_c = 0,75 \eta_1$  mit  $\eta_1 = 1,0$  für Normalbeton; für Leichtbeton nach Tabelle 10

(7) Bei Bauteilen mit geneigter Querkraftbewehrung sind die Bemessungswerte der Querkrafttragfähigkeit  $V_{Rd, sy}$  und  $V_{Rd, max}$  unter Berücksichtigung des Winkels  $\alpha$  der Querkraftbewehrung zur Bauteilachse nach Gleichungen (77) und (78) zu ermitteln:

$$V_{Rd, sy} = \frac{A_{sw}}{s_w} \cdot f_{yd} \cdot z \cdot (\cot \theta + \cot \alpha) \cdot \sin \alpha \quad (77)$$

$$V_{Rd, max} = b_w \cdot z \cdot \alpha_c \cdot f_{cd} \cdot \frac{\cot \theta + \cot \alpha}{1 + \cot^2 \theta} \quad (78)$$

Dabei ist

$\alpha_c = 0,75 \eta_1$   
mit  $\eta_1 = 1,0$  für Normalbeton; für Leichtbeton nach Tabelle 10

$s_w$  der Abstand der geneigten Querkraftbewehrung in Richtung der Bauteilachse gemessen

(8) Enthält der betrachtete Querschnitt nebeneinander liegende verpresste Spannglieder mit einer Durchmesserensumme  $\Sigma d_h > b_w/8$ , muss der Bemessungswert der Querkrafttragfähigkeit  $V_{Rd, max}$  nach Gleichung (76) oder Gleichung (78) auf der Grundlage des Nennwerts  $b_{w, nom}$  der Querschnittsbreite für die ungünstigste Spanngliedlage berechnet werden:

$$b_{w, nom} = b_w - 0,5 \Sigma d_h \quad \text{bis C50/60 oder LC50/55} \quad (79)$$

$$b_{w, nom} = b_w - 1,0 \Sigma d_h \quad \text{ab C55/67 oder LC55/60} \quad (80)$$

Dabei ist

$d_h$  der äußerer Hüllrohrdurchmesser

Für nebeneinander liegende nicht verpresste Spannglieder oder solche ohne Verbund gilt:

$$b_{w, nom} = b_w - 1,3 \Sigma d_h \quad (81)$$

(9) Der Zugkraftanteil  $\Delta F_{sd}$  in der Längsbewehrung infolge Querkraft, der zusätzlich zu dem aus Biegebeanspruchung auftritt, ist nach Bild 33 zu berücksichtigen. Alternativ darf dieser auch nach 13.2.2 (3) berücksichtigt werden.

### 10.3.5 Schubkräfte zwischen Balkensteg und Gurten

(1) Der Anschluss von Druck- und Zuggurten ist an einem Fachwerkmodell nachzuweisen.

(2) Der Bemessungswert der einwirkenden Längsschubkraft darf ermittelt werden aus:

$$V_{Ed} = \Delta F_d \quad (82)$$

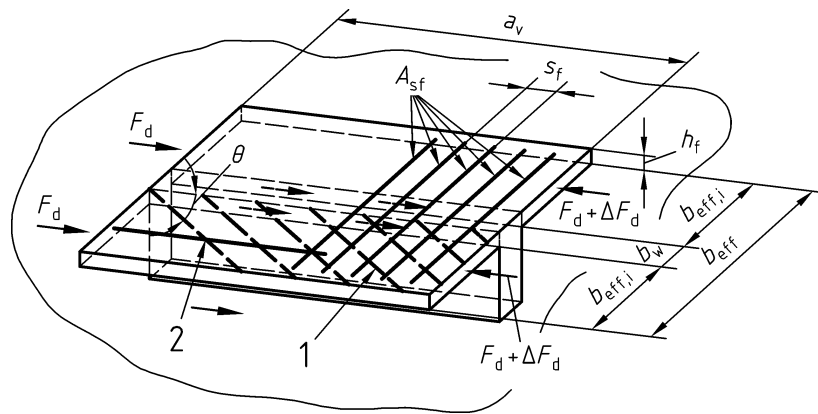
Dabei ist

$\Delta F_d$  die Längskraftdifferenz in einem einseitigen Gurtabschnitt mit der Länge  $a_v$ , in dem die Längsschubkraft als konstant angenommen werden darf (siehe Bild 34)

Für  $a_v$  darf höchstens der halbe Abstand zwischen Momentennullpunkt und Momentenhöchstwert angenommen werden. Bei nennenswerten Einzellasten sollten die jeweiligen Abschnittslängen nicht über die Querkraftsprünge hinausgehen.

(3) Der Nachweis der Querkrafttragfähigkeit darf nach 10.3.4 geführt werden. Dabei ist in den Gleichungen (77) bis (81)  $b_w = h_f$  und  $z = a_v$  zu setzen. Für  $\sigma_{cd}$  darf die mittlere Betonlängsspannung im anzuschließenden Gurtabschnitt mit der Länge  $a_v$  angesetzt werden. Vereinfachend darf in Zuggurten  $\cot \theta = 1,0$  und in Druckgurten  $\cot \theta = 1,2$  gesetzt werden.

(4) Sofern kein genauere Nachweis erfolgt, darf bei kombinierter Beanspruchung durch Schubkräfte zwischen Gurt und Steg und durch Querbiegung der größere erforderliche Stahlquerschnitt je Seite, der



**Bild 34 — Anschluss zwischen Gurten und Steg**

sich entweder nach diesem Abschnitt oder aus der Bemessung für Querbiegung ergibt, angeordnet werden. Dabei sind Biegedruckzone und Biegezugzone getrennt unter Ansatz von jeweils der Hälfte der für die Schubbeanspruchung allein ermittelten Querkraftbewehrung zu betrachten.

### 10.3.6 Schubkraftübertragung in Fugen

(1) Die Übertragung von Schubkräften in den Fugen zwischen nebeneinander liegenden Fertigteilen oder zwischen Ortbeton und einem vorgefertigten Bauteil sowie zwischen nacheinander betonierten Ortbetonabschnitten wird durch die Rauigkeit und Oberflächenbeschaffenheit der Fuge bestimmt. Für den Nachweis der Tragfähigkeit gelten folgende Definitionen:

- sehr glatt: die Oberfläche wurde gegen Stahl oder glatte Holzschalung betoniert,
- glatt: die Oberfläche wurde abgezogen oder im Gleit- bzw. Extruderverfahren hergestellt, oder sie blieb nach dem Verdichten ohne weitere Behandlung,
- rau: die Oberfläche weist eine definierte Rauigkeit auf,<sup>10)</sup>
- verzahnt: wenn die Geometrie der Verzahnung den Angaben in Bild 35 a) entspricht oder das Korngerüst freigelegt wurde.

(2) Der Bemessungswert der in der Kontaktfläche zwischen Ortbeton und Fertigteil oder in nachträglich ergänzten Querschnitten zu übertragenden Schubkraft je Längeneinheit darf nach Gleichung (83) ermittelt werden:

$$v_{Ed} = \frac{F_{cdj}}{F_{cd}} \cdot \frac{V_{Ed}}{z} \quad (83)$$

Dabei ist

$F_{cdj}$  der Bemessungswert des über die Fuge zu übertragenden Längskraftanteils

$F_{cd}$  der Bemessungswert der Gurtlängskraft infolge Biegung im betrachteten Querschnitt mit

$$F_{cd} = \frac{M_{Ed}}{z}$$

(3) Ohne Anordnung einer Verbundbewehrung beträgt der Bemessungswert der aufnehmbaren Schubkraft in Fugen von Verbundbauteilen einschließlich der Fugen zwischen Decken- und Wandelementen:

$$v_{Rd,ct} = \left[ 0,042 \cdot \eta_1 \cdot \beta_{ct} \cdot f_{ck}^{1/3} - \mu \cdot \sigma_{Nd} \right] \cdot b \quad (84)$$

Dabei ist

$\eta_1$  = 1,0 für Normalbeton; für Leichtbeton nach Tabelle 10

$\beta_{ct}$  der Rauigkeitsbeiwert nach Tabelle 13 und Absatz (4)

<sup>10)</sup> Bezüglich der Definition der Oberflächenrauigkeit siehe DAfStb-Heft 525



- $f_{ck}$  der charakteristische Wert der Betondruckfestigkeit des Ortbetons oder des Fertigteils (der kleinere Wert ist maßgebend) in  $N/mm^2$
- $\mu$  der Reibungsbeiwert nach Tabelle 13
- $\sigma_{Nd}$  die Normalspannung senkrecht zur Fuge ( $\sigma_{Nd} < 0$  als Betondruckspannung)
- $$\sigma_{Nd} = \frac{n_{Ed}}{b} \geq -0,6f_{cd} \quad \text{in } N/mm^2$$
- $n_{Ed}$  der untere Bemessungswert der Normalkraft senkrecht zur Fuge je Längeneinheit (siehe Bild 35 a))
- $b$  die Breite der Kontaktfläche (z. B. Breite einer Horizontalfuge)

**Tabelle 13 — Beiwerte  $\beta_{ct}, \mu$**

Zeile	Spalte	1	2
	Oberflächenbeschaffenheit nach 10.3.6. (1)	$\beta_{ct}$	$\mu$
1	verzahnt	2,4	1,0
2	rau	2,0 <sup>a</sup>	0,7
3	glatt	1,4 <sup>a</sup>	0,6
4	sehr glatt	0	0,5

<sup>a</sup> siehe Absatz (4)

(4) In den Fällen, in denen die Fuge infolge Einwirkungen rechtwinklig zur Fuge unter Zug steht, ist bei glatten oder rauen Fugen  $\beta_{ct} = 0$  zu setzen.

(5) In bewehrten Fugen von Verbundbauteilen einschließlich Fugen zwischen Decken- und Wandelementen beträgt der Bemessungswert der aufnehmbaren Schubkraft:

$$v_{Rd, sy} = a_s \cdot f_{yd} \cdot (\cot \theta + \cot \alpha) \cdot \sin \alpha - \mu \cdot \sigma_{Nd} \cdot b \quad (85)$$

Dabei ist

$a_s$  der Querschnitt der die Fuge kreuzenden Bewehrung je Längeneinheit

$\alpha$  der Winkel der die Fuge kreuzenden Bewehrung (siehe Bild 35 a)) mit  $45^\circ \leq \alpha \leq 90^\circ$

Die Neigung der Druckstreben des Fachwerks ist wie folgt zu begrenzen

$$1,0 \leq \cot \theta \leq \frac{1,2\mu - 1,4\sigma_{cd}/f_{cd}}{1 - v_{Rd, ct}/v_{Ed}} \quad \begin{cases} \leq 3,0 \text{ für Normalbeton;} \\ \leq 2,0 \text{ für Leichtbeton} \end{cases} \quad (86)$$

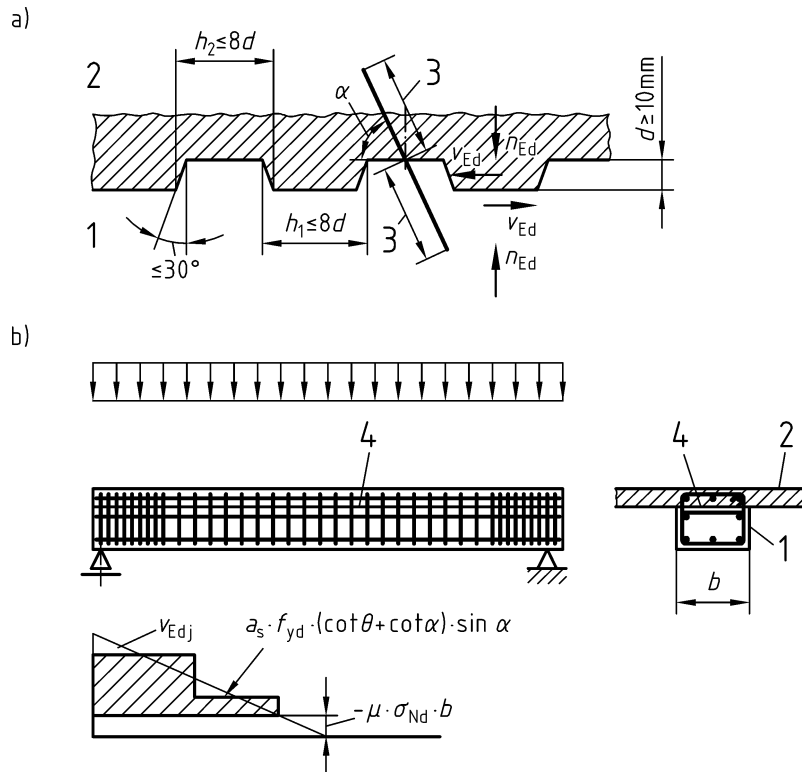
mit  $v_{Rd, ct}$  nach Gleichung (84).

Für  $\sigma_{cd}$  darf der Bemessungswert der Längsspannung im anzuschließenden Querschnittsteil eingesetzt werden  $\sigma_{cd} < 0$  als Betondruckspannung.

(6) Die notwendige Bewehrungsmenge ist nach Gleichung (85) zu ermitteln. Bei biegebeanspruchten Bauteilen darf eine abgestufte Verteilung entsprechend der Schubkraftlinie (siehe Bild 35 b)), bei Bauteilen mit Scheibenbeanspruchung eine konzentrierte Bewehrung an den Enden der Fuge ausgeführt werden. Die Schubbewehrung der Fuge muss auf beiden Seiten der Kontaktfläche nach den Regeln dieser Norm verankert sein.

(7) Bei Scheiben mit Ringanker- und Pfostenbewehrung nach 13.12.3 (4) darf der Nachweis der Fugen unter Ansatz der Beiwerte  $\beta_{ct}$  und  $\mu$  nach Tabelle 13 geführt werden, jedoch sollte für  $v_{Rd}$  bei Platten ohne gezahnte Fugen kein größerer Wert als  $(b \cdot 0,15 N/mm^2)$  angesetzt werden.

(8) Wenn an Fertigteilplatten mit Ortbetonergänzung planmäßig und dauerhaft Lasten angehängt werden, sollte die Verbundsicherung im unmittelbaren Lasteinleitungsbereich nachgewiesen werden.



## Legende

- a) Verzahnung  
b) Schubkraftdeckungsdiagramm zur Verteilung der erforderlichen Fugenbewehrung
- 1 1. Betonabschnitt
  - 2 2. Betonabschnitt
  - 3 Verankerung der Bewehrung
  - 4 Fuge

**Bild 35 — Fugenausbildung**

### 10.3.7 Unbewehrte Bauteile

(1) In unbewehrten Bauteilen darf die Betonzugfestigkeit im Grenzzustand der Tragfähigkeit für Querkraft berücksichtigt werden, sofern nachgewiesen werden kann, dass diese nicht infolge von Rissbildung ausfällt.

(2) Ein unbewehrtes Bauteil darf hierbei als ungerissen angesehen werden, wenn es im Grenzzustand der Tragfähigkeit für alle relevanten Bemessungssituationen vollständig unter Druckbeanspruchung steht oder die Hauptzugspannung im Beton die Größe von  $1,0 \text{ N/mm}^2$  nicht überschreitet.

(3) Kann nicht von einem ungerissenen Bauteil ausgegangen werden, ist der Bemessungswert der Querkrafttragfähigkeit  $V_{Rd}$  am ungerissenen Restquerschnitt zu berechnen. Dieser ist aus dem Spannungszustand des Querschnitts für die ungünstigste Bemessungssituation zu ermitteln.

(4) Die Querkrafttragfähigkeit von unbewehrten Bauteilen mit kombinierter Querkraft-, Biege- und Längskraftbeanspruchung darf unter den in 10.3.3 (2) genannten Voraussetzungen nach Gleichung (72) mit  $\alpha_1 = 1$  ermittelt werden.

## 10.4 Torsion

### 10.4.1 Allgemeines

(1) Wenn das statische Gleichgewicht eines Tragwerks von der Torsionstragfähigkeit seiner einzelnen Bauteile abhängt, ist eine Torsionsbemessung erforderlich, die sowohl den Grenzzustand der Tragfähigkeit als auch den Grenzzustand der Gebrauchstauglichkeit umfasst.

(2) Wenn in statisch unbestimmten Tragwerken Torsion nur aus Einhaltung der Verträglichkeitsbedingungen auftritt, darf auf eine Berücksichtigung der Torsionssteifigkeit bei der Schnittgrößenermittlung verzichtet werden. Dabei ist eine konstruktive Bewehrung in Form von Bügeln und Längsbewehrung vorzusehen, um eine übermäßige Rissbildung zu vermeiden. Die Anforderungen nach 11.2 und 13.2.4 sind im Allgemeinen für diesen Zweck ausreichend.

(3) Die Torsionstragfähigkeit eines Querschnitts kann unter Annahme eines dünnwandigen, geschlossenen Querschnitts nachgewiesen werden, in dem das Gleichgewicht durch einen geschlossenen Schubfluss erfüllt wird. Vollquerschnitte können hierzu durch gleichwertige dünnwandige Querschnitte ersetzt werden (siehe Bild 36 b)). Bei Hohlquerschnitten darf die Ersatzwanddicke die wirkliche Wanddicke nicht überschreiten. Querschnitte von komplexer Form, wie z. B. T-Querschnitte, können in Teilquerschnitte aufgeteilt werden. Die Gesamttorsionstragfähigkeit berechnet sich dann als Summe der Tragfähigkeiten der Einzelelemente.

(4) Die Aufteilung des angreifenden Torsionsmomentes auf die einzelnen Querschnittsteile darf im Allgemeinen im Verhältnis der Steifigkeiten der ungerissenen Teilquerschnitte erfolgen.

(5) Die Bemessung darf für jeden Teilquerschnitt getrennt erfolgen.

(6) Für einen näherungsweise rechteckigen Vollquerschnitt ist außer der Mindestbewehrung nach 13.2.3 (5) keine Querkraft- und Torsionsbewehrung erforderlich, wenn die folgenden Bedingungen eingehalten sind:

$$T_{Ed} \leq \frac{V_{Ed} \cdot b_w}{4,5} \quad (87)$$

$$V_{Ed} \left[ 1 + \frac{4,5 T_{Ed}}{V_{Ed} \cdot \beta_w} \right] \leq V_{Rd, ct} \quad (88)$$

#### 10.4.2 Nachweisverfahren

(1) Die Schubkraft  $V_{Ed, T}$  in einer Wand des Nachweisquerschnittes infolge eines Torsionsmomentes  $T_{Ed}$  ist mit Gleichung (89) zu ermitteln:

$$V_{Ed, T} = \frac{T_{Ed} \cdot z}{2A_k} \quad (89)$$

Dabei ist

$A_k$  die durch die Mittellinien der Wände eingeschlossene Fläche

$z$  die Höhe der Wand, definiert durch den Abstand der Schnittpunkte der Wandmittellinie mit den Mittellinien der angrenzenden Wände

Die Mittellinien der Wände sind durch Achsen der Längsstäbe in den Ecken definiert (siehe Bild 36 b)).

(2) Die Bemessung der Torsionsbewehrung in einer Wand des Nachweisquerschnitts erfolgt auf der Grundlage eines Fachwerkmodells (siehe Bild 36 b)). Die Neigung der Druckstreben  $\theta$  des Fachwerks ist nach 10.3.4 (3) zu begrenzen. Bei kombinierter Beanspruchung aus Torsion und anteiliger Querkraft ist in Gleichung (73) für  $V_{Ed}$  die Schubkraft der Wand  $V_{Ed, T+V}$  nach Gleichung (90) und in Gleichung (74) für  $b_w$  die effektive Dicke der Wand  $t_{eff}$  einzusetzen. Mit dem gewählten Winkel  $\theta$  ist der Nachweis sowohl für Querkraft als auch für Torsion zu führen. Die so ermittelten Bewehrungen sind zu addieren.

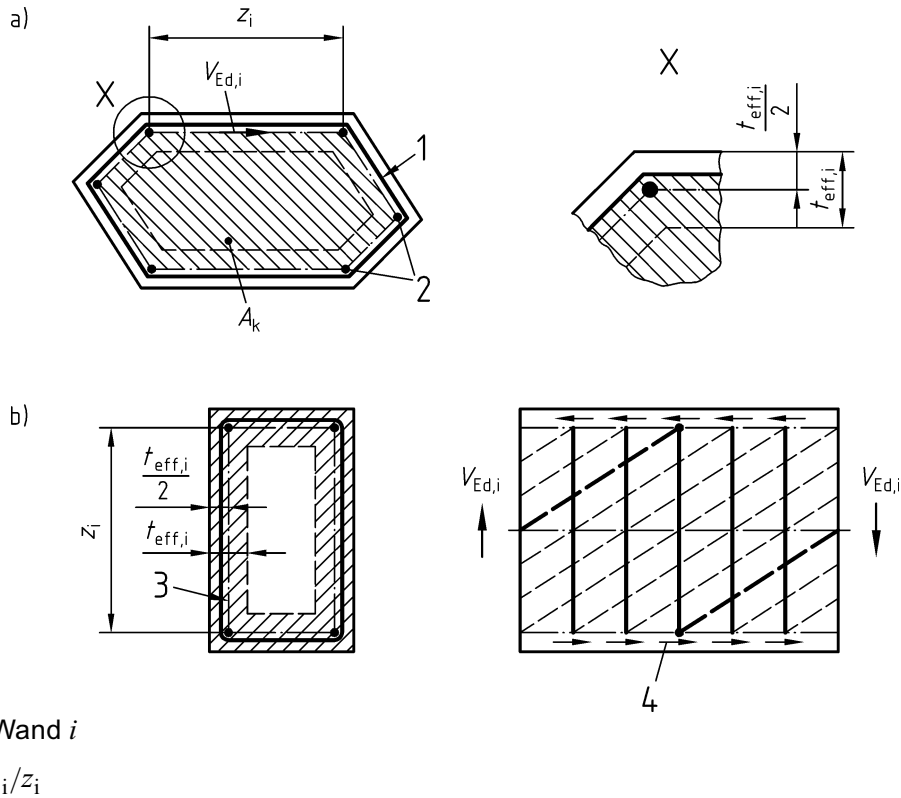
$$V_{Ed, T+V} = V_{Ed, T} + \frac{V_{Ed} \cdot t_{eff}}{b_w} \quad (90)$$

Dabei ist

$V_{Ed}$  der Bemessungswert der einwirkenden Querkraft nach 10.3.2

$t_{eff}$  die effektive Dicke einer Wand;  $t_{eff}$  ist gleich dem doppelten Abstand von der Mittellinie zur Außenfläche, aber nicht größer als die vorhandene Wanddicke (siehe Bild 36).

Vereinfachend darf die Bewehrung für Torsion allein unter der Annahme von  $\theta = 45^\circ$  ermittelt und zu der nach 10.3.4 ermittelten Querkraftbewehrung addiert werden.



**Legende**

- 1 Bügel
- 2 Längsstäbe
- 3 Mittellinie der Wand  $i$
- 4 Schubfluß  $V_{Ed,i}/z_i$

- a) Benennungen bei der Torsion
- b) Definition des Ersatzhohlkastens und Fachwerkmodell einer Ersatzwand

**Bild 36 — Benennungen und Modellbildung bei Torsion**

(3) Der Bemessungswert  $T_{Rd, sy}$  des aufnehmbaren Torsionsmoments des Querschnitts oder eines jeden Teilquerschnitts ist nach den Gleichungen (91) und (92) zu ermitteln; der kleinste Wert der Wände  $i$  des Nachweisquerschnitts ist maßgebend:

$$T_{Rd, sy} = \frac{A_{sw}}{s_w} \cdot f_{yd} \cdot 2 A_k \cdot \cot \theta \quad (91)$$

bzw.

$$T_{Rd, sy} = \frac{A_{sl}}{u_k} \cdot f_{yd} \cdot 2 A_k \cdot \tan \theta \quad (92)$$

Dabei ist

- $A_{sw}$  die Querschnittsfläche der Torsionsbewehrung rechtwinklig zur Bauteilachse
- $s_w$  der Abstand der Torsionsbewehrung in Richtung der Bauteilachse gemessen
- $A_{sl}$  die Querschnittsfläche der Torsionslängsbewehrung
- $u_k$  der Umfang der Fläche  $A_k$

In Druckgurten darf die Torsionslängsbewehrung entsprechend den vorhandenen Druckkräften abgemindert werden. In Zuggurten ist sie zur übrigen Längsbewehrung zu addieren.

(4) Der Bemessungswert des maximal aufnehmbaren Torsionsmoments des Querschnitts oder eines jeden Teilquerschnitts bei Torsion allein ist mit Gleichung (93) zu ermitteln; der kleinste Wert der Wände  $i$  des Nachweisquerschnitts ist maßgebend:

$$T_{Rd, max} = \frac{\alpha_{c, red} \cdot f_{cd} \cdot 2 A_k \cdot t_{eff}}{\cot \theta + \tan \theta} \quad (93)$$

mit

$\alpha_{c, \text{red}} = 0,7 \alpha_c$  allgemein (mit  $\alpha_c$  nach 10.3.4 (6))

$\alpha_{c, \text{red}} = \alpha_c$  bei Kastenquerschnitten mit Bewehrung an den Innen- und Außenseiten der Wände

(5) Die maximale Tragfähigkeit wird durch die Druckstreben­tragfähigkeit begrenzt, diese kann bei kombinierter Beanspruchung aus Querkraft und Torsion als gegeben angesehen werden, wenn für den Querschnitt oder jeden Teilquerschnitt die folgenden Bedingungen erfüllt sind:

– für Kompaktquerschnitte:

$$\left[ \frac{T_{\text{Ed}}}{T_{\text{Rd, max}}} \right]^2 + \left[ \frac{V_{\text{Ed}}}{V_{\text{Rd, max}}} \right]^2 \leq 1 \quad (94)$$

– für Kastenquerschnitte:

$$\frac{T_{\text{Ed}}}{T_{\text{Rd, max}}} + \frac{V_{\text{Ed}}}{V_{\text{Rd, max}}} \leq 1 \quad (95)$$

Dabei ist

$V_{\text{Rd, max}}$  der Bemessungswert der aufnehmbaren Querkraft nach 10.3.4

### 10.4.3 Wölbkrafttorsion

(1) Spannungen aus behinderter Querschnittsverwölbung dürfen im Allgemeinen im Grenzzustand der Tragfähigkeit vernachlässigt werden.

(2) Bei geschlossenen dünnwandigen Querschnitten und bei Vollquerschnitten dürfen Wölb­spannungen im Allgemeinen generell vernachlässigt werden.

### 10.4.4 Unbewehrte Bauteile

(1) Für Torsion und kombinierte Beanspruchung aus Torsion und Querkraft gilt 10.3.7 analog.

(2) Bei einem gerissenen Bauteil darf nicht ohne weiteres vorausgesetzt werden, dass es Torsionsmomente aufnimmt, sofern nicht eine ausreichende Tragfähigkeit hierfür nachgewiesen werden kann.

## 10.5 Durchstanzen

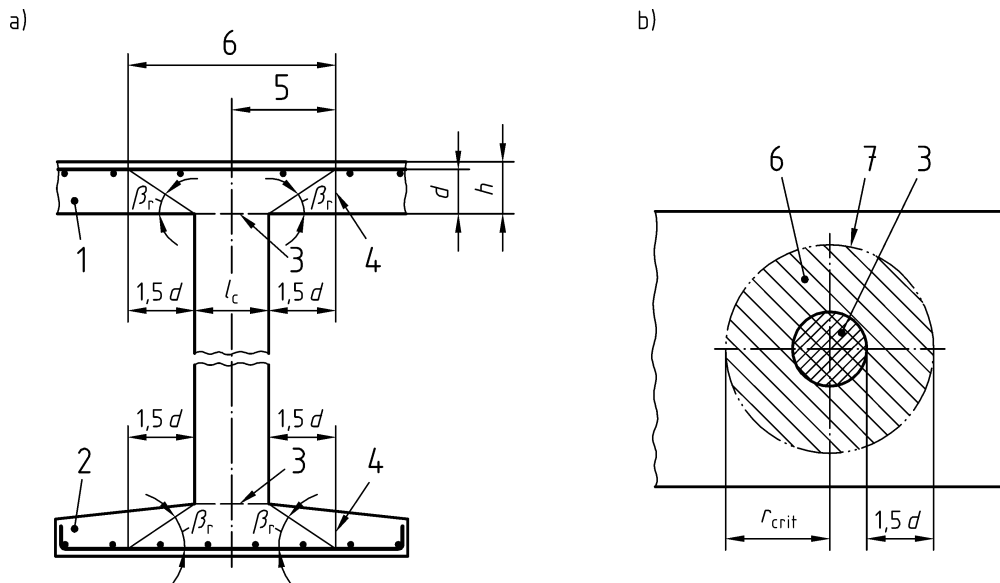
### 10.5.1 Allgemeines

(1) Die Grundsätze und Regeln dieses Abschnitts ergänzen die Regeln in 10.3. Sie betreffen das Durchstanzen von Platten mit Biegebewehrung nach 10.2; sie gelten auch für das Durchstanzen von Fundamenten und von Rippendecken mit einem Vollquerschnitt im Bereich der Lasteinleitungsfläche, sofern der Vollquerschnitt mindestens um das Maß  $1,5d$  über den kritischen Rundschnitt hinausreicht.

(2) Durchstanzen kann aus konzentrierten Lasten oder Auflagerreaktionen herrühren, die auf einer relativ kleinen Fläche wirken. Letztere wird als Lasteinleitungsfläche  $A_{\text{load}}$  bezeichnet.

(3) Ein geeignetes Bemessungsmodell für den Nachweis gegen Durchstanzen im Grenzzustand der Tragfähigkeit ist in Bild 37 angegeben. Die kritische Fläche  $A_{\text{crit}}$  ist dabei parallel zur Lasteinleitungsfläche  $A_{\text{load}}$  anzunehmen.

(4) Der Nachweis der Tragfähigkeit ist längs festgelegter Nachweisschnitte zu führen. Außerhalb des Bereichs der Nachweisschnitte muss das Bauteil die Anforderungen nach 10.3 erfüllen.



**Legende**

- a) Querschnitt  
b) Plattendraufsicht  
 $\beta_r = 33,7^\circ$

- |                                    |                               |   |
|------------------------------------|-------------------------------|---|
| 1 Platte                           | 4 kritischer Rundschnitt      | 7 Umfang des kritischen Rundschnitts $u_{crit}$ |
| 2 Fundamentplatte                  | 5 kritischer Radius           |   |
| 3 Lasteinleitungsfläche $A_{load}$ | 6 kritische Fläche $A_{crit}$ |   |

**Bild 37 — Bemessungsmodell für den Nachweis der Sicherheit gegen Durchstanzen**

**10.5.2 Lasteinleitung und Nachweisschnitte**

(1) Die Festlegungen dieses Abschnitts sind auf die folgenden Arten von Lasteinleitungsflächen  $A_{load}$  anwendbar:

- kreisförmige Flächen mit einem Durchmesser bis  $3,5d$  ( $d$  ist dabei die mittlere statische Nutzhöhe des nachzuweisenden Bauteils),
- rechteckige Flächen mit einem Umfang nicht größer als  $11d$  und einem Verhältnis von Länge  $a$  zu Breite  $b$  der Fläche von maximal 2,0,
- Flächen mit beliebiger Form, die sinngemäß wie die oben erwähnten Formen begrenzt sind.

Die Rundschnitte benachbarter Lasteinleitungsflächen nach den Absätzen (3) und (5) dürfen sich dabei nicht überschneiden.

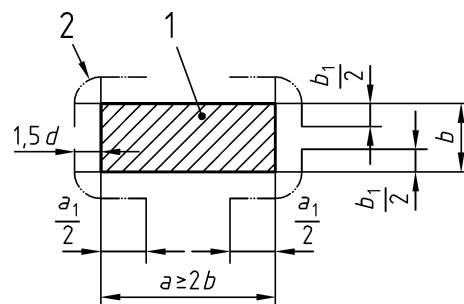
(2) Wenn die Bedingungen nach Absatz (1) bei Auflagerung auf Wänden oder Stützen nicht erfüllt werden, weil sich in diesem Fall die Querkräfte auf die Ecken der Auflagerflächen konzentrieren, sind Rundschnitte nach Bild 38 anzusetzen, sofern kein genauerer Nachweis geführt wird.

**Legende**

- 1 Lasteinleitungsfläche  $A_{load}$   
2 maßgebende Abschnitte des kritischen Rundschnitts

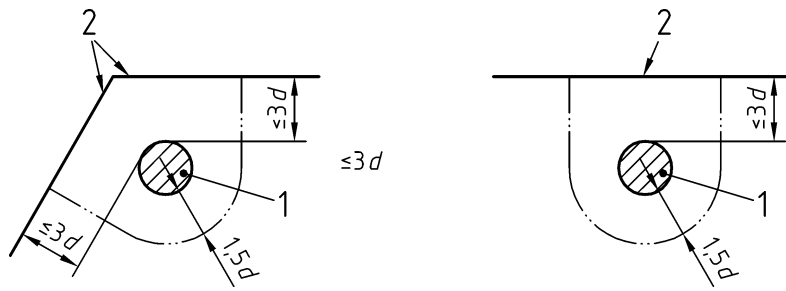
$$a_1 \leq \begin{cases} a \\ 2b \\ 5,6d - b_1 \end{cases}$$

$$b_1 \leq \begin{cases} b \\ 2,8d \end{cases}$$



**Bild 38 — Maßgebende Abschnitte für den kritischen Rundschnitt bei ausgedehnten Auflagerflächen**





**Legende**

- 1 Lasteinleitungsfläche  $A_{load}$
- 2 freier Rand

**Bild 41 — Kritischer Rundschnitt nahe freien Rändern**

(9) Bei Lasteinleitungsflächen, die sich nahe oder an einem freien Rand oder einer Ecke befinden, d. h. mit einem Randabstand kleiner als  $d$ , ist stets eine besondere Randbewehrung nach 13.3.2 (10) mit einem Abstand der Steckbügel  $s_w \leq 100$  mm längs des freien Randes erforderlich.

(10) Bei Stützen mit schräger Stützenkopfverstärkung mit  $l_H \leq 1,5 h_H$  (siehe Bild 42) ist nur im kritischen Rundschnitt außerhalb der Stützenkopfverstärkung ein Nachweis erforderlich. Der Abstand  $r_{crit}$  dieses Schnittes vom Schwerpunkt der Lasteinleitungsfläche darf nach Gleichung (96) ermittelt werden:

$$r_{crit} = 1,5d + l_H + 0,5l_c \quad (96)$$

Dabei ist

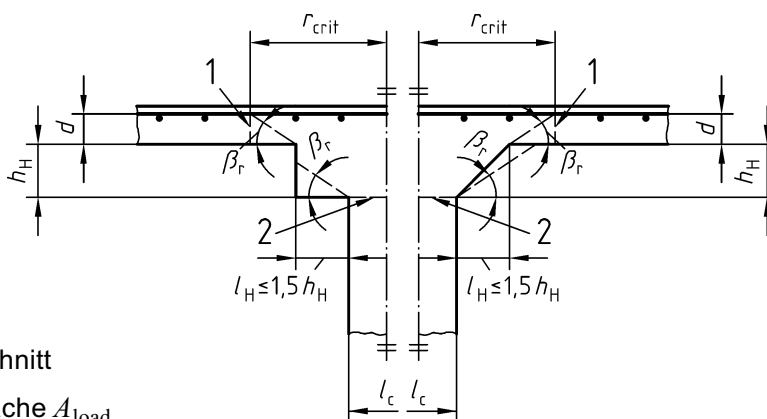
$l_H$  der Abstand des Stützenrands vom Rand der Stützenkopfverstärkung

$l_c$  der Durchmesser einer Lasteinzugsfläche mit Kreisquerschnitt

Bei Rechteckstützen mit einer rechteckigen Stützenkopfverstärkung mit  $l_H \leq 1,5d$  (siehe Bild 42) und den Gesamtabmessungen  $b_c$  und  $h_c$  im Grundriss (mit  $b_c \leq h_c$ ) ist  $r_{crit}$  als der jeweils kleinere der folgenden Werte anzunehmen:

$$r_{crit} = \begin{cases} 1,5d + 0,56 \sqrt{b_c \cdot h_c} \\ 1,5d + 0,64 b_c \end{cases} \quad (97)$$

Bei Stützen mit abgestufter Stützenkopfverstärkung mit  $l_H \leq 1,5 h_H$  ist die gesamte Fläche der Stützenkopfverstärkung als Lasteinleitungsfläche anzunehmen.



**Legende**

- 1 kritischer Rundschnitt
- 2 Lasteinleitungsfläche  $A_{load}$

**Bild 42 — Platte mit einer Stützenkopfverstärkung mit  $l_H \leq 1,5 h_H$**



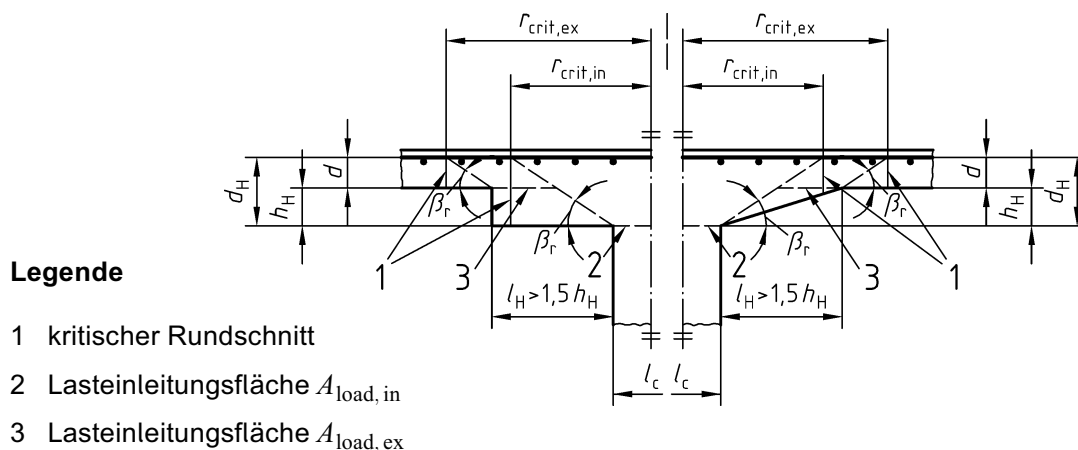
(11) Bei Platten mit einer Stützenkopfverstärkung mit  $l_H > 1,5 h_H$  (siehe Bild 43) sind neben dem kritischen Rundschnitt außerhalb der Stützenkopfverstärkung auch kritische Rundschnitte im Bereich der Stützenkopfverstärkung nachzuweisen.

(12) Die Abstände vom Mittelpunkt der Lasteinleitungsfläche zu den kritischen Rundschnitten nach Bild 43 dürfen wie folgt angenommen werden:

$$r_{\text{crit, ex}} = 1,5 d + l_H + 0,5 l_c \quad (98)$$

$$r_{\text{crit, in}} = 1,5 (d + h_H) + 0,5 l_c \quad (99)$$

(13) Die Festlegungen in 10.5.3 sind auch für Nachweise innerhalb der Stützenkopfverstärkung anwendbar, wobei  $d$  mit  $d_H$  nach Bild 43 anzunehmen ist.



**Bild 43 — Platte mit Stützenkopfverstärkung mit  $l_H > 1,5 h_H$**

### 10.5.3 Nachweisverfahren

(1) Das Bemessungsverfahren für Durchstanzen basiert auf einem räumlichen Fachwerkmodell. Dieses Fachwerkmodell wird durch die folgenden Bemessungswerte der Querkrafttragfähigkeit je Längeneinheit beschrieben, wobei die Nachweisschnitte nach Bild 45 affin zum kritischen Rundschnitt verlaufen:

$V_{\text{Rd, ct}}$  Bemessungswert der Querkrafttragfähigkeit längs des kritischen Rundschnitts einer Platte ohne Durchstanzbewehrung.

$V_{\text{Rd, ct, a}}$  Bemessungswert der Querkrafttragfähigkeit längs des äußeren Rundschnitts außerhalb des durchstanzbewehrten Bereichs. Dieser Bemessungswert beschreibt den Übergang vom Durchstanzwiderstand ohne Querkraftbewehrung  $V_{\text{Rd, ct}}$  zum Querkraftwiderstand nach 10.3.3 in Abhängigkeit von der Breite  $l_w$  des durchstanzbewehrten Bereiches (siehe Bild 45).

$V_{\text{Rd, sy}}$  Bemessungswert der Querkrafttragfähigkeit mit Durchstanzbewehrung längs innerer Nachweisschnitte.

$V_{\text{Rd, max}}$  Bemessungswert der maximalen Querkrafttragfähigkeit längs des kritischen Rundschnitts.

(2) Die aufzunehmende Querkraft im betrachteten Nachweisschnitt je Längeneinheit beträgt:

$$V_{\text{Ed}} = \frac{\beta \cdot V_{\text{Ed}}}{u} \quad (100)$$

Dabei ist

$V_{\text{Ed}}$  der Bemessungswert der gesamten aufzunehmenden Querkraft

$u$  der Umfang des betrachteten Rundschnitts nach Bild 45

$\beta$  der Beiwert zur Berücksichtigung der nichtrotationssymmetrischen Querkraftverteilung im Rundschnitt bei Rand- und Eckstützen sowie bei Innenstützen in unregelmäßigen Systemen. Für unver-schiebliche Systeme dürfen die Werte nach Bild 44 angenommen werden, sofern kein genauere Nachweis geführt wird. Für verschiebliche Systeme sind im Allgemeinen genauere Untersuchungen erforderlich

(3) Ein Reduzieren der einwirkenden Querkraft aus auflagnahen Einzellasten nach 10.3.2 ist nicht zulässig.

(4) Bei Fundamentplatten darf die Querkraft  $V_{Ed}$  um die günstige Wirkung der Bodenpressung in der kritischen Fläche abgemindert werden. Dabei dürfen für die Ermittlung der resultierenden Bodenreaktionskraft jedoch höchstens 50% der kritischen Fläche  $A_{crit}$  nach 10.5.2 (4) in Ansatz gebracht werden.

(5) Die Querkraftkomponente  $V_{pd}$  der Spanngliedkraft von geneigten Spanngliedern, die parallel zu  $V_{Ed}$  wirkt und innerhalb der betrachteten Rundschnitte liegt, darf nach 10.3.2 berücksichtigt werden.

(6) Bei Platten ohne Durchstanzbewehrung ist nachzuweisen, dass längs des kritischen Rundschnitts nach 10.5.2 gilt:

$$V_{Ed} \leq V_{Rd,ct} \quad (101)$$

(7) Bei Platten mit Durchstanzbewehrung sind folgende Nachweise zu führen:

a) Die aufzunehmende Querkraft  $v_{Ed}$  nach Gleichung (100) längs des kritischen Rundschnitts darf den Bemessungswert der maximalen Querkrafttragfähigkeit nicht überschreiten:

$$V_{Ed} \leq V_{Rd,max} \quad (102)$$

b) In jedem inneren Rundschnitt nach Bild 45 ist nachzuweisen:

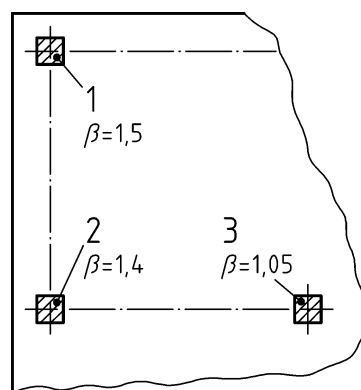
$$V_{Ed} \leq V_{Rd,sy} \quad (103)$$

c) Zur Vermeidung eines Versagens außerhalb des durchstanzbewehrten Bereiches ist längs des äußeren Rundschnitts nachzuweisen:

$$V_{Ed} \leq V_{Rd,ct,a} \quad (104)$$

#### Legende

- 1 Eckstütze
- 2 Randstütze
- 3 Innenstütze



**Bild 44 — Näherungswerte für den Beiwert  $\beta$**

### 10.5.4 Platten oder Fundamente ohne Durchstanzbewehrung

Die Querkrafttragfähigkeit  $v_{Rd,ct}$  längs des kritischen Rundschnitts nach 10.5.2 ist nach Gleichung (105) zu ermitteln:

$$v_{Rd,ct} = \left[ 0,14 \eta_1 \kappa \cdot (100 \cdot \rho_l \cdot f_{ck})^{1/3} - 0,12 \sigma_{cd} \right] \cdot d \quad (105)$$

mit

$$\kappa = 1 + \sqrt{\frac{200}{d}} \leq 2,0 \quad (106)$$

Dabei ist

$\eta_1$  = 1,0 für Normalbeton; für Leichtbeton nach Tabelle 10

$d$  die mittlere Nutzhöhe in mm

$$d = (d_x + d_y) / 2$$

$d_x, d_y$  die Nutzhöhe der Platte in  $x$ - bzw.  $y$ -Richtung im betrachteten Rundschnitt

$\rho_l$  der mittlere Längsbewehrungsgrad innerhalb des betrachteten Rundschnitts mit

$$\rho_l = \sqrt{\rho_{lx} \cdot \rho_{ly}} \begin{cases} \leq 0,40 f_{cd} / f_{yd} \\ \leq 0,02 \end{cases}$$

$\rho_{lx}, \rho_{ly}$  der Bewehrungsgrad, bezogen jeweils auf die Zugbewehrung in  $x$ - bzw.  $y$ -Richtung, die innerhalb des betrachteten Rundschnitts im Verbund liegt und außerhalb des betrachteten Rundschnittes verankert ist. Bei Eck- und Randstützen siehe 10.5.2 (9).

$\sigma_{cd}$  der Bemessungswert der Betonnormalspannung innerhalb des betrachteten Rundschnitts mit

$$\sigma_{cd} = \frac{\sigma_{cd,x} + \sigma_{cd,y}}{2} \quad \text{in N/mm}^2$$

$$\sigma_{cd,x} = \frac{N_{Ed,x}}{A_{c,x}} \quad \text{und} \quad \sigma_{cd,y} = \frac{N_{Ed,y}}{A_{c,y}}$$

$\sigma_{cd,x}, \sigma_{cd,y}$  die Bemessungswerte der Betonnormalspannung innerhalb des betrachteten Rundschnitts in  $x$ - bzw.  $y$ -Richtung

$N_{Ed,x}, N_{Ed,y}$  die Bemessungswerte der mittleren Längskräfte in den Querschnitten  $A_{c,x}$  und  $A_{c,y}$  durch den kritischen Rundschnitt infolge Vorspannung oder sonstige Einwirkungen ( $N_{Ed} < 0$  als Längsdruckkraft)

### 10.5.5 Platten oder Fundamente mit Durchstanzbewehrung

(1) Die maximale Querkrafttragfähigkeit  $v_{Rd,max}$  für Platten mit Durchstanzbewehrung im kritischen Rundschnitt ist mit Gleichung (107) zu ermitteln:

$$v_{Rd,max} = 1,5 v_{Rd,ct} \quad (107)$$

(2) Bei Durchstanzbewehrung rechtwinklig zur Plattenebene ist die erforderliche Bewehrung für die jeweils betrachtete Bewehrungsreihe nach Bild 45 aus Gleichung (108) und Gleichung (109) zu ermitteln und auf dem betrachteten Umfang gleichmäßig verteilt anzuordnen (siehe 13.3.3):

a) für die erste Bewehrungsreihe im Abstand  $0,5 d$  vom Stützenrand gilt:

$$v_{Rd,sy} = v_{Rd,c} + \frac{\kappa_s \cdot A_{sw} \cdot f_{yd}}{u} \quad (108)$$

b) für die weiteren Bewehrungsreihen im Abstand  $s_w \leq 0,75 d$  untereinander gilt:

$$V_{Rd, sy} = V_{Rd, c} + \frac{\kappa_s \cdot A_{sw} \cdot f_{yd} \cdot d}{u \cdot s_w} \quad (109)$$

Dabei ist

$V_{Rd, c}$  der Betontraganteil; es darf  $V_{Rd, c} = V_{Rd, ct}$  nach Gleichung (105) angenommen werden

$\kappa_s \cdot A_{sw} \cdot f_{yd}$  die Bemessungskraft der Durchstanzbewehrung in Richtung der aufzunehmenden Querkraft für jede Reihe der Bewehrung

$u$  der Umfang des Nachweisschnittes

$s_w$  die wirksame Breite einer Bewehrungsreihe nach Bild 45, mit:  $s_w \leq 0,75 d$

$\kappa_s$  der Beiwert zur Berücksichtigung des Einflusses der Bauteilhöhe auf die Wirksamkeit der Bewehrung mit

$$\kappa_s = 0,7 + 0,3 \frac{d - 400}{400} \begin{cases} \geq 0,7 \\ \leq 1,0 \end{cases} \quad \text{mit } d \text{ in mm} \quad (110)$$

(3) Werden Schrägstäbe als Durchstanzbewehrung eingesetzt, müssen diese eine Neigung von  $45^\circ \leq \alpha \leq 60^\circ$  gegen die Plattenebene aufweisen. Werden ausschließlich Schrägstäbe eingesetzt, so dürfen diese nur im Bereich von  $1,5 d$  (mit der statischen Nutzhöhe  $d$  der Platte oder des Fundaments) um die Stütze angeordnet werden (siehe Bild 72).

Die erforderliche Bewehrung ist in einem Schnitt im Abstand  $0,5 d$  vom Stützenrand nach Gleichung (111) nachzuweisen.

$$V_{Rd, sy} = V_{Rd, c} + \frac{1,3 A_s \cdot \sin \alpha \cdot f_{yd}}{u} \quad (111)$$

Dabei ist

$1,3 A_s \cdot \sin \alpha \cdot f_{yd}$  die Bemessungskraft der Durchstanzbewehrung in Richtung der aufzunehmenden Querkraft

$\alpha$  der Winkel der geneigten Durchstanzbewehrung gegen die Plattenebene (siehe Bild 45)

(4) Der äußere Rundschnitt liegt im Abstand  $1,5 d$  von der letzten Bewehrungsreihe (siehe Bild 45). Die Querkrafttragfähigkeit längs des äußeren Rundschnitts ist wie folgt zu ermitteln:

$$V_{Rd, ct, a} = \kappa_a \cdot V_{Rd, ct} \quad (112)$$

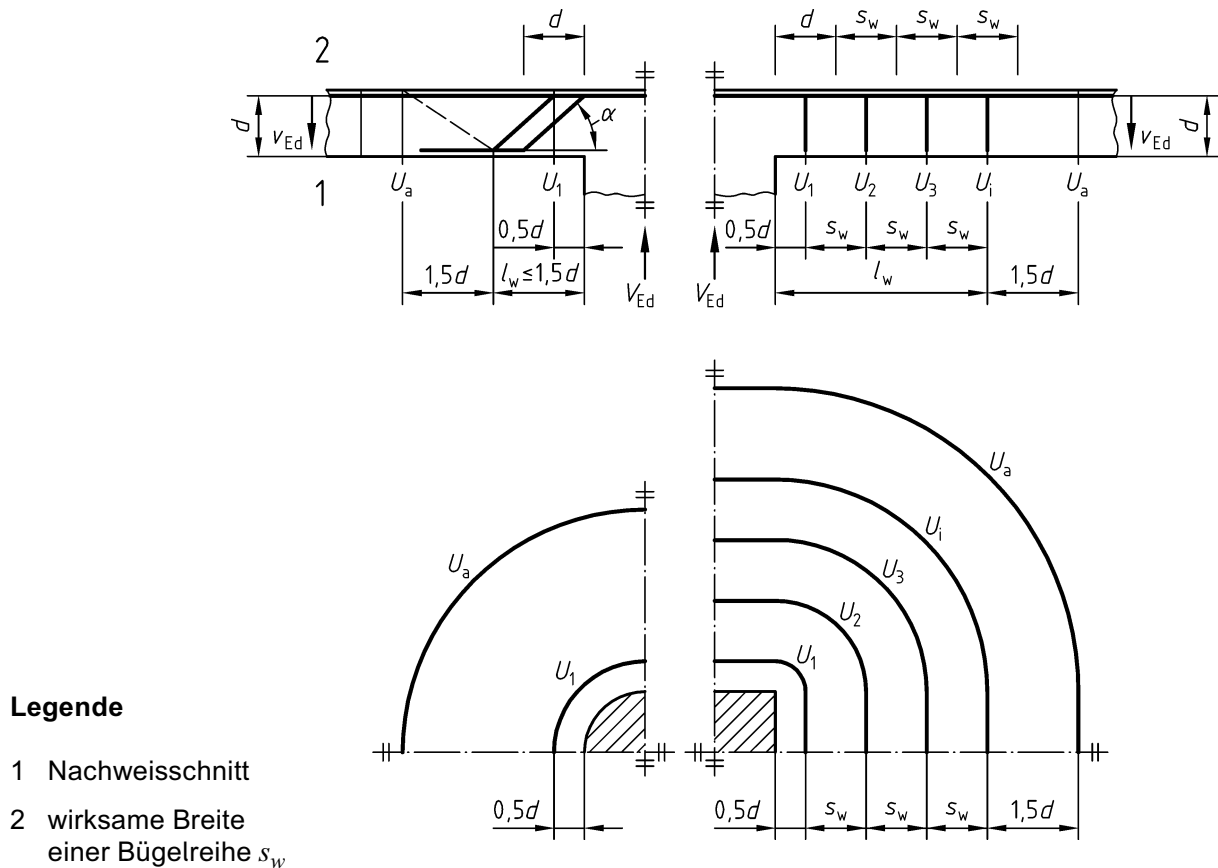
Dabei ist

$V_{Rd, ct}$  die Tragfähigkeit ohne Durchstanzbewehrung nach Gleichung (105) unter Berücksichtigung des Längsbewehrungsgrades  $\rho_l$  im äußeren Rundschnitt

$\kappa_a$  der Beiwert zur Berücksichtigung des Übergangs zum Plattenbereich mit der Tragfähigkeit nach 10.3.3 mit

$$\kappa_a = 1 - \frac{0,29 l_w}{3,5 d} \geq 0,71 \quad (113)$$

$l_w$  die Breite des Bereiches mit Durchstanzbewehrung außerhalb der Lasteinleitungsfläche (siehe Bild 45)



**Bild 45 — Nachweisschnitte der Durchstanzbewehrung**

(5) Anforderungen an die bauliche Durchbildung der Durchstanzbewehrung sind in 13.3.3 angegeben; die erforderliche Durchstanzbewehrung der inneren Rundschnitte darf folgenden Wert nicht unterschreiten:

$$\rho_w = \frac{A_{sw}}{s_w \cdot u} \geq \min \rho_w \quad (114)$$

bzw.

$$\rho_w = \frac{A_s \cdot \sin \alpha}{s_w \cdot u} \geq \min \rho_w \text{ bei geeigneter Durchstanzbewehrung mit } s_w = d \text{ und mit } \min \rho_w \text{ nach 13.2.3 (5).}$$

### 10.5.6 Mindestmomente

(1) Um die Querkrafttragfähigkeit sicherzustellen, sind die Platten im Bereich der Stützen für Mindestmomente  $m_{Ed}$  zu bemessen, sofern die Schnittgrößenermittlung nicht zu höheren Werten führt.

(2) Wenn andere Festlegungen fehlen, sollten folgende Mindestmomente je Längeneinheit angesetzt werden:

$$m_{Ed,x} = \eta_x \cdot V_{Ed} \quad \text{und} \quad m_{Ed,y} = \eta_y \cdot V_{Ed} \quad (115)$$

Dabei ist

$V_{Ed}$  die aufzunehmende Querkraft

$\eta_x, \eta_y$  der Momentenbeiwert nach Tabelle 14 für die x- bzw. y-Richtung (siehe Bild 46)

Diese Mindestmomente sollten jeweils in einem Bereich mit der in Tabelle 14 angegebenen Breite angesetzt werden (siehe Bild 46).

**Tabelle 14 — Momentenbeiwerte  $\eta$  und Verteilungsbreiten der Momente**

Zeile	Spalte	1	2	3	4	5	6
		$\eta_x$		anzusetzende Breite <sup>b</sup>	$\eta_y$		anzusetzende Breite <sup>b</sup>
	Lage der Stütze	Zug an der Plattenoberseite	Zug an der Plattenunterseite		Zug an der Plattenoberseite <sup>c</sup>	Zug an der Plattenunterseite	
1	Innenstütze	0,125	0	$0,3 l_y$	0,125	0	$0,3 l_x$
2	Randstütze, Rand „x“ <sup>a</sup>	0,25	0	$0,15 l_y$	0,125	0,125	(je m Plattenbreite)
3	Randstütze, Rand „y“ <sup>a</sup>	0,125	0,125	(je m Plattenbreite)	0,25	0	$0,15 l_x$
4	Eckstütze	0,5	0,5	(je m Plattenbreite)	0,5	0,5	(je m Plattenbreite)

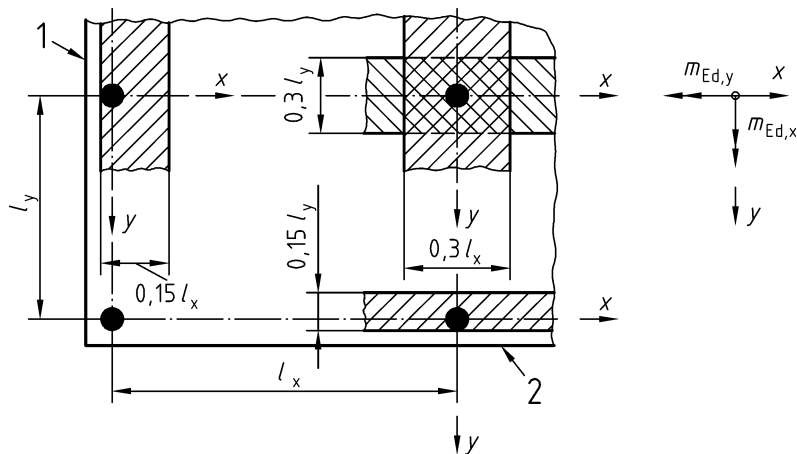
<sup>a</sup> Definition der Ränder und der Stützenabstände  $l_x$  und  $l_y$  siehe Bild 46

<sup>b</sup> siehe Bild 46

<sup>c</sup> Die Plattenoberseite bezeichnet die der Lasteinleitungsfläche entgegenliegende Seite der Platte; die Plattenunterseite diejenige Seite, auf der die Lasteinleitungsfläche liegt.

**Legende**

- 1 Rand „y“
- 2 Rand „x“



**Bild 46 — Bereiche für den Ansatz der Mindestbiegemomente  $m_{Ed,x}$  und  $m_{Ed,y}$**

**10.6 Stabwerkmodelle**

**10.6.1 Allgemeines**

(1) Ein Stabwerkmodell besteht aus Betondruckstreben, aus Zugstreben und den verbindenden Knoten. Die Kräfte in diesen Elementen des Stabwerkmodells sind unter Einhaltung des Gleichgewichts für die Einwirkungen im Grenzzustand der Tragfähigkeit zu ermitteln, und die Elemente sind dafür nach den in 10.6.2 und 10.6.3 angegebenen Regeln zu bemessen.

(2) Die Zugstreben des Stabwerkmodells müssen nach Lage und Richtung mit der zugehörigen Bewehrung übereinstimmen.

(3) Um die Verträglichkeit näherungsweise sicherzustellen, sollte das Stabwerkmodell, insbesondere die Lage und Richtung wichtiger Druckstreben, an der Spannungsverteilung nach der linearen Elastizitätstheorie orientiert sein.

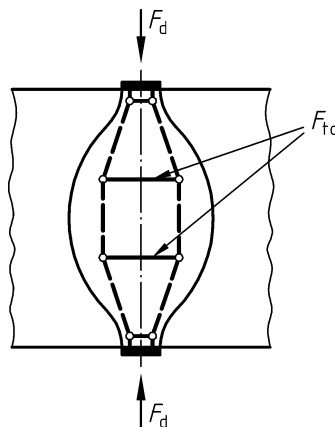
(4) Stabwerkmodelle dürfen kinematisch sein, wenn Geometrie und Belastung aufeinander abgestimmt sind.

(5) Bei der Stabkraftermittlung für statisch unbestimmte Stabwerkmodelle dürfen die unterschiedlichen Dehnsteifigkeiten der Druck- und Zugstreben näherungsweise berücksichtigt werden. Vereinfachend dürfen einzelne statisch unbestimmte Stabkräfte in Anlehnung an die Kräfte aus einer linear-elastischen Berechnung des Tragwerks gewählt werden.

(6) Die Ergebnisse aus mehreren Stabwerkmodellen dürfen im Allgemeinen nicht überlagert werden. Dies ist im Ausnahmefall möglich, wenn die Stabwerkmodelle für jede Einwirkung im Wesentlichen übereinstimmen.

### 10.6.2 Bemessung der Zug- und Druckstreben

(1) Die Druckstreben des Stabwerkmodells sind für Druck und für Querzug (siehe Bild 47), bei ebenen Stabwerkmodellen auch für Querzug senkrecht zur Ebene des Stabwerkmodells, zu bemessen. Die Querzugkraft im Druckfeld infolge einer Einschnürung an einem Knoten kann mit Hilfe eines örtlichen Stabwerkmodells ermittelt werden.



**Bild 47 — Querzugkräfte in einem Druckfeld mit Einschnürung zu konzentrierten Knoten an beiden Enden**

(2) Der Bemessungswert der Druckstrebenfestigkeit ist wie folgt begrenzt:

a)  $\sigma_{Rd, \max} = 1,0 \eta_1 \cdot f_{cd}$  für ungerissene Betondruckzonen

b)  $\sigma_{Rd, \max} = 0,75 \eta_1 \cdot f_{cd}$  für Druckstreben parallel zu Rissen

mit  $\eta_1 = 1,0$  für Normalbeton; für Leichtbeton nach Tabelle 10

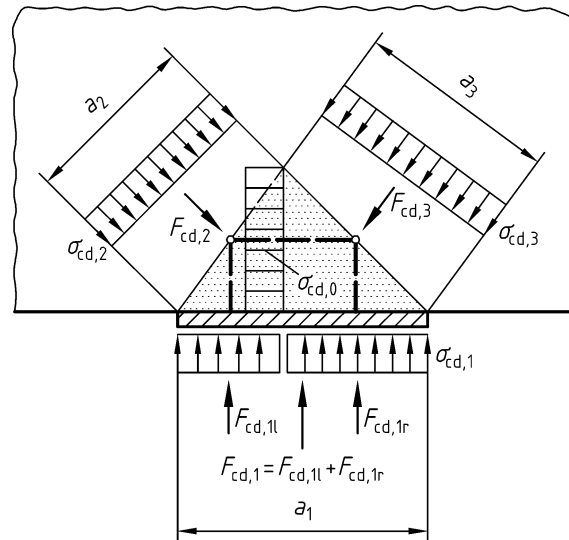
Bei Druckstreben mit kreuzenden Rissen können kleinere Werte erforderlich sein (siehe DAfSb-Heft 525).

(3) Der Bemessungswert der Stahlspannung der Bewehrung der Zugstreben und der Bewehrung zur Aufnahme der Querzugkräfte in Druckstreben ist bei Betonstahl auf  $f_{yd}$ , bei Spannstahl auf  $f_{p0,1k} / \gamma_s$  zu begrenzen.

(4) Die Bewehrung ist bis in die konzentrierten Knoten ungeschwächt durchzuführen. Sie darf in verschmierten Knoten, die sich im Tragwerk über eine größere Länge erstrecken, innerhalb des Knotenbereichs gestaffelt enden. Dabei muss sie alle durch die Bewehrung umzulenkenden Druckwirkungen erfassen.

(5) Die Verankerungslänge der Bewehrung in Druck-Zug-Knoten beginnt am Knotenanfang, wo erste Druckspannungen aus den Druckstreben auf die verankerte Bewehrung treffen und von ihr umgelenkt werden (siehe Bild 49).

(6) In Bauteilbereichen mit parallelem Druck- und Zuggurt ist die Höhe des Druckspannungsfeldes oder die Höhe des Spannungsbereichs im Hinblick auf die Verträglichkeit zu begrenzen. So sollten diese Abmessungen nicht größer gewählt werden, als sie sich bei Annahme einer linearen Dehnungsverteilung ergeben.



**Bild 48 — Knotenbereich für den Nachweis von Druckknoten**

(7) Für Druckstreben, deren Druckfelder sich zu konzentrierten Knoten hin stark einschnüren, erübrigen sich Nachweise der Druckspannungen, wenn die angrenzenden Knoten nach 10.6.3 nachgewiesen werden.

### 10.6.3 Bemessung der Knoten

(1) Die Regeln dieses Abschnitts gelten auch für die Bereiche konzentrierter Kräfteinleitungen in Tragwerken, die in den übrigen Bereichen nicht mit Stabwerkmodellen berechnet werden.

(2) In konzentrierten Knoten sind die Bemessungsdruckspannungen ohne genaueren Nachweis zu begrenzen auf:

a)  $\sigma_{Rd, \max} = 1,1 \eta_1 \cdot f_{cd}$  in Druckknoten (ohne Verankerung von Zugstreben), z. B. nach Bild 48

b)  $\sigma_{Rd, \max} = 0,75 \eta_1 \cdot f_{cd}$  in Druck-Zug-Knoten (mit Verankerung von Zugstreben), wenn alle Winkel zwischen Druck- und Zugstreben mindestens  $45^\circ$  betragen, z. B. nach Bild 49

mit  $\eta_1 = 1,0$  für Normalbeton; für Leichtbeton nach Tabelle 10

Bei genauerem Nachweis können auch höhere Werte angesetzt werden (siehe 10.7).

(3) Knoten mit Abbiegungen von Bewehrung (z. B. nach Bild 50) erfordern den Nachweis der zulässigen Biegerollendurchmesser nach 12.3.1.<sup>11)</sup>

### 10.7 Teilflächenbelastung

(1) Für Teilflächenbelastung auf einer Fläche  $A_{c0}$  (siehe Bild 51) ist die aufnehmbare Teilflächenlast  $F_{Rdu}$  wie folgt zu ermitteln:

$$F_{Rdu} = A_{c0} \cdot f_{cd} \cdot \sqrt{A_{c1}/A_{c0}} \leq 3,0 f_{cd} \cdot A_{c0} \quad \text{für Normalbeton} \quad (116)$$

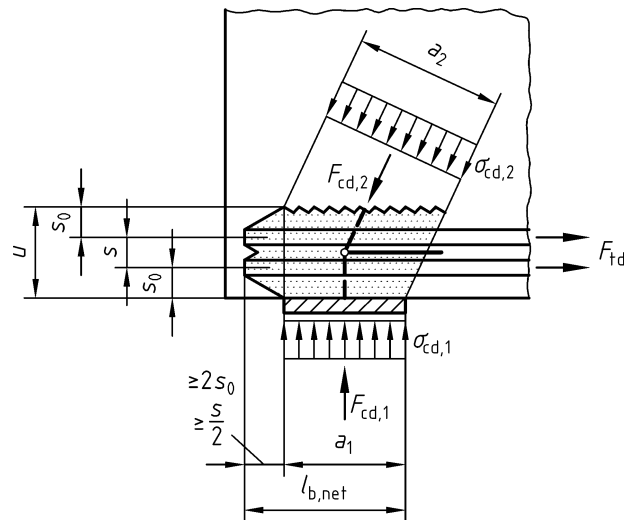
$$F_{Rdu} = A_{c0} \cdot f_{lcd} \cdot (A_{c1}/A_{c0})^{0/4800} \leq \varrho/800 f_{lcd} \cdot A_{c0} \quad \text{für Leichtbeton} \quad (117)$$

<sup>11)</sup> weitere Angaben siehe DAfStb-Heft 525

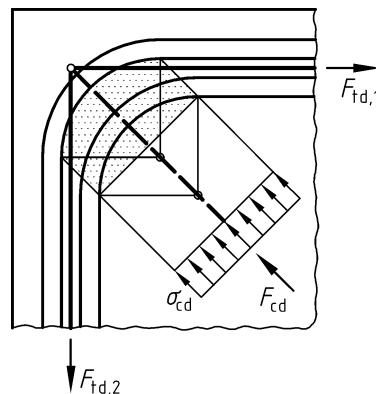


Dabei ist

- $A_{c0}$  die Belastungsfläche
- $A_{c1}$  die rechnerische Verteilungsfläche (siehe Bild 51)
- $\rho$  der Rechenwert der Trockenrohdichte des Leichtbetons, in  $\text{kg}/\text{m}^3$



**Bild 49 — Knotenbereich für den Nachweis von Druck-Zug-Knoten**



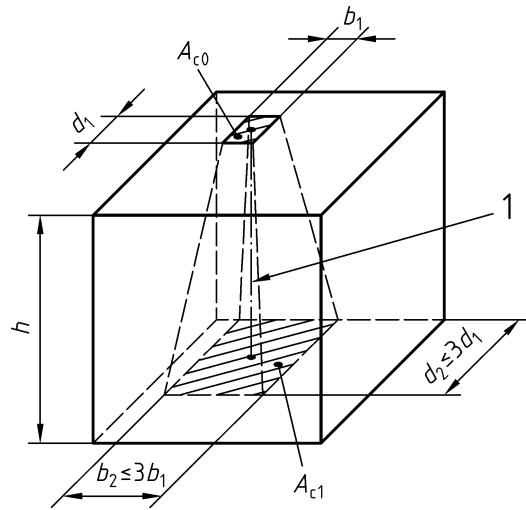
**Bild 50 — Knoten mit Umlenkung von Bewehrung**

(2) Die für die Aufnahme der Kraft  $F_{Rdu}$  vorgesehene rechnerische Verteilungsfläche  $A_{c1}$  muss den nachfolgenden Bedingungen genügen.

- Die Fläche  $A_{c1}$  muss der Fläche  $A_{c0}$  geometrisch ähnlich sein.
- Der Schwerpunkt der Fläche  $A_{c1}$  muss in Belastungsrichtung mit dem Schwerpunkt der Belastungsfläche  $A_{c0}$  übereinstimmen.
- Die Maße der Fläche  $A_{c1}$  dürfen in jeder Richtung höchstens gleich dem dreifachen Betrag der entsprechenden Maße der Übertragungsfläche sein.
- Wirken auf den Betonquerschnitt mehrere Druckkräfte, so dürfen sich die rechnerischen Verteilungsflächen innerhalb der Höhe  $h$  nicht überschneiden.

Des Weiteren muss die zur Lastverteilung in Belastungsrichtung zur Verfügung stehende Höhe den Bedingungen in Bild 51 genügen.

Der Wert von  $F_{Rdu}$  muss verringert werden, wenn die örtlichen Lasten nicht gleichmäßig über die Fläche  $A_{c0}$  verteilt sind oder wenn hohe Querkräfte vorhanden sind.



### Legende

- 1 Achse in Belastungsrichtung  
 $h \geq b_2 - b_1$   
 $h \geq d_2 - d_1$

**Bild 51 — Ermittlung der Flächen für Teilflächenbelastung**

(3) Die Absätze (1) und (2) gelten nicht für den Nachweis von Bauteilbereichen mit Spanngliedverankerungen; diese sollten mit Hilfe geeigneter Stabwerkmodelle nachgewiesen werden.

(4) Die im Lasteinleitungsbereich entstehenden Querzugkräfte sind durch Bewehrung aufzunehmen (siehe auch 13.9).

## 10.8 Nachweis gegen Ermüdung

### 10.8.1 Allgemeines

(1) Tragende Bauteile, die beträchtlichen Spannungsänderungen unter nicht vorwiegend ruhenden Einwirkungen unterworfen sind, müssen gegen Ermüdung bemessen werden. Der Nachweis gegen Ermüdung ist für Beton und Stahl getrennt zu führen.

(2) Für Tragwerke des üblichen Hochbaus braucht im Allgemeinen kein Nachweis gegen Ermüdung geführt zu werden.

(3) Für Leichtbeton sind gesonderte Betrachtungen nötig.

### 10.8.2 Innere Kräfte und Spannungen im Grenzzustand der Tragfähigkeit beim Nachweis gegen Ermüdung

(1) Die Ermittlung der Spannungen muss bei im Querschnitt vorhandenem Zug auf der Grundlage gerissener Querschnitte unter Vernachlässigung der Zugfestigkeit des Betons, jedoch bei Erfüllung der Verträglichkeit der Dehnungen erfolgen.

(2) Das Verhältnis der Elastizitätsmoduln von Stahl und Beton darf bei der Ermittlung der inneren Schnittgrößen und der Spannungen vereinfachend zu  $\alpha_e = 10$  angenommen werden.

(3) Das unterschiedliche Verbundverhalten von Beton- und Spannstahl ist durch Erhöhung der Betonstahlspannungen mit dem Faktor  $\eta$  zu berücksichtigen:

$$\eta = \frac{A_s + A_p}{A_s + A_p \sqrt{\xi \left( d_s / d_p \right)}} \quad (118)$$

Dabei ist

$A_s$  die Querschnittsfläche der Betonstahlbewehrung

$A_p$  die Querschnittsfläche der Spannstahlbewehrung

$d_s$  der größte Durchmesser der Betonstahlbewehrung

$d_p$  der Durchmesser oder äquivalente Durchmesser der Spannstahlbewehrung:

$$d_p = 1,6 \sqrt{A_p} \quad \text{für Bündelspannglieder}$$

$$d_p = 1,20 d_{\text{Draht}} \quad \text{für Einzellitzen mit 3 Drähten}$$

$$d_p = 1,75 d_{\text{Draht}} \quad \text{für Einzellitzen mit 7 Drähten}$$

$\xi$  das Verhältnis der Verbundfestigkeit von im Verbund liegenden Spanngliedern zur Verbundfestigkeit von Betonrippenstahl im Beton nach Tabelle 15

**Tabelle 15 — Verhältnis  $\xi$  der Verbundfestigkeit von Spannstahl zur Verbundfestigkeit von Betonrippenstahl**

Zeile	Spalte	1	2	3
		Spannglieder im sofortigen Verbund	Spannglieder im nachträglichen Verbund	
			bis C50/60 und LC50/55	ab C55/67 und LC55/60
1	glatte Stäbe	—	0,3	0,15
2	Litzen	0,6	0,5	0,25
3	profilierte Drähte	0,7	0,6	0,3
4	gerippte Stäbe	0,8	0,7	0,35

(4) Bei Bauteilen mit Querbewehrung sind die Kräfte in der Bewehrung und im Beton auf der Grundlage eines Fachwerkmodells zu ermitteln.

(5) Beim Ermüdungsnachweis für Querkraftbewehrung dürfen die Spannungsschwingbreiten mit einer Druckstrebenneigung  $\tan \theta_{\text{fat}} = \sqrt{\tan \theta}$  mit  $\theta$  nach 10.3.4 ermittelt werden, wenn keine genaueren Nachweise geführt werden.

### 10.8.3 Nachweisverfahren

(1) Kann ein vereinfachter Nachweis nach 10.8.4 nicht erbracht werden, so ist ein expliziter Betriebsfestigkeitsnachweis zu führen. Dabei ist nachzuweisen, dass die Schädigungssumme  $D_{\text{Ed}} \leq 1$  ist.

(2) Für die Ermittlung der Schädigungssumme  $D_{\text{Ed}}$  gilt die Palmgren-Miner-Regel. Für die Schadensberechnung sind die entsprechenden Wöhlerlinien für Betonstahl und Spannstahl nach Bild 52 (mit den Parametern in Tabelle 16 und Tabelle 17) anzusetzen. Dabei ist  $\Delta\sigma$  durch  $\gamma_{s, \text{fat}}$  zu dividieren. Die in Tabelle 16 angegebenen Werte gelten für Betonstähle nach den Normen der Reihe DIN 488, für andere Stähle nur dann, wenn in deren allgemeiner bauaufsichtlicher Zulassung nichts anderes festgelegt ist.

(3) Die Nachweise sind für Stahl und Beton im Allgemeinen unter Berücksichtigung der folgenden Einwirkungskombinationen zu führen:

- ständige Einwirkungen,
- maßgebender charakteristischer Wert der Vorspannung  $P_k$ ,
- wahrscheinlicher Wert der Setzungen, sofern ungünstig wirkend,
- häufiger Wert der Temperatureinwirkung, sofern ungünstig wirkend,
- Einwirkung aus Nutzlasten.

**Tabelle 16 — Parameter der Wöhlerlinien für Betonstahl**

Zeile	Spalte	1	2	3	4
	Betonstahl	$N^*$	Spannungsexponent		$\Delta\sigma_{Rsk}$ bei $N^*$ Zyklen in $N/mm^2$
			$k_1$	$k_2$	
1	Gerade und gebogene Stäbe <sup>a</sup>	$10^6$	5	9 <sup>d</sup>	195
2	Geschweißte Stäbe einschließlich Heft- und Stumpfstoßverbindungen; Kopplungen <sup>b c</sup>	$10^7$	3	5	58

<sup>a</sup> Für  $d_{br} < 25 d_s$  ist  $\Delta\sigma_{Rsk}$  mit dem Reduktionsfaktor  $\xi = 0,35 + 0,026 d_{br}/d_s$  zu multiplizieren. Dabei ist  
 $d_s$  der Stabdurchmesser  
 $d_{br}$  der Biegerollendurchmesser

<sup>b</sup> Sofern nicht andere Wöhlerlinien durch eine allgemeine bauaufsichtliche Zulassung oder Zustimmung im Einzelfall nachgewiesen werden können.

<sup>c</sup> Die Wöhlerlinie für geschweißte Stäbe und Kopplungen gilt bis zu einer Spannungs-Schwingbreite  $\Delta\sigma_{Rsk} = 380 N/mm^2$  ( $N^* = 0,036 \cdot 10^6$ ). Darüber gilt die Linie für gerade und gebogene Stäbe mit den Parametern in Zeile 1.

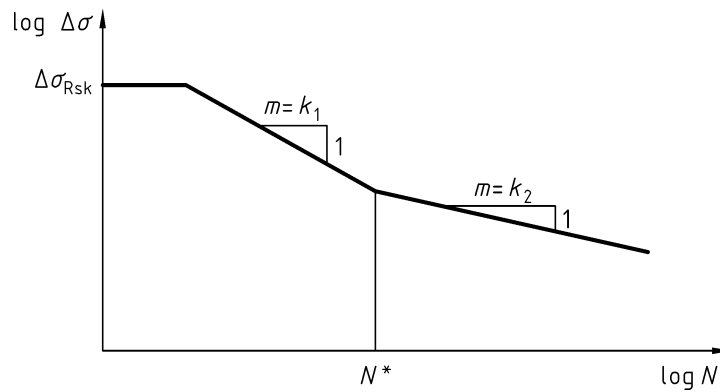
<sup>d</sup> Wert gilt für nichtkorrosionsfördernde Umgebung (siehe Tabelle 3, Klasse XC1), in allen anderen Fällen ist  $k_2 = 5$  zu setzen.

**Tabelle 17 — Parameter der Wöhlerlinien für Spannstahl**

Zeile	Spalte	1	2	3	4	
	Spannstahl <sup>a</sup>	$N^*$	Spannungsexponent		$\Delta\sigma_{Rsk}$ bei $N^*$ Zyklen in $N/mm^2$	
			$k_1$	$k_2$		
1	im sofortigen Verbund	$10^6$	5	9	185	
2	im nachträglichen Verbund	Einzellitzen in Kunststoffhüllrohren	$10^6$	5	9	185
3		Gerade Spannglieder; gekrümmte Spannglieder in Kunststoffhüllrohren	$10^6$	5	10	150
4		Gekrümmte Spannglieder in Stahlhüllrohren	$10^6$	3	7	120
5		Kopplungen	$10^6$	3	5	80

<sup>a</sup> Sofern nicht andere Wöhlerlinien durch eine allgemeine bauaufsichtliche Zulassung oder Zustimmung im Einzelfall nachgewiesen werden können.

(4) Anstelle eines expliziten Nachweises der Betriebsfestigkeit nach Absatz (1) darf der Nachweis gegen Ermüdung über schädigungsäquivalente Spannungsschwingbreiten für Stahl nach Absatz (5) und schädigungsäquivalente Druckspannungen für Beton nach Absatz (6) erfolgen, sofern die Standardfälle der Einwirkungen bekannt sind.



**Bild 52 — Form der Wöhlerlinien für Beton- und Spannstahl**

(5) Der Nachweis gegen Ermüdung für Beton- und Spannstahl gilt als erbracht, wenn die folgende Bedingung erfüllt ist:

$$\gamma_{F, \text{fat}} \cdot \gamma_{Ed, \text{fat}} \cdot \Delta\sigma_{s, \text{equ}} \leq \frac{\Delta\sigma_{\text{Rsk}}(N^*)}{\gamma_{s, \text{fat}}} \quad (119)$$

Dabei ist

$\Delta\sigma_{\text{Rsk}}(N^*)$  die Spannungsschwingbreite für  $N^*$  Lastzyklen aus der Wöhlerlinie nach Bild 52 (Parameter siehe Tabelle 16 und Tabelle 17)

$\Delta\sigma_{s, \text{equ}}$  die schädigungsäquivalente Spannungsschwingbreite; für übliche Hochbauten darf näherungsweise  $\Delta\sigma_{s, \text{equ}} = \max \Delta\sigma_s$  angenommen werden

$\max \Delta\sigma_s$  die maximale Spannungsamplitude unter der maßgebenden ermüdungswirksamen Einwirkungskombination

$\gamma_{F, \text{fat}}$  der Teilsicherheitsbeiwert für die Einwirkungen beim Nachweis gegen Ermüdung nach 5.3.3 (2)

$\gamma_{Ed, \text{fat}}$  der Teilsicherheitsbeiwert für die Modellunsicherheiten beim Nachweis gegen Ermüdung nach 5.3.3 (2)

$\gamma_{s, \text{fat}}$  der Teilsicherheitsbeiwert für den Beton- und Spannstahl beim Nachweis gegen Ermüdung nach Tabelle 2

(6) Für Beton unter Druckbeanspruchung darf ein ausreichender Widerstand gegen Ermüdung angenommen werden, wenn die folgende Bedingung erfüllt ist:

$$E_{cd, \text{max, equ}} + 0,43 \sqrt{1 - R_{\text{equ}}} \leq 1,0 \quad (120)$$

mit

$$R_{\text{equ}} = \frac{\sigma_{cd, \text{min, equ}}}{\sigma_{cd, \text{max, equ}}} \quad (121)$$

$$E_{cd, \text{max, equ}} = \frac{|\sigma_{cd, \text{max, equ}}|}{f_{cd, \text{fat}}} \quad (122)$$

Dabei ist

$\sigma_{cd, \text{max, equ}}, \sigma_{cd, \text{min, equ}}$  die obere bzw. die untere Spannung der schädigungsäquivalenten Spannungsschwingbreite mit einer Anzahl von  $N = 10^6$  Zyklen.

#### 10.8.4 Vereinfachte Nachweise

(1) Die vereinfachten Nachweise sind mit den Einwirkungskombinationen des Grenzzustands der Gebrauchstauglichkeit nach DIN 1055-100 zu führen.

(2) Für ungeschweißte Bewehrungsstäbe unter Zugbeanspruchung darf ein ausreichender Widerstand gegen Ermüdung angenommen werden, wenn unter der häufigen Einwirkungskombination die Spannungsschwingbreite  $\Delta\sigma_s \leq 70 \text{ N/mm}^2$  ist.

(3) Der Nachweis gegen Ermüdung von Spannstahl und Betonstahl im Bereich von Schweißverbindungen oder Kopplungen gilt als erfüllt, wenn in diesen Bereichen der Betonquerschnitt unter der häufigen Einwirkungskombination, jedoch unter Berücksichtigung eines Abminderungsfaktors von 0,75 für den Mittelwert der Vorspannkraft  $P_{\text{mt}}$ , vollständig unter Druckbeanspruchung steht.

(4) Der Nachweis gegen Ermüdung für Beton unter Druckbeanspruchung gilt als erbracht, wenn folgende Bedingung erfüllt ist:

$$\frac{|\sigma_{\text{cd, max}}|}{f_{\text{cd, fat}}} \leq 0,5 + 0,45 \frac{|\sigma_{\text{cd, min}}|}{f_{\text{cd, fat}}} \begin{cases} \leq 0,9 \text{ bis C50/60 oder LC50/55;} \\ \leq 0,8 \text{ ab C55/67 oder LC55/60} \end{cases} \quad (123)$$

mit

$$f_{\text{cd, fat}} = \beta_{\text{cc}}(t_0) \cdot f_{\text{cd}} \cdot \left(1 - \frac{f_{\text{ck}}}{250}\right) \quad \text{mit } f_{\text{ck}} \text{ in N/mm}^2 \quad (124)$$

Dabei ist

$\sigma_{\text{cd, max}}$  der Bemessungswert der maximalen Druckspannung unter der häufigen Einwirkungskombination

$\sigma_{\text{cd, min}}$  der Bemessungswert der minimalen Druckspannung am Ort von  $\sigma_{\text{cd, min}}$  (bei Zugspannungen ist  $\sigma_{\text{cd, max}} = 0$  zu setzen)

$\beta_{\text{cc}}(t_0)$  der Beiwert für die Nacherhärtung mit  $\beta_{\text{cc}}(t_0) = e^{0,2(1 - \sqrt{28/t_0})}$

$t_0$  der Zeitpunkt der Erstbelastung des Betons (in Tagen)

(5) Die Gleichung (123) gilt auch für die Druckstreben von querkraftbeanspruchten Bauteilen mit Querkraftbewehrung. In diesem Fall ist die Betondruckfestigkeit  $f_{\text{cd, fat}}$  mit  $\alpha_c$  nach 10.3.4 abzumindern.

(6) Bei Bauteilen ohne Querkraftbewehrung darf ein ausreichender Widerstand gegen Ermüdung des Betons bei Beanspruchung infolge Querkraft als gegeben angesehen werden, wenn die folgenden Bedingungen eingehalten sind:

– für  $\frac{V_{\text{Ed, min}}}{V_{\text{Ed, max}}} \geq 0$ :

$$\frac{|V_{\text{Ed, max}}|}{|V_{\text{Rd, ct}}|} \leq 0,5 + 0,45 \frac{|V_{\text{Ed, min}}|}{|V_{\text{Rd, ct}}|} \begin{cases} \leq 0,9 \text{ bis C50/60 oder LC50/55;} \\ \leq 0,8 \text{ ab C55/67 oder LC55/60} \end{cases} \quad (125)$$

– für  $\frac{V_{\text{Ed, min}}}{V_{\text{Ed, max}}} < 0$ :

$$\frac{|V_{\text{Ed, max}}|}{|V_{\text{Rd, ct}}|} \leq 0,5 - \frac{|V_{\text{Ed, min}}|}{|V_{\text{Rd, ct}}|} \quad (126)$$

Dabei ist

$V_{\text{Ed, max}}$  der Bemessungswert der maximalen Querkraft unter häufiger Einwirkungskombination

$V_{\text{Ed, min}}$  der Bemessungswert der minimalen Querkraft unter häufiger Einwirkungskombination in dem Querschnitt, in dem  $V_{\text{Ed, max}}$  auftritt

$V_{\text{Rd, ct}}$  der Bemessungswert der aufnehmbaren Querkraft nach Gleichung (70)

## 11 Nachweise in den Grenzzuständen der Gebrauchstauglichkeit

### 11.1 Begrenzung der Spannungen

#### 11.1.1 Allgemeines

- (1) Für das nutzungsgerechte und dauerhafte Verhalten eines Bauwerks sind die übermäßige Schädigung des Betongefüges sowie nichtelastische Verformungen des Beton- und Spannstahls durch Einhaltung der Spannungsgrenzen nach 11.1.2, 11.1.3 und 11.1.4 zu vermeiden.
- (2) Die Spannungsnachweise sind gegebenenfalls für Bau- und Endzustand getrennt zu führen.
- (3) *Die Spannungsnachweise nach 11.1.2 und 11.1.3 dürfen für nicht vorgespannte Tragwerke des üblichen Hochbaus, die nach Abschnitt 10 bemessen wurden, im Allgemeinen entfallen, wenn*
  - *die Schnittgrößen nach der Elastizitätstheorie ermittelt und im Grenzzustand der Tragfähigkeit um nicht mehr als 15 % umgelagert wurden und*
  - *die bauliche Durchbildung nach Abschnitt 13 durchgeführt wird und insbesondere die Festlegungen für die Mindestbewehrung nach 13.1.1 eingehalten sind.*

#### 11.1.2 Begrenzung der Betondruckspannungen

- (1) *In Bauteilen, die den Bedingungen der Expositionsklassen XD1 bis XD3, XF1 bis XF4 und XS1 bis XS3 (siehe Tabelle 3) ausgesetzt sind und in denen keine anderen Maßnahmen getroffen werden, wie z. B. eine Erhöhung der Betondeckung in der Druckzone oder eine Umschnürung der Druckzone durch Querbewehrung, sollten die Betondruckspannungen zur Vermeidung von Längsrissen unter der seltenen Einwirkungskombination auf den Wert  $0,6f_{ck}$  begrenzt werden.*
- (2) Falls die Gebrauchstauglichkeit, Tragfähigkeit oder Dauerhaftigkeit des Bauwerks durch das Kriechen wesentlich beeinflusst werden, sind die Betondruckspannungen unter der quasi-ständigen Einwirkungskombination zur Vermeidung von überproportionalen Kriechverformungen auf  $0,45f_{ck}$  zu begrenzen.
- (3) *Im Bereich von Verankerungen und Auflagern dürfen die vorgenannten Nachweise entfallen, wenn die Festlegungen in 8.7.7 sowie Abschnitt 13 eingehalten werden.*

#### 11.1.3 Begrenzung der Betonstahlspannungen

Die Zugspannungen in der Betonstahlbewehrung sind bei direkten Einwirkungen (Lastbeanspruchung) unter der seltenen Einwirkungskombination auf den Wert  $0,8f_{yk}$  zu begrenzen. Wenn die Spannung ausschließlich aus indirekten Einwirkungen (Zwang) herrührt, ist ein Wert von  $1,0f_{yk}$  zulässig.

#### 11.1.4 Begrenzung der Spannstahlspannungen

- (1) Die Zugspannungen im Spannstahl der Spannglieder sind in jedem Querschnitt mit dem Mittelwert der Vorspannung unter der quasi-ständigen Einwirkungskombination nach Abzug der Spannkraftverluste nach 8.7.3 zu berechnen und auf den Wert  $0,65f_{pk}$  zu begrenzen.
- (2) Nach dem Absetzen der Pressenkraft bzw. dem Lösen der Verankerung darf der Mittelwert der Spannstahlspannung unter der seltenen Einwirkungskombination in keinem Querschnitt und zu keinem Zeitpunkt den kleineren Wert von  $0,9f_{p0,1k}$  und  $0,8f_{pk}$  überschreiten.

## 11.2 Begrenzung der Rissbreiten und Nachweis der Dekompression

### 11.2.1 Allgemeines

- (1) Rissbildung ist in Betonzugzonen nahezu unvermeidbar. Die Rissbreite ist so zu beschränken, dass die ordnungsgemäße Nutzung des Tragwerks sowie sein Erscheinungsbild und die Dauerhaftigkeit als Folge von Rissen nicht beeinträchtigt werden.
- (2) *Risse im Beton können auch aus anderen Gründen, z. B. aus plastischem Schwinden oder chemischen Reaktionen mit Volumenänderung auftreten. Die Vermeidung und die Begrenzung der Breite solcher Risse sind in dieser Norm nicht geregelt.*

(3) Beim Nachweis der Begrenzung der Rissbreite ist zwischen dem Zustand der Bildung von Einzelrissen und dem Zustand mit abgeschlossenem Rissbild zu unterscheiden. Die in diesem Abschnitt angegebenen Nachweis- und Berechnungsverfahren dürfen näherungsweise für beide Zustände angewendet werden, sofern die zur Verteilung der Risse erforderliche Mindestbewehrung nach 11.2.2 vorhanden ist.

(4) Die in diesem Abschnitt angegebenen Verfahren erlauben keine exakte Vorhersage und Begrenzung der Rissbreite. Die Rechenwerte der Rissbreite sind daher nur als Anhaltswerte zu sehen, deren gelegentliche geringfügige Überschreitung im Bauwerk nicht ausgeschlossen werden kann. Dies ist jedoch bei Beachtung der Regeln dieses Abschnitts im Allgemeinen unbedenklich.

(5) Die in 11.2.3 und 11.2.4 angegebenen Verfahren gestatten die Begrenzung und Berechnung der Rissbreite im Bereich nahe der im Verbund liegenden Bewehrung (d. h. innerhalb des Wirkungsbereichs der Bewehrung). Außerhalb dieses Bereichs können Risse mit größerer Breite auftreten.

(6) Die Anforderungen an die Dauerhaftigkeit und das Erscheinungsbild eines Bauteils gelten im Sinne dieses Abschnitts als erfüllt, wenn die Anforderungen nach Tabelle 18 und Tabelle 19 eingehalten sind. Für Bauteile mit besonderen Anforderungen (z. B. Wasserbehälter) können strengere Begrenzungen der Rissbreite erforderlich sein. Diese sind jedoch nicht Gegenstand dieser Norm.

**Tabelle 18 — Anforderungen an die Begrenzung der Rissbreite und die Dekompression**

Zeile	Spalte	1	2	3
	Anforderungsklasse	Einwirkungskombination für den Nachweis der		Rechenwert der Rissbreite $w_k$ in mm
		Dekompression	Rissbreitenbegrenzung	
1	A	selten	—	0,2
2	B	häufig	selten	
3	C	quasi-ständig	häufig	
4	D	—	häufig	
5	E	—	quasi-ständig	0,3
6	F	—	quasi-ständig	0,4

(7) Für Bauzustände dürfen vom Bauherrn andere Anforderungsklassen festgelegt werden, als im Endzustand nach Tabelle 19 erforderlich sind. Die Mindestanforderungsklassen nach Tabelle 19 für die während der Erstellung des Bauwerkes oder Bauteils herrschenden Umgebungsbedingungen (klassifiziert durch die entsprechende Expositionsklasse nach Tabelle 3) dürfen jedoch nicht unterschritten werden.

(8) Bauteile mit einer Kombination von Spanngliedern im Verbund und Spanngliedern ohne Verbund sind hinsichtlich der Anforderungen an die Rissbreitenbegrenzung und die Dekompression wie Bauteile mit Vorspannung im Verbund zu behandeln.

(9) Die Einhaltung des Grenzzustands der Dekompression bedeutet, dass der Betonquerschnitt unter der maßgebenden Einwirkungskombination im Bauzustand am Rand der infolge Vorspannung vordrückten Zugzone im Endzustand vollständig unter Druckspannungen steht.

(10) Die Begrenzung der Rissbreite umfasst die folgenden Nachweise:

- Nachweis der Mindestbewehrung nach 11.2.2,
- Nachweis der Begrenzung der Rissbreite unter der maßgebenden Einwirkungskombination nach 11.2.3 oder 11.2.4.

(11) Bei Stabwerkmodellen, die an der Elastizitätstheorie orientiert sind, dürfen die aus den Stabkräften ermittelten Stahlspannungen beim Nachweis der Rissbreitenbegrenzung verwendet werden. Auch an Stellen, an denen nach dem verwendeten Stabwerkmodell rechnerisch keine Bewehrung erforderlich ist, können Zugkräfte entstehen, die durch eine geeignete konstruktive Bewehrung, z. B. für wandartige Träger nach 13.6, abgedeckt werden müssen.



**Tabelle 19 — Mindestanforderungsklassen in Abhängigkeit von der Expositionsklasse**

Zeile	Spalte	1	2	3	4
	Expositionsklasse	Mindestanforderungsklasse			
		Vorspannart			
		Vorspannung im nachträglichen Verbund	Vorspannung im sofortigem Verbund	Vorspannung ohne Verbund	Stahlbetonbauteile
1	XC1	D	D	F	F
2	XC2, XC3, XC4	C <sup>a</sup>	C	E	E
3	XD1, XD2, XD3 <sup>b</sup> , XS1, XS2, XS3	C <sup>a</sup>	B	E	E

<sup>a</sup> Wird der Korrosionsschutz anderweitig sichergestellt, darf Anforderungsklasse D verwendet werden. Hinweise hierzu sind den allgemeinen bauaufsichtlichen Zulassungen der Spanverfahren zu entnehmen.

<sup>b</sup> Im Einzelfall können zusätzlich besondere Maßnahmen für den Korrosionsschutz notwendig sein.

(12) Bei Platten in der Expositionsklasse XC1, die durch Biegung ohne wesentlichen zentrischen Zug beansprucht werden, sind keine Nachweise zur Begrenzung der Rissbreite notwendig, wenn deren Gesamtdicke 200 mm nicht übersteigt, die Festlegungen nach 13.3 eingehalten sind und keine strengere Begrenzung der Rissbreite im Sinne von Absatz (6) erforderlich ist.

(13) Werden Betonstahlmatten mit einem Querschnitt  $a_s \geq 6 \text{ cm}^2/\text{m}$  nach 12.8.4 in zwei Ebenen gestoßen, ist im Stoßbereich der Nachweis der Rissbreitenbeschränkung mit einer um 25 % erhöhten Stahlspannung zu führen.

### 11.2.2 Mindestbewehrung für die Begrenzung der Rissbreite

(1) Zur Aufnahme von Zwangeinwirkungen und Eigenspannungen ist eine Mindestbewehrung anzuordnen, die unter Berücksichtigung der Anforderungen an die Rissbreitenbegrenzung für die Schnittgrößenkombination zu bemessen ist, die im Bauteil zur Erstrissbildung führt.

(2) *Der Querschnitt der Mindestbewehrung darf bei Bauteilen ohne Vorspannung und Bauteilen mit Vorspannung ohne Verbund vermindert werden, wenn die Zwangsschnittgröße die Risschnittgröße nicht erreicht. In diesen Fällen darf die Mindestbewehrung durch eine Bemessung des Querschnitts für die nachgewiesene Zwangsschnittgröße unter Berücksichtigung der Anforderungen an die Rissbreitenbegrenzung ermittelt werden.*

(3) *In Bauteilen mit Vorspannung im Verbund ist die Mindestbewehrung zur Rissbreitenbegrenzung nicht in Bereichen erforderlich, in denen im Beton unter der seltenen Einwirkungskombination und unter den maßgebenden charakteristischen Werten der Vorspannung Betondruckspannungen am Querschnittsrand auftreten, die dem Betrag nach größer als  $1 \text{ N}/\text{mm}^2$  sind.*

(4) Bei profilierten Querschnitten wie Hohlkästen oder Plattenbalken ist die Mindestbewehrung für jeden Teilquerschnitt (Gurte und Stege) einzeln nachzuweisen.

(5) *Sofern nicht eine genauere Rechnung zeigt, dass ein geringerer Bewehrungsquerschnitt ausreicht, darf der erforderliche Mindestbewehrungsquerschnitt zur Begrenzung der Rissbreite nach Gleichung (127) ermittelt werden:*

$$A_s = k_c \cdot k \cdot f_{ct, \text{eff}} \cdot A_{ct} / \sigma_s \quad (127)$$

Dabei ist

$A_s$  die Querschnittsfläche der Betonstahlbewehrung in der Zugzone des betrachteten Querschnitts oder Teilquerschnitts. Diese ist überwiegend am gezogenen Querschnittsrand anzuordnen, mit einem angemessenen Anteil aber auch so über die Zugzone zu verteilen, dass die Bildung breiter Sammelrisse vermieden wird

$k_c$  der Beiwert zur Berücksichtigung des Einflusses der Spannungsverteilung innerhalb der Zugzone  $A_{ct}$  vor der Erstrissbildung sowie der Änderung des inneren Hebelarmes beim Übergang in den Zustand II:

$$k_c = 0,4 \left[ 1 + \frac{\sigma_c}{k_1 \cdot f_{ct,eff}} \right] \leq 1 \quad (128)$$

$\sigma_c$  die Betonspannung in Höhe der Schwerlinie des Querschnitts oder Teilquerschnitts im ungerissenen Zustand unter der Einwirkungskombination, die am Gesamtquerschnitt zur Erstrissbildung führt ( $\sigma_c < 0$  bei Druckspannungen)

$k_1 = 1,5 h/h'$  für Drucknormalkraft  
 $= 2/3$  für Zugnormalkraft

$h$  die Höhe des Querschnitts oder Teilquerschnitts

$h' = h$  für  $h < 1$  m  
 $= 1$  m für  $h \geq 1$  m

$k$  der Beiwert zur Berücksichtigung von nichtlinear verteilten Betonzugspannungen. Werte für  $k$  sind nachfolgend für unterschiedliche Fälle angegeben:

a) Zugspannungen infolge im Bauteil selbst hervorgerufenen Zwangs (z. B. Eigenspannungen infolge Abfließens der Hydratationswärme):

$k = 0,8$  für  $h \leq 300$  mm

$k = 0,5$  für  $h \geq 800$  mm

Zwischenwerte dürfen linear interpoliert werden. Dabei ist für  $h$  der kleinere Wert von Höhe oder Breite des Querschnitts oder Teilquerschnitts zu setzen.

b) Zugspannungen infolge außerhalb des Bauteils hervorgerufenen Zwangs (z. B. Stützensenkung):

$k = 1,0$

$A_{ct}$  die Fläche der Betonzugzone im Querschnitt oder Teilquerschnitt. Die Zugzone ist derjenige Teil des Querschnitts oder Teilquerschnitts, der unter der zur Erstrissbildung am Gesamtquerschnitt führenden Einwirkungskombination im ungerissenen Zustand rechnerisch unter Zugspannungen steht

$f_{ct,eff}$  die wirksame Zugfestigkeit des Betons zum betrachteten Zeitpunkt. Für  $f_{ct,eff}$  ist bei diesem Nachweis der Mittelwert der Zugfestigkeit  $f_{ctm}$  einzusetzen. Dabei ist diejenige Festigkeitsklasse anzusetzen, die beim Auftreten der Risse zu erwarten ist. In vielen Fällen, z. B. wenn der maßgebende Zwang aus dem Abfließen der Hydratationswärme entsteht, kann die Rissbildung in den ersten 3 bis 5 Tagen nach dem Einbringen des Betons in Abhängigkeit von den Umweltbedingungen, der Form des Bauteils und der Art der Schalung entstehen. In diesem Fall darf, sofern kein genauere Nachweis erfolgt, die Betonzugfestigkeit  $f_{ct,eff}$  zu 50% der mittleren Zugfestigkeit nach 28 Tagen gesetzt werden. Wenn der Zeitpunkt der Rissbildung nicht mit Sicherheit innerhalb der ersten 28 Tage festgelegt werden kann, sollte mindestens eine Zugfestigkeit von  $3 \text{ N/mm}^2$  für Normalbeton und  $2,5 \text{ N/mm}^2$  für Leichtbeton angenommen werden.

$\sigma_s$  die zulässige Spannung in der Betonstahlbewehrung zur Begrenzung der Rissbreite in Abhängigkeit vom Grenzdurchmesser  $d_s^*$  nach Tabelle 20

(6) Die Begrenzung der Rissbreite darf dabei durch eine Begrenzung des Stabdurchmessers auf den folgenden Wert nachgewiesen werden:

$$d_s = d_s^* \cdot \frac{k_c \cdot k \cdot h_t}{4(h-d)} \cdot \frac{f_{ct,eff}}{f_{ct,0}} \geq d_s^* \cdot \frac{f_{ct,eff}}{f_{ct,0}} \quad (129)$$

Dabei ist

$d_s^*$  der Grenzdurchmesser der Bewehrung nach Tabelle 20

$h$  die Bauteilhöhe

$d$  die statische Nutzhöhe

$h_t$  die Höhe der Zugzone im Querschnitt bzw. Teilquerschnitt vor Beginn der Erstrissbildung

$f_{ct,0}$  die Zugfestigkeit des Betons, auf die die Werte der Tabelle 20 bezogen sind ( $f_{ct,0} = 3,0 \text{ N/mm}^2$ )

(7) In einem Quadrat von 300 mm Seitenlänge um ein Spannglied im sofortigen oder im nachträglichen Verbund darf die in diesem Bereich erforderliche Mindestbewehrung um den Betrag  $\xi_1 \cdot A_p$  verringert werden.

Dabei ist

$A_p$  die Querschnittsfläche des Spannstahls im Spannglied

$\xi_1$  das Verhältnis der Verbundfestigkeit von Spannstahl und Betonstahl unter Berücksichtigung der unterschiedlichen Durchmesser:

$$\xi_1 = \sqrt{\xi \cdot \frac{d_s}{d_p}} \quad (130)$$

$\xi$  das Verhältnis der mittleren Verbundfestigkeit von Spannstahl zu der von Betonstahl nach Tabelle 15

$d_s$  der größte vorhandene Stabdurchmesser der Betonstahlbewehrung

$d_p$  der äquivalente Durchmesser der Spannstahlbewehrung (siehe Gleichung (118))

### 11.2.3 Begrenzung der Rissbreite ohne direkte Berechnung

(1) Die Rissbreiten werden auf zulässige Werte begrenzt, wenn die Durchmesser oder die Abstände der Bewehrungsstäbe in Abhängigkeit von der Spannung begrenzt werden.

(2) Die in Tabelle 20 und Tabelle 21 genannten Grenzwerte stellen im Allgemeinen die Begrenzung der Rissbreite auf die angegebenen Werte sicher, wenn

- bei einer Rissbildung infolge überwiegender indirekter Einwirkungen (Zwang) die Grenzdurchmesser nach Tabelle 20 eingehalten sind,
- bei Rissen infolge überwiegender direkter Einwirkungen (Lastbeanspruchung) entweder die Grenzdurchmesser nach Tabelle 20 oder die Stababstände nach Tabelle 21 eingehalten sind.

(3) Die in Tabelle 20 und Tabelle 21 angegebenen Stahlspannungen sind für einen gerissenen Querschnitt (Zustand II) und die maßgebende Einwirkungskombination, bei vorgespannten Bauteilen mit dem maßgebenden charakteristischen Wert der Vorspannung, zu ermitteln.

(4) Der Grenzdurchmesser der Bewehrungsstäbe nach Tabelle 20 darf in Abhängigkeit von der Bauteilhöhe und muss in Abhängigkeit von der wirksamen Betonzugfestigkeit  $f_{ct,eff}$  folgendermaßen modifiziert werden:

$$d_s = d_s^* \cdot \frac{\sigma_s \cdot A_s}{4(h-d) \cdot b \cdot f_{ct,0}} \geq d_s^* \cdot \frac{f_{ct,eff}}{f_{ct,0}} \quad (131)$$

Dabei ist

$d_s$  der modifizierte Grenzdurchmesser

$d_s^*$  der Grenzdurchmesser nach Tabelle 20

$\sigma_s$  die Betonstahlspannung im Zustand II; bei Bauteilen mit im Verbund liegenden Spanngliedern ist Absatz (5) zu beachten

$A_s$  die Querschnittsfläche der Betonstahlbewehrung, siehe Legende zu Gleichung (127)

$h$  die Bauteilhöhe

$d$  die statische Nutzhöhe

$b$  die Breite der Zugzone

$f_{ct,0}$  die Zugfestigkeit des Betons, auf die die Werte nach Tabelle 20 bezogen sind ( $f_{ct,0} = 3,0 \text{ N/mm}^2$ )

**Tabelle 20 — Grenzdurchmesser  $d_s^*$  bei Betonstählen**

Zeile	Spalte	1	2	3
	Stahlspannung $\sigma_s$ N/mm <sup>2</sup>	Grenzdurchmesser der Stäbe in mm in Abhängigkeit vom Rechenwert der Rissbreite $w_k$		
		$w_k = 0,4$ mm	$w_k = 0,3$ mm	$w_k = 0,2$ mm
1	160	56	42	28
2	200	36	28	18
3	240	25	19	13
4	280	18	14	9
5	320	14	11	7
6	360	11	8	6
7	400	9	7	5
8	450	7	5	4

**Tabelle 21 — Höchstwerte der Stababstände von Betonstählen**

Zeile	Spalte	1	2	3
	Stahlspannung $\sigma_s$ N/mm <sup>2</sup>	Grenzdurchmesser der Stäbe in mm in Abhängigkeit vom Rechenwert der Rissbreite $w_k$		
		$w_k = 0,4$ mm	$w_k = 0,3$ mm	$w_k = 0,2$ mm
1	160	300	300	200
2	200	300	250	150
3	240	250	200	100
4	280	200	150	50
5	320	150	100	—
6	360	100	50	—

(5) Bei Bauteilen mit im Verbund liegenden Spanngliedern ist die Betonstahlspannung für die maßgebende Einwirkungskombination unter Berücksichtigung des unterschiedlichen Verbundverhaltens von Betonstahl und Spann Stahl nach Gleichung (132) zu berechnen.

$$\sigma_s = \sigma_{s2} + 0,4f_{ct, \text{eff}} \left( \frac{1}{\text{eff } \varrho} - \frac{1}{\varrho_{\text{tot}}} \right) \quad (132)$$

Dabei ist

$\sigma_{s2}$  die Spannung im Betonstahl bzw. der Spannungszuwachs im Spann Stahl im Zustand II für die maßgebende Einwirkungskombination unter Annahme eines starren Verbundes

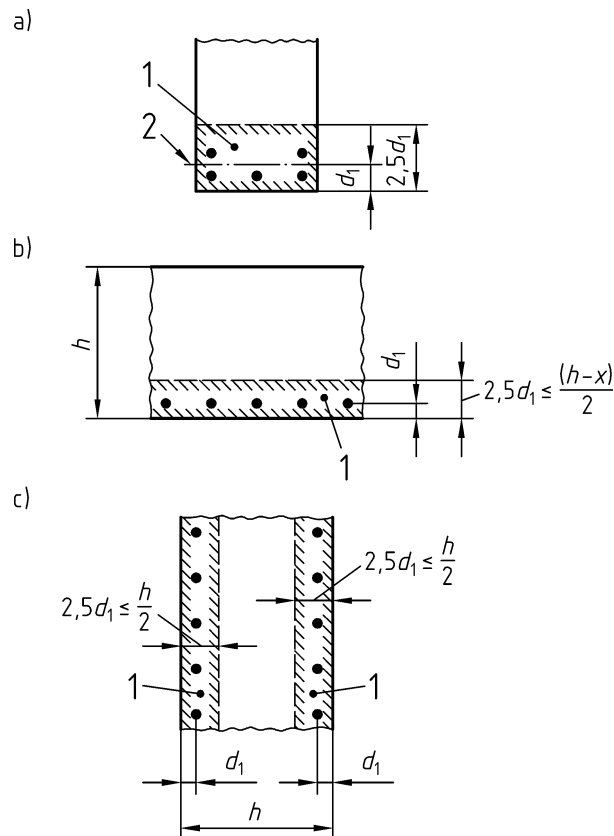
eff  $\varrho$  der effektive Bewehrungsgrad unter Berücksichtigung der unterschiedlichen Verbundfestigkeiten

$$\text{eff } \varrho = \frac{A_s + \xi_1^2 \cdot A_p}{A_{c, \text{eff}}} \quad (133)$$

$\varrho_{\text{tot}}$  der geometrische Bewehrungsgrad

$$\varrho_{\text{tot}} = \frac{A_s + A_p}{A_{c, \text{eff}}} \quad (134)$$

- $A_s$  die Querschnittsfläche der Betonbewehrung, siehe Legende zu Gleichung (127)  
 $A_p$  die Querschnittsfläche der Spannglieder, die im Wirkungsbereich  $A_{c, \text{eff}}$  der Bewehrung liegen  
 $A_{c, \text{eff}}$  der Wirkungsbereich der Bewehrung nach Bild 53  
 $\xi_1$  das Verhältnis der Verbundfestigkeiten nach Gleichung (130)  
 $f_{ct, \text{eff}}$  die wirksame Betonzugfestigkeit nach 11.2.2 (5)



### Legende

- a) Balken
- b) Platten ( $x$  ist die Höhe der Druckzone im Zustand I)
- c) Bauteil unter Zugbeanspruchung
- 1 Wirkungsbereich der Bewehrung  $A_{c, \text{eff}}$
- 2 Schwerachse der Bewehrung

**Bild 53 — Wirkungsbereich  $A_{c, \text{eff}}$  der Bewehrung**

- (6) Werden in einem Querschnitt Stäbe mit unterschiedlichen Durchmessern verwendet, darf ein mittlerer Stabdurchmesser  $d_{sm} = \frac{\sum d_{s,i}^2}{\sum d_{s,i}}$  angesetzt werden.
- (7) Bei Stabbündeln ist anstelle des Stabdurchmessers der Einzelstäbe der Vergleichsdurchmesser des Stabbündels nach 12.9 (2) anzusetzen.
- (8) Bei Betonstahlmatten mit Doppelstäben darf der Durchmesser eines Einzelstabes angesetzt werden.
- (9) Die Begrenzung der Schubrissbreite darf ohne weiteren Nachweis als sichergestellt angenommen werden, wenn die Bewehrungsrichtlinien nach 13.2.3 und 13.3.3 eingehalten sind.

### 11.2.4 Berechnung der Rissbreite

(1) Die Begrenzung der Rissbreite darf auch durch eine direkte Berechnung nachgewiesen werden. Für den Rechenwert der Rissbreite  $w_k$  gilt:

$$w_k = s_{r, \max} \cdot (\varepsilon_{sm} - \varepsilon_{cm}) \quad (135)$$

Dabei ist

$w_k$  der Rechenwert der Rissbreite

$s_{r, \max}$  der maximale Rissabstand bei abgeschlossenem Rissbild

$\varepsilon_{sm}$  die mittlere Dehnung der Bewehrung unter der maßgebenden Einwirkungskombination unter Berücksichtigung der Mitwirkung des Betons auf Zug zwischen den Rissen

$\varepsilon_{cm}$  die mittlere Dehnung des Betons zwischen den Rissen

(2) Die Differenz der mittleren Dehnungen von Beton und Betonstahl darf wie folgt berechnet werden:

$$\varepsilon_{sm} - \varepsilon_{cm} = \frac{\sigma_s - 0,4 \cdot \frac{f_{ct, \text{eff}}}{\text{eff}\rho} \cdot (1 + \alpha_e \cdot \text{eff}\rho)}{E_s} \geq 0,6 \frac{\sigma_s}{E_s} \quad (136)$$

Dabei ist

$\alpha_e$  das Verhältnis der Elastizitätsmoduln

$$\alpha_e = E_s / E_{cm}$$

$\text{eff}\rho$  der effektive Bewehrungsgrad nach Gleichung (133)

$f_{ct, \text{eff}}$  die wirksame Betonzugfestigkeit nach 11.2.2 (5)

$\sigma_s$  die Betonstahlspannung im Riss. Bei Bauteilen mit Vorspannung im Verbund ist 11.2.3 (5) zu berücksichtigen

(3) Bei Bauteilen, die nur im Bauteil selbst hervorgerufenem Zwang unterworfen sind (z. B. infolge Abfließen der Hydratationswärme) darf  $(\varepsilon_{sm} - \varepsilon_{cm})$  unter Ansatz von  $\sigma_s = \sigma_{sr}$  ermittelt werden. Dabei ist  $\sigma_{sr}$  diejenige Spannung in der Zugbewehrung, die auf der Grundlage eines gerissenen Querschnitts für eine Einwirkungskombination berechnet wird, die zur Erstrissbildung führt.

(4) Der maximale Rissabstand darf nach Gleichung (137) berechnet werden:

$$s_{r, \max} = \frac{d_s}{3,6 \text{eff}\rho} \leq \frac{\sigma_s \cdot d_s}{3,6 f_{ct, \text{eff}}} \quad (137)$$

Dabei ist

$\text{eff}\rho$  der effektive Bewehrungsgrad nach Gleichung (133)

$d_s$  der Stabdurchmesser des Betonstahls. Werden in einem Querschnitt Stäbe mit unterschiedlichen Durchmesser, Stabbündel oder Doppelstäbe verwendet, gelten 11.2.3 (6), (7) und (8)

Bei Mattenbewehrung muss der Rissabstand nicht größer als die doppelte Maschenweite angenommen werden.

(5) Wenn Risse in orthogonal bewehrten Bauteilen einen Winkel von mehr als  $15^\circ$  zur Richtung der zugeordneten Bewehrung bilden, darf der Rissabstand nach Gleichung (138) berechnet werden:

$$s_{r, \max} = \frac{1}{\frac{\cos \theta}{s_{r, \max, x}} + \frac{\sin \theta}{s_{r, \max, y}}} \quad (138)$$

Dabei ist

$\theta$  der Winkel zwischen der Bewehrung in x-Richtung und der Richtung der Hauptzugspannung

$s_{r, \max, x}, s_{r, \max, y}$  der jeweilige maximale Rissabstand in x- und y-Richtung nach Gleichung (137)

(6) Wenn die Rissbreiten für Beanspruchungen berechnet werden, bei denen die Zugspannungen aus einer Kombination von Zwang und Lastbeanspruchung herrühren, dürfen die Gleichungen dieses Abschnitts verwendet werden. Jedoch sollte die Dehnung infolge Lastbeanspruchung, die auf Grundlage eines gerissenen Querschnitts berechnet wurde, um den Wert infolge Zwang erhöht werden.

(7) In Fällen, in denen die resultierende Zwangdehnung 0,8‰ nicht überschreitet, ist es im Allgemeinen ausreichend, die Rissbreite für den größeren Wert der Spannung aus Zwang- oder Lastbeanspruchung zu ermitteln.

(8) Wenn in Bereichen, für die der Nachweis der Rissbreitenbegrenzung geführt wird, keine oder keine ausreichende im Verbund liegende Bewehrung vorhanden ist, sollte ein oberer Grenzwert der Rissbreite festgelegt werden. In diesen Fällen darf der maximale Rissabstand gleich der doppelten Risstiefe gesetzt werden. Ein Beispiel hierfür sind Wände, bei denen die mit dem Abfließen der Hydratationswärme verbundene Verformung durch früher hergestellte Fundamente behindert wird. In diesem Fall darf  $s_{r, \max}$  gleich der zweifachen Wandhöhe gesetzt werden.

## 11.3 Begrenzung der Verformungen

### 11.3.1 Allgemeines

(1) Die Verformungen eines Bauteils oder eines Tragwerks dürfen weder die ordnungsgemäße Funktion noch das Erscheinungsbild des Bauteils selbst oder angrenzender Bauteile (z. B. leichte Trennwände, Verglasungen, Außenwandverkleidungen, haustechnische Anlagen) beeinträchtigen.

(2) Verformungen dürfen die ordnungsgemäße Funktion von Maschinen oder Geräten auf dem Tragwerk nicht beeinträchtigen. Dies wird in dieser Norm nicht behandelt.

(3) In diesem Abschnitt werden nur Verformungen in vertikaler Richtung von biegebeanspruchten Bauteilen behandelt. Dabei wird unterschieden in

- Durchhang: vertikale Bauteilverformung bezogen auf die Verbindungslinie der Unterstützungspunkte,
- Durchbiegung: vertikale Bauteilverformung bezogen auf die Systemlinie des Bauteils (z. B. bei Schalungsüberhöhungen bezogen auf die überhöhte Lage).

(4) Von Fall zu Fall kann es erforderlich sein, auch andere Verformungen außer Biegeverformungen zu betrachten, z. B. Schubverformungen, Verdrehungen und Teilverkürzungen von vertikalen Bauteilen; im Allgemeinen dürfen diese aber vernachlässigt werden.

(5) Die aus dynamischen Einwirkungen resultierenden Verformungen werden in dieser Norm nicht behandelt.

(6) Die Grenzen für die Verformung müssen unter Berücksichtigung der Art des Tragwerks, der Oberflächenausbildung angrenzender Bauteile sowie der Funktion des Tragwerks festgelegt werden. Sofern keine besonderen (erhöhten oder verminderten) Anforderungen vorliegen, gelten die nachfolgenden Richtwerte.

(7) Die folgenden Verformungsgrenzen stellen im Allgemeinen hinreichende Gebrauchseigenschaften von Bauwerken, wie z. B. Wohnbauten, Bürobauten, öffentlichen Bauten und Fabriken, sicher. Sofern besondere Verhältnisse die Verwendung der folgenden Richtwerte für ein bestimmtes Tragwerk einschränken, sind Grenzwerte mit dem Bauherren zu vereinbaren.

(8) Es darf angenommen werden, dass das Erscheinungsbild und die Gebrauchstauglichkeit eines Tragwerks nicht beeinträchtigt werden, wenn der Durchhang eines Balkens, einer Platte oder eines Kragbalkens unter der quasi-ständigen Einwirkungskombination  $1/250$  der Stützweite nicht überschreitet (bei Kragträgern ist für die Stützweite die 2,5fache Kraglänge anzusetzen). In Fällen, in denen der Durchhang weder die Gebrauchstauglichkeit beeinträchtigt noch besondere Anforderungen an das Erscheinungsbild gestellt werden, darf dieser Wert erhöht werden.

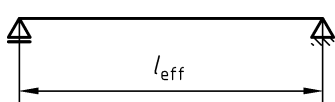
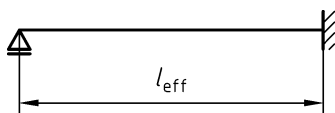
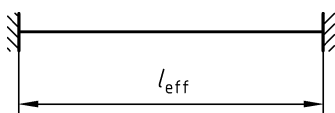
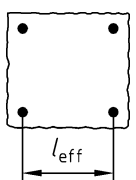
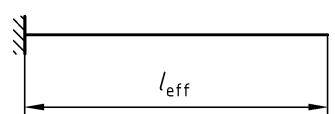
(9) Überhöhungen sind zulässig, um einen Teil oder den gesamten Durchhang auszugleichen. Die Schalungsüberhöhung sollte im Allgemeinen  $1/250$  der Stützweite nicht überschreiten.

(10) Schäden an angrenzenden Bauteilen (z. B. an leichten Trennwänden) können auftreten, wenn die nach dem Einbau dieser Bauteile auftretende Durchbiegung einschließlich der zeitabhängigen Verformungen übermäßig groß ist. Als Richtwert für die Begrenzung darf  $1/500$  der Stützweite angenommen werden. Diese Grenze darf heraufgesetzt werden, wenn das Bauteil, das Schaden nehmen kann, so bemessen ist, dass größere Durchbiegungen verträglich sind, oder wenn es in der Lage ist, größere Durchbiegungen ohne Schaden aufzunehmen.

### 11.3.2 Nachweis der Begrenzung der Verformungen von Stahlbetonbauteilen ohne direkte Berechnung

- (1) Der Nachweis der Begrenzung der Durchbiegung darf für Stahlbetonbauteile vereinfacht durch eine Begrenzung der Biegeschlankheit  $l_i/d$  geführt werden.
- (2) Für Deckenplatten des üblichen Hochbaus ist bei Normalbeton im Allgemeinen eine Begrenzung der Biegeschlankheit auf den Wert  $l_i/d \leq 35$  ausreichend. Für Deckenplatten des üblichen Hochbaus, an die höhere Anforderungen im Hinblick auf die Begrenzung der Durchbiegung gestellt werden (siehe auch 11.3.1 (10)), sollte jedoch die Biegeschlankheit nicht größer als  $l_i/d \leq 150/l_i$  (mit  $l_i$  in m) gewählt werden. Für Leichtbeton sind diese Grenzwerte mit dem Faktor  $\eta_E^{0,15}$  (mit  $\eta_E$  nach Tabelle 10) abzumindern.
- (3) Bei biegebeanspruchten Bauteilen, deren Durchbiegung vorwiegend durch die im betrachteten Feld wirkende Belastung verursacht wird, darf die Ersatzstützweite mit  $l_i = \alpha \cdot l_{\text{eff}}$  in Rechnung gestellt werden. Der Beiwert  $\alpha$  kann für häufig vorkommende Anwendungsfälle aus Tabelle 22 entnommen werden. Bei linienförmig gelagerten, rechteckigen Platten ist die kleinere der beiden Ersatzstützweiten  $l_{\text{eff}}$  maßgebend, bei punktförmig gelagerten Platten (Flachdecken) die größere.
- (4) Rand- und Innenfelder durchlaufender Bauteile dürfen nach Tabelle 22, Zeile 2 bzw. 3 behandelt werden, sofern das Verhältnis angrenzender effektiver Stützweiten im Bereich  $0,8 < l_{\text{eff},1}/l_{\text{eff},2} < 1,25$  liegt.

**Tabelle 22 — Beiwerte  $\alpha$  zur Bestimmung der Ersatzstützweite**

Spalte	1	2
Zeile	Statisches System	$\alpha = l_i/l_{\text{eff}}$
1		1,00
2		0,80
3		0,60
4		Innenfeld 0,70 <sup>a</sup> Randfeld 0,90 <sup>a</sup>
5		2,4

<sup>a</sup> Bei Platten mit Beton ab der Festigkeitsklasse C30/37 dürfen diese Werte um 0,1 abgemindert werden.



## 12 Allgemeine Bewehrungsregeln

### 12.1 Allgemeines

- (1) Die in diesem Abschnitt aufgeführten Festlegungen gelten für Betonstabstähle, Spannglieder und, sofern nicht anders geregelt, für Betonstahlmatten bei vorwiegend ruhenden und nicht vorwiegend ruhenden Einwirkungen. Die besonderen Regelungen für Stabbündel enthält 12.9. Betonstahlmatten mit Doppelstäben sind, sofern nicht anders geregelt, wie Stabbündel zu behandeln.
- (2) Die in den Grenzzuständen der Tragfähigkeit und in den Grenzzuständen der Gebrauchstauglichkeit erforderlichen Bewehrungen sind jeweils nach den Festlegungen dieses Abschnitts zu verankern und gegebenenfalls zu stoßen.
- (3) Stäbe mit  $d_s > 32$  mm dürfen nur in Bauteilen mit einer Mindestdicke von  $15 d_s$  verwendet werden.

### 12.2 Stababstände von Betonstählen

- (1) Der Stababstand muss mindestens so groß sein, dass der Beton eingebracht und ausreichend verdichtet werden kann sowie ein ausreichender Verbund zwischen Betonstahl und Beton sichergestellt ist.
- (2) Der lichte Abstand (horizontal und vertikal) zwischen parallelen Einzelstäben oder Lagen paralleler Stäbe darf nicht unter 20 mm liegen, muss jedoch mindestens gleich dem Durchmesser des größten Stabes sein. Sofern nicht besondere Maßnahmen zum Einbringen und Verdichten des Betons getroffen werden, dürfen diese Abstände bei einem Größtkorndurchmesser der Gesteinskörnung  $d_g > 16$  mm nicht kleiner als  $d_g + 5$  mm sein.
- (3) *Bei einer Stabanordnung in getrennten horizontalen Lagen sollten die Stäbe jeder einzelnen Lage vertikal übereinander liegen, und es sollten ausreichende Lücken zum Einbringen eines Innenrüttlers vorgesehen werden.*
- (4) Für übergreifende Stäbe ist 12.8.1 zu beachten.

### 12.3 Biegen von Betonstählen

#### 12.3.1 Biegerollendurchmesser

- (1) Der kleinste Biegerollendurchmesser eines Stabes muss so festgelegt werden, dass Betonabplatzungen oder Zerstörungen des Betongefüges im Bereich der Biegung und Risse im Bewehrungsstab infolge des Biegens ausgeschlossen werden.
- (2) Die Mindestwerte der Biegerollendurchmesser nach Tabelle 23 sind einzuhalten. Bei Leichtbeton sind die Werte um 30 % zu vergrößern.

**Tabelle 23 — Mindestwerte der Biegerollendurchmesser  $d_{br}$**

Spalte		1	2	3	4	5
Zeile		Haken, Winkelhaken, Schlaufen		Schrägstäbe oder andere gebogene Stäbe		
		Stabdurchmesser		Mindestwerte der Betondeckung rechtwinklig zur Biegeebene		
		$d_s < 20$ mm	$d_s \geq 20$ mm	$> 100$ mm $> 7 d_s$	$> 50$ mm $> 3 d_s$	$\leq 50$ mm $\leq 3 d_s$
1	Mindestwerte der Biegerollendurchmesser $d_{br}$	$4 d_s$	$7 d_s$	$10 d_s$	$15 d_s$	$20 d_s$

- (3) Für Betonstahlmatten und geschweißte Bewehrung, die nach dem Schweißen gebogen werden, gelten zusätzlich die Mindestwerte der Biegerollendurchmesser nach Tabelle 24.

**Tabelle 24 — Mindestwerte der Biegerollendurchmesser  $d_{br}$  für nach dem Schweißen gebogene Bewehrung**

Spalte		1	2	3	4
Zeile		vorwiegend ruhende Einwirkungen		nicht vorwiegend ruhende Einwirkungen	
		Schweißung außerhalb des Biegebereiches	Schweißung innerhalb des Biegebereiches	Schweißung auf der Außenseite der Biegung	Schweißung auf der Innenseite der Biegung
1	für $a < 4d_s$	$20d_s$	$20d_s$	$100d_s$	$500d_s$
2	für $a \geq 4d_s$	Werte nach Tabelle 23			
<i>a</i> Abstand zwischen Biegeanfang und Schweißstelle					

### 12.3.2 Hin- und Zurückbiegen

(1) Das Hin- und Zurückbiegen von Betonstählen stellt für den Betonstahl und den umgebenden Beton eine zusätzliche Beanspruchung dar.

(2) Beim Kaltbiegen von Betonstählen sind die folgenden Bedingungen einzuhalten:

- Der Stabdurchmesser darf höchstens  $d_s = 14 \text{ mm}$  sein. Ein Mehrfachbiegen, bei dem das Hin- und Zurückbiegen an derselben Stelle wiederholt wird, ist nicht zulässig.
- Bei vorwiegend ruhenden Einwirkungen muss der Biegerollendurchmesser beim Hinbiegen mindestens  $6d_s$  betragen. Die Bewehrung darf im Grenzzustand der Tragfähigkeit höchstens zu 80 % ausgenutzt werden.
- Bei nicht vorwiegend ruhender Belastung muss der Biegerollendurchmesser beim Hinbiegen mindestens  $15d_s$  betragen. Die Schwingbreite der Stahlspannung darf  $50 \text{ N/mm}^2$  nicht überschreiten.
- Verwahrkästen für Bewehrungsanschlüsse sind so auszubilden, dass sie weder die Tragfähigkeit des Betonquerschnitts noch den Korrosionsschutz der Bewehrung beeinträchtigen.
- Im Bereich der Rückbiegestelle ist die Querkraft auf  $0,6 V_{Rd, \max}$  (mit  $V_{Rd, \max}$  nach 10.3.4) zu begrenzen.

(3) Beim Warmhinbiegen und Warmzurückbiegen von Betonstählen sind die folgenden Bedingungen einzuhalten:

- Wird Betonstahl bei der Verarbeitung warm gebogen ( $\geq 500^\circ\text{C}$ ), so darf er nur mit einer rechnerischen Streckgrenze von  $220 \text{ N/mm}^2$  in Rechnung gestellt werden.
- Bei nicht vorwiegend ruhenden Einwirkungen darf die Schwingbreite der Stahlspannung  $50 \text{ N/mm}^2$  nicht überschreiten.

(4) Einzelheiten der technischen Ausführung sind z. B. im DBV-Merkblatt „Rückbiegen von Betonstahl und Anforderungen an Verwahrkästen“ enthalten.

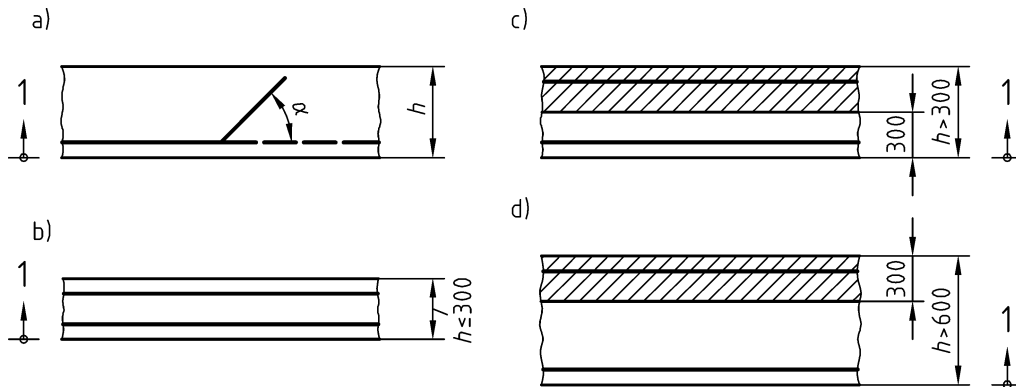
### 12.4 Verbundbedingungen

(1) Die Qualität des Verbunds hängt wesentlich von der Oberflächengestalt des Betonstahls, den Abmessungen des Bauteils sowie der Lage und dem Neigungswinkel der Bewehrung während des Betonierens ab.

(2) Die Verbundbedingungen sind als gut anzusehen für

- a) alle Stäbe mit einer Neigung  $\alpha$  von  $45^\circ$  bis  $90^\circ$  zur Waagerechten während des Betonierens (siehe Bild 54 a)),
- b) alle Stäbe mit einer Neigung  $\alpha$  von  $0^\circ$  bis  $45^\circ$  zur Waagerechten während des Betonierens, die
  - in Bauteile eingebaut sind, deren Dicke in Betonierichtung  $300 \text{ mm}$  nicht überschreitet (siehe Bild 54 b)),

- in Bauteile mit einer Dicke größer als 300 mm eingebaut sind und entweder höchstens 300 mm über der Unterkante des Frischbetons (siehe Bild 54 c)) oder mindestens 300 mm unter der Oberseite des Bauteils oder eines Betonierabschnittes liegen (siehe Bild 54 d)),
- c) liegend gefertigte stabförmige Bauteile (z. B. Stützen), die mit einem Außenrüttler verdichtet werden und deren äußere Querschnittsabmessungen 500 mm nicht überschreiten.
- (3) In allen anderen Fällen sind die Verbundbedingungen als mäßig anzusehen.
- (4) In Bauteilen, die im Gleitbauverfahren hergestellt werden, sind die Verbundbedingungen für alle Stäbe als mäßig anzusehen.



**Legende**

- a) und b) gute Verbundbedingungen für alle Stäbe
- c) und d) Stäbe im nichtschraffierten Bereich: gute Verbundbedingungen;  
Stäbe im schraffierten Bereich: mäßige Verbundbedingungen

1 Betonierrichtung

**Bild 54 — Verbundbedingungen**

**12.5 Bemessungswert der Verbundspannung**

(1) Der Grenzwert der aufnehmbaren Verbundspannung stellt sicher, dass im Grenzzustand der Tragfähigkeit ein ausreichender Sicherheitsabstand gegen das Versagen des Verbunds vorliegt und im Grenzzustand der Gebrauchstauglichkeit keine wesentliche Verschiebung zwischen Stahl und Beton auftritt.

(2) Für gute Verbundbedingungen sind die Bemessungswerte der Verbundspannung  $f_{bd}$  in Tabelle 25 angegeben. Die Werte in Tabelle 25 ergeben sich mit  $\gamma_c = 1,5$  aus:

$$f_{bd} = 2,25 \frac{f_{ctk; 0,05}}{\gamma_c} \tag{139}$$

Für mäßige Verbundbedingungen sind die Werte nach Tabelle 25 mit dem Faktor 0,7 zu multiplizieren.

(3) Bei Leichtbeton sind die Werte  $f_{bd}$  der Tabelle 25 mit dem Faktor  $\eta_1$  nach Tabelle 10 zu multiplizieren.

**Tabelle 25 — Bemessungswerte der Verbundspannung  $f_{bd}$  für Betonstahl bei guten Verbundbedingungen und  $d_s \leq 32$  mm**

Zeile	Spalte	1	2	3	4	5	6	7	8	9	10	11	12	13	14	15
		charakteristische Betondruckfestigkeit $f_{ck}$ in N/mm <sup>2</sup>														
		12	16	20	25	30	35	40	45	50	55	60	70	80	90	100
1	$f_{bd}$ N/mm <sup>2</sup>	1,6	2,0	2,3	2,7	3,0	3,4	3,7	4,0	4,3	4,4	4,5	4,7	4,8	4,9	4,9

(4) Bei Stabdurchmessern  $d_s > 32$  mm sind die Werte  $f_{bd}$  nach Tabelle 25 mit dem Faktor  $(132 - d_s)/100$  zu multiplizieren (mit  $d_s$  in mm). Bei Leichtbeton muss die Verwendung solcher Stäbe aufgrund von Erfahrungen oder Versuchsergebnissen gerechtfertigt sein. Die Werte  $f_{bd}$  nach Tabelle 25 sind dann mit dem Faktor  $\eta_1 (132 - d_s)/100$  zu multiplizieren ( $\eta_1$  nach Tabelle 10).

(5) Die Werte nach Tabelle 25 dürfen in den folgenden Fällen erhöht werden, wobei nur eine der beiden Möglichkeiten in Ansatz gebracht werden darf.

a) Ist ein Querdruck  $p$  rechtwinklig zur Bewehrungsebene vorhanden, ist eine Erhöhung mit dem Faktor  $1/(1 - 0,04p) \leq 1,5$  zulässig. Für  $p$  ist der mittlere Querdruck im Verankerungs- oder Übergreifungsbereich in  $\text{N}/\text{mm}^2$  einzusetzen.

b) Falls eine allseitige, durch Bewehrung gesicherte Betondeckung von mindestens  $10 d_s$  vorhanden ist, beträgt die zulässige Erhöhung 50%. Dies gilt nicht für Übergreifungsstöße mit einem Achsabstand der Stöße nach Bild 57 von  $s \leq 10 d_s$ .

(6) Die Werte nach Tabelle 25 sind um  $1/3$  abzumindern, wenn rechtwinklig zur Bewehrungsebene ein Querkzug vorhanden ist, der eine Rissbildung parallel zur Bewehrungsstabachse im Verankerungsbereich erwarten lässt.<sup>12)</sup> Wird bei vorwiegend ruhenden Einwirkungen die Breite der Risse parallel zu den Stäben auf  $w_k \leq 0,2$  mm begrenzt, darf auf diese Abminderung verzichtet werden.

## 12.6 Verankerung der Längsbewehrung

### 12.6.1 Allgemeines zu den Verankerungsarten

(1) Bewehrungsstäbe oder geschweißte Betonstahlmatten müssen so verankert sein, dass ihre Kräfte in den Beton eingeleitet werden und eine Längsrissbildung und ein Abplatzen des Betons im Verankerungsbereich ausgeschlossen sind. Die erforderliche Querbewehrung ist in 12.6.3 geregelt.

(2) Die zulässigen Verankerungsarten zeigt Tabelle 26.

(3) Für Druckbewehrungen sind Haken, Winkelhaken oder Schlaufen nicht zulässig.

(4) Stäbe mit  $d_s > 32$  mm müssen als gerade Stäbe oder mit Ankerkörpern verankert werden.

(5) Zur Einleitung konzentrierter Verankerungskräfte in den Beton siehe 13.9.

(6) Sofern rechnerisch nicht nachweisbar, sind Ankerkörper durch allgemeine bauaufsichtliche Zulassungen zu regeln.

### 12.6.2 Verankerungslänge

(1) Das Grundmaß der Verankerungslänge ist die gerade Verankerungslänge, die für die Verankerung der Stabkraft  $F_{sd} = A_s \cdot f_{yd}$  (mit  $f_{yd} = f_{yk}/\gamma_s$ ) bei Annahme einer über die Verankerungslänge und den Stabumfang konstanten Verbundspannung  $f_{bd}$  nach 12.5 erforderlich ist.

(2) Das Grundmaß der Verankerungslänge für die Verankerung eines Einzelstabes ist:

$$l_b = \frac{d_s}{4} \cdot \frac{f_{yd}}{f_{bd}} \quad (140)$$

(3) Die erforderliche Verankerungslänge darf berechnet werden aus:

$$l_{b, \text{net}} = \alpha_a \cdot l_b \cdot \frac{A_{s, \text{erf}}}{A_{s, \text{vorh}}} \geq l_{b, \text{min}} \quad (141)$$

<sup>12)</sup> Beispiele enthält DAfStb-Heft 525.

Dabei ist

$A_{s, \text{erf}}, A_{s, \text{vorh}}$  die rechnerisch erforderliche bzw. die vorhandene Querschnittsfläche der Bewehrung  
 $l_{b, \text{min}}$  der Mindestwert der Verankerungslänge:

$$l_{b, \text{min}} = 0,3\alpha_a \cdot l_b \geq 10 d_s \quad \text{für Verankerungen von Zugstäben}$$

$$l_{b, \text{min}} = 0,6l_b \geq 10 d_s \quad \text{für Verankerungen von Druckstäben}$$

$\alpha_a$  der Beiwert zur Berücksichtigung der Wirksamkeit der Verankerungsarten nach Tabelle 26

(4) Die für die Zugkraftdeckung erforderlichen Verankerungslängen von Betonstahl sind in 13.2.2 geregelt.

(5) Für die Verankerung von Spanngliedern im sofortigen Verbund gilt 8.7.6.

### 12.6.3 Erforderliche Querbewehrung

(1) Im Verankerungsbereich von Bewehrungsstäben müssen die infolge einer Sprengwirkung auftretenden örtlichen Querzugspannungen im Beton durch Querbewehrung aufgenommen werden.

(2) Die Anforderungen nach Absatz (1) gilt als erfüllt, wenn

- konstruktive Maßnahmen oder andere günstige Einflüsse (z. B. Querdruck) ein Spalten des Betons verhindern,
- die nach Abschnitt 13 mindestens erforderlichen Bügel (bei Balken oder Stützen) oder Querbewehrungen (bei Platten oder Wänden) angeordnet werden.

(3) Bei Stabdurchmessern  $d_s > 32 \text{ mm}$  ohne Querdruck im Verankerungsbereich ist eine zusätzliche Querbewehrung nach Bild 55 erforderlich. Sie darf nicht geringer sein als nachstehend festgelegt:

a) parallel zur Bauteiloberfläche:

$$A_{st} = n_1 \cdot 0,25 A_s \quad (142)$$

b) rechtwinklig zur Bauteiloberfläche:

$$A_{sv} = n_2 \cdot 0,25 A_s \quad (143)$$

Dabei ist

$A_s$  die Querschnittsfläche eines verankerten Stabes

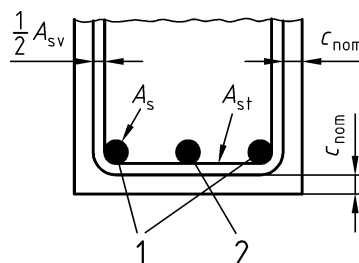
$n_1$  die Anzahl der Bewehrungslagen, die im gleichen Schnitt verankert werden

$n_2$  die Anzahl der Bewehrungsstäbe, die in jeder Lage verankert werden

Die Querbewehrung muss in Abständen, die näherungsweise dem fünffachen Stabdurchmesser der verankerten Bewehrung entsprechen, gleichmäßig über den Verankerungsbereich verteilt sein.<sup>13)</sup>

#### Legende

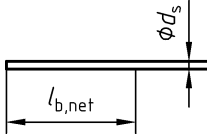
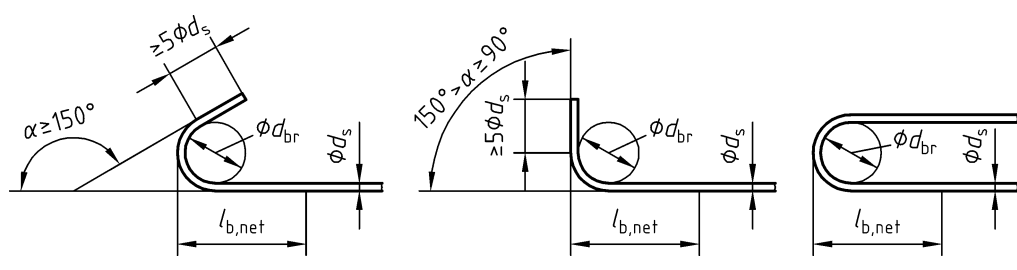
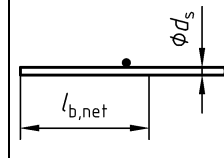
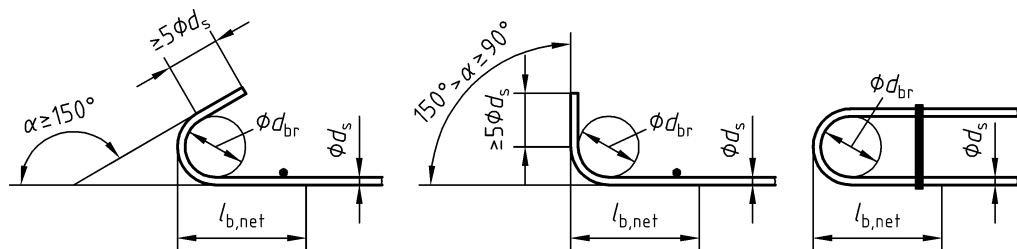
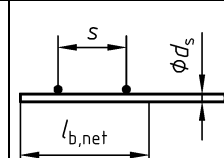
- 1 verankerte Bewehrungsstäbe
- 2 durchlaufender Bewehrungsstab



**Bild 55 — Zusatzbewehrung im Verankerungsbereich ohne Querdruck bei Stabdurchmessern  $d_s > 32 \text{ mm}$**

<sup>13)</sup> Weitere konstruktive Hinweise enthält DAfStb-Heft 525.

**Tabelle 26 — Zulässige Verankerungsarten von Betonstahl**

	1		2	3
	Art und Ausbildung der Verankerung		Beiwert $\alpha_a$	
			Zugstäbe <sup>a</sup>	Druckstäbe
1	a) Gerade Stabenden		1,0	1,0
2	b) Haken c) Winkelhaken d) Schlaufen		0,7 <sup>b</sup> (1,0)	—
3	e) Gerade Stabenden mit mindestens einem angeschweißten Stab innerhalb $l_{b,net}$		0,7	0,7
4	f) Haken g) Winkelhaken h) Schlaufen (Draufsicht)		0,5 (0,7)	—
mit jeweils mindestens einem angeschweißten Stab innerhalb $l_{b,net}$ vor dem Krümmungsbeginn				
5	i) Gerade Stabenden mit mindestens zwei angeschweißten Stäben innerhalb $l_{b,net}$ (Stababstand $s < 100$ mm und $\geq 5 d_s$ und $\geq 50$ mm) nur zulässig bei Einzelstäben mit $d_s \leq 16$ mm und bei Doppelstäben mit $d_s \leq 12$ mm		0,5	0,5

<sup>a</sup> Die in Spalte 2 in Klammern angegebenen Werte gelten, wenn im Krümmungsbereich rechtwinklig zur Krümmungsebene die Betondeckung weniger als  $3 d_s$  beträgt oder kein Querdruck oder keine enge Verbügelung vorhanden ist.

<sup>b</sup> Bei Schlaufenverankerungen mit Biegerollendurchmesser  $d_{br} \geq 15 d_s$  darf der Wert  $\alpha_a$  auf 0,5 reduziert werden.

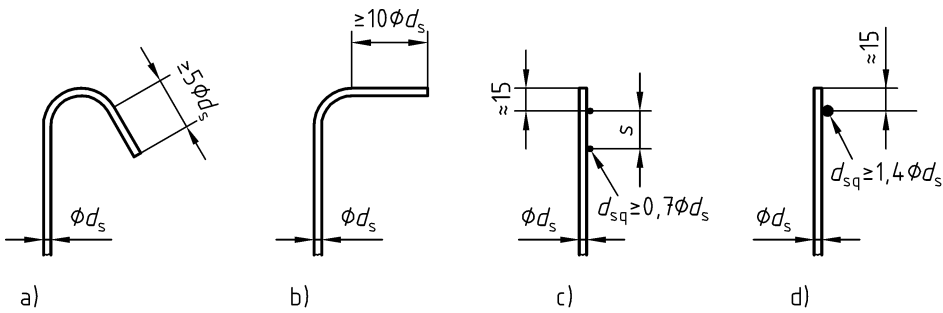
## 12.7 Verankerung von Bügeln und Querkraftbewehrung

- (1) Bügel und Querkraftbewehrungen müssen mit Hilfe von Haken oder Winkelhaken oder durch angeschweißte Querbewehrung nach Bild 56 a) bis Bild 56 d) verankert werden.
- (2) Die Verankerung muss in der Druckzone zwischen dem Schwerpunkt der Druckzonenfläche und dem Druckrand erfolgen; dies gilt im Allgemeinen als erfüllt, wenn die Querkraftbewehrung über die ganze Querschnittshöhe reicht. In der Zugzone müssen die Verankerungselemente möglichst nahe am Zugrand angeordnet werden. Bügel müssen die Zugbewehrung umfassen.
- (3) Eine Verankerung in der Druck- oder Zugzone mit angeschweißten Querstäben nach Bild 56 c) und Bild 56 d) ist nur zulässig, wenn durch eine ausreichende Betondeckung die Sicherheit gegenüber Abplatzen sichergestellt ist. Dies gilt als erfüllt, wenn die seitliche Betondeckung  $c_{\min}$  der Bügel im Verankerungsbereich mindestens  $3d_s$  ( $d_s$  Stabdurchmesser der Bügelbewehrung) und mindestens 50 mm beträgt, bei geringeren Betondeckungen ist die ausreichende Sicherheit durch Versuche nachzuweisen.
- (4) Bei Balken sind die Bügel in der Druckzone nach Bild 56 e) oder Bild 56 f), in der Zugzone nach Bild 56 g) oder Bild 56 h) zu schließen.
- (5) *Bei Plattenbalken dürfen die für die Querkrafttragfähigkeit erforderlichen Bügel im Bereich der Platte mittels durchgehender Querstäbe nach Bild 56 i) geschlossen werden, wenn der Bemessungswert der Querkraft  $V_{Ed}$  höchstens  $2/3$  der maximalen Querkrafttragfähigkeit  $V_{Rd, \max}$  nach 10.3.4 beträgt.*

## 12.8 Stöße

### 12.8.1 Allgemeines

- (1) Stöße sind durch mechanische Verbindungen oder Schweißen (direkte Stöße) oder indirekt durch Übergreifen der Betonstäbe (Übergreifungsstöße) auszubilden.
- (2) Die Ausbildung der Übergreifungsstöße muss so ausgeführt werden, dass:
  - die Kraftübertragung zwischen den gestoßenen Stäben sichergestellt ist,
  - im Bereich der Stöße keine Betonabplatzungen auftreten,
  - die Rissbreite am Stoßende die in 11.2 angegebenen Werte nicht übersteigt.
- (3) Übergreifungsstöße mit Stäben  $d_s > 32$  mm sind nur in Bauteilen zulässig, die überwiegend auf Biegung beansprucht werden.
- (4) *Übergreifungsstöße sollten möglichst versetzt angeordnet werden und Vollstöße (Anteil der ohne Längsversatz gestoßenen Stäbe am Querschnitt einer Bewehrungslage gleich 100 %) nicht in hochbeanspruchten Bereichen liegen.*
- (5) Bei einer Schnittgrößenermittlung nach 8.4 oder 8.5 sind Stöße in plastischen Zonen nicht gestattet.
- (6) Für die lichten Stababstände im Bereich des Übergreifungsstoßes und für den Längsversatz der Stöße gelten die Werte nach Bild 57. Übergreifungsstöße gelten als längsversetzt, wenn der Längsabstand der Stoßmitten mindestens der 1,3fachen Übergreifungslänge  $l_s$  nach Gleichung (144) entspricht.
- (7) Mechanische Stoßverbindungen sind durch allgemeine bauaufsichtliche Zulassungen geregelt.

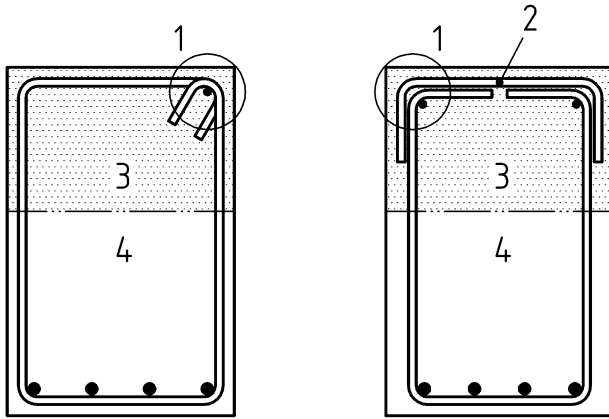


a)

b)

c)

d)

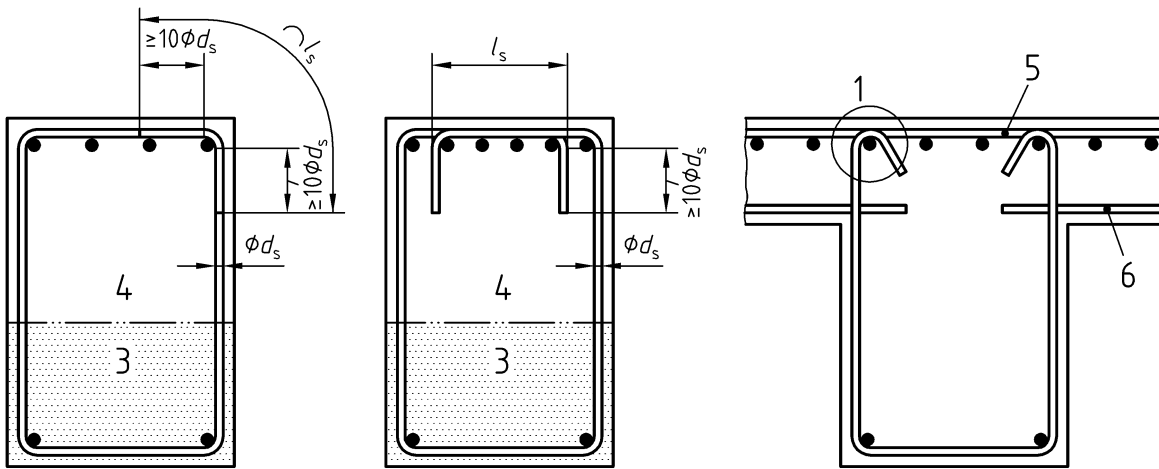


e)

f)

### Legende

- 1 Verankerungselemente nach a) und b)
- 2 Kappenbügel
- 3 Betondruckzone
- 4 Betonzugzone
- 5 obere Querbewehrung
- 6 untere Bewehrung der anschließenden Platte



g)

h)

i)

### Legende

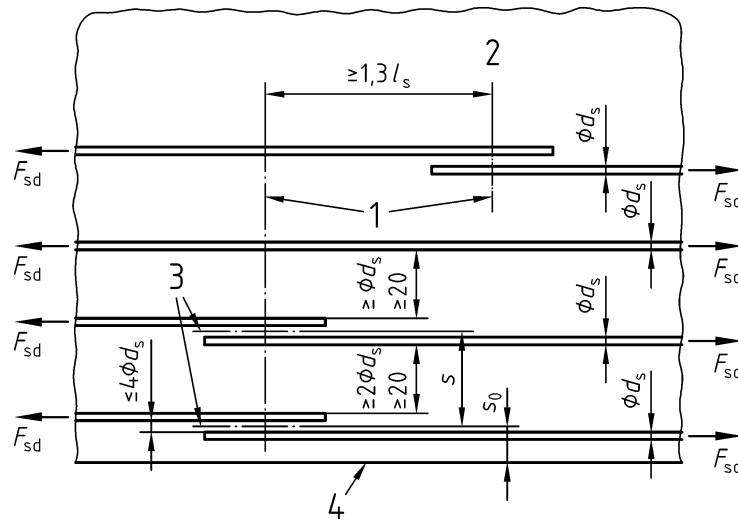
- a) Haken
- b) Winkelhaken
- c) gerade Stabenden mit zwei angeschweißten Querstäben
- d) gerade Stabenden mit einem angeschweißten Querstab
- e) und f) Schließen in der Druckzone
- g) und h) Schließen in der Zugzone ( $l_s$  nach 12.8.2 mit  $\alpha_a = 0,7$ , falls am Bügelende Haken oder Winkelhaken angeordnet werden)
- i) Schließen bei Plattenbalken im Bereich der Platte

**Bild 56 — Verankerung und Schließen von Bügeln**



**Legende**

- 1 Stoßmitten
- 2 Längsversatz zweier Stöße
- 3 Stoßachsen
- 4 Bauteilrand



**Bild 57 — Längsversatz und Querabstand der Bewehrungsstäbe im Stoßbereich**

**12.8.2 Übergreifungslänge**

(1) Die Übergreifungslänge darf folgenden Wert nicht unterschreiten:

$$l_s = l_{b,net} \cdot \alpha_1 \geq l_{s,min} \quad (144)$$

Dabei ist

$l_{b,net}$  die Verankerungslänge nach Gleichung (141)

$\alpha_1$  der Beiwert für die Übergreifungslänge nach Tabelle 27

$l_{s,min}$  der Mindestwert der Übergreifungslänge mit

$$l_{s,min} = 0,3\alpha_a \cdot \alpha_1 \cdot l_b \quad \begin{matrix} \geq 15 d_s, \\ \geq 200 \text{ mm} \end{matrix}$$

$\alpha_a$  der Beiwert nach Tabelle 26, Zeile 1 oder Zeile 2 (d. h. der Einfluss von angeschweißten Querstäben darf nicht angesetzt werden)

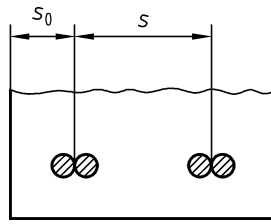
$l_b$  das Grundmaß der Verankerungslänge nach Gleichung (140)

(2) Ist der lichte Abstand der gestoßenen Stäbe größer als  $4 d_s$  (siehe Bild 57), so muss die Übergreifungslänge um die Differenz zwischen dem vorhandenen lichten Stababstand und  $4 d_s$  vergrößert werden.

**Tabelle 27 — Beiwerte  $\alpha_1$  für die Übergreifungslänge**

Zeile	Spalte		1	2
			Anteil der ohne Längsversatz gestoßenen Stäbe am Querschnitt einer Bewehrungslage	
			$\leq 30\%$	$> 30\%$
1	Zugstoß	$d_s < 16 \text{ mm}$	1,2 <sup>a</sup>	1,4 <sup>a</sup>
2		$d_s \geq 16 \text{ mm}$	1,4 <sup>a</sup>	2,0 <sup>b</sup>
3	Druckstoß		1,0	1,0

<sup>a</sup> Falls  $s \geq 10 d_s$  und  $s_0 \geq 5 d_s$  (siehe Bild 58) gilt  $\alpha_1 = 1,0$   
<sup>b</sup> Falls  $s \geq 10 d_s$  und  $s_0 \geq 5 d_s$  (siehe Bild 58) gilt  $\alpha_1 = 1,4$



**Bild 58 — Definition der Abstände  $s$  und  $s_0$  zur Ermittlung des Beiwertes  $\alpha_1$**

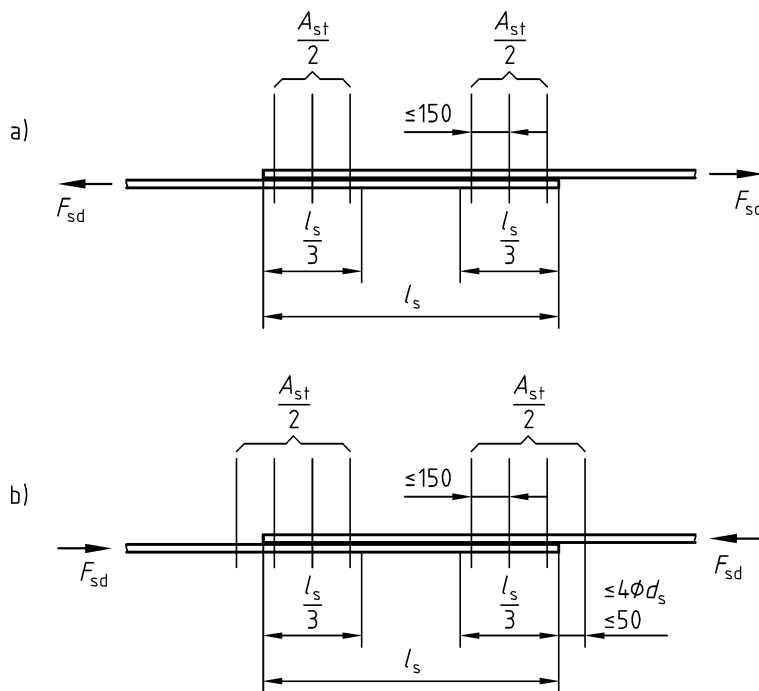
### 12.8.3 Querbewehrung

(1) Im Bereich von Übergreifungsstößen muss eine Querbewehrung entsprechend den nachfolgenden Anforderungen angeordnet werden:

- Die Querbewehrung muss eine Gesamtquerschnittsfläche haben, die nicht geringer ist als die Querschnittsfläche  $A_s$  eines gestoßenen Stabes ( $\Sigma A_{st} \geq 1,0 A_s$ , siehe Bild 59). Für Stöße nach 12.8.2 (2) gilt diese Regelung für jeden gestoßenen Stab.
- Die Querbewehrung muss bügelartig ausgebildet werden, falls  $s \leq 12 d_s$  ist (siehe Bild 58), anderenfalls darf sie gerade sein.
- Die Querbewehrung muss zwischen der Längsbewehrung und der Betonoberfläche angeordnet sein. Die Querbewehrung muss nach Bild 59 verteilt sein.

(2) Wenn der Durchmesser  $d_s$  der gestoßenen Stäbe kleiner als 16 mm bei Betonfestigkeitsklassen bis C55/67 und LC45/50 und kleiner als 12 mm bei Betonfestigkeitsklassen ab C60/75 und LC50/55 ist, oder wenn der Anteil gestoßener Stäbe in einem beliebigen Querschnitt höchstens als 20 % beträgt, dann darf die nach Abschnitt 13 vorhandene Querbewehrung als ausreichend angesehen werden.

(3) Für Beton ab der Festigkeitsklasse C70/85 sind die Übergreifungsstöße durch Bügel zu umschließen, wobei die Summe der Querschnittsfläche der vertikalen Schenkel gleich der erforderlichen Querschnittsfläche der gestoßenen Längsbewehrung sein muss.



#### Legende

- a) Zugstäbe
- b) Druckstäbe

**Bild 59 — Querbewehrung für Übergreifungsstöße**

(4) Werden bei einer mehrlagigen Bewehrung mehr als 50 % des Querschnitts der einzelnen Lagen in einem Schnitt gestoßen, sind die Übergreifungsstöße durch Bügel zu umschließen, die für die Kraft aller gestoßenen Stäbe zu bemessen sind.

#### 12.8.4 Stöße von Betonstahlmatten in zwei Ebenen

(1) Betonstahlmatten mit einem Bewehrungsquerschnitt  $a_s \leq 12 \text{ cm}^2/\text{m}$  dürfen stets ohne Längsversatz gestoßen werden. Vollstöße von Matten mit größerem Bewehrungsquerschnitt sind nur in der inneren Lage bei mehrlagiger Bewehrung zulässig, wobei der gestoßene Anteil nicht mehr als 60 % des erforderlichen Bewehrungsquerschnitts betragen darf.

(2) Die Übergreifungslänge (siehe Bild 60 a)) darf folgenden Wert nicht unterschreiten:

$$l_s = l_b \cdot \alpha_2 \cdot \frac{a_{s, \text{erf}}}{a_{s, \text{vorh}}} \geq l_{s, \text{min}} \quad (145)$$

Dabei ist

$l_b$  das Grundmaß der Verankerungslänge nach Gleichung (140)

$\alpha_2$  der Beiwert zur Berücksichtigung des Mattenquerschnitts mit

$$\alpha_2 = 0,4 + a_{s, \text{vorh}}/8 \quad \text{mit } 1,0 \leq \alpha_2 \leq 2,0$$

$a_{s, \text{erf}}$  die erforderliche Querschnittsfläche der Bewehrung im betrachteten Schnitt in  $\text{cm}^2/\text{m}$

$a_{s, \text{vorh}}$  die vorhandene Querschnittsfläche der Bewehrung im betrachteten Schnitt in  $\text{cm}^2/\text{m}$

$l_{s, \text{min}}$  der Mindestwert der Übergreifungslänge mit

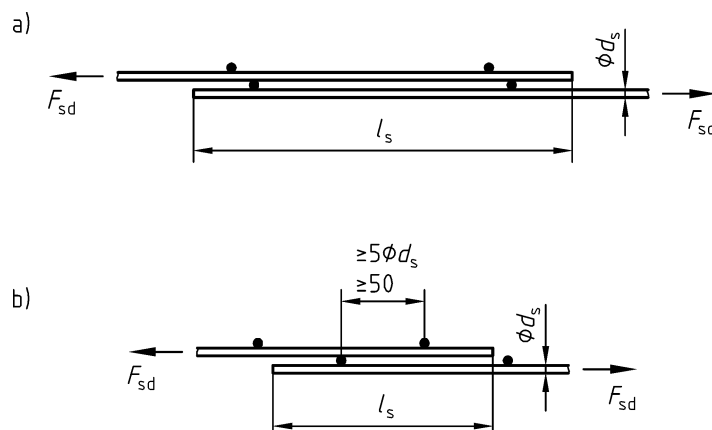
$$l_{s, \text{min}} = 0,3 \alpha_2 \cdot l_b \quad \begin{array}{l} \geq s_q; \\ \leq 200 \text{ mm} \end{array}$$

$s_q$  der Abstand der geschweißten Querstäbe

(3) Bei mehrlagiger Bewehrung sind die Stöße der einzelnen Lagen stets mindestens um die 1,3fache Übergreifungslänge in Längsrichtung gegeneinander zu versetzen.

(4) Eine zusätzliche Querbewehrung im Stoßbereich ist nicht erforderlich.

(5) Die Querbewehrung in Platten und Wänden nach 13.3.2 (2) bzw. 13.7.1 (5) darf an einer Stelle gestoßen werden. Die Mindestwerte der Übergreifungslänge sind in Tabelle 28 angegeben, wobei innerhalb  $l_s$  mindestens zwei Stäbe der Längsbewehrung nach Bild 60 b) vorhanden sein müssen.



#### Legende

a) Zwei-Ebenen-Stoß von Betonstahlmatten

b) Übergreifungsstoß der Querbewehrung

**Bild 60 — Beispiel für Übergreifungsstöße von geschweißten Betonstahlmatten**

**Tabelle 28 — Mindestübergreifungslängen der Querstäbe**

Zeile	Spalte	1	2	3	4
		Stabdurchmesser der Querstäbe			
		$d_s \leq 6 \text{ mm}$	$d_s > 6 \text{ mm}$ $\leq 8,5 \text{ mm}$	$d_s > 8,5 \text{ mm}$ $\leq 12 \text{ mm}$	$d_s > 12 \text{ mm}$
1	Mindestübergreifungslängen der Querstäbe	$\geq s_1$ $\geq 150 \text{ mm}$	$\geq s_1$ $\geq 250 \text{ mm}$	$\geq s_1$ $\geq 350 \text{ mm}$	$\geq s_1$ $\geq 500 \text{ mm}$
$s_1$ Stababstand der Längsstäbe					

## 12.9 Stabbündel

(1) Stabbündel bestehen aus zwei oder drei Einzelstäben mit  $d_s \leq 28 \text{ mm}$ , die sich berühren und die bei der Montage und dem Betonieren durch geeignete Maßnahmen zusammengehalten werden.

(2) Wird nachfolgend nichts anderes bestimmt, gelten 12.1 bis 12.8 unverändert, sofern bei allen Nachweisen, bei denen der Stabdurchmesser eingeht, anstelle des Einzelstabdurchmessers  $d_s$  der Vergleichsdurchmesser  $d_{sV}$  eingesetzt wird. Der Vergleichsdurchmesser  $d_{sV}$  ist der Durchmesser eines mit dem Bündel flächengleichen Einzelstabes und ergibt sich für ein Bündel aus  $n$  Einzelstäben gleichen Durchmessers  $d_s$  zu

$$d_{sV} = d_s \cdot \sqrt{n} \quad (146)$$

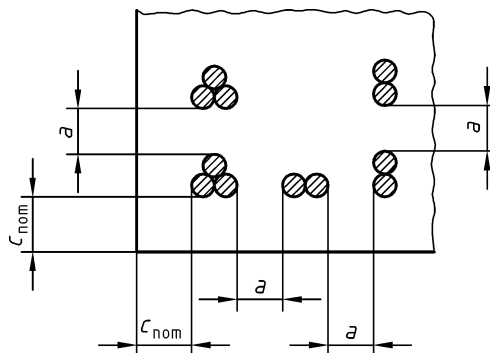
(3) Der Vergleichsdurchmesser darf in Bauteilen mit überwiegendem Zug (Dehnungsnulldlinie außerhalb des Querschnitts) den Wert  $d_{sV} = 36 \text{ mm}$  nicht überschreiten.

(4) Ab der Betonfestigkeitsklasse C70/85 ist der Vergleichsdurchmesser auf  $d_{sV} = 28 \text{ mm}$  zu begrenzen, sofern keine genaueren Untersuchungsergebnisse vorliegen.

(5) Für die Anordnung der Stäbe im Bündel sowie die Mindestmaße für Betondeckung und lichte Abstände der Stabbündel gilt Bild 61. Für das Nennmaß der Betondeckung gelten die Regeln in 6.3.

### Legende

$a \geq d_{sV}$   
 $a \geq 20 \text{ mm}$ ; im Übrigen  
gilt 12.2.(2)



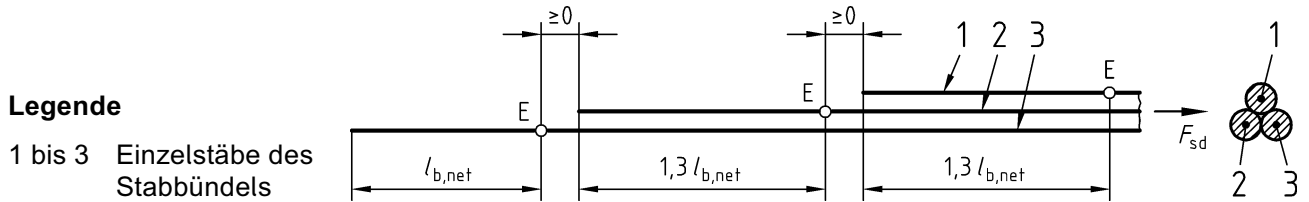
**Bild 61 — Anordnung, Mindestabstände und Mindestbetondeckung bei Stabbündeln**

(6) Bei der Verankerung von Stabbündeln sind die Enden der Einzelstäbe gegeneinander zu versetzen (siehe Bild 62 und Bild 63). Ausgenommen sind hiervon zugbeanspruchte Stabbündel, die unabhängig von  $d_{sV}$ , über direkten End- und Zwischenauflagern enden dürfen und zugbeanspruchte Stabbündel mit  $d_{sV} \leq 28 \text{ mm}$ , die auch vor den Auflagern ohne Längsversatz der Einzelstäbe an einer Stelle enden dürfen.

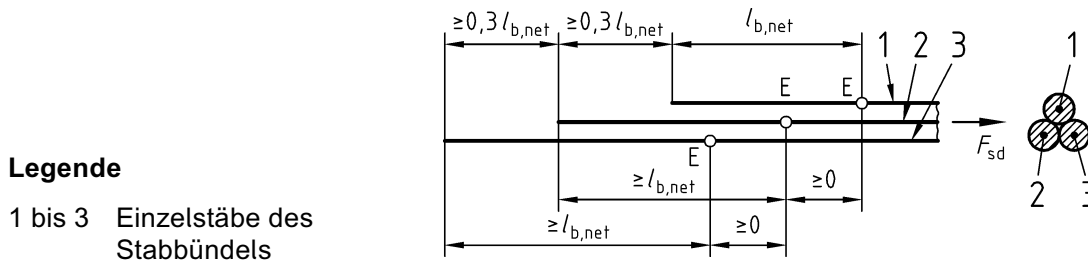
(7) Bei einer Verankerung der Stäbe nach Bild 62 ist für die Berechnung der Verankerungslänge der Durchmesser des Einzelstabes  $d_s$  einzusetzen.

(8) Bei einer Verankerung der Stäbe nach Bild 63 ist für die Berechnung der Verankerungslänge der Vergleichsdurchmesser  $d_{sV}$  einzusetzen.

(9) Bei druckbeanspruchten Stabbündeln dürfen alle Stäbe an einer Stelle enden. Ab einem Vergleichsdurchmesser  $d_{sV} > 28$  mm sind im Bereich der Bündelenden mindestens vier Bügel mit  $d_s = 12$  mm anzuordnen, sofern der Spitzendruck nicht durch andere Maßnahmen (z. B. Anordnung der Stabenden innerhalb einer Deckenscheibe) aufgenommen wird; in diesem Fall genügt es, einen Bügel außerhalb des Verankerungsbereichs anzuordnen.



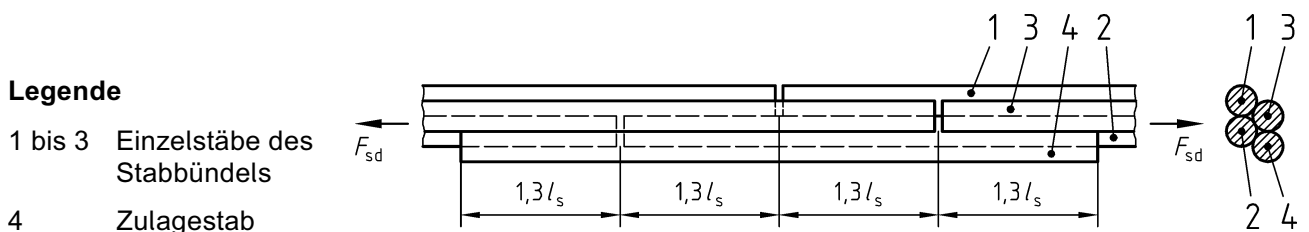
**Bild 62 — Verankerung von Stabbündeln bei auseinandergezogenen rechnerischen Endpunkten E**



**Bild 63 — Verankerung von Stabbündeln bei dicht beieinander liegenden rechnerischen Endpunkten E**

(10) Die Übergreifungslänge  $l_s$  ist nach 12.8.2 zu ermitteln. Stabbündel aus zwei Stäben mit  $d_{sV} \leq 28$  mm dürfen ohne Längsversatz der Einzelstäbe gestoßen werden; für die Berechnung von  $l_s$  ist dann  $d_{sV}$  zugrunde zu legen.

(11) Bei Stabbündeln aus zwei Stäben mit  $d_{sV} > 28$  mm und bei Stabbündeln aus drei Stäben sind die Einzelstäbe stets um mindestens  $1,3 l_s$  in Längsrichtung versetzt zu stoßen (siehe Bild 64), wobei jedoch in jedem Schnitt eines gestoßenen Bündels höchstens vier Stäbe vorhanden sein dürfen; für die Berechnung von  $l_s$  ist dann der Durchmesser des Einzelstabes einzusetzen.



**Bild 64 — Zulage eines Stabes bei einem Bündel aus drei Stäben für einen zugbeanspruchten Übergreifungsstoß**

(12) Bei Leichtbeton sollten Stabbündel nur dann Verwendung finden, wenn ihr Einsatz aufgrund von Erfahrungen oder Versuchsergebnissen gerechtfertigt ist. Der Durchmesser eines Einzelstabes darf hierbei 20 mm nicht überschreiten.

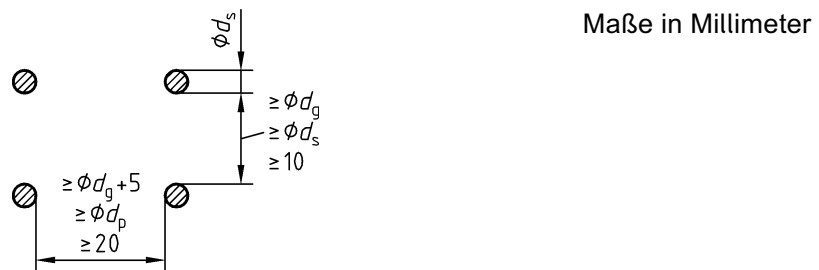
## 12.10 Spannglieder

### 12.10.1 Allgemeines

- (1) Die nachfolgenden Regeln gelten, sofern in den allgemeinen bauaufsichtlichen Zulassungen keine anderen Werte gefordert werden.
- (2) Die Abstände der Spannglieder müssen so festgelegt werden, dass das Einbringen und Verdichten des Betons einwandfrei möglich sind.
- (3) Zwischen im Verbund liegenden Spanngliedern und verzinkten Einbauteilen oder verzinkter Bewehrung müssen mindestens 20 mm Beton vorhanden sein; außerdem darf keine metallische Verbindung bestehen.

### 12.10.2 Spannglieder im sofortigen Verbund

- (1) Für Vorspannung mit sofortigem Verbund ist die Verwendung von glatten Drähten nicht zulässig.
- (2) Der horizontale und vertikale lichte Mindestabstand einzelner Spannglieder ist in Bild 65 dargestellt.



**Bild 65 — Lichter Mindestabstand für Spannglieder im sofortigen Verbund**

- (3) Eine Bündelung von Spanngliedern ist in Bereichen außerhalb der Verankerungszone zulässig, wenn das Einbringen und Verdichten des Betons einwandfrei möglich ist.
- (4) Spannglieder aus gezogenen Drähten oder Litzen dürfen nach dem Spannen umgelenkt werden oder im umgelenkten Zustand vorgespannt werden, wenn sie dabei im Bereich der Krümmung keine Bewegung erfahren und das Verhältnis aus Biegeradius und Spannglieddurchmesser mindestens 15 beträgt.
- (5) Im Verankerungsbereich ist eine enge Querbewehrung nach 13.9 zur Aufnahme der aus den Verankerungskräften hervorgerufenen Spaltzugkräfte anzuordnen. Darauf darf bei einfachen Fällen (z. B. Spannbetonhohlplatten) verzichtet werden, wenn die Spaltzugspannung den Wert  $f_{ctk; 0,05}/\gamma_c$  (mit  $\gamma_c$  für unbewehrten Beton nach 5.3.3 (8)) nicht überschreitet.
- (6) Für die Verankerung von Spanngliedern im sofortigen Verbund gilt 8.7.6.

### 12.10.3 Spannglieder im nachträglichen Verbund

Der lichte Abstand zwischen den Hüllrohren muss mindestens das 0,8fache des äußeren Hüllrohrdurchmessers, jedoch nicht weniger als 40 mm horizontal und 50 mm vertikal betragen, wobei die Absolutmaße auch für rechteckige Hüllrohre gelten.

### 12.10.4 Spannglieder ohne Verbund

- (1) Der Abstand extern geführter Spannglieder wird durch Austauschbarkeit und Inspizierbarkeit bestimmt. Für intern geführte Spannglieder gilt 12.10.3.
- (2) Eine Bündelung interner Spannglieder ist in Bereichen außerhalb der Verankerungszonen zulässig, wenn das Einbringen und Verdichten des Betons einwandfrei möglich und die Aufnahme der Umlenkkräfte sichergestellt ist.

(3) Die folgenden Mindestkrümmungsradien von Monolitzen sollten eingehalten werden:

- für Monolitzen mit dem Durchmesser 13 mm: 1,70 m;
- für Monolitzen mit dem Durchmesser 15 mm: 2,50 m.

(4) Verankerungs- und Umlenkstellen externer Spannglieder sollten so ausgebildet werden, dass sie ein Auswechseln des Spannglieds ohne Beschädigung von Tragwerksteilen erlauben, sofern dies nicht ausdrücklich anders festgelegt wurde.

(5) Kritische Querschwingungen extern geführter Spannglieder infolge von Nutzlasten, Wind oder anderer Ursachen sind durch geeignete Maßnahmen auszuschließen.

(6) Planmäßige Umlenkungen eines Spannglieds bis zu einem Winkel von 0,0175 rad sind ohne Umlenksättel ausführbar, sofern dies in der allgemeinen bauaufsichtlichen Zulassung des Spannverfahrens nicht ausgeschlossen ist.

(7) Bei Platten mit  $h \leq 450$  mm bei Vorspannung mit Monolitzen und vorhandener fixierter oberer und unterer Betonstahlbewehrungslage ist es ausreichend, die Monolitzen jeweils an mindestens zwei Stellen mit einer der Betonstahlbewehrungslagen in geeigneter Weise zu verbinden, wenn für den Abstand  $a$

- zwischen den Fixierungen im Stützbereich  $300 \text{ mm} \leq a \leq 1000 \text{ mm}$ ,
- zwischen der Spanngliedverankerung und der Verbindung mit der oberen Betonstahlbewehrungslage  $a \leq 1500 \text{ mm}$ ,
- zwischen der Spanngliedverankerung und der Verbindung mit der unteren Betonstahlbewehrungslage oder zwischen den Verbindungen mit der unteren und der oberen Betonstahlbewehrungslage  $a \leq 3000 \text{ mm}$

eingehalten werden und in diesen Bereichen die Plattenunterseite oder Plattenoberseite eben ist.

### 12.10.5 Spanngliedkopplungen

(1) Spanngliedkopplungen müssen so angeordnet werden, dass die Tragfähigkeit des Bauteils nicht beeinträchtigt wird und dass bei unverschieblichen Kopplungen die Zwischenverankerungen im Bauzustand ordnungsgemäß vorgenommen werden können.

(2) Im Allgemeinen sollten Kopplungen in Bereichen außerhalb von Zwischenauflagern, möglichst in Bereichen geringer Beanspruchung liegen.

(3) Eine Kopplung von mehr als 70 % der Spannglieder in einem Querschnitt sollte bei nicht vorwiegend ruhenden Einwirkungen vermieden werden.

## 13 Konstruktionsregeln

### 13.1 Überwiegend biegebeanspruchte Bauteile

#### 13.1.1 Mindestbewehrung und Höchstbewehrung

(1) Die Mindestbewehrung zur Sicherstellung eines duktilen Bauteilverhaltens nach 5.3.2 ist für das Rissmoment (bei Vorspannung ohne Anrechnung der Vorspannkraft) mit dem Mittelwert der Zugfestigkeit des Betons  $f_{ctm}$  nach Tabelle 9 und Tabelle 10 und einer Stahlspannung  $\sigma_s = f_{yk}$  zu berechnen.

(2) Auf die Mindestbewehrung nach Absatz (1) darf bei Spannbetonbauteilen ein Drittel der Querschnittsfläche der im Verbund liegenden Spannglieder angerechnet werden, wenn mindestens zwei Spannglieder vorhanden sind. Es dürfen nur Spannglieder angerechnet werden, die nicht mehr als  $0,2h$  oder 250 mm (der kleinere Wert ist maßgebend) von der Betonstahlbewehrung entfernt liegen. Dabei ist die anrechenbare Spannung im Spannstahl auf  $f_{yk}$  des Betonstahls begrenzt.

(3) Die Mindestbewehrung ist gleichmäßig über die Breite sowie anteilmäßig über die Höhe der Zugzone zu verteilen. Die im Feld erforderliche untere Mindestbewehrung muss zur Verbesserung der Duktilität unabhängig von den Regelungen zur Zugkraftdeckung zwischen den Endauflagern durchlaufen. Hochgeführte Spannglieder und Bewehrung dürfen nicht berücksichtigt werden. Über Innenaufslagern ist die obere Mindestbewehrung in beiden anschließenden Feldern über eine Länge von mindestens einem Viertel der Stützweite einzulegen. Bei Kragarmen muss sie über die gesamte

Kragarmlänge durchlaufen. Die Mindestbewehrung ist am Endauflager und am Innenaflager mit der Mindestverankerungslänge nach 13.2.2 zu verankern. Stöße sind für die volle Zugkraft auszubilden.

(4) Die Querschnittsfläche der Bewehrung eines Querschnitts darf auch im Bereich von Übergreifungsstößen den Höchstwert  $0,08 A_c$  nicht überschreiten.

(5) Bei hochbewehrten Balken sollten bei Überschreitung der Verhältnisse  $x/d$  nach 8.2 (3), sofern keine andere Umschnürwirkung in der Biegedruckzone vorhanden ist, als Mindestbewehrung Bügel mit  $d_s \geq 10 \text{ mm}$  und  $s_{\text{max}}$  nach Tabelle 31, Zeile 3 zur Umschnürung der Biegedruckzone angeordnet werden.

### 13.1.2 Oberflächenbewehrung bei vorgespannten Bauteilen

(1) Bei Bauteilen mit Vorspannung ist stets eine Oberflächenbewehrung nach Tabelle 30 anzuordnen. Für die Grundwerte  $\rho$  sind dabei die Werte aus Tabelle 29 einzusetzen.

(2) Bei Vorspannung im sofortigem Verbund dürfen diejenigen Spannglieder vollflächig auf die Oberflächenbewehrung angerechnet werden, die im Bereich der zweifachen Betondeckung der Oberflächenbewehrung aus Betonstahl nach 6.3 liegen.

(3) Die Oberflächenbewehrung ist in der Zug- und Druckzone von Platten in Form von Bewehrungsnetzen anzuordnen, die aus zwei sich annähernd rechtwinklig kreuzenden Bewehrungslagen mit der jeweils nach Tabelle 30 erforderlichen Querschnittsfläche bestehen. Dabei darf der Stababstand 200 mm nicht überschreiten.

(4) In Bauteilen, die den Umgebungsbedingungen der Expositionsklasse XC1 ausgesetzt sind, darf die Oberflächenbewehrung am äußeren Rand der Druckzone nach Tabelle 30, Zeile 2, Spalte 1 entfallen.

(5) Für Platten aus Fertigteilen mit einer kleineren Breite als 1,20 m darf die Oberflächenbewehrung in Querrichtung nach Tabelle 30, Zeile 2 entfallen.

(6) Eine Addition der aus den Anforderungen nach Absatz (1), 13.1.1 und 11.2.2 resultierenden Längsbewehrung ist nicht erforderlich. In jedem Querschnitt ist der jeweils größere Wert maßgebend.

(7) Die Oberflächenbewehrung nach Absatz (1) darf bei allen Nachweisen in den Grenzzuständen der Tragfähigkeit und der Gebrauchstauglichkeit auf die jeweils erforderliche Bewehrung angerechnet werden, wenn sie die Regelungen für die Anordnung und Verankerung dieser Bewehrungen erfüllt.

**Tabelle 29 — Grundwerte  $\rho$  für die Ermittlung der Mindestbewehrung**

Spalte	1	2	3	4	5	6	7	8	9	10	11	12	13	14	15	
Zeile	charakteristische Betondruckfestigkeit $f_{ck}$ in $\text{N}/\text{mm}^2$															
	12	16	20	25	30	35	40	45	50	55	60	70	80	90	100	
1	$\rho$ in ‰ <sup>a</sup>	0,51	0,61	0,70	0,83	0,93	1,02	1,12	1,21	1,31	1,34	1,41	1,47	1,54	1,60	1,66
<sup>a</sup> Diese Werte ergeben sich aus $\rho = 0,16 f_{ctm} / f_{yk}$ . Bei Leichtbeton sind die Werte $\rho$ mit $\eta_1$ nach Tabelle 10 zu multiplizieren.																

## 13.2 Balken und Plattenbalken

### 13.2.1 Allgemeines

(1) Rechnerisch nicht erfasste Einspannwirkungen an den Endauflagern müssen bei der baulichen Durchbildung berücksichtigt werden. Bei Annahme frei drehbarer Lagerung sind die Querschnitte der Endauflager für ein Stützmoment zu bemessen, das mindestens 25 % des benachbarten Feldmomentes entspricht. Die Bewehrung muss, vom Auflagerrand gemessen, mindestens über die 0,25fache Länge des Endfeldes eingelegt werden.



**Tabelle 30 — Mindestoberflächenbewehrung für die verschiedenen Bereiche eines vorgespannten Bauteils**

Spalte		1	2	3	4
Zeile		Platten, Gurtplatten und breite Balken ( $b_w > h$ ) je m		Balken mit $b_w \leq h$ und Stege von Plattenbalken und Kastenträgern	
		Bauteile in Umgebungsbedingungen der Expositionsklassen XC1 bis XC4	Bauteile in Umgebungsbedingungen der sonstigen Expositionsklassen	Bauteile in Umgebungsbedingungen der Expositionsklassen XC1 bis XC4	Bauteile in Umgebungsbedingungen der sonstigen Expositionsklassen
1	– bei Balken an jeder Seitenfläche – bei Platten mit $h \geq 1,0$ m an jedem gestützten oder nicht gestützten Rand <sup>a</sup>	$0,5 \varrho h$ bzw. $0,5 \varrho h_f$	$1,0 \varrho h$ bzw. $1,0 \varrho h_f$	$0,5 \varrho b_w$ je m	$1,0 \varrho b_w$ je m
2	– in der Druckzone von Balken und Platten am äußeren Rand <sup>b</sup> – in der vorgedrückten Zugzone von Platten <sup>a b</sup>	$0,5 \varrho h$ bzw. $0,5 \varrho h_f$	$1,0 \varrho h$ bzw. $1,0 \varrho h_f$	—	$1,0 \varrho h b_w$
3	– in Druckgurten mit $h > 12$ cm (obere und untere Lage je für sich) <sup>a</sup>	—	$1,0 \varrho h_f$	—	—
<p><sup>a</sup> Eine Oberflächenbewehrung größer als <math>3,4 \text{ cm}^2/\text{m}</math> je Richtung ist nicht erforderlich.</p> <p><sup>b</sup> siehe Absätze (4) und (5)</p> <p>Dabei ist</p> <p><math>h</math> die Höhe des Balkens oder die Dicke der Platte</p> <p><math>h_f</math> die Dicke des Druck- oder Zuggurtes von profilierten Querschnitten</p> <p><math>b_w</math> die Stegbreite des Balkens</p> <p><math>\varrho</math> der Grundwert nach Tabelle 29</p>					

(2) Die Zugbewehrung darf bei Plattenbalken- und Hohlkastenquerschnitten in der Platte höchstens auf einer Breite entsprechend der halben mitwirkenden Plattenbreite nach 7.3.1 angeordnet werden.

### 13.2.2 Zugkraftdeckung

(1) Die Zugkraftdeckung ist in den Grenzzuständen der Gebrauchstauglichkeit und der Tragfähigkeit nachzuweisen.

(2) Bei einer Schnittgrößenermittlung nach 8.2 oder 8.3 darf im Allgemeinen auf einen Nachweis nach Absatz (1) im Grenzzustand der Gebrauchstauglichkeit verzichtet werden.

(3) Die mit Bewehrung abzudeckende Zugkraftlinie darf durch eine Verschiebung der für Biegung und Normalkraft ermittelten  $F_{sd}$ -Linie um das Versatzmaß  $a_1$  bestimmt werden (siehe Bild 66). Das Versatzmaß ergibt sich zu:

$$a_1 = \frac{z}{2} \cdot (\cot \theta - \cot \alpha) \geq 0 \quad (147)$$

Dabei ist

$\theta$  der Winkel zwischen Betondruckstreben und Bauteilachse nach 10.3.4

$\alpha$  der Winkel zwischen Querkraftbewehrung und Bauteilachse

$z$  der innere Hebelarm; im Allgemeinen darf  $z = 0,9 d$  angenommen werden (siehe auch 10.3.4)

(4) Bei einer Anordnung der Zugbewehrung in der Gurtplatte außerhalb des Steges nach 13.2.1 (2) ist  $a_1$  jeweils um den Abstand der einzelnen Stäbe vom Steganschnitt zu erhöhen.

### Legende

1 Umhüllende für

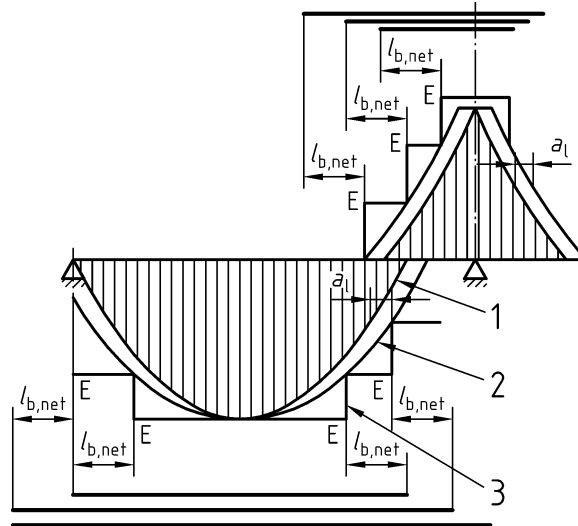
$$F_{sd} = \frac{M_{Eds}}{z} + N_{Ed}$$

Dabei ist

$M_{Eds}$  der auf die Schwerachse der Bewehrung bezogene Bemessungswert des einwirkenden Moments

2 um  $a_1$  verschobene Umhüllende

3 Zugkraftdeckungsline



**Bild 66 — Zugkraftdeckungsline und Verankerungslängen bei biegebeanspruchten Bauteilen**

(5) Stabenden müssen nach Bild 66 mit einer Länge  $l_{b,net}$  nach Gleichung (141) verankert werden. Für die Verankerung am Endauflager siehe Absatz (8).

(6) Mindestens ein Viertel der Feldbewehrung muss zum Auflager geführt und dort verankert werden.

(7) Die Verankerung der Bewehrung am Endauflager muss die folgende Zugkraft aufnehmen können:

$$F_{sd} = V_{Ed} \cdot \frac{\alpha_1}{z} + N_{Ed} \geq V_{Ed}/2 \quad (148)$$

(8) Die erforderliche Verankerungslänge am Endauflager beträgt

– bei direkter Auflagerung:

$$l_{b,dir} = \frac{2}{3} l_{b,net} \geq 6 d_s \quad (149)$$

Eine Erhöhung der Verbundspannung  $f_{bd}$  nach 12.5 (5) a) darf dabei nicht angesetzt werden.

– bei indirekter Auflagerung:

$$l_{b,ind} = l_{b,net} \geq 10 d_s \quad (150)$$

Dabei ist

$l_{b,net}$  die Verankerungslänge nach Gleichung (141)

$d_s$  der Stabdurchmesser der zu verankernden Längsbewehrung

Die Verankerungslänge beginnt an der Auflagervorderkante. Die Bewehrung ist jedoch in allen Fällen mindestens über die rechnerische Auflagerlinie (siehe 7.3.1 (6)) zu führen. Bei Bauteilen mit Vorspannung im sofortigen Verbund gilt 8.7.6.

(9) An Zwischenauflagern von durchlaufenden Bauteilen ist die erforderliche Bewehrung mindestens um das Maß  $6d_s$  bis hinter den Auflagerrand zu führen.

(10) Zusätzlich sollte die unten liegende Bewehrung an Zwischenauflagern so ausgeführt werden, dass sie positive Momente infolge außergewöhnlicher Beanspruchungen aufnehmen kann (Auflagersetzungen, Explosion usw.).

(11) Zur Erzielung einer ausreichenden Seitensteifigkeit sollte bei Fertigteilen, deren Verhältnis  $l_{\text{eff}}/b$  größer als 20 ist, ein Teil der Längsbewehrung konzentriert an den seitlichen Rändern der Zug- und Druckzone angeordnet werden.

### 13.2.3 Querkraftbewehrung

(1) Die Querkraftbewehrung sollte mit der Schwerachse des Bauteils einen Winkel von  $45^\circ$  bis  $90^\circ$  bilden. Sie darf aus einer Kombination folgender Bewehrungen bestehen:

- Bügel, die die Längszugbewehrung und die Druckzone umfassen,
- Schrägstäbe,
- Querkraftzulagen in Form von Körben, Leitern usw., die ohne Umschließung der Längsbewehrung verlegt sind (siehe Bild 67).

#### Legende

- 1 Bügel
- 2 Bügelkorb als Zulage
- 3 Leiterartige Querkraftzulage

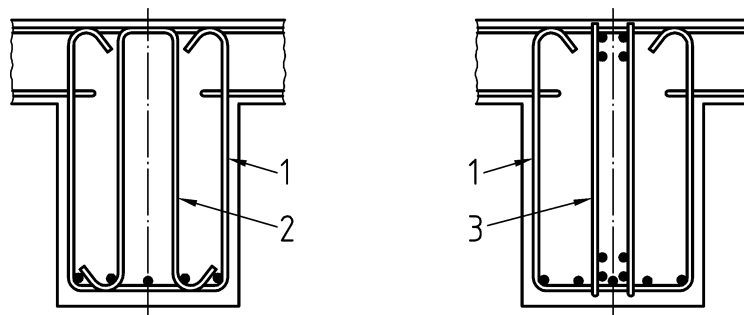


Bild 67 — Beispiele für Kombinationen von Bügeln und Querkraftzulagen

(2) In Balken dürfen Schrägstäbe und Querkraftzulagen als Querkraftbewehrung nur gleichzeitig mit Bügeln verwendet werden. Mindestens 50 % der aufzunehmenden Querkraft müssen durch Bügel abgedeckt sein.

(3) Bei feingliedrigen Fertigteilträgern (z. B. Trägern mit I-, T- oder Hohlquerschnitten mit Stegbreiten  $b_w \leq 80$  mm) dürfen einschnittige Querkraftzulagen allein als Querkraftbewehrung verwendet werden, wenn die Druckzone und die Biegezugbewehrung gesondert durch Bügel umschlossen sind.

(4) Der Bewehrungsgrad der Querkraftbewehrung ergibt sich aus Gleichung (151):

$$\rho_w = \frac{A_{sw}}{s_w \cdot b_w \cdot \sin \alpha} \quad (151)$$

Dabei ist

- $A_{sw}$  die Querschnittsfläche eines Elements der Querkraftbewehrung
- $s_w$  der Abstand der Elemente der Querkraftbewehrung (in Bauteillängsrichtung gemessen)
- $b_w$  die Stegbreite
- $\alpha$  der Winkel zwischen Querkraftbewehrung und Balkenachse (d. h. für Bügel senkrecht zur Bauteilachse gilt  $\alpha = 90^\circ$ )

(5) Der Bewehrungsgrad der Querkraftbewehrung darf folgende Mindestwerte von  $\rho_w$  nicht unterschreiten:

Allgemein:  $\min \rho_w = 1,0 \rho$

Für gegliederte Querschnitte mit vorgespanntem Zuggurt:  $\min \rho_w = 1,6 \rho$

Dabei sind die Werte für  $\rho$  Tabelle 29 zu entnehmen.

(6) Der Längs- und Querabstand der Bügelschenkel oder Querkraftzulagen darf die Werte nach Tabelle 31 nicht überschreiten.

**Tabelle 31 — Größte Längs- und Querabstände  $s_{\max}$  von Bügelschenkeln und Querkraftzulagen**

Zeile	Spalte Querkraftausnutzung <sup>a</sup>	1	2	3	4
		Festigkeitsklasse des Betons			
		$\leq C50/60$ $\leq LC50/55$	$> C50/60$ $> LC50/55$	$\leq C50/60$ $\leq LC50/55$	$> C50/60$ $> LC50/55$
		Längsabstand		Querabstand	
1	$V_{Ed} \leq 0,30 V_{Rd,max}$	0,7 h bzw. 300 mm	0,7 h bzw. 200 mm	h bzw. 800 mm	h bzw. 600 mm
2	$0,30 V_{Rd,max} < V_{Ed} \leq 0,60 V_{Rd,max}$	0,5 h bzw. 300 mm	0,5 h bzw. 200 mm	h bzw. 600 mm	h bzw. 400 mm
3	$V_{Ed} > 0,60 V_{Rd,max}$	0,25 h bzw. 200 mm			

<sup>a</sup>  $V_{Ed}$  und  $V_{Rd,max}$  nach 10.3.2 und 10.3.4

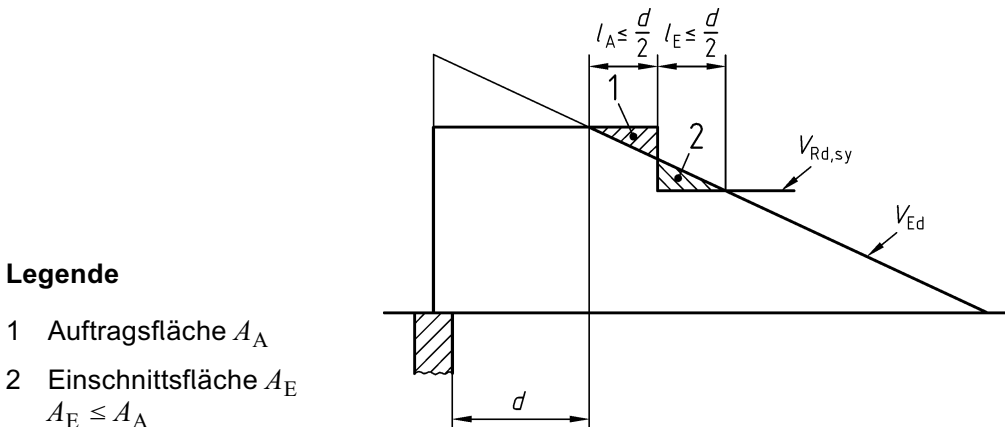
(7) Der Längsabstand von Schrägstäben darf folgenden Wert nicht überschreiten:

$$s_{\max} = 0,5 h \cdot (1 + \cot \alpha) \quad (152)$$

Für den maximalen Querabstand von Schrägstäben gelten die Werte nach Tabelle 31.

(8) Die Querkraftbewehrung ist entlang der Bauteillängsachse so anzuordnen, dass diese an jeder Stelle die Bemessungsquerkraft abdeckt.

(9) Bei Tragwerken des üblichen Hochbaus darf bei der Verteilung der Querkraftbewehrung entlang der Bauteillängsachse nach Bild 68 verfahren werden.



**Bild 68 — Zulässiges Einschneiden der Querkraftdeckungsline bei Tragwerken des üblichen Hochbaus**

### 13.2.4 Torsionsbewehrung

- (1) Für die nach 10.4.2 erforderliche Torsionsbewehrung ist ein rechtwinkliges Bewehrungsnetz aus Bügeln und Längsstäben zu verwenden. Die Bügel sind in Balken und in Stegen von Plattenbalken nach Bild 56 g) und h) zu schließen.
- (2) Der Längsabstand der Torsionsbügel muss die Anforderungen hinsichtlich des maximalen Abstands von Bügeln nach 13.2.3 erfüllen. Der Längsabstand der Torsionsbügel darf außerdem den Wert  $u_k/8$  nicht überschreiten ( $u_k$  nach 10.4.2 (3)).
- (3) Die Längsstäbe sind im Allgemeinen gleichmäßig über den Umfang innerhalb der Bügel zu verteilen. Bei polygonal berandeten Querschnitten muss mindestens in jeder Ecke ein Längsstab angeordnet werden. Wird die Längsbewehrung in den Ecken angeordnet, darf der gegenseitige Abstand der Längsstäbe 350 mm nicht überschreiten.

### 13.2.5 Oberflächenbewehrung bei großen Stabdurchmessern

- (1) Zur Vermeidung von Betonabplatzungen und zur Begrenzung der Rissbreiten ist bei Bauteilen mit Einzelstäben mit einem Stabdurchmesser  $d_s > 32$  mm oder Stabbündeln mit einem Vergleichsdurchmesser  $d_{sV} > 32$  mm eine Oberflächenbewehrung erforderlich.
- (2) Die Oberflächenbewehrung sollte aus Betonstahlmatten oder Stäben mit Durchmessern  $d_s \leq 10$  mm bestehen und außerhalb der Bügel liegen.
- (3) Für die Mindestbetondeckung der Oberflächenbewehrung gilt 6.3.
- (4) Die Querschnittsfläche und Anordnung der Oberflächenbewehrung sollte sich nach Bild 69 richten.
- (5) Die Längsstäbe der Oberflächenbewehrung dürfen als Biegezugbewehrung und die Querstäbe als Querkraftbewehrung angerechnet werden, wenn sie die Regelungen für die Anordnung und Verankerung dieser Bewehrung erfüllen.

#### Legende

- 1 Einzelstäbe oder Stabbündel mit  $d_s$  bzw.  $d_{sV} > 32$  mm
- 2 Oberflächenbewehrung

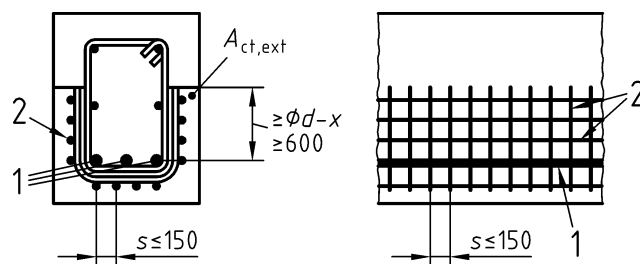


Bild 69 — Oberflächenbewehrung

## 13.3 Vollplatten aus Ortbeton

### 13.3.1 Mindestdicke

Die Mindestdicke einer Vollplatte aus Ortbeton beträgt:

- allgemein: 70 mm;
- für Platten mit Querkraftbewehrung: 160 mm;
- für Platten mit Durchstanzbewehrung: 200 mm.

### 13.3.2 Zugkraftdeckung

- (1) Die Regelungen von 13.2.1 und 13.2.2 gelten sinngemäß. Abweichend von 13.2.2 (6) muss mindestens die Hälfte der Feldbewehrung zum Auflager geführt und dort verankert werden. Für Stahlbetonplatten ohne Querkraftbewehrung gilt stets  $a_1 = 1,0d$ , für Platten mit Vorspannung im sofortigen Verbund gilt 8.7.6 (11).
- (2) In einachsig gespannten Platten muss eine Querbewehrung vorgesehen werden, die mindestens 20 % der Zugbewehrung betragen muss. Bei Betonstahlmatten muss deren Mindestdurchmesser 5 mm betragen.

(3) In zweiachsig gespannten Platten darf die Bewehrung in der minderbeanspruchten Richtung nicht weniger als 20 % der in der höherbeanspruchten Richtung betragen.

(4) Für den maximalen Abstand  $s$  der Stäbe gilt:

– für die Zugbewehrung:

$s = 250 \text{ mm}$  für Plattendicken  $h \geq 250 \text{ mm}$ ;

$s = 150 \text{ mm}$  für Plattendicken  $h \leq 150 \text{ mm}$ ;

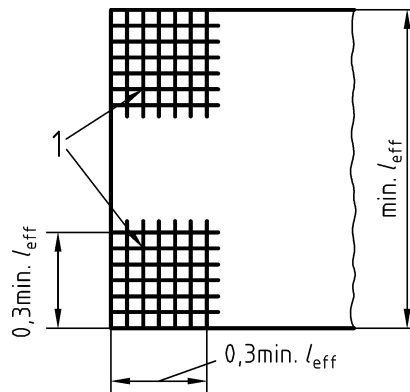
Zwischenwerte sind linear zu interpolieren.

– für die Querbewehrung oder die Bewehrung in der minderbeanspruchten Richtung:  $s \leq 250 \text{ mm}$ .

(5) Werden die Schnittgrößen in einer Platte unter Ansatz der Drillsteifigkeit ermittelt, so ist die Bewehrung in den Plattenecken unter Berücksichtigung des Drillmoments zu bemessen.

#### Legende

1 Drillbewehrung



**Bild 70 — Rechtwinklige Eckbewehrung auf der Oberseite und Unterseite von Platten**

(6) Die Drillbewehrung darf durch eine parallel zu den Seiten verlaufende obere und untere Netzbewehrung in den Plattenecken ersetzt werden, die in jeder Richtung die gleiche Querschnittsfläche wie die Feldbewehrung und mindestens eine Länge von  $0,3 \min l_{\text{eff}}$  hat (siehe Bild 70).<sup>14)</sup>

(7) In Plattenecken, in denen ein frei aufliegender und ein eingespannter Rand zusammenstoßen, sollte die Hälfte der Bewehrung nach Absatz (6) rechtwinklig zum freien Rand eingelegt werden.

(8) Bei vierseitig gelagerten Platten, deren Schnittgrößen als einachsig gespannt oder unter Vernachlässigung der Drillsteifigkeit ermittelt werden, sollte zur Begrenzung der Rissbildung in den Ecken ebenfalls eine Bewehrung nach Absatz (6) angeordnet werden.

(9) Ist die Platte mit Randbalken oder benachbarten Deckenfeldern biegefest verbunden, so brauchen die zugehörigen Drillmomente nicht nachgewiesen und keine Drillbewehrung angeordnet zu werden.

(10) Entlang eines freien (ungestützten) Randes ist eine Längs- und Querbewehrung nach Bild 71 anzuordnen.

(11) Bei Fundamenten und innenliegenden Bauteilen des üblichen Hochbaus braucht eine Bewehrung nach Absatz (10) nicht angeordnet zu werden.

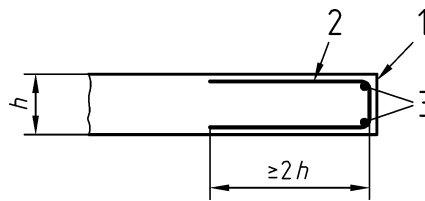
(12) Zur Vermeidung eines fortschreitenden Versagens von punktförmig gestützten Platten ist stets ein Teil der Feldbewehrung über die Stützstreifen im Bereich von Innen- und Randstützen hinwegzuführen bzw. dort zu verankern. Die hierzu erforderliche Bewehrung muss mindestens die Querschnittsfläche nach Gleichung (153) aufweisen und ist im Bereich der Lasteinleitungsfläche anzuordnen. Abminderungen von  $V_{\text{Ed}}$  sind dabei nicht zulässig.

$$A_s = \frac{V_{\text{Ed}}}{f_{yk}} \quad (153)$$

<sup>14)</sup> Für andere Bewehrungsführungen siehe DAfStb-Heft 525

### Legende

- 1 freier Rand
- 2 Steckbügel
- 3 Längsbewehrung



**Bild 71 — Randbewehrung an freien Rändern von Platten**

### 13.3.3 Durchstanz- und Querkraftbewehrung

(1) Für die bauliche Durchbildung gilt 13.2.3, sofern nicht im Folgenden Abweichungen festgelegt sind.

(2) Bei Platten ohne rechnerisch erforderliche Querkraftbewehrung ( $V_{Ed} \leq V_{Rd,ct}$ ) mit einem Verhältnis  $b/h > 5$  ist keine Mindestbewehrung für Querkraft erforderlich. Bauteile mit  $b/h < 4$  sind als Balken nach 13.2.3 zu behandeln.

Im Bereich  $5 \geq b/h \geq 4$  ist eine Mindestbewehrung erforderlich, die bei Platten ohne rechnerisch erforderlicher Querkraftbewehrung zwischen dem nullfachen und dem einfachen Wert, bei Platten mit rechnerisch erforderlicher Querkraftbewehrung ( $V_{Ed} > V_{Rd,ct}$ ) zwischen dem 0,6fachen und dem einfachen Wert der erforderlichen Mindestbewehrung nach 13.2.3 interpoliert werden darf.

(3) In Platten mit  $V_{Ed} \leq 0,30 V_{Rd,max}$  darf die Querkraftbewehrung vollständig aus Schrägstäben oder Querkraftzulagen bestehen. Für Platten mit  $V_{Ed} > 0,30 V_{Rd,max}$  gilt 13.2.3 (2).

(4) Für den größten Längs- und Querabstand von Bügeln gilt:

a) in Längsrichtung:

- für  $V_{Ed} \leq 0,30 V_{Rd,max}$   $s_{max} = 0,7 h$
- für  $0,30 V_{Rd,max} < V_{Ed} \leq 0,60 V_{Rd,max}$   $s_{max} = 0,5 h$
- für  $V_{Ed} > 0,60 V_{Rd,max}$   $s_{max} = 0,25 h$

b) in Querrichtung:

$$s_{max} = h$$

Der größte Längsabstand von Schrägstäben ist  $s_{max} = h$ .

(5) Bei Anordnung einer Durchstanzbewehrung gelten die Regelungen in Bild 72.

(6) Die Stabdurchmesser einer Durchstanzbewehrung sind nach Gleichung (154) auf die vorhandene mittlere statische Nutzhöhe  $d$  der Platte abzustimmen:

$$d_s \leq 0,05 d \quad (154)$$

(7) Ist bei Bügeln als Durchstanzbewehrung rechnerisch nur eine Bewehrungsreihe erforderlich, so ist stets eine zweite Reihe mit der Mindestbewehrung nach Gleichung (114) vorzusehen. Dabei ist  $s_w = 0,75 d$  anzunehmen.

## 13.4 Vorgefertigte Deckensysteme

### 13.4.1 Allgemeines

Soweit im Folgenden nicht abweichend festgelegt, gelten die Regelungen nach 13.3. Ziegeldecken sind in DIN 1045-100 geregelt.

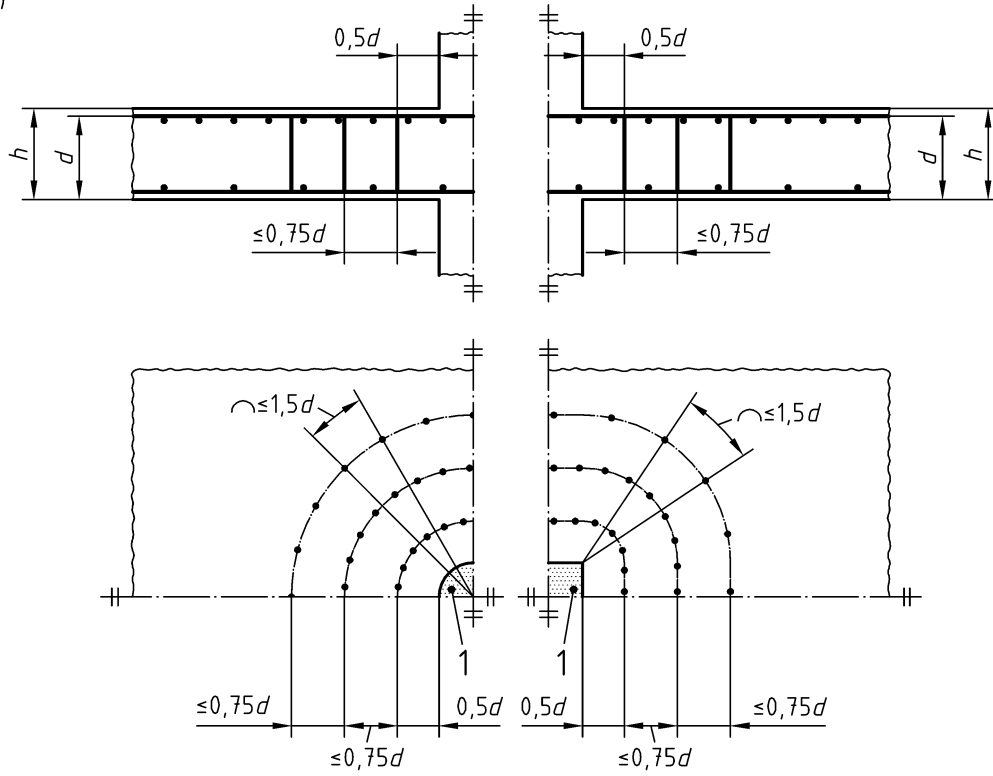
### 13.4.2 Querverteilung der Lasten

(1) Die Querverteilung der Lasten zwischen nebeneinander liegenden Deckenelementen muss durch geeignete Verbindungen zur Querkraftübertragung gesichert sein.

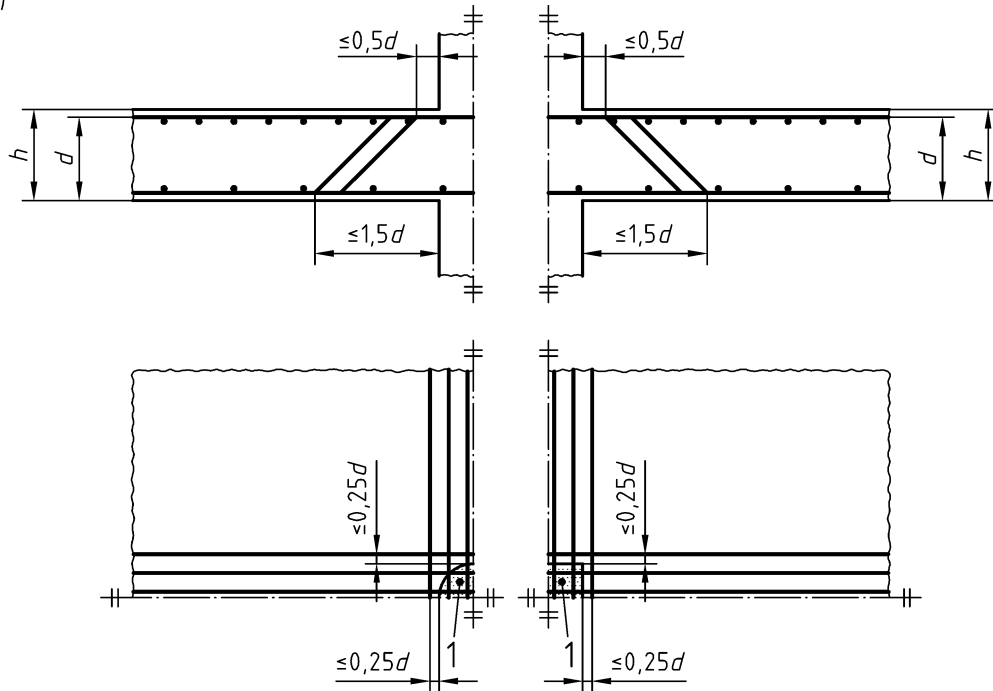
(2) Verbindungen zur Querkraftübertragung können sein (siehe Bild 73):

- ausbetonierte Fugen mit oder ohne Querbewehrung,
- Schweiß- oder Bolzenverbindungen,
- bewehrter Aufbeton.

a)



b)



**Legende**

a) Durchstanzbewehrung mit vertikalen Bügelschenkeln

b) Durchstanzbewehrung mit Schrägstäben

1 Lasteinleitungsfläche

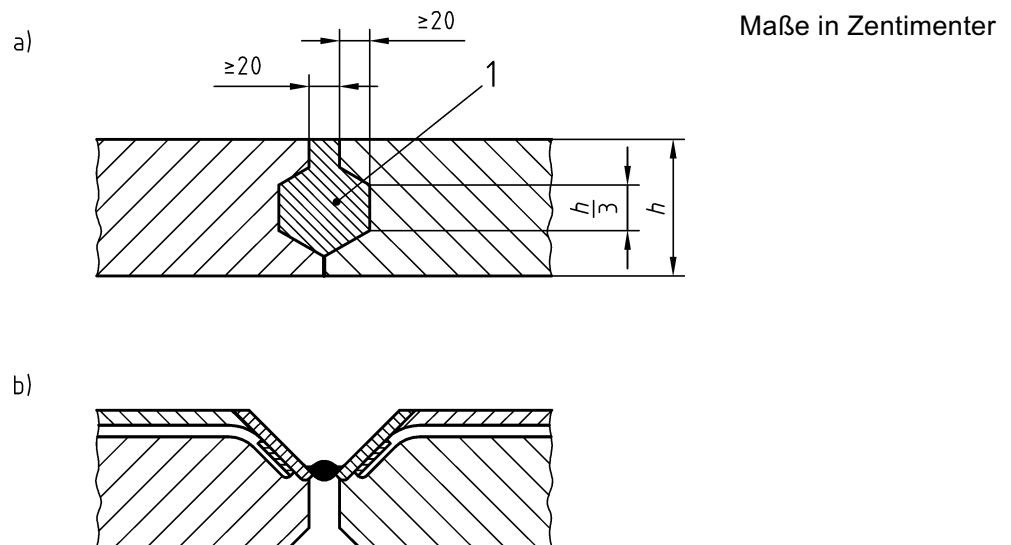
**Bild 72 — Anordnung der Durchstanzbewehrung**



(3) Sofern erforderlich, ist die Querverteilung von Punkt- oder Linienlasten durch Berechnung oder durch Versuche nachzuweisen.

(4) Bei Decken, die unter Annahme gleichmäßig verteilter Nutzlasten berechnet werden, darf der rechnerische Nachweis der Querverbindungen für eine entlang der Fugen wirkende Querkraft in Größe der auf 0,5 m Einzugsbreite wirkenden Nutzlast geführt werden. Die Weiterführung dieser Kraft braucht in den anschließenden Bauteilen im Allgemeinen nicht nachgewiesen zu werden. Wenn bei Plattenbalken die Fuge in die Platte fällt, ist nachzuweisen, dass das von der Fugenkraft in der Platte ausgelöste Kragmoment das unter Volllast entstehende Moment übersteigt.

(5) Für Platten aus Fertigteilen mit einer Breite  $b \leq 1,20$  m darf die Querbewehrung nach 13.3.2 (2) entfallen.



#### Legende

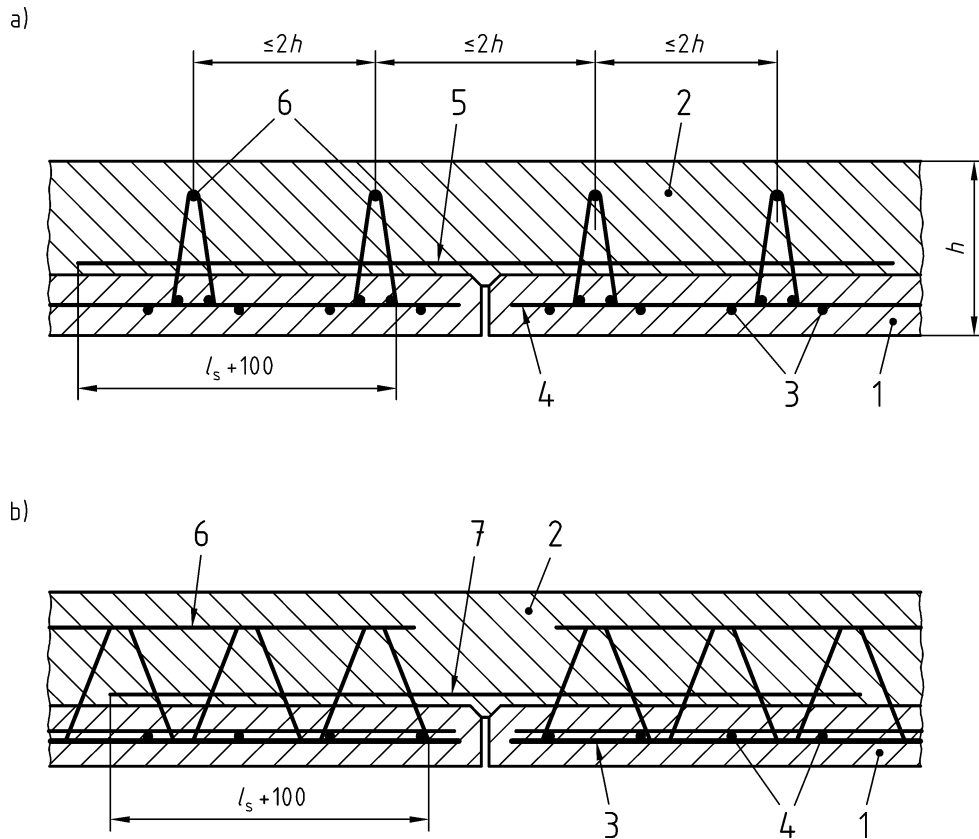
- a) verzahnte Vergussfuge
- b) verschweißte Fuge
- 1 Fugenverguss

**Bild 73 — Deckenverbindungen zur Querkraftübertragung (Beispiele)**

#### 13.4.3 Nachträglich mit Ortbeton ergänzte Deckenplatten

(1) Werden Fertigteile, die mit einer statisch mitwirkenden Ortbetonschicht versehen sind, als Verbundbauteile nach 10.3.6 bemessen, muß die Ortbetonschicht mindestens eine Dicke von 50 mm aufweisen. Die Querbewehrung darf entweder in den Fertigteilen oder im Ortbeton liegen. Bei einer Querbewehrung im Ortbeton ist 8.2 (7) zu beachten.

(2) Bei zweiachsig gespannten Platten darf für die Beanspruchung rechtwinklig zur Fuge nur die Bewehrung berücksichtigt werden, die durchläuft oder nach Bild 74 gestoßen ist. Voraussetzung hierfür ist, dass der Durchmesser der Bewehrungsstäbe  $d_s \leq 14$  mm, der Bewehrungsquerschnitt  $a_s \leq 10 \text{ cm}^2/\text{m}$  und der Bemessungswert der Querkraft  $V_{Ed} \leq 0,5 V_{Rd, \max}$  ( $V_{Ed}$  und  $V_{Rd, \max}$  nach 10.3.4) ist. Darüber hinaus ist der Stoß durch biegesteife Bewehrung (z. B. Gitterträger) im Abstand höchstens der zweifachen Deckendicke zu sichern. Der Betonstahlquerschnitt dieser Bewehrung im fugenseitigen Stoßbereich ist dabei für die Zugkraft der gestoßenen Längsbewehrung zu bemessen.



### Legende

- a) Stoß der Querbewehrung
- b) Stoß der Längsbewehrung
- 1 Fertigteilplatte
- 2 Ortbeton
- 3 Längsbewehrung
- 4 statisch erforderliche Querbewehrung (in der Fertigteilplatte)
- 5 statisch erforderliche Querbewehrung (Stoßzulage)
- 6 Gitterträger
- 7 Längsbewehrung (Stoßzulage)

**Bild 74 — Möglicher Tragstoß bei zweiachsig gespannten Fertigteildecken mit Ortbetonergänzung (Beispiel)**

(3) Die günstige Wirkung der Drillsteifigkeit darf bei der Schnittgrößenermittlung nur berücksichtigt werden, wenn sich innerhalb des Drillbereiches von 0,31 ab der Ecke keine Stoßfuge der Fertigteilplatten befindet oder wenn die Fuge durch eine Verbundbewehrung im Abstand von höchstens 100 mm vom Fugenrand gesichert wird. Die Aufnahme der Drillmomente ist nachzuweisen.

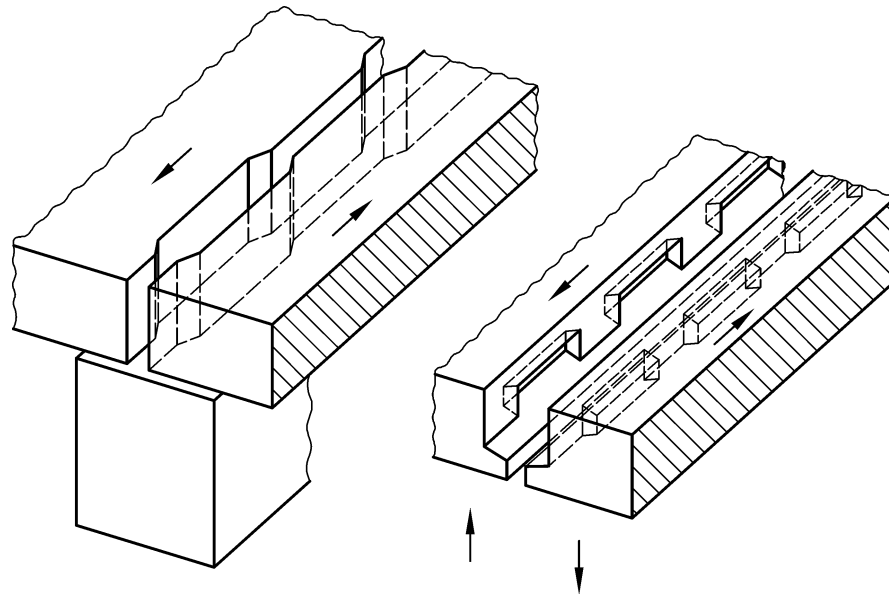
(4) Die Aufnahme der Drillmomente braucht nicht nachgewiesen zu werden, wenn die Platte mit den Randbalken oder den benachbarten Deckenfeldern biegesteif verbunden ist.

(5) Bei Endauflagern ohne Wandauflast ist eine Verbundsicherungsbewehrung von mindestens  $6 \text{ cm}^2/\text{m}$  entlang der Auflagerlinie anzuordnen. Diese sollte auf einer Breite von 0,75 m angeordnet werden.

### 13.4.4 Scheibenwirkung

(1) Eine aus Fertigteilen zusammengesetzte Decke gilt als tragfähige Scheibe, wenn sie im endgültigen Zustand eine zusammenhängende, ebene Fläche bildet, die Einzelteile der Decke in Fugen druckfest miteinander verbunden sind und wenn in der Scheibenebene wirkende Beanspruchung (z. B. aus Stützenschiefstellung und Windeinwirkung) durch Bogen- oder Fachwerkwirkung zusammen mit den dafür bewehrten Randgliedern (Ringankern, siehe 13.12.2) und Zugankern aufgenommen werden können.

(2) Die zur Fachwerkwirkung erforderlichen Zuganker müssen durch Bewehrungen gebildet werden, die in den Fugen zwischen den Fertigteilen oder gegebenenfalls in der Ortbetonergänzung verlegt und in den Randgliedern nach 12.6 verankert und nach 12.8 gestoßen werden. Die Bewehrung der Randglieder und Zuganker ist rechnerisch nachzuweisen.



#### Legende

- a) für Scheibenquerkräfte  
b) für Scheiben- und Plattenquerkräfte (Querverteilung)

**Bild 75 — Fugenverzahnung**

(3) Fugen, die von Druckstreben des Ersatztragwerks (Bogen oder Fachwerk) gekreuzt werden, müssen nach 10.3.6 nachgewiesen werden. Wird aufgrund dieser Bemessung eine Verzahnung in Scheibenebene erforderlich, so kann diese nach Bild 75 ausgeführt werden.

## 13.5 Stützen

### 13.5.1 Allgemeines

(1) Die geringste zulässige Seitenlänge eines Stützenquerschnitts ist:

- 200 mm für Stützen mit Vollquerschnitt, die vor Ort (senkrecht) betoniert werden,
- 120 mm für waagrecht betonierete Fertigteilstützen.

(2) Der Durchmesser der Längsbewehrungsstäbe muss mindestens 12 mm betragen.

(3) Der Abstand der Längsstäbe darf 300 mm nicht überschreiten. In Stützen mit polygonalem Querschnitt muss mindestens in jeder Ecke ein Stab liegen. In Stützen mit Kreisquerschnitt sind mindestens 6 Stäbe anzuordnen. Für Querschnitte mit  $b \leq 400$  mm und  $h \leq b$  genügt je ein Bewehrungsstab in den Ecken.

### 13.5.2 Mindest- und Höchstwert des Längsbewehrungsquerschnitts

(1) Der Mindestwert der gesamten Querschnittsfläche der Längsbewehrung  $A_{s, \min}$  ist nach Gleichung (155) zu ermitteln:

$$A_{s, \min} = 0,15 |N_{Ed}| / f_{yd} \quad \text{mit } f_{yd} = f_{yn} / \gamma_s \quad (155)$$

(2) Der gesamte Bewehrungsquerschnitt darf, auch im Bereich von Übergreifungsstößen, den maximalen Wert von  $0,09 A_c$  nicht überschreiten.

### 13.5.3 Querbewehrung

(1) Bei Längsbewehrung von Stützen muss durch Querbewehrung umschlossen werden. Der Durchmesser der Querbewehrung (Bügel, Schlaufen oder Wendeln) darf nicht weniger als ein Viertel des maximalen Durchmessers der Längsbewehrung, muss jedoch mindestens 6 mm betragen. Der Stabdurchmesser bei Betonstahlmatten als Bügelbewehrung muss mindestens 5 mm betragen.

(2) Die Verwendung von Stabbündeln mit  $d_{sV} > 28 \text{ mm}$  als Druckbewehrung muss abweichend von Absatz (1) der Mindeststabdurchmesser für Einzelbügel und für Bügelwendeln 12 mm betragen.

(3) Die Querbewehrung ist ausreichend zu verankern. Für Bügel gilt Bild 56 e).

(4) Die Bügelabstände dürfen den kleinsten der folgenden Abstände nicht überschreiten:

- das 12fache des kleinsten Durchmessers der Längsstäbe,
- die kleinste Seitenlänge oder den Durchmesser der Stütze,
- 300 mm.

(5) Die Bügelabstände nach Absatz (4) sind mit dem Faktor 0,6 zu vermindern:

- unmittelbar über und unter Balken oder Platten über eine Höhe gleich der größeren Abmessung des Stützenquerschnitts,
- bei Übergreifungsstößen der Längsstäbe, wenn deren größter Durchmesser  $d_s$  größer als 14 mm ist.

(6) In oder in der Nähe jeder Ecke ist eine Anzahl von maximal 5 Stäben durch die Querbewehrung nach den Absätzen (1) bis (5) gegen Ausknicken zu sichern.

(7) Weitere Längsstäbe und solche, deren Abstand vom Eckbereich den 15fachen Bügeldurchmesser überschreitet, sind durch zusätzliche Querbewehrung nach Absatz (3) zu sichern, die höchstens den doppelten Abstand der Querbewehrung nach Absatz (1) und Absatz (4) haben darf.

## 13.6 Wandartige Träger

(1) Für die Mindestwanddicken gelten die Regelungen für Wände nach 13.7.

(2) Wandartige Träger sind an beiden Außenflächen mit einem rechtwinkligen Bewehrungsnetz zu versehen. Die Querschnittsfläche der Bewehrung darf je Außenfläche und Richtung den Wert  $a_s = 1,5 \text{ cm}^2/\text{m}$  und 0,075 % des Betonquerschnitts  $A_c$  nicht unterschreiten.

(3) Die Maschenweite des Bewehrungsnetzes darf nicht größer als die doppelte Wanddicke und nicht größer als 300 mm sein.

## 13.7 Wände

### 13.7.1 Stahlbetonwände

(1) Dieser Abschnitt gilt für Stahlbetonwände, bei denen die Bewehrung beim Nachweis im Grenz-zustand der Tragfähigkeit berücksichtigt wird. Für Wände mit überwiegender Biegung senkrecht zu ihrer Ebene gelten die Regeln für Platten (siehe 13.3). Für Halfertigteile gelten die allgemeinen bauaufsichtlichen Zulassungen.

(2) Für die Mindestwanddicken gelten die Angaben in Tabelle 32.

- (3) Die Querschnittsfläche der lotrechten Bewehrung muss mindestens  $0,0015 A_c$ , bei schlanken Wänden nach 8.6.3 oder solchen mit  $|N_{Ed}| \geq 0,3 f_{cd} \cdot A_c$  mindestens  $0,003 A_c$  betragen und darf den Wert  $0,04 A_c$  nicht übersteigen. Im Allgemeinen sollte die Hälfte dieser Bewehrung an jeder Außenseite liegen.
- (4) *Der Bewehrungsgehalt sollte an beiden Wandaußenseiten im Allgemeinen gleich groß sein.*
- (5) Die Querschnittsfläche der Querbewehrung muss mindestens 20 % der Querschnittsfläche der lotrechten Bewehrung betragen. Bei Wandscheiben, schlanken Wänden nach 8.6.3 oder solchen mit  $|N_{Ed}| \geq 0,3 f_{cd} \cdot A_c$  darf die Querschnittsfläche der Querbewehrung nicht kleiner als 50 % der Querschnittsfläche der lotrechten Bewehrung sein. Die waagerechte, parallel zu den Wandaußenseiten und zu den freien Kanten verlaufende Bewehrung sollten außenliegend vorgesehen werden.
- (6) Der Durchmesser der horizontalen Bewehrung muss mindestens ein Viertel des Durchmessers der lotrechten Stäbe betragen.

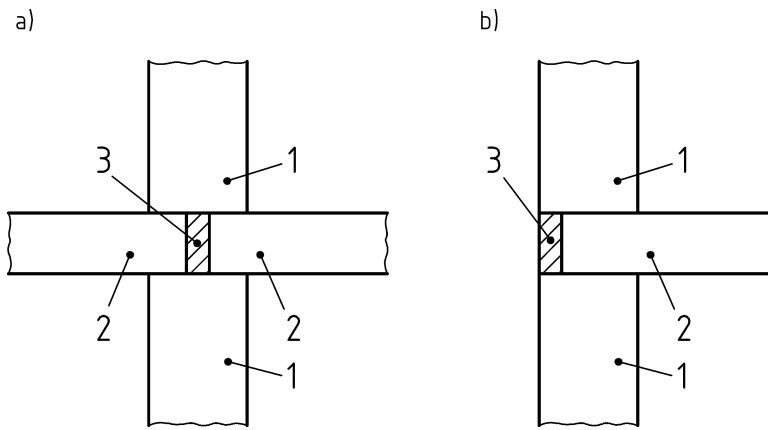
**Tabelle 32 — Mindestwanddicken für tragende Wände (in Zentimeter)**

Zeile	Spalte		1	2	3	4
	Mindestwanddicken in cm		unbewehrte Wände		Stahlbetonwände	
			Decken nicht durchlaufend	Decken durchlaufend	Decken nicht durchlaufend	Decken durchlaufend
1	C12/15 oder LC12/13	Ortbeton	20	14	—	—
2	ab C16/20 oder LC16/18	Ortbeton	14	12	12	10
3		Fertigteil	12	10	10	8

- (7) Der Abstand  $s$  zwischen zwei benachbarten waagerechten Stäben darf maximal 350 mm betragen.
- (8) *Für Beton ab der Festigkeitsklasse C70/85 sollte der Abstand zwischen zwei benachbarten lotrechten Stäben nicht über der 2fachen Wanddicke oder 300 mm liegen (der kleinere Wert ist maßgebend).*
- (9) Wenn die Querschnittsfläche der lastabtragenden lotrechten Bewehrung  $0,02 A_c$  übersteigt, muss diese Bewehrung durch Bügel nach 13.5.3 umschlossen werden.
- (10) An freien Rändern von Wänden mit einer Bewehrung  $A_s \geq 0,003 A_c$  je Wandseite müssen die Eckstäbe durch Steckbügel gesichert werden (siehe Bild 71).
- (11) Die außenliegenden Bewehrungsstäbe beider Wandseiten sind je  $m^2$  Wandfläche an mindestens vier versetzt angeordneten Stellen zu verbinden, z. B. durch S-Haken, oder bei dicken Wänden mit Steckbügeln im Innern der Wand zu verankern, wobei die freien Bügelenden die Verankerungslänge  $0,5 l_b$  haben müssen (mit  $l_b$  nach 12.6.2). S-Haken dürfen bei Tragstäben mit  $d_s \leq 16$  mm entfallen, wenn deren Betondeckung mindestens  $2 d_s$  beträgt; in diesem Fall und stets bei Betonstahlmatten dürfen die druckbeanspruchten Stäbe außen liegen.

### 13.7.2 Wand-Decken-Verbindungen bei Fertigteilen

- (1) Wird eine Fertigteilwand auf einer Fuge zwischen zwei Deckenplatten oder auf einer Deckenplatte angeordnet, die vollständig mit einer Außenwand verbunden ist (siehe Bild 76), und fehlen andere wirksame Maßnahmen, sind höchstens 50 % des lastabtragenden Querschnitts der Wand für die Bemessung als mitwirkend anzusetzen. Die Verbindung ist in geeigneter Weise auszubilden.



**Legende**

- a) Mittelaullager
- b) Randaullager
- 1 Fertigteilwände
- 2 Fertigteildeckenplatten
- 3 Fugenverguß

**Bild 76 — Auflagerung von Deckenplatten auf Fertigteilwänden**

(2) Abweichend von Absatz (1) dürfen maximal 60% des tragenden Wandquerschnitts in Rechnung gestellt werden, wenn die nachfolgend angegebenen Festlegungen eingehalten werden:

- die Querschnittsfläche einer zusätzlichen Querbewehrung am Wandfuß (siehe Bild 77) beträgt mindestens:

$$a_{sw} = h/8 \quad (156)$$

mit  $a_{sw}$  in  $\text{cm}^2/\text{m}$  und  $h$  in  $\text{cm}$

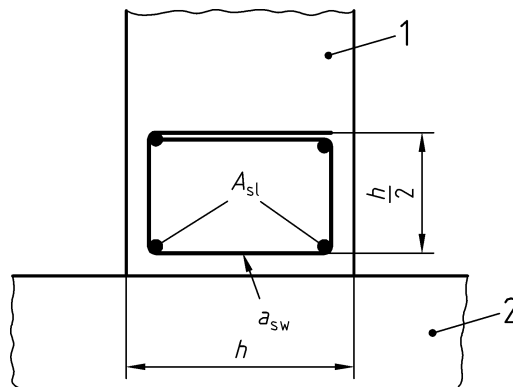
- der Abstand  $s$  dieser Querbewehrung beträgt in Richtung der Wandlängsachse:

$$s \leq \begin{cases} h \\ 200 \text{ mm} \end{cases} \quad (\text{der kleinere Wert ist maßgebend}) \quad (157)$$

- der Durchmesser  $d_s$  der Längsbewehrung  $A_{sl}$  am Wandfuß beträgt mindestens 6 mm.

**Legende**

- 1 Fertigteilwand
- 2 Decke



**Bild 77 — Zusätzliche Querbewehrung des Wandfußes**

### 13.7.3 Sandwichtafeln

- (1) Bei der Bemessung von Sandwichtafeln müssen die Einflüsse von Temperatur, Feuchtigkeit, Austrocknen und Schwinden in ihrem zeitlichen Verlauf berücksichtigt werden.
- (2) In Sandwichtafeln sind ausschließlich bauaufsichtlich zugelassene, korrosionsbeständige Werkstoffe für die Verbindungen der einzelnen Schichten zu verwenden.
- (3) *Die Mindestbewehrung der tragenden Schicht der Tafeln sollte an beiden Seiten in der horizontalen und vertikalen Richtung nicht weniger als  $1,3 \text{ cm}^2/\text{m}$  betragen. Im Allgemeinen ist eine Randbewehrung (siehe Bild 71) nicht erforderlich.*
- (4) *In der Vorsatzschicht einer Sandwichtafel darf die Bewehrung einlagig angeordnet werden.*
- (5) Die Mindestdicke für Trag- und Vorsatzschicht beträgt 70 mm.

### 13.7.4 Unbewehrte Wände

- (1) Unbewehrte Wände sind nach 10.2 (2) zu bemessen.
- (2) Für die Mindestdicke von unbewehrten Wänden gelten die Angaben in Tabelle 32.
- (3) Aussparungen, Schlitze, Durchbrüche und Hohlräume sind bei der Bemessung der Wände zu berücksichtigen, mit Ausnahme von lotrechten Schlitzen sowie lotrechten Aussparungen und Schlitzen von Wandanschlüssen, die den nachstehenden Regelungen für nachträgliches Einstemmen genügen. Das nachträgliche Einstemmen ist nur bei lotrechten Schlitzen bis 30 mm Tiefe zulässig, wenn ihre Tiefe höchstens  $1/6$  der Wanddicke, ihre Breite höchstens gleich der Wanddicke, ihr gegenseitiger Abstand mindestens 2,0 m und die Wand mindestens 120 mm dick ist.

## 13.8 Verbindung und Auflagerung von Fertigteilen

### 13.8.1 Allgemeines

- (1) Verbindungen müssen so bemessen werden, dass sie allen Einwirkungen widerstehen, wobei die Annahmen zu berücksichtigen sind, die für die Schnittgrößenermittlung des Tragwerks als Ganzes und für die Bemessung der einzelnen, zu verbindenden Bauteile getroffen wurden. Die Bemessung muss sicherstellen, dass die Verbindung zur Aufnahme der relativen Verschiebungen in der Lage ist die zur Aktivierung ihres Tragwiderstands und zur Sicherung eines robusten Tragverhaltens des Tragwerks erforderlich sind.
- (2) *Der Einfluss von Imperfektionen infolge der Bauausführung sollte berücksichtigt werden.*
- (3) Verbindungen müssen weiterhin so bemessen werden, dass ein vorzeitiges Reißen oder Abplatzen des Betons an den Enden der Bauteile vermieden wird.
- (4) *Verbindungen sollten unter Beachtung von*
  - *Toleranzen,*
  - *Anforderungen der Montage,*
  - *einfacher Ausführbarkeit,*
  - *einfacher Überprüfbarkeit**geplant werden.*

### 13.8.2 Druckfugen

- (1) Druckfugen sind Fugen, die bei der ungünstigsten anzusetzenden Beanspruchungskombination vollständig überdrückt bleiben.
- (2) *Lagerfugen mit Mörtel, Beton oder härtenden Polymeren als Füllmaterial dürfen verwendet werden, wenn die notwendige Vorsorge dafür getroffen wird, dass eine relative Bewegung zwischen den verbundenen Flächen während der Erhärtung des Füllmaterials ausgeschlossen wird.*

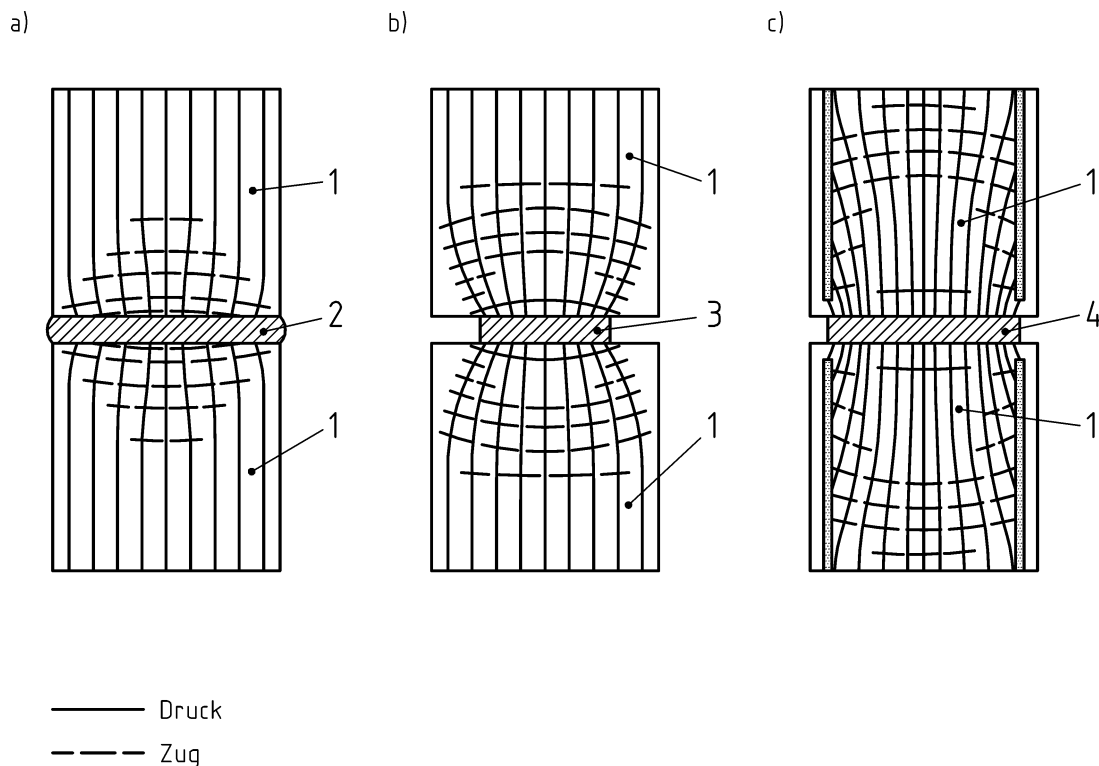
(3) *Trockene Fugen sollten nur dann verwendet werden, wenn*

- *die mittlere Betondruckspannung den Wert  $0,4f_{cd}$  nicht übersteigt und*
- *die erforderliche Qualität der Bauausführung im Werk und auf der Baustelle erreicht wird.*

(4) Druckfugen führen zu beträchtlichen Querkzugspannungen in den benachbarten Bauteilen (siehe Bild 78). Eine harte Lagerung wird dabei angenommen, wenn der Elastizitätsmodul des Fugenmaterials mehr als 70% des Elastizitätsmoduls der angrenzenden Bauteile beträgt. Eine harte Lagerung bilden auch vollflächig mit Zementmörtel gefüllte Fugen (siehe Bild 78 c)). Hier treten Querkzugspannungen infolge der Umlenkung der Traganteile aus Bewehrung und Betonanteil auf.

(5) Die Querkzugspannungen im Fugenbereich sind durch eine entsprechende Bewehrung in den benachbarten Bauteilen aufzunehmen. Diese Bewehrung darf im Bereich der Querkzugspannungen konzentriert werden.

(6) *Bei weichem Fugenmaterial (Bild 78 a)) kann es zusätzlich erforderlich sein, die Fuge selbst zu bewehren, sofern ein Ausweichen des Fugenmaterials nicht anderweitig verhindert wird.*



### Legende

- a) Stirnzugkraft bei weichem Füllmaterial
- b) Spaltzugkraft bei konzentriertem Lager
- c) Querkzugkraft bei hartgebetteten, vollflächigen Fugen
- 1 Fertigteile
- 2 weiches Fugenmaterial
- 3 konzentriertes Lager (hartes Fugenmaterial)
- 4 hartes Fugenmaterial

**Bild 78 — Querkzugspannungen in Druckfugen**



(7) Der Bemessungswert der Tragfähigkeit von Druckfugen sollte anhand anerkannter Berechnungsmodelle ermittelt werden, wobei die Tragfähigkeit zentrisch belasteter Stützenstöße mit

$$N_{Rd} = -\kappa \cdot (A_c \cdot f_{cd} + A_s \cdot f_{yd}) \quad (158)$$

nachzuweisen ist. Der Abminderungsfaktor  $\kappa$  berücksichtigt dabei den Bewehrungsgrad der Stütze und die Fugendicke.<sup>15)</sup>

(8) Bei einer gleichzeitigen Wirkung von Normal- und Querkraft in der Fuge darf die Querkraft  $V_{Ed}$  vernachlässigt werden, wenn  $V_{Ed} < 0,1 N_{Ed}$  ist, worin  $N_{Ed}$  die Längsdruckkraft bezeichnet; ansonsten siehe 10.3.6.

### 13.8.3 Biegesteife und zugfeste Verbindungen

(1) An Fugen ist das Übertragen von dort wirkenden Biegemomenten und Zugkräften sicherzustellen.

(2) An Fugen können Zugkräfte durch folgende Verbindungsarten übertragen werden:

- Übergreifungsstöße (z. B. gerade Stäbe, gebogene Stäbe, Schlaufen),
- geschweißte Verbindungen,
- Schraub- oder Vergussmuffen,
- Zusammenspannen (z. B. über eine Muffenverbindung mit Rechts-Links-Gewinde).

Andere Verbindungsarten sind möglich, wenn ihre Verwendbarkeit nachgewiesen ist.

### 13.8.4 Lagerungsbereiche

Lagerungsbereiche sind die unmittelbar an Lager angrenzenden Bereiche der stützenden und der gestützten Bauteile. Sie müssen so bemessen und konstruktiv gestaltet werden, dass sie unter Berücksichtigung von Herstellungs- und Montagetoleranzen ihre Funktion erfüllen.

## 13.9 Krafteinleitungsbereiche

### 13.9.1 Druckkräfte

(1) Wenn eine oder mehrere konzentrierte Kräfte in ein Bauteil eingeleitet werden, ist eine örtliche Zusatzbewehrung vorzusehen, welche die durch diese Kräfte hervorgerufenen Spaltzugkräfte aufnimmt.

(2) Diese Zusatzbewehrung darf aus Bügeln oder aus Bewehrungslagen in Form von so genannten „Haarnadeln“ bestehen; bei ausgedehnten Wänden auch aus geraden Stäben mit ausreichender Länge.

### 13.9.2 Zugkräfte

Bei Zugkräften sind die Rückverankerungen aus Betonstahl mit der erforderlichen Verankerungslänge  $l_{b,net}$ , gegebenenfalls unter Beachtung von 12.5 (6) nach 12.6.2 im lastabgewandten Querschnittsteil zu verankern oder nach 12.8 zu stoßen.

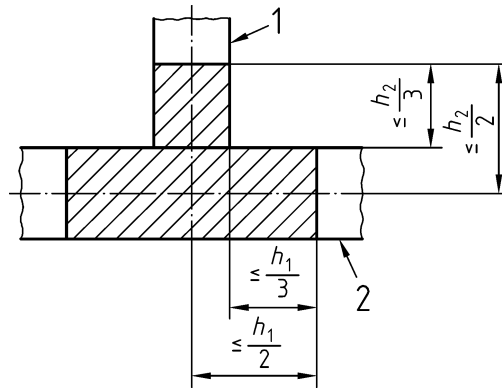
### 13.10 Umlenkkräfte

In Bereichen mit Richtungsänderungen von inneren Zug- oder Druckkräften muss die Aufnahme der entstehenden Umlenkkräfte sichergestellt werden.

### 13.11 Indirekte Auflager

(1) Bei indirekter Auflagerung eines Bauteils muss im Kreuzungsbereich der Bauteile eine Aufhängebewehrung vorgesehen werden, die die wechselseitigen Auflagerreaktionen vollständig aufnehmen kann.

<sup>15)</sup> für  $\kappa$  siehe DAfStb-Heft 525



### Legende

- 1 gestützter Träger
- 2 stützender Träger
- $h_1$  Dicke des stützenden Trägers
- $h_2$  Dicke des gestützten Trägers ( $h_2 \leq h_1$ )

**Bild 79 — Anschluss von Nebenträgern (Grundriss)**

(2) Die Aufhängebewehrung sollte vorzugsweise aus Bügeln bestehen, die die Hauptbewehrung des unterstützenden Bauteils umfassen. Einige dieser Bügel dürfen außerhalb des unmittelbaren Kreuzungsbereichs beider Bauteile angeordnet werden, und zwar im Bild 79 schraffierten Bereich, wenn eine über die Höhe verteilte Horizontalbewehrung angeordnet ist, deren Gesamtquerschnittsfläche dem Gesamtquerschnitt dieser Bügel entspricht.

(3) Bei sehr breiten stützenden Trägern oder bei stützenden Platten sollte die in diesen Trägern oder Platten angeordnete Aufhängebewehrung nicht über eine Länge angeordnet werden, die größer als die Nutzhöhe des gestützten Trägers ist.

## 13.12 Schadensbegrenzung bei außergewöhnlichen Ereignissen

### 13.12.1 Allgemeines

(1) Bei außergewöhnlichen Ereignissen ist eine Schädigung des Tragwerks in einem zur ursprünglichen Ursache unverhältnismäßig großen Ausmaß zu vermeiden (siehe DIN 1055-100).

(2) Werden neben den sonstigen Regeln dieser Norm die konstruktiven Regeln dieses Abschnittes erfüllt, darf angenommen werden, dass der zufällige Ausfall eines einzelnen Bauteils oder eines begrenzten Teils des Tragwerks oder das Auftreten hinnehmbarer örtlicher Schädigungen nicht zum Versagen des Gesamttragwerks führt.

(3) Bei Bauwerken des üblichen Hochbaus dürfen zur Schadensbegrenzung bei außergewöhnlichen Einwirkungen Ringanker verwendet werden. Im Fertigteilbau dürfen hierfür zusätzlich

- innen liegende Zuganker,
- horizontale Stützen- und Wandzuganker

verwendet werden.

(4) Wird ein Bauwerk durch Dehnfugen in unabhängige Tragabschnitte geteilt, sollte jeder Abschnitt ein unabhängiges Zuggliedsystem aufweisen.

(5) Für die Bemessung der Zugglieder darf angenommen werden, dass die Bewehrung bis zu ihrer charakteristischen Festigkeit ausgenutzt und in der Lage ist, die in 13.12.2 bis 13.12.4 definierten Kräfte aufzunehmen. Für andere Zwecke vorgesehene Bewehrung darf teilweise oder vollständig für diese Zugglieder angerechnet werden.

(6) Bei der Bemessung der Zugglieder dürfen andere Schnittgrößen als die, die direkt durch die außergewöhnlichen Einwirkungen hervorgerufen werden oder unmittelbar aus der betrachteten lokalen Zerstörung resultieren, vernachlässigt werden.

(7) Die Bewehrung in Zuggliedern darf mit Übergreifungsstößen nach 12.8 gestoßen werden. Bei nicht ausreichender Fugenbreite zwischen Fertigteilen sollten sichere mechanische Verankerungen verwendet werden.

(8) Zugglieder dürfen vollständig innerhalb des Aufbetons oder an Verbindungen angeordnet werden. Wenn die Zugglieder nicht in einer Ebene durchlaufend sind, sollte die Wirkung der Exzentrizität berücksichtigt werden.

(9) Zugglieder dürfen mit Vorspannung im nachträglichen Verbund aufgeführt werden.

### 13.12.2 Ringanker

(1) Wenn eine Scheibenwirkung zur Sicherung der Gesamtstabilität erforderlich ist, muss in jeder Decken- und Dachebene des üblichen Hochbaus ein wirksamer, über den Umfang des Tragwerks umlaufender Ringanker angeordnet werden. Der Ringanker kann Bewehrung einschließen, die Teil der inneren Zuganker oder der Bewehrung nach 13.1, 13.2, 13.3 und 13.4.4 ist und mindestens nach den Absätzen (2) und (3) ausgebildet bzw. bemessen ist.

(2) Die Umlaufwirkung kann durch Stoßen der Längsbewehrung mit einer Stoßlänge  $l_s = 2 \cdot l_b$  erzielt werden. Der Stoßbereich ist mit Bügeln, Steckbügeln (siehe Bild 71) oder Wendeln mit einem Abstand  $s \leq 100$  mm zu umfassen. Die Umlaufwirkung darf auch durch Verschweißen oder durch Verwenden mechanischer Verbindungen erzielt werden.

(3) Der Ringanker sollte eine Zugkraft von  $F_{Ed} = 10 l_{eff,i} \text{ kN} \leq 70 \text{ kN}$  aufnehmen können ( $F_{Ed}$  in kN;  $l_{eff,i}$  in m). Für  $l_{eff,i}$  ist dabei die effektive Spannweite des Endfeldes rechtwinklig zum Ringanker einzusetzen.

### 13.12.3 Innenliegende Zuganker

(1) Werden innenliegende Zuganker angeordnet, so müssen diese in jeder Decken- und Dachebene in zwei zueinander ungefähr rechtwinkligen Richtungen liegen. Sie müssen über ihre gesamte Länge wirksam durchlaufend sein und sollten an jedem freien Ende in den Ringankern verankert oder als horizontale Zuganker bis zu Stützen oder Wänden fortgesetzt werden.

(2) Die innenliegenden Zuganker dürfen gleichmäßig verteilt in den Platten oder in Balken, Wänden oder anderen geeigneten Bauteilen angeordnet werden. In Wänden sollten sie in einem Bereich von 0,5 m über oder unter den Deckenplatten liegen.

(3) In jeder Richtung sollten die innenliegenden, gleichmäßig verteilten Zuganker eine Zugkraft von  $F_{Ed} = 20 \text{ kN}$  je Meter aufnehmen können.

(4) Bei Decken ohne Aufbeton, in denen die Zuganker nicht über die Spannrichtung verteilt werden können, dürfen die Zuganker konzentriert in den Fugen zwischen den Bauteilen angeordnet werden. In diesem Fall ist je Fuge mindestens folgende Kraft aufzunehmen:

$$F_{Ed} = \frac{l_{eff,1} + l_{eff,2}}{2} \cdot 20 \text{ kN} \leq 70 \text{ kN} \quad (159)$$

Dabei ist

$l_{eff,1}, l_{eff,2}$  die jeweilige effektive Spannweite der Deckenplatten auf beiden Seiten der Fuge rechtwinklig zur Fuge in m (siehe Bild 80)

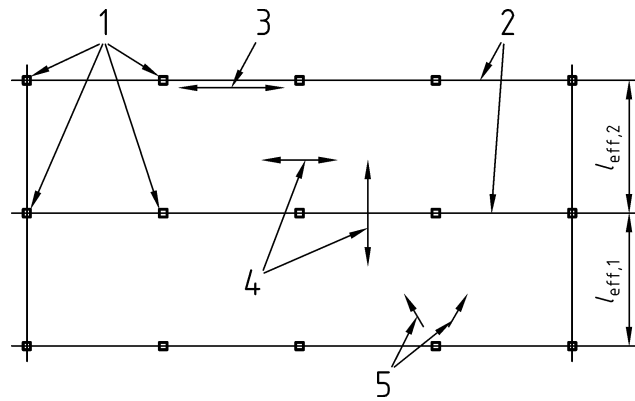
### 13.12.4 Horizontale Stützen- und Wandzuganker

(1) Randstützen sowie tragende und aussteifende Außenwände sollten an ihrem oberen Rand — bei Hochhäusern auch an ihrem unteren Rand — horizontal im Tragwerk verankert werden.

(2) Die Zuganker sollten eine Zugkraft  $F_{Ed} = 10 \text{ kN}$  je Meter der Fassaden aufnehmen können. Für Stützen ist nicht mehr als  $F_{Ed} = 150 \text{ kN}$  je Stütze anzusetzen.

(3) Eckstützen sollten in zwei Richtungen verankert werden. Die für den Ringanker vorhandene Bewehrung kann in diesem Fall für den horizontalen Zuganker angerechnet werden.

(4) Bei Außenwandtafeln von Hochhäusern, die zwischen ihren aussteifenden Wänden nicht gestoßen



### Legende

- 1 Stützen
- 2 Unterzüge/Wände
- 3 Ringanker
- 4 innenliegende Zuganker
- 5 horizontale Stützen — oder Wandzuganker

**Bild 80 — Zuganker für außergewöhnliche Ereignisse,  
dargestellt im Deckengrundriss**

sind und deren Länge zwischen diesen Wänden höchstens das Doppelte ihrer Höhe ist, dürfen die Verbindungen am unteren Rand ersetzt werden durch Verbindungen gleicher Gesamtzugkraft, die in der unteren Hälfte der lotrechten Fugen zwischen der Außenwand und ihren aussteifenden Wänden anzuordnen sind.

(5) Am oberen Rand tragender Innenwandtafeln sollte mindestens eine Bewehrung von  $0,7 \text{ cm}^2/\text{m}$  in den Zwischenraum zwischen den Deckentafeln eingreifen. Diese Bewehrung darf an zwei Punkten vereinigt werden, bei Wandtafeln mit einer Länge bis 2,50 m genügt ein Anschlusspunkt in Wandmitte. Die Bewehrung darf durch andere gleichwertige Maßnahmen ersetzt werden.